

# HUTNICKÉ LISTY



## VÁLCOVÁNÍ

1953

ČÍSLO 3.

BŘEZEN

ROČNÍK VIII.

ČASOPIS MINISTERSTVA HUTNÍHO PRŮMYSLU A RUDNÝCH DOLŮ

Hutnické listy.	Ročník VIII.	Číslo 3.	Str. 113 až 168.	Brno, březen 1953.
-----------------	--------------	----------	------------------	--------------------

# HUTNICKÉ LISTY

**Časopis ministerstva hutního průmyslu a rudných dolů**

Журнал министерства металлургии и рудников

Journal of the Ministry of Metallurgical Industry and Ore Mines

Journal du Ministère de l'Industrie Sidérurgique et des Mines

**O B S A H :**

Ing. Dr. techn. B. Počta: Více oceli z našich oceláren a zdokonalení technologie jejího zpracování v našich válcovnách .....	113
Ing. Dr. techn. B. Počta: Zásady racionálního děrování při válcování bezešvých trub. - Основы рациональной прошивки при прокатке бесшовных труб. - Rational piercing principles of seamless tube rolling. - Les principes du perçage rationnel du laminage des tuyaux sans soudure ....	115
Ing. Fr. Wiesner: Uložení válců válcovacích stolic. - Установка вэлков прокатных станов. - Bearing of the rolling mill rolls. - Les coussinets des cylindres de laminage. ....	124
Ing. J. Teindl: Závislost ztrát mořením na způsobu válcování jemných plechů. - Зависимость между потерями при травлении и способом прокатки тонкой стальной жестя. - Relation of pickling losses to the method of sheet rolling. - Relation des pertes de décapage de la méthode du laminage des tôles fins. ....	129
Ing. F. Wiesner: Válcování širokých pásů za tepla. - Горячая прокатка широкополосовой стали. - Hot rolling of wide strips. - Le laminage à chaud des feuillards larges. ....	134
Normalisační hlídka .....	138
Literární hlídka .....	140
Výchova: Ing. J. Teindl: Výchova inženýrů-valcířů v Sovětském svazu .....	146
Knihy a časopisy došlé redakci .....	148
Rozhledy .....	153

**V edoucí redakce:** akademik prof. Dr. Mont. Ing. Fr. Píšek.

**R E D A K Č N I K R U H :**

Soudruzi: Ing. J. Bařinka, J. Klika, Ing. E. Kozina, V. Mudra, Ing. Dr. J. Malkovský, Ing. Dr. B. Počta, Ing. Dr. V. Rauner, Ing. Dr. R. Štefec, V. Vavřích, Ing. L. Veselý, M. Votruba, P. Knobloch.

**R E D A K Č N I R A D A :**

Soudruzi: Ing. L. Balcar, Ing. J. Bařinka, prof. dr. J. Čabelka, J. Dlouhý, Ing. J. Dohnal, prof. Dr. Fr. Faltus, Ing. Dr. J. Formánek, J. Hejsek, Ing. R. Henych, Ing. F. Houdek, Ing. A. Hübner, Ing. J. Chmelík, akademik prof. Ing. Dr. V. Jareš, J. Jonáš, Ing. Dr. F. Kinský, J. Klika, Ing. E. Kozina, Ing. B. Kubánek, Ing. Dr. J. Malkovský, J. Mikula, V. Mudra, E. Patera, Ing. J. Pergl, N. Piskáček, Ing. Dr. Fr. Pobořil, Ing. Dr. B. Počta, A. Půčík, Ing. Dr. V. Rauner, J. Sladovník, Ing. E. Stacha, B. Sládeček, Ing. J. Smutný, Ing. V. Šajch, Ing. Dr. R. Štefec, V. Tišer, V. Vavřích, Ing. L. Veselý, M. Votruba, Dr. V. Záveský,  
Za ÚRO: Z. Jadrný, Fr. Kácha.  
Za Státní nakladatelství technické literatury: P. Knobloch, P. Kypr.  
Za Dům techniků: s. Martínek.

---

Vydává ministerstvo hutního průmyslu a rudných dolů ve Státním nakladatelství technické literatury, národní podnik, Praha II, Spálená 51. - Vedoucí redakce akademik prof. Dr. Mont. Fr. Píšek. - Redakce: Brno-Žabovřesky, Mučednická 8, telefon 53003 a 53265. - Administrace: Praha II, Krakovská 8, telefon 230751. - Vychází měsíčně. Toto číslo vyšlo 16. dubna 1953. Cena jednotlivého čísla Kčs 25,-, roční předplatné Kčs 300,-. Objednávky se přijímají nejméně do konce běžného roku; zrušení odběru je možné pouze po úplném vyčerpání zaplateného předplatného. - Tisknou Brněnské knihtiskárny, n. p., základní závod, Brno, Ul. 9. května 7, telefon 53611. - Do sazby 20. března 1953, do tisku 13. dubna 1953. - 2700 výtisků. - Papír: text 222-90 g a 403-100 g, obálka 228-120 g. - Novinové výplatné povoleno okrskovým poštovním úřadem v Brně, č. j. IA-2370 ; 88872. - Dohledací poštovní úřad Brno 2.

# HUTNICKÉ LISTY

ROČNÍK VIII.

BRNO, V BŘEZNU 1953.

ČÍSLO 3.

## Více oceli z našich oceláren a zdokonalení technologie jejího zpracování v našich válcovnách.

Ing. Dr. techn. Bohumil Počta, Ostrava.

Úspěšný rozvoj našeho hutního průmyslu je jeden ze základů zdárného rozvoje celé naší průmyslové výroby i našeho hospodářského rozkvětu vůbec. Rozvoj těžkého průmyslu je základní předpoklad úspěšné cesty k socialismu, záruka našeho politického růstu a obranyschopnosti proti všem pokusům zasahovat rušivě do našeho budovatelského úsilí. K práci našich hutí, k jejich úsilí o plnění výrobních úkolů, je upřena pozornost všech pracujících naší vlasti, která potřebuje pro svůj hospodářský rozmach stroje, elektrárny, železnice, nové průmyslové závody, potřebuje ocel, přetvořenou v soustruhu, železniční vagony, automobily, traktory, konstrukce mostů a továrních hal, potřebuje ocel, přetvořenou ve výrobky, které slouží člověku a pomáhají a umožňují uskutečňovat jeho pracovní úsilí a budovatelské nadšení.

Hutnický našeho státu zaznamenává velký rozmach své výroby, a to jednak zvyšováním i stupňováním výroby ve starých závodech, na starých výrobních zařízeních, jednak zaváděním výroby na nově postavených výrobních zařízeních. Tak na př. jen v minulém roce byly uvedeny do provozu moderní vysoké pece, ocelářské martinské pece a moderní bloková trať. Je však nutné zamyslet se nad tím, jak se ocel, kterou vyrobíme v ocelářských pecích, dále zpracovává, zda z ní nás stát, nás ostatní průmysl dostává dostatečné množství těch výrobků, které jsou vlastní výchozí surovinou a polotovarem pro výrobu strojů, vozidel, ocelových konstrukcí atd.

Zdaleka největší část vyrobené oceli se v hutních závodech zpracovává válcováním a jen menší část přichází ve tvaru ingotů do kováren na výkovky, nebo se odlévá ve slévárnách na ocelové odlitky. Možno odhadnout, že válcovnami prochází asi 95 % veškeré vyrobené oceli, kterou válcovny zpracovávají na tyčovou a profilovou ocel, na plechy i pásy, na trubky, kolejnice nebo na různé polotovary pro strojírenský průmysl. Z těchto důvodů je nutné sledovat současnou výrobní problematiku našich hutí nejen s hlediska výroby surového železa a oceli, ale i zaměřit pozornost dál na naše válcovny.

Na které problémy a úkoly je třeba v našich válcovenanských provozech upoutat zřetel?

Jsou to: zvýšení výkonů válcovacích tratí, zvýšení výtěžků válcovaného zboží, zlepšení jakosti válcovaných výrobků a zavádění výroby nových profiliů, zvýšení časového využití válcovacích tratí a snížení jejich poruchovosti, zracionalisování práce válcovacích tratí cestou jejich co nejširší mechanizace a automatizace.

Pokud jde o otázku zvýšení výrobnosti válcovacích tratí, jsou nové válcovací tratě, které byly postaveny nebo které se stavějí, už počítány pro vysoké výkony. Jsou to na př. moderní blokovny, výsledek práce našich dělníků a inženýrů, nebo moderní válcovací trať na bezešvé trubky, nebo plynulá sochorová trať. Ale i na starých válcovacích tratích jsou ještě skryté výrobní rezervy. Je nyní úkol tyto rezervy odkrývat.

Prostředkem k odkrývání těchto rezerv je lépe zorganisovaná práce, důsledná technologická kázeň, dodržování technologických předpisů, zkrácení pomocných a ztrátových časů, zmenšení poruchovosti. Technologické předpisy a jejich dodržování jsou i ve válcovnách první z předpokladů zlepšené práce válcovacích tratí. Jsou základem dobré organisiované práce a jakostní výroby a základnou, o kterou se může opřít iniciativa osazenstva válcovacích tratí, projevující se v socialistických formách práce, v socialistickém soutěžení. Proto též usnesení strany a vlády z 13. listopadu 1951 o opatřeních ke zvýšení výroby hutního průmyslu ukládá jako jedno z opatření, jímž by se zajistilo plné využití zařízení hutních závodů, aby závazné technologické předpisy a práce podle grafikonů byla zavedena i ve válcovnách, počínající přípravou oceli pro válcování a spotřebními normami ingotů a předvalků na 1 t válcovaného materiálu končíc.

Jde především o to, jak bez velkých investičních nákladů, racionálním využitím dosavadních zařízení, dosáhnout nejen zvýšených výkonů, ale celkového zlepšení práce, zvýšení výtěžku a snížení výrobních nákladů. Tímto úkolem se budeme muset zabývat. Zabývali se jím též v Sovětském svazu a úkol vyřešili velmi úspěšně. Výkony jejich válcovacích tratí těch typů a provedení, které máme též u nás, jsou vyšší. Jako příklad uvádíme výkony jedné z válcovacích tratí na válcování bezešvých trub, která svou konstrukcí a konstrukcí pece je velmi podobná jedné z válcovacích tratí u nás. Výkony jsou udány v počtu kusů vyválcovaných trubek za 1 hodinu:

Průměr trubky v mm	70	95	102	121	133
Výkony v kusech — SSSR	210	165	135	95	65
CSR	122	90	78	68	60

Tyto nápadné rozdíly ve výkonech byly na zařízení v SSSR umožněny jednak dílkou automatizaci a mechanizaci ohřívání pece a válcovací tratí, jednak zlepšenou organizací práce.

O tom, jak možno promyšleným zlepšováním organizace práce, technickými opatřeními a zdokonalováním technologie zvyšovat výkony válcovacích

tratí bez nákladných investic, svědčí tyto příkla-  
dy jednoho závodu v Sovětském svazu:

a) Výroba válcovacích tratí postavených v závo-  
dě před válkou:

Rok 1941 . . . . .	výroba = 100 %,
1942 . . . . .	132 %,
1943 . . . . .	132 %,
1944 . . . . .	138 %,
1945 . . . . .	163 %.

b) Výroba válcovacích tratí přestěhovaných  
z území dočasně obsazených Němci a postavených  
na východě:

Rok 1942 . . . . .	výroba = 100 %,
1943 . . . . .	148,8 %,
1944 . . . . .	156,9 %,
1945 . . . . .	201,7 %.

c) Růst produktivity práce v tomto závodě během  
války:

Rok 1940 . . . . .	produktivita = 100 %,
1942 . . . . .	107 %,
1944 . . . . .	110 %,
1945 . . . . .	125 %.

Problémem zvýšení výkonu dosavadních válcova-  
cích tratí cestou zlepšené organizace práce a zave-  
dením určitých opatření se zabývali též v Maďarsku.  
Na podkladě podrobných časových studií a roz-  
borem práce, počínajíc příslunem ingotů z oceláren  
a končíc předáváním vyválcovaného zboží úprav-  
nám přišli k závěru, že výkony dosavadních válcova-  
vacích tratí lze zvýšit bez velkých investic o 5 až  
8 %.

Moderní válcovací tratě pracují zpravidla s vět-  
šími válcovacími rychlostmi a povětšině plynule  
a automaticky nebo poloautomaticky. Na starších  
válcovacích tratích je práce sice značně zmechaniz-  
ována, není však automatisována, a to je jedna z příčin, proč tyto tratě musí pracovat s menšími  
válcovacími rychlostmi. Kromě toho z celkového  
válcovacího času tvoří vlastní pracovní čas jen men-  
ší podíl, větší část pracovního času je potřebná pro  
pomocné a přípravné pracovní úkony, jako je na př.  
vevádění materiálu do válců, vracení vývalu do  
kalibru atp. Proto je nutné pořizovat podrobné ča-  
sové snímky práce válcovacích tratí, provádět jejich  
rozbory a výsledků používat ke zdokonalování a  
prohlubování technologických předpisů.

Casové využití válcovacích tratí není rovněž nej-  
lepší. Tratě trpí častou poruchovostí, která naru-  
šuje denní, týdenní a měsíční válcovací program  
a zavíruje nejen snížení celkových výkonů i zmen-  
šení využití výrobni kapacity, ale působí i nepříznivě  
na jakost válcovaného zboží, zejména když je po-  
ruchovostí narušován pravidelný pracovní rytmus  
při válcování legovaných ocelí, kde se kládou na  
rovnoměrnost ohřevu zvýšené požadavky.

Zavedením preventivních plánovaných oprav  
a zdokonalením údržby lze podstatně zvýšit kalen-  
dářní časové využití válcovacích tratí, jak nás o tom  
poučují opět sovětské zkušenosti. Na př. u válcova-  
cí tratí na válcování bezesvých trubek, o které byla  
zmínka již dříve při srovnávání výkonů, byly hlavní  
opravy prováděny jednou za dva roky, při čemž mi-

nisterstvem schválená doba pro celou dobu opravy  
i s potřebnou dobou na záběh činila 12 dní. Naproti  
tomu u podobné tratě u nás se provádí hlavní oprava  
v nejpříznivějším případě každý rok, po případě  
s ohledem na ohřívací pec i dvakrát do roka a cel-  
ková doba pro tyto opravy potřebná jsou tři týdny.  
Pro doplnění obrazu o jakost údržbářské práce  
v sovětském závodě třeba ještě dodat, že pracovní  
přestávky, zaviněné mechanickými poruchami na  
citované válcovací trati, činily v r. 1950 pouze  
0,3 %. Je to výsledek promyšlené údržbářské péče,  
jejímž výsledkem bylo, že na př. na jedné z velkých  
válcovacích tratí, u níž byla mechanická poruchovost  
v r. 1942 ještě 5,6 %, byla v r. 1950 snížena už  
na 1,08 %. U jiné z tratí ve stejném období klesla  
mechanická poruchovost z 3,3 % v r. 1942 na 1,07 %  
v r. 1950.

Závažným úkolem našich válcoven je soustavné  
zvyšování výtěžků, t. j. snižování potřebné váhy  
ingotů na 1 t válcovaného zboží. Je to jedna z nedostatečně využívaných rezerv oceli. Zlepšení vý-  
těžku jen o desetiny procenta znamená v celostátním  
měřítku ročně tisíce tun oceli, která je sice vy-  
robena, ale není jí pro potřebu našeho průmyslu,  
našeho hospodářství jako hotových výrobků, jako  
zboží, využito. Technicko-hospodářské normy spo-  
třeby tohoto materiálu nejsou povětšině dodržovány.  
Prostředky k zjednání nápravy jsou především  
v technologické kázni. Je pravda, že jakost oceli je  
základním předpokladem i podmínkou dobrého vý-  
těžku válcovacích tratí, ale v samotných válcoven-  
ských provozech je třeba věnovat této otázce zvlášť  
velkou péči. Je nutno všimat si přípravy materiálu  
pro válcování, jeho třídění, čištění a kontroly a ne-  
připouštět k válcování materiál nevyhovující ja-  
kostním předpisům. Mimořádnou péči nutno věnovat  
ohřevu materiálu, dodržovat výši a rozmezí ohřívá-  
cích teplot a dobu ohřevu. Právě při ohřevu je třeba  
zavést důslednou technologickou kázeň. Ale i v dal-  
ším průběhu válcování je technologická kázeň pod-  
mínkou nejen úspěšné práce, ale i předpokladem  
toho, aby využití zpracovávané oceli bylo maxi-  
mální.

Naši valcři musí obrátit zřetel též na další mož-  
nost co nejhospodárnějšího využití oceli při válcov-  
ání na válcovacích tratích a tou je využívání do-  
volených dolních rozměrových odchylek. Tuto válcovací  
techniku nelze sice zevšeobecňovat, avšak  
v určitých případech válcovaných výrobků lze do-  
sáhnout dosti značných materiálových úspor. U ně-  
kterých druhů válcovaných výrobků, u nichž se  
s ohledem na účel jejich použití musí počítat s va-  
hou, je tento požadavek zdůvodněn nejen potřebou  
úspory oceli, ale též nutností hospodářného provo-  
zu těch zařízení, pro která se výrobků válcovaných  
v minus tolerancích používá. Jsou to na př. lodní  
plechy nebo trubky výpažnice pro těžbu nafty, nebo  
různé profily pro stavbu vozidel atp.

Otázka válcování některých druhů válcovaného  
zboží v minus tolerancích by se měla stát předmětem  
diskuse našich valcří. Názorným příkladem,  
čeho lze dosáhnout, jsou sovětské zkušenosti Kuj-  
byševova závodu na výrobu bezesvých trubek. Ten-

Roč. VIII., čís. 3.

Počta: Zásady racionálního děrování...

Hutnické listy.

to závod ušetřil v roce 1951 při válcování olejářských trubek zavedením metody válcování v minus tolerancích 4180 t oceli, čímž mohl z takto ušetřeného materiálu vyrobit navíc 61.517 m trubek. V Stalinově hutním kombinátu bylo touto metodou ušetřeno 2000 t oceli.

Zracionálisování výroby válcoven se musí nаконец projevit zhospodárněním této výroby a zvýšením produktivity práce našich válcoven. Zvýšení výkonu válcovacích tratí, zvýšení výtěžků, snížení ztrátových časů, zmechanisování a zautomatisování pracovních úkonů — to vše jsou nutné předpoklady snížení výrobních nákladů válcovaného zboží. Tím se nám jednotlivé dílčí technické úkoly promítají ve svých důsledcích jako úkoly hospodářské a tím i politické. Ale právě proto, že jde o úkoly hospodářsko-politické, nemůžeme je posuzovat pouze měřítkem technickým a technologickým, ale musíme za nimi vidět živého člověka, který práci řídí, organisiuje, provádí.

Máme-li mluvit o zdokonalení technologie zpracování oceli ve válcovnách, třeba obrátit zřetel k obsluze pecí a k valcůrům, k obsluhovačům tratí na řídících můstcích, k pomocníkům na válcovacích tratích a u pil a nůžek, k traťovým zámečníkům a elektrikářům, k mistrům, dozorcům a inženýrům. Vzbudit a vyvolat zájem pracujících, vytvořit tech-

nické a organizační podmínky pro socialistické soutěžení, zainteresovat tvůrčí iniciativu pracujících na současné problémy našich válcoven — to je spolehlivá a jistá cesta, jak se s naznačenými úkoly se zdarem vypořádat. Nové usnesení ÚRO a vlády o socialistickém soutěžení mluví o tom, že povinností hospodářských a technických orgánů na závodě je zabývat se osobně a přímo úkoly socialistického soutěžení, vytvářet technické a organizační předpoklady pro jeho rozvíjení, socialistické soutěžení organizovat, sledovat a výsledky kontrolovat a zhodnocovat. Proto bude nutno, aby technické kádry v našich válcovnách obeznámily své spolupracovníky se současnou problematikou válcoven, aby tuto problematiku osvětlovaly a vykládaly přímo na pracovištích, u pecí, u tratí a nejen vytvářely podmínky, ale v co nejširším rozsahu podporovaly socialistické soutěžení ve válcovnách. Naznačené náměty dovolují vytvořit taková kriteria soutěže, že možno soutěžit a zlepšovat práci i za takových okolností, kdy není možno na př. využívat plně kapacity dosavadních válcovacích tratí pro nedostatek oceli nebo pro nedostatek proudu či plynu. Socialistické soutěžení, správně organované a zaměřené, je nespolehlivější cestou k vyřešení požadovaných a příkazaných výrobně technických úkolů v našich válcovnách.

## Zásady racionálního děrování při válcování bezešvých trub.

Ing. Dr. techn. Bohumil P o c t a, Ostrava.

621.774.3

(*Hlediska pro posouzení jakosti a hospodárnosti výroby dutých předvalků, hlavně podmínky spolehlivého záběru a zhotovení předvalku bez vnějších a vnitřních vad. Mechanické podmínky záběru a rotace. Vliv tvaru a nastavení válců na podmínky záběru a rotace při děrování. Theorie vzniku dutiny při kosém válcování. Účinek radiálních napětí.*)

### Hlediska pro posouzení jakosti a hospodárnosti výroby dutých předvalků.

Jak známo, při nynějším stavu techniky výroby bezešvých trub se rozpadá válcování trub ve dvě základní operace:

1. v děrování, t. j. ve výrobě tlustostěnných dutých předvalků z plného materiálu a

2. ve vlastní válcování trub z dutých předvalků na hotový rozměr, určený vnějším průměrem trubky a její tloušťkou stěny.

Základem úspěšné výroby bezešvých trub je zhotovení jakostního dutého předvalku, který je výchozím polotovarem pro další operace. Jak praktické zkušenosti ukazují, má značná část různých vad na hotových trubkách původ v děrování dutých předvalků, a proto právě této první operaci výroby bezešvých trub nutno věnovat zvýšenou péči a pozornost. S hlediska technologického je výroba bezešvých trub (a zejména způsob zhotovení dutého cylindrického předvalku) jeden z nejzajímavějších a nejpozoruhodnějších způsobů tváření oceli za tepla. Principy tohoto technologického procesu nebyly dlouho theoreticky vysvětleny, přes to, že technicky byla výroba bezešvých trub zvládnuta celkem úspěšně již koncem minulého a začátkem to-

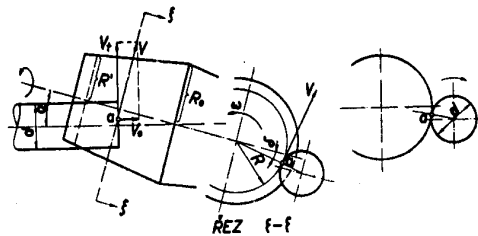
hoto století. Teprve v posledních třech desíletích byl princip děrování a zhotovení dutého předvalku celkem uspokojivě theoreticky osvětlen, což bylo základem dalšího zdokonalení technologie výroby bezešvých trub, avšak ani nyní není možno tvrdit, že by byl děrovací proces osvětlen theoreticky v celé šíři a do všech podrobností.

Bude třeba ještě celé řady výzkumných prací, zaměřených jak na výzkum výchozího materiálu pro výrobu bezešvých trub, tak na výzkum vlastního technologického válcovacího procesu, aby byly osvětleny další problémy tváření materiálu při tomto způsobu výroby a vytvořeny předpoklady pro další zdokonalení a zhospodárnění výroby trub. Protože v naší literatuře bylo o tomto způsobu výroby publikováno zatím velmi málo, podávám v této práci některé poznatky, které se opírají jak o různé cizí výzkumné práce, tak o vlastní praktické provozní zkušenosti. Pozoruhodných výsledků dosáhli v theoretickém objasnění děrovacího procesu v posledních asi deseti letech sovětskí vědci a výzkumníci, kteří se těmito problémy zabývali s neobyčejnou důsledností a přispěli podstatnou měrou k mořadnému rozvoji sovětské výroby trub.

Duté předvalky se zhotovují na děrovacích strojích buď jako tlustostěnné, krátké, duté předvalky,

které se vyválcují na hotové tenkostěnné trubky na poutnické válcovací stolici, nebo se zhotovi dutý, značně dlouhý a poměrně tenkostěnný předvalem, který se vyválcuje na hotovou trubku na t. zv. automatu.

Existují sice ještě jiné způsoby výroby bezešvých trub válcováním, ale princip výroby dutých předvaků — kromě způsobů výroby výchozího poloto-

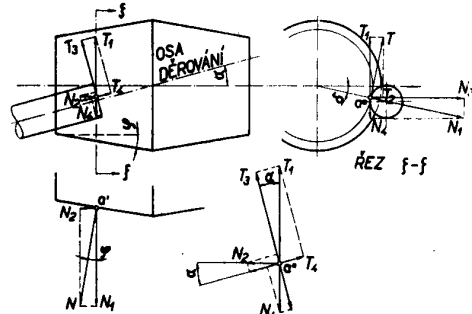


Obr. 1. Rychlosti při záběru sochoru.

varu lisováním — které jsou ve všech případech výchozím polotovarem pro další válcování, zůstává v podstatě tentýž, jak uvedeno výše.

**Hlavní zásady racionálního způsobu výroby dutých předvaků děrováním** jsou tyto:

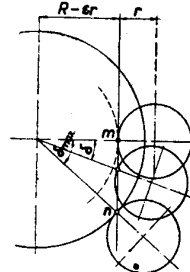
1. Zhotovení co možno nejdélších a tenkostěnných předvaků. Tím se dosáhne toho, že tváření materiálu při dalších výrobních operacích je poměrně malé, což je výhodné především s hlediska výkonu výrobních zařízení a spotřeby energie.



Obr. 2. Sily při záběru sochoru.

2. Zhotovení předvaků přesně centrických, s hladkým vnějším a vnitřním povrchem. To zabezpečuje výrobu trub s rovnoměrnou tloušťkou stěny po jejich obvodě i po jejich délce, v souhlase s přípustnými rozmezovými úchylkami, a výrobu trub bez vad na vnějším a vnitřním povrchu.

3. Zhotovení dutých předvaků v době co nejkratší, což je podmínkou jednak výkonu děrovacího stroje, jednak je výhodné i s hlediska technologic-



Obr. 3. Geometrické místo bodů záběru sochoru.

kého, neboť zabezpečuje dostatečně vysokou teplotu materiálu pro další výrobní operace.

4. Zhotovení dutých předvaků s co nejmenší spotřebou energie, což přímo souvisí s hospodárností výroby.

V tomto pojednání si blíže osvětlíme některé z podmínek hlavních zásad racionálního děrovacího procesu, a to především mechanické poměry při kosém válcování, přičiny a podmínky vzniku dutiny při tomto způsobu válcování a vliv a účinek tvaru nástrojů a jejich vzájemné polohy. Předpokládáme při tom správné prohřátí výchozího materiálu, ingotu nebo sochoru, a jejich ohřátí na požadovanou a plastickým vlastnostem materiálu, s ohledem na jeho chemické složení, odpovídající teplotu ohřevu.

Nejdříve si blíže všimneme podmínek jistého záběru válců, což je důležité hlavně při válcování lemovaných ocelí se sníženou plastičností a zvýšenou citlivostí k tvoření trčáků a různých vad na vývalcích, a podmínek správného nastavení děrovacího stroje, aby vznik dutiny dával jistotu zhotovení dutých předvaků bez vnitřních vad.

#### Podmínky záběru válců při kosém válcování.

Vnější síly, které působí na válcovaný kov při děrovacím procesu kosého válcování, jsou jednak síly odvozené od děrovacích válců, jednak tlaky děrovacího trnu a odpory tření. K nim přistupují dále tlaky vodicích válců či pravítka a jím příslušející odpory tření. Pro začátek válcování, t. j. pro okamžík uchopení sochoru nebo ingotu válcí, působí na válcovaný materiál pouze tlak válců a jemu odpovídající odpor tření. Tlak válců je vyvozen obvodovou silou válců v místě styku materiálu a válců.

Obvodovou rychlosť v libovolném místě vstupního kuželu děrovacích válců můžeme vyjádřit jako součin úhlové rychlosti válců  $\omega$  a příslušného poloměru  $R$ :

$$v = R \cdot \omega \quad (1)$$

Při tom úhlová rychlosť je dána výrazem  $\omega = \frac{\pi \cdot n}{30}$ , kde  $n$  jsou otáčky válců. Pokud zůstávají otáčky válců stálé, nemění se ani úhlová rychlosť a obvodová rychlosť  $v$  je přímo úměrná poloměru  $R$ . Mění se od určité minimální hodnoty  $v$  na poloměru  $R'$  (obr. 1) až k hodnotě  $v_{\max}$  na poloměru  $R_0$ , který odpovídá největšímu průměru válců.

Obvodovou rychlosť válců možno rozložiti ve dvě vzájemně kolmé složky:

ve složku rovnoběžnou s osou děrování

$$v_s = v \cdot \sin \alpha = R \cdot \omega \cdot \sin \alpha \quad (2a)$$

ve složku kolmou k ose děrování, spadající do směru otáčení děrovaného sochoru nebo ingotu,

$$v_t = v \cdot \cos \alpha = R \cdot \omega \cdot \cos \alpha \quad (2b)$$

Z rovnice (2b) plyne, že obvodová složka rychlosti je úměrná poloměru válců  $R$  a zvětšuje se, jak materiál postupuje od místa záběru až k rovině průchodu (kde  $R = R_0 = R_{\max}$ ).

Obvodové složce rychlosti  $v$  odpovídá obvodová rychlosť otáčejícího se sochoru nebo ingotu. Je-li poloměr sochoru nebo ingotu  $r$ , je dána jeho obvodová rychlosť, vyjádřená jeho úhlovou rychlosťí  $\omega_s$  dánou výrazem

$$v_s = \omega_s \cdot r \quad (3)$$

Roč. VIII., čís. 3.

Počta: Zásady racionálního děrování...

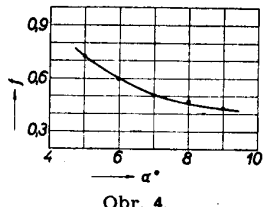
Hutnické listy.

V ideálním případě jsou obvodové rychlosti válce a děrovaného materiálu v místě styku stejné:

$$\begin{aligned} v_s &= v_t \\ \omega_s \cdot r &= \omega \cdot R \cdot \cos \alpha \end{aligned} \quad (4)$$

Se vzrůstajícím poloměrem válce  $R$  vzrůstá obvodová rychlosť, současně se však následkem tlaku válce na materiál zmenšuje poloměr  $r$ . Má-li zůstat zachována rovnost (4), musí se zvětšovat levá strana rovnice, t. j. musí se zvětšovat úhlová rychlosť sochoru nebo ingotu  $\omega_s$ .

Následkem toho, že materiál na styčné ploše vstupního kuželu děrovacích válců kroužek a zkruzuje se, nerovnoměrnost obvodových rychlosťí se vyrovnává. Během dalšího procesu děrování se so-



Obr. 4.

Obr. 4. Výpočtová hodnota součinitele tření pro záběr v závislosti na úhlu sklonu válce.

Obr. 6. Výpočtová hodnota součinitele tření pro rotaci v závislosti na úhlu sklonu válce.

chor nebo ingot otáčí jakousi střední úlohou rychlostí.

Podmínky záběru děrovaných sochorů nebo ingotů válce lze vyjádřit matematicky<sup>1)</sup>. Na počátku záběru působí na materiál tlak válce  $N$ , který působí kolmo ke stykové ploše, a odpor tření  $T$ , který působí ve směru tečny dotykové kružnice proti smyslu relativního pohybu válce a materiálu. (Obr. 2.)

Při tom předpokládáme, že tlak válce  $N$  působí v takovém směru kolmo na dotykovou plochu, že prochází středem děrovaného sochoru. Tento předpoklad je oprávněn pro případ, kde předpokládáme bodový dotyk válce a sochoru v uvažované rovině, t. j. v okamžiku začátku záběru. Pro další průběh děrování můžeme však rovněž předpokládat, že výslednice tlaků na oblouku dotyku prochází osou děrovaného předvalku.

Tlak válce  $N$  se jeví v pravé velikosti v nárysce obr. 2, který je nárysou rovinou, v níž vektor  $N$  leží. Možno jej rozložit ve dvě složky: první,  $N_1$ , spadá do roviny  $\xi - \xi$  proložené dotykovým bodem kolmo k ose válce a druhá,  $N_2$ , je k této rovině kolmá.

$$N_1 = N \cdot \cos \varphi \quad (5a)$$

$$N_2 = N \cdot \sin \varphi \quad (5b)$$

$\varphi$  je úhel povrchové přímky kužele děrovacího válce.

V nárysce se promítá složka  $N_1$  jako složka  $N_4$ , kdežto složka  $N_2$  se zde jeví v pravé velikosti. V nárysce, v němž se jeví složka  $N_1$  v pravé velikosti, možno ji rozložit ve dvě složky:

$$N_3 = N_1 \cdot \cos \delta \quad (6a)$$

$$N_4 = N_1 \cdot \sin \delta \quad (6b)$$

$\delta$ , odpovídající dotykovému bodu  $\alpha$ , závisí na poměru poloměru válce a sochoru či ingotu v uvažovaném místě.  $\delta_{\max}$  odpovídá maximálnímu průměru sochoru nebo ingotu, který lze mezi válci ještě

děrovat,  $\delta_{\min}$  by odpovídalo minimálnímu průměru kalibru v rovině průchodu.

V nárysce možno složky tlaku  $N$  rozložit dále ve složky, které působí ve směru osy děrování a ve složky, které jsou k ní kolmé a působí ve směru obvodu děrovaného sochoru nebo ingotu:

Osové složky

$$N_3 \cdot \cos \alpha = N \cdot \sin \varphi \cdot \cos \alpha$$

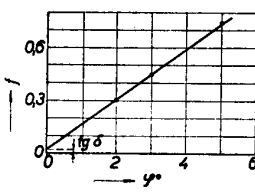
$$N_4 \cdot \sin \alpha = N_1 \cdot \sin \delta \cdot \sin \alpha = N \cdot \cos \varphi \cdot \sin \delta \cdot \cos \alpha$$

tečné složky

$$N_3 \cdot \sin \alpha = \sin \varphi \cdot \sin \alpha$$

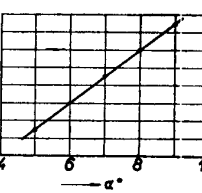
$$N_4 \cdot \cos \alpha = N_1 \cdot \sin \delta \cdot \sin \alpha = N \cdot \cos \varphi \cdot \sin \delta \cdot \cos \alpha$$

Obdobně lze rozložit i odpor tření  $T$  ve složky, které spadají do směru osy děrování, a ve složky



Obr. 5.

Obr. 5. Výpočtová hodnota součinitele tření pro záběr v závislosti na kuželovitosti válce.



Obr. 6.

Obr. 6. Výpočtová hodnota součinitele tření pro rotaci v závislosti na úhlu sklonu válce.

k nim kolmé, spadající do směru otáčení sochoru nebo ingotu:

$$\begin{aligned} \text{Osová složka } T_4 &= T_1 \cdot \sin \alpha = T \cdot \cos \delta \cdot \sin \alpha \\ \text{tečná složka } T_3 &= T_1 \cdot \cos \alpha = T \cdot \cos \delta \cdot \cos \alpha \end{aligned}$$

Mezi odporem tření  $T$  a normálním tlakem  $N$  je vztah

$$T = f \cdot N. \quad (7)$$

kde  $f$  je součinitel tření.

Pak lze složky odporu tření vyjádřit těmito výrazy:

$$T_4 = f \cdot N \cdot \cos \delta \cdot \sin \alpha$$

$$T_3 = f \cdot N \cdot \cos \delta \cdot \cos \alpha$$

Podmínkou záběru je, aby výsledná osová síla, skládající se ze složek tlaku  $N$  a z odporu tření  $T$ , byla větší než nula a působila ve smyslu válcování, t. j. vtahovala materiál mezi válce. Tuto podmíinku lze vyjádřit rovnicí:

$$f \cdot N \cdot \cos \delta \cdot \sin \alpha \geq N \cdot \sin \varphi \cdot \cos \alpha + N \cdot \cos \varphi \cdot \sin \delta \cdot \sin \alpha \quad (8)$$

$$f \cdot \cos \delta \geq \sin \varphi \cdot \cotg \alpha + \cos \varphi \cdot \sin \delta$$

$$f \geq \frac{\sin \varphi \cdot \cotg \alpha}{\cos \delta} + \cos \varphi \cdot \tg \delta \quad (9)$$

Toto je základní rovnice podmínky záběru děrovacích válců, při níž je sochor či ingot uchycen válci a vtahován mezi ně.

Druhou podmínkou záběru je požadavek, že válce nesmějí po sochoru nebo ingotu sklouznout, ale musí jej uvést do rotace. Tato podmínka bude splněna, když výsledná obvodová síla na sochoru nebo ingotu bude větší než nula a bude mít smysl souhlasný se smyslem rotace materiálu. Tuto podmíinku lze vyjádřit rovnicí:

$$T_1 \cdot \cos \alpha + N_2 \cdot \sin \alpha \geq N_4 \cdot \cos \alpha \quad (10)$$

$$f \cdot N \cdot \cos \delta \cdot \cos \alpha + N \cdot \sin \varphi \cdot \sin \alpha \geq N \cdot \cos \varphi \cdot \sin \delta \cdot \cos \alpha$$

$$f \geq \cos \varphi \cdot \tg \delta - \frac{\sin \varphi \cdot \tg \alpha}{\cos \delta} \quad (11)$$

Hutnické listy.

Počta: Zásady racionálního děrování...

Roč. VIII., čís. 3.

Toto je základní rovnice podmínky rotace sochoru nebo ingotu účinkem tření.

Srovnáme-li rovnice (9) a (11), vidíme, že mají společný člen  $\cos \varphi \cdot \operatorname{tg} \delta$  a že se různí druhým členem jak co do velikosti, tak co do známénka.

Aby nenastalo klouzání válců, musí být splněna tato podmínka:

$$f \cdot \cos \delta + \sin \varphi \cdot \operatorname{tg} \alpha \geq \cos \varphi \cdot \sin \delta \quad (12)$$

V rovnicích (9) a (11), resp. (12) se vyskytuje trigonometrická funkce úhlu  $\delta$ , jehož velikost závisí na sklonu osy válce k ose děrování (úhel  $\alpha$ ) a na poměru průměru válce a sochoru či ingotu. Přesné určení úhlu  $\delta$  je obtížné, možno jej však určit s dostatečnou přesností podle této úvahy (obr. 3):

Kdyby nebyl válec k ose děrování skloněn, t. j. při  $\alpha = 0$ , dotýkal by se sochor válce v bodě  $m$ . V tomto případě je  $\delta = 0$ . Při úhlu  $\alpha = 90^\circ$  by se dotýkal válec sochoru na kružnici svého maximálního průměru přibližně v bodě  $n$ , takže spojnice  $mn$  je přibližně geometrickým místem bodů dotyku sochoru a válce. Při libovolném úhlu  $\alpha$  (v rozmezí od 0 do  $90^\circ$ ) lze určit kosinus úhlu  $\delta$  podle rovnice

$$\cos \delta_{\max} = \frac{R - \epsilon \cdot r}{R} \quad (13)$$

V rovnici (13) značí:  $R$  maximální poloměr válce,  $r$  poloměr sochoru a  $\epsilon$  součinitel zúžení (redukce) průřezu sochoru při průchodu mezi válci.

Úhel  $\delta$  lze pak určit z této úměry:

$$\begin{aligned} \alpha &= 0, \delta = \delta_{\min} = 0 \\ \alpha &= 90^\circ, \delta = \delta_{\max} \\ \delta : \alpha &= \delta_{\max} : 90 \\ \delta &= \frac{\alpha \cdot \delta_{\max}}{90} \end{aligned} \quad (14)$$

Když provedeme výpočet součinitele tření  $f$  pro případ poloměru válců v místě záběru  $R = 300$  mm, pro zvolenou redukci sochoru  $\epsilon = 0,20$ , pro dva případy děrovaných sochorů o poloměrech  $r = 60$  a 100 mm a pro úhel povrchové přímky vstupního kuželu děrovacího válce  $\varphi = 3^\circ 30'$ , obdržíme hodnoty sestavené v tab. I. Diagram na obr. 4 ukažuje závislost součinitele tření  $f$  na velikosti úhlu sklonu děrovacích válců  $\alpha$ .

Hodnotě součinitele tření  $f$ , uvedené v tabulce i v diagramu je třeba rozumět tak, že při daných geometrických poměrech by musel být součinitel tření nejméně tak veliký, jak je uveden v tabulce či na diagramu, aby bylo zaručeno, že válcovaný sochor či ingot bude vtažen mezi válce. Čili naopak lze při známém nebo předpokládaném součiniteli  $f$  najít takový úhel sklonu válců při známém úhlu jejich povrchové přímky, při kterém bude záběr zcela spolehlivý.

Provedeme-li výpočet součinitele tření při určitém nastavení válců ( $\alpha = 7^\circ$ ) a při stejných podmínkách ( $R = 300$  mm,  $r = 60$  mm), avšak při různém úhlu povrchové přímky vstupního kužele válců  $\varphi$ , obdržíme hodnoty součinitele tření, jak jsou znázorněny na diagramu obr. 5.

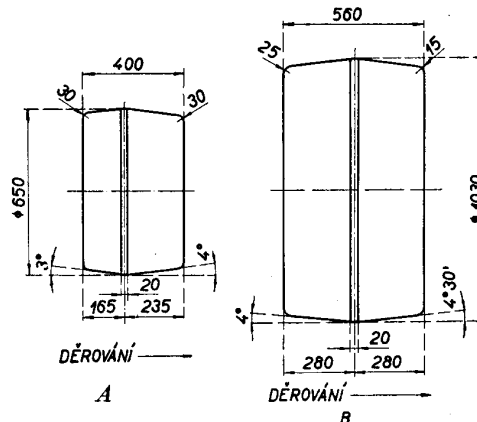
Z diagramu obr. 5 plyne, že vypočtená hodnota součinitele tření  $f$  se mění v závislosti na úhlu  $\varphi$ . Tyto hodnoty součinitele tření je třeba opět chápát

tak, že při určitém daném nebo předpokládaném součiniteli tření a při určitém nastavení válců musí mít válcové určitý sklon povrchové přímky, aby záběr byl jistý.

Z toho, co zde bylo řečeno, lze vyvodit tato pravidla pro záběr válců při děrování (pro začátek děrování):

1. záběr je při určité jakosti povrchové plochy válců tím spolehlivější, čím větší je úhel sklonu válců;

2. záběr je při určité jakosti povrchové plochy válců tím lepší, čím menší je úhel povrchové přímky vstupního kužele válců.



$A$  = pro děrovací stroj  $2\frac{1}{4}$  až  $4\frac{1}{2}''$ ,  $B$  = pro děrovací stroj 3 až  $8\frac{1}{2}''$ .

Obr. 7. Tvary děrovacích válců.

Odhadneme-li velikost součinitele  $f$  podle drsnosti povrchu válců a jakosti válcovaného materiálu na 0,5 až 0,6, vidíme z diagramů na obr. 3 a 4, že při úhlu povrchové přímky  $\varphi = 3^\circ 30'$  musíme volit úhel sklonu válců  $\alpha$  nejméně 6 až  $7^\circ$ , má-li být splněna podmínka jistého záběru. Naopak, pracujeme-li na děrovacím stroji s úhlem sklonu  $\alpha = 7^\circ$ , třeba volit válc s úhlem  $\varphi$  nejvýše 3 až  $4^\circ$ , aby záběr byl jistý.

Důležitý je též poznatek, že podmínky záběru celkem málo závisí na průměru válcovaného sochoru, pokud se děje na děrovacích strojích obvyklých konstrukcí, s válcí obvyklých rozměrů pro určitý výrobní rozsah.

Pokud jde o podmínu rotace, vyjádřenou rovnicí (11), může být absolutní hodnota součinitele tření  $f$  značně menší (řádově menší), než jsou vypočtené hodnoty  $f$  jako podmínka záběru. Rozborom rovnice (11) zjistíme, že její druhý člen ve srovnání s prvním členem je značně malý a zanedbatelný. Za tohoto předpokladu závisí hodnota  $f$  na součinu  $\cos \varphi \cdot \operatorname{tg} \delta$ . Při určitém úhlu  $\varphi$  závisí součinitel  $f$  na  $\operatorname{tg} \delta$ . Protože při určitých geometrických poměrech děrovacího stroje (průměr válce, průměr sochoru, redukce sochoru) je úhel  $\delta$  přímo úměrný úhlu nastavení válců  $\alpha$ , bude hodnota  $f$  úměrná úhlu  $\alpha$ . Čím větší bude  $\alpha$ , tím větší bude i výpočtová hodnota  $f$  (obr. 6).

Závěrem možno k podmínce rotace říci, že při dané jakosti povrchu válců, t. j. při určitém součiniteli tření  $f$ , se budou podmínky rotace zhoršo-

Roč. VIII., čís. 3.

Počta: Zásady racionálního děrování...

Hutnické listy.

Tab. I. Výpočtová hodnota součinitele tření.

$r$ mm	$\delta_{\max}$	$\alpha$	$\cot \alpha$	$\delta$	$\cos \delta$	$\operatorname{tg} \delta$	$f$
60	$16^{\circ} 15'$	5°	11,43005	54'11"	0,99987	0,01571	0,714
		6°	9,51436	1° 4'58"	0,99982	0,01891	0,600
		7°	8,14435	1° 15'50"	0,99976	0,02211	0,519
		7°30'	7,59575	1° 21'14"	0,99915	0,02357	0,488
		8°	7,11537	1° 26'38"	0,99910	0,02532	0,460
		9°	6,31375	1° 37'30"	0,99900	0,02852	0,414
		5°	11,43005	1° 10'	0,99979	0,02036	0,718
		6°	9,51436	1° 24'	0,99970	0,02153	0,603
		7°	8,14435	1° 38'	0,99960	0,02860	0,506
		8°	7,11537	1° 52'	0,99947	0,03259	0,467
		9°	6,31375	2° 6'	0,99938	0,03667	0,422

Poloměr válců  $R = 300$  mm,  
redukce průřezu  $\epsilon = 0,20$ ,  
kuželovitost válců  $\varphi = 3^{\circ}30'$  ( $\sin \varphi = 0,06105$ ,  $\cos \varphi = 0,99813$ ).

Vat se zvětšujícím se úhlem sklonu válců  $\alpha$ . Protože však výpočtová hodnota součinitel tření  $f$  je rádově menší než skutečný součinitel tření  $f$ , bude při všech nastaveních válců, která přicházejí v úvahu při zachovávání podmínky rotace, podmínka rotace sochoru vlivem tření vždy splněna.

Pro posouzení geometrických poměrů děrovacího stroje je proto směrodatná především a v mnohem převažující míře podmínka záběru.

#### Závěr.

1. Jedna z podmínek úspěšného děrování při výrobě dutých předvalků je podmínka spolehlivého záběru materiálu válcí děrovacího stroje. Materiál, t. j. sochor nebo ingot, musí být uveden do rotace a vtahován mezi válce dostatečnou silou, jinak vzniká nebezpečí t. zv. počátečních trčáků\*), které představují výrobní zmetky.

2. Podmínu záběru lze za určitých předpokladů vyjádřit matematicky. Z tohoto matematického vyjádření plyne, že záběr bude tím lepší, čím větší bude úhel sklonu válců vzhledem k ose děrování a čím menší bude úhel povrchové přímky vstupního kuželeválců. Tato podmínka je však vázána na určité geometrické podmínky děrovacího stroje, jako je poměr průměru válců děrovaného sochoru, a na jakost povrchu děrovacích válců. Dalším činem je druh a jakost válcovaného materiálu.

Praktické zkušenosti potvrzují správnost matematického vyjádření podmínky záběru podle rovnice (9), která může být současně pomůckou pro srovnání vhodnosti konstruktivního provedení různých děrovacích strojů. Význam matematického vyjádření podmínky záběru je důležitý hlavně u ocelí legovaných a u uhlíkových ocelí s vyšším obsahem uhlíku, kteréto ocele mají poměrně úzký rozsah teplot, při nichž má materiál vhodné plastické vlastnosti pro zdarný průběh děrovacího procesu.

3. Podmínu rotace lze matematicky vyjádřit rovněž vhodnými vzorci, ve kterých se vyskytuje součinitel tření a vliv velikosti zmáčknutí sochoru či ingotu při záběru děrovacích válců. Důležitou podmínkou, aby sochor či ingot byl uveden do rotace, je, aby tlak válců byl dostatečně velký a vyvolal tak velké síly tření, že se zabrání sklouznutí

\*) Trčák, rusky nědokat, něm. Stecker, vývalek, který neprošel válci.

válců po děrovém sochoru. Základním předpokladem, vedle vhodné volené vzdálenosti mezi válcí, je správný plastický stav materiálu. Materiál musí být prohřát rovnoměrně a nesmí být ani místně (zejména ne na koncích sochoru či ingotu) přehřát.

Protože rotace lze za určitých podmínek spolehlivě dosáhnout na vhodně opracovaných válcích děrovacích, je nesprávné a nepřípustné napomáhat záběru a rotaci tím, že se povrch válců zdrsní, na př. záseky, návary atp.

4. S ohledem na rychlosť děrování a tím i na rychlosť děrovacího stroje, jakož i na rozměry vyděrovaných dutých předvalků, volí se úhel vzájemného sklonu válců děrovacího stroje s válcí tvaru komolých dvojkuzélů dostatečně veliký. Bývá na př. 12 až 16°, někdy i nad 16°. U děrovacích strojů válcovacích trati s poutnickými stoliciemi, které mají válcové složitějších tvarů a na nichž se válcují krátké, tlustostěnné předvalky, bývá úhel sklonu značně menší. Ale tento typ děrovacích strojů, stejně jako děrovací stroje kotoučové, nebyl předmětem tohoto pojednání.

Úhel povrchové přímky vstupního kuželeválců se volí co nejmenší zejména při válcování legovaných ocelí. Bývá na př. 2 až 4°, nejčastěji 3 až 3,5°. Na obr. 7 jsou naznačeny tvary válců děrovacích strojů, které se velmi dobře osvědčily pro válcování legovaných ocelí.

#### Vznik dutiny při kosém válcování.

##### Kosé válcování.

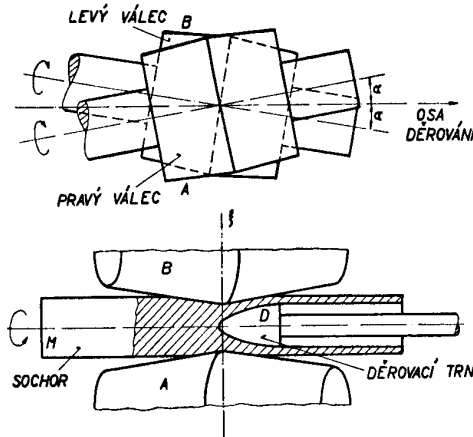
Děrovací proces, používaný pro výrobu dutých cylindrických předvalků, které jsou výchozím polotovarem pro další válcování bezešvých trub, je v podstatě kosé válcování, a to buď mezi kuželovitými válcí, vzájemně k sobě šikmo položenými, nebo mezi kuželovitými kotouči. Kuželovitost válců nebo kotoučů má za následek, že příčný tlak na válcovaný výchozí materiál se během děrování zvětšuje, vzájemně kosé nastavení válců, příp. přesazení kotoučů vzhledem k ose děrování dává vznik osové složce vnější síly, která působí na materiál a vtahuje jej mezi válice nebo kotouče.

Na obr. 8 je schematicky znázorněn způsob děrování mezi válcí tvaru dvojitého komolého kuželeválců. Děrovací válcé A a B se otáčejí v souhlasném smyslu a uvádějí do rotace kruhový ingot nebo sochor M, za kterého se vyválcuje dutý silnostěnný předvalek. D je trn, který usnadňuje tvorbu dutého předvalku a umožňuje příčné rozválcování předvalku, takže jeho vnitřní průřez je kruhový, hladký a tloušťka jeho stěny je co nejmenší.

Schematické znázornění děrování na stroji s děrovacími kotouči je na obr. 9. A a B jsou děrovací kotouče, které se otáčejí ve stejném smyslu, D je děrovací trn, M děrovaný sochor. Působení děrovacích kotoučů je stejně jako v předchozím případě působení válců: vzniká dutina v sochoru a příčné rozválcování na dutý předvalek na vloženém trnu.

Pro vznik dutiny je směrodatný především příčný tlak na sochor nebo ingot. Protože se sochor nebo

ingot mezi válci otáčí, mění se během každé otáčky neustále směr tohoto příčného tlaku. Účinkem tohoto příčného tlaku se materiál deformuje, původně kruhový průřez se mění v průřez oválného tvaru. Velká i malá osa tohoto oválu mění během otáčky



Obr. 8. Schema děrování v děrovacím stroji s válci tvaru dvojitych komolých kuželů.

rovněž svoji polohu. Pod účinkem napětí v jádře průřezu válcovaného materiálu, měnících svoji velikost i smysl, dojde nakonec k úplnému uvolnění částic materiálu a ke vzniku dutiny.

#### Theorie kosého válcování.

Představa o příčinách vzniku dutiny při kosém válcování nebyla dlouho jasná a ještě nyní ji není možno považovat za plně objasněnou. Některí autoři teorie kosého válcování, jako na př. K. Gruber<sup>2</sup>), přičítali vznik dutiny tomu, že částice materiálu se účinkem válců šroubovitě posouvají vpřed, a to nejen na povrchu válcovaného sochoru nebo ingotu, ale též uvnitř, při čemž se vnitřní částice materiálu pod účinkem válců nuceně ve šroubovitě dráze pohybují k vnějšímu povrchu předvalku. F. Kocks<sup>3</sup>) vysvětuje vznik dutiny uvolněním vnitřních vrstev materiálu v ingotu nebo sochoru účinkem posuvných sil odvozených od tlaku válců a měnících svůj směr při otáčení sochoru nebo ingotu. Kromě toho předpokládá, že pod účinkem osových složek vnějších sil se vnitřní částice materiálu posouvají k vnějšímu povrchu.

Hodnota práce Kocksovy spočívá v tom, že na podkladě praktických zkoušek provedl systematický průzkum průběhu tváření materiálu při děrování, avšak závěry, které na podkladě tohoto průzkumu učinil, nejsou správné. Nevysvětuje přesně účinek vnějších sil a rozložení napětí a vysvětuje nesprávně vznik dutiny a prodlužování předvalku tím, že dochází k putování vnitřních vrstev materiálu k vnějšímu povrchu dutého předvalku. Kocks prováděl svůj průzkum děrovacího procesu na dutých předvalcích, u nichž zřejmě docházelo k předčasnemu vzniku dutiny před špičkou děrovacího trnu. Jde o nesprávně vedený děrovací proces.

Vývody Kocksovy byly předmětem diskuse a námitek. Na př. A. Nöll dokázal na podkladě pokusů, že dutiny mohou vznikat i při válcování mezi cy-

lindrickými válci s rovnoběžnými osami, a podle průběhu vláken je zřejmé, že nedochází k putování vnitřních vrstev materiálu k obvodu dutého předvalku<sup>4</sup>). Velmi podrobnému rozboru a kritice podrobil Kocksovu práci G. B. Lobkowitz<sup>5</sup>). Lobkowitz ukazuje správně na to, že Kocksova tvrzení, jako by dutina vznikala účinkem snykových napětí, je naprostě nesprávné, neboť tato snyková napětí by musela působit i na povrchu děrováho materiálu, kolmo k povrchu, a materiál by musel být vlastně v radiální rovině stříhan. Lobkowitz tuto představu mechanismu vzniku dutiny vyvraci a nahrazuje ji vlastní teorií, při niž vychází z představy, že účinkem tlaku válců na materiál vznikají uvnitř materiálu tlaková napětí. Avšak zcela nesprávně vykládá a vysvětluje průběh těchto napětí v průřezu děrováho materiálu. Proto jeho závěr, jako by dutina vznikala účinkem tlakových napětí, je zcela nesprávný a nesprávné jsou i další vývody, které z této představy Lobkowitz vyvzouje.

Tyto názory na vznik dutiny při kosém válcování a stejně i názory jiných autorů se ukázaly jako nesprávné. Základ pro správný theoretický výklad vzniku dutiny ve válci namáhaném příčným tlakem podal E. Siebel<sup>6</sup>.

Siebel vychází z řešení stavu napětí v plném válci namáhaném příčným tlakem, jak tuto úlohu řešil A. a L. Föppl pro případ namáhání v oblasti pružných deformací. Působí-li na válec příčný tlak  $P$ , rozdělí se tímto tlakem vyvozené tlakové napětí v kruhovém průřezu válce nerovnoměrně, jak patrně z průběhu trajektorii napětí na obr. 10. Na libovolnou částku průřezu působí jednak tlaková napětí —  $\sigma_I$ , jednak k nim kolmá tahová napětí —  $\sigma_{II}$ .

Tato tahová napětí musí být na vnějším povrchu rovna nule a maxima dosahují ve středu kruhového průřezu. Velikost napětí ve středu kruhového průřezu lze podle A. a L. Föppla vypočítat z těchto rovnic:

$$\sigma_I = -\frac{3P}{a \cdot l \cdot \pi}$$

$$\sigma_{II} = \frac{P}{a \cdot l \cdot \pi}$$

kde značí:

$P$  — příčný tlak,  
 $a$  — poloměr kruhového průřezu,  
 $l$  — délka válce.

Stupňujeme-li příčný tlak tak, že v místě jeho působení vzniknou trvalé deformace, změní se původně kruhový průřez v eliptický. Trvalé deformace zůstanou omezeny jen na onu část průřezu, která leží pod plochou, na niž působí tlak  $P$ , kdežto větší část průřezu se deforma pouze pružně (viz obr. 11, kde je plocha s trvalými deformacemi vyčárkována.) Při větším tlaku  $P$  se rozloží trvalé deformace napříč až do středu průřezu (obr. 12), při čemž tlakové napětí má v rovině procházející středem průřezu a v rovině kolmě ke směru tlaku minimální hodnotu. Kromě toho působí v jádře průřezu odpovídající snyková napětí, která mají svoje maximum v rovinách skloněných ke směru vnější síly  $P$  pod úhlem  $45^\circ$  (viz obr. 13).

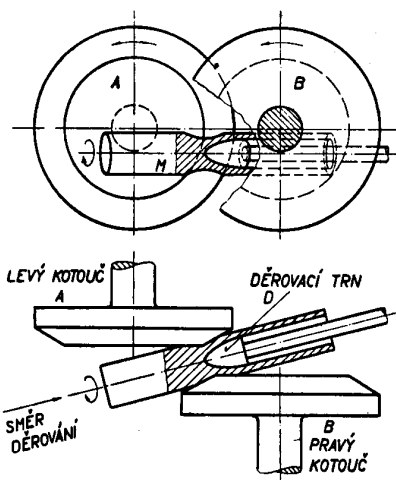
Otáčí-li se válec namáhaný příčným tlakem, mění

Roč. VIII., čís. 3.

Počta: Zásady racionálního děrování...

Hutnické listy.

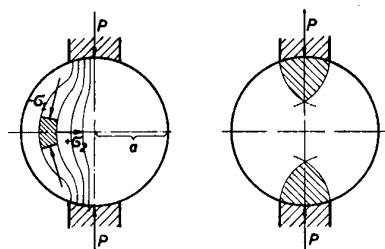
se během jedné otáčky poloha působiště vnějšího tlaku  $P$  a tím též poloha hlavních směrů deformace a poloha hlavních napětí. Vnější částice materiálu, které leží na povrchu válce a pod ním, jsou vystaveny trvalým deformacím jen tehdy, jsou-li v místě působiště tlaku  $P$ . Naproti tomu v jádře průřezu



Obr. 9. Schema děrování v děrovacím stroji s děrovacími kotouči.

jsou částice materiálu vystaveny trvale účinku velkých snykových napětí, kterým nakonec nemohou trvale vzdorovat a deformují se. Účinkem této snykových napětí, která udržuje při rotaci válce radiální směr, se částice materiálu rozrušují a uvolňují.

Siebel si dále všimá toho, jak jsou rozdělena axiální napětí v průřezu děrovaného materiálu. Ve vnějších vrstvách materiálu jsou axiální napětí tlaková, ve vnitřních vrstvách tahová. Tato představa



Obr. 10. Napětí v kruhovém průřezu pod účinkem příčného tlaku.

Obr. 11. Průběh trvalých deformací v kruhovém průřezu pod účinkem příčného tlaku.

o axiálních napětích je zcela správná, stejně jako Siebelovy vývody o účinku snykových napětí, ale neřeší ještě komplexně theoretické základy děrovacího procesu.

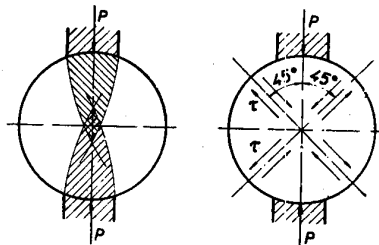
Theoretickými vývody o vzniku dutiny při děrovacím procesu se zabýval též J. Gassen<sup>7)</sup>. Popírá účinek snykových napětí v tom smyslu a rozsahu, jak jej rozvádí F. Kocks, a konstatuje, že pro vznik dutiny při kosém válcování, které je ve své podstatě příčným válcováním, je směrodatný právě tento příčný válcovací účinek, při čemž rozrušení vnitřních vrstev materiálu a vytvoření dutiny je

podporováno tím, že původně kruhový průřez materiálu se tlakem válci mění v průřez eliptický. Při tom si velká a malá poloosa tohoto eliptického průřezu vymění během jedné otáčky dvakrát svoji polohu. Gassen dále rozvádí na podkladě pokusů účinek vlivu nastavení děrovacího trnu vzhledem k děrovacím válcům, při čemž s ohledem na spotřebu energie při děrování se jeví výhodné předsunout děrovací trn do vstupního (děrovacího) kuželes. Zkracuje se tím délka kuželovité části kalibru, kde probíhá zjev příčného válcování.

Přes to, že tyto práce přispely k theoretickému objasnění vzniku dutiny při kosém válcování, nevysvětlily uspokojivě v celém rozsahu tento přetvarový proces. Svedly o tom i pozdější práce, jako je na př. pojednání R. Mooshakeho z r. 1938<sup>8)</sup>, kde je děrovací proces spojován se zjevem předčasného vzniku dutiny před špičkou děrovacího trnu.

Podrobně se zabývali problémem vzniku dutiny při kosém válcování od r. 1940 sovětskí badatelé, kteří tento problém vyřešili nejuspokojivěji a kvalitativně prakticky v celém rozsahu děrovacího procesu. Abychom mohli děrovací proces správně pochopit, musíme nejdříve popsát průběh deformací při kosém válcování.

Kuželovitý tvar válci nebo kotoučů vytváří ve směru válcování zvláštní profil kalibru, kterým



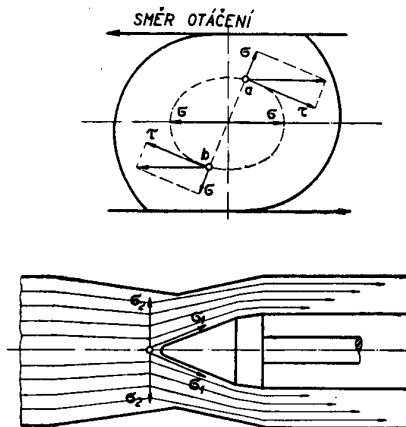
Obr. 12. Průběh trvalých deformací v kruhovém průřezu pod účinkem příčného tlaku.

Obr. 13. Snyková napětí v kruhovém průřezu vystaveném příčnému tlaku.

materiál sochoru nebo ingotu prochází tak, že jednotlivé částice materiálu vykonávají šroubovitý pohyb. Ve směru podélném se sochor nejdříve kuželovitě zužuje a vzniklý dutý předvalem pak kuželovitě rozšiřuje. Rovina, kterou můžeme proložit kolmo k ose sochoru v místě, kde má sochor po stlačení mezi válci nejmenší průměr (přesně vzato nejmenší malou poloosu svého oválného průřezu) a která prochází středy kruhových průřezů válci v jejich největších průměrech, nazveme rovinou průchodu. Je to rovina  $\xi - \xi$ , kolmá k nákresně v půdorysu obr. 8, příp. obr. 9. Část kalibru od vstupu sochoru mezi válci až k rovině průchodu nazveme vstupní děrovací kužel, část kalibru za rovinou průchodu ve směru děrování nazveme výstupní kužel, nebo též kužel příčného rozválcování.

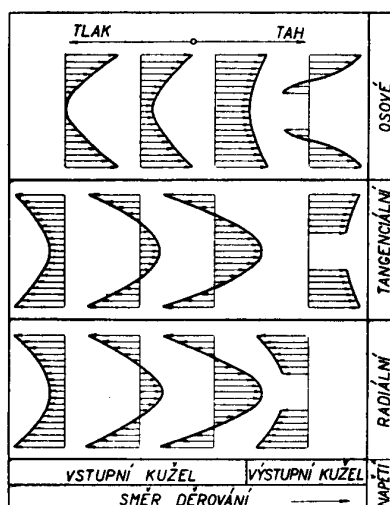
Při uchopení sochoru nebo ingotu válci či kotouči děrovacího stroje působí obvodová síla souhlasně se otácejícími válci tak, že jedna její složka působí jako obvodová síla na povrchu sochoru nebo ingotu a otáčí jím a druhá složka, působící ve směru osy sochoru nebo ingotu, vtahuje materiál mezi válce.

Sochor nebo ingot se ve vstupním kuželi smáčkne a jeho kruhový průřez se změní v průřez přibližně oválný. Při tom, jak sochor nebo ingot postupuje dále do válců, se jeho průřez stále více redukuje, až v rovině průchodu je tato redukce průřezu, s m á č k n u t í, největší. V této rovině jsou rozdíly poloos oválného průřezu sochoru největší.



Obr. 14. Složky radiálního tahového napětí.

Ve vstupním kuželi dochází k příčnému válcování mezi válcí až k rovině, která se dotýká špičky trnu a stojí kolmo k ose sochoru nebo ingotu, to je kolmo k ose děrování. V této části vstupního kužele se pod účinkem příčných tlaků děrovacích válců částice materiálu v ose sochoru nebo předvalku rozrušují a tvoří se dutina.



Obr. 15. Schema rozdělení axiálních, tangenciálních a radiálních napětí při kosém válcování.

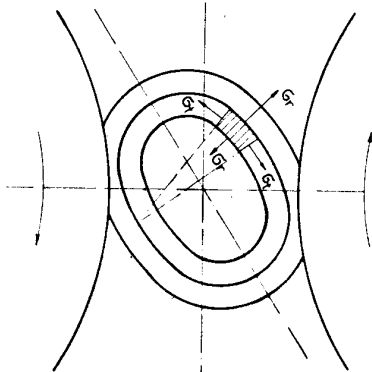
V další části vstupního kužele, do které už zasahuje špička děrovacího trnu, dochází sice k další redukci průřezu, avšak současně se materiál příčně rozválcuje mezi válcí a trnem. Zde působí již trn jako další (třetí) válec.

Ve výstupním kuželi pokračuje toto příčné rozválcování mezi válcí a trnem. Tloušťka stěny předvalku se zeslabuje, jeho vnější průměr se zvětšuje, až v určitém okamžiku zvětšování vnějšího prů-

měru předvalku a zeslabování stěny přestává, předvalek má průřez mezikruží (při válcování mezi trnem a válcí ve výstupním kuželi měl tvar oválný) a získává tak svůj konečný rozměr.

Příčné válcování ve vstupním kuželi a též ve výstupním kuželi, spojené s redukcí průřezu, musí mít nutně za následek osové prodlužování sochoru, příp. předvalku, jak lze dokázat ze zákona stálosti objemu, který musí v časové jednotce projít určitým průřezem. Z toho plyne, že v materiálu vznikají i osová napětí, vyvolaná účinkem sil přemisťujících materiál ve směru osy děrování.

Systematicky se zabýval problémem děrování I. Fomičev, který svoje úvahy opřel o četné praktické pokusy a o pozorování prováděná na umělých trčácích v děrovacím stroji<sup>9)</sup>. Dutina vzniká v předvalku pod účinkem radiálních tahových napětí. Tato radiální tahová napětí dosahují takové velikosti, že rozruší vnitřní osové pásmo materiálu, sochoru nebo ingotu a vytvoří dutinu. Na rozdíl od teorie Siebelovy, která přičítá vznik dutiny vlivu smykových napětí a jejíž správnost je přípustná jen potud, že vysvětuje spontánní rozrušování vnitřních, osových vrstev materiálu jako nepřímý důsledek příčného tlaku při příčném válcování, teorie Fomičevova vysvětuje vznik dutiny účinkem radiálních tahových napětí, která jsou ovladatelná, čímž je ovladatelný i vznik dutiny. Podle Fomičeva možno vhodným tvarem nástrojů a jejich vzájem-



Obr. 16. Schema napětí tangenciálních a radiálních.

ným nastavením vést děrovací proces tak, že uvolňování materiálu nastává právě na špičce děrovacího trnu a tvoří tak předpoklad, že předvalky mají hladký vnitřní povrch.<sup>\*\*</sup>)

Výsledné radiální tahové napětí se geometricky skládá ze složek vznikajících jednak účinkem tangenciálních sil, jednak roztahujících sil na děrovacím trnu, jednak účinkem sil, vtahujících materiál do vstupního kužele. Vysvětlení je patrné ze schémat obr. 14.

Na elementární částice  $a$  a  $b$ , stejně vzdálené od středu, působí tangenciální síly  $\tau$ . Složka napětí v radiálním směru, t. j. ve směru spojnice  $ab$ , je  $\sigma$  a obdržíme ji rozložením síly působící v bodech  $a$

<sup>\*\*) Toto uvolňování materiálu není však způsobeno tím, že by trn materiál „vrtal“; to by muselo mít za následek zvýšení spotřeby energie, potřebné pro děrování. Naopak, děrovací proces vedený podle principu Fomičevova má za následek snížení spotřeby energie.</sup>

Roč. VIII., čís. 3.

Počta: Zásady racionálního děrování...

Hutnické listy.

a  $b$  jako účinek obvodové síly, která způsobuje otáčení sochoru nebo ingotu. Napětí  $\sigma$  je první složka výsledného radiálního napětí, které působí vznik dutiny.

Druhou složkou tohoto radiálního napětí je napětí  $\sigma_2$  jako radiální složka síly  $\sigma_1$ , která způsobuje rozhraní materiálu na trnu a působí ve směru povrchové přímky trnu.

Třetí složkou radiálního napětí v ose sochoru je napětí, které vzniká následkem šroubovitého vtahovalního sochoru při průchodu vstupním kuželem.

Pokud jde o rozdělení osových, tangenciálních a radiálních napětí a jejich velikost a smysl, nejsou ještě známa přesná kvantitativní řešení. Na podkladě provedených pokusů a studiem průběhu deformací při děrování lze pouze usuzovat na rozdelení a účinek těchto napětí, jak je schematicky znázorněno na obr. 15.

Podle schematu osových napětí je jasné patrné, proč povrchové vrstvy materiálu na předvalku předbíhají před vnitřními vrstvami. Ze schematu radiálních napětí je pak zřejmo, že jejich účinek na rozdelení, rozrušení vnitřních vrstev materiálu se uplatňuje před rovinou průchodu, kde tato napětí působí jako napětí tahová.

Složky tahových napětí podle teorie Fomičevovy dávají výslednici, která může co do velikosti přestoupit hodnotu meze pevnosti materiálu a vytvořit v osových vrstvách sochoru dutinu. Praktická cena této teorie spočívá v tom, že vytvořila předpoklady pro vedení takového děrovacího procesu, při němž je zabráněno předčasnemu vzniku dutiny. Správnost této teorie potvrdily práce P. T. Jemeljaněnka, Ju. M. Matvějeva a Ja. L. Vatkina a zejména pak pokusy I. V. Dubrovského a L. I. Matlachova<sup>10)</sup>. Dubrovskij a Matlachov dokázali na podkladě praktických pokusů vést děrovací proces bez předčasného vzniku dutiny ještě před špičkou děrovacího trnu a zavedli velmi úspěšné děrování na trnech s „nosíkem“. Děrování na těchto trnech probíhá při nízké spotřebě energie a předvalky mají hladký a čistý vnitřní povrch.

Jiný výklad o příčině vzniku dutiny podává A. F. Lisočkin<sup>11)</sup>, který vysvětluje vznik dutiny tím, že si válcovaný průřez představuje rozdelen na soustředěné prstence, které se po sobě vzájemně rozválučují. Vysvětlení je patrné ze schematu obr. 16. Při vzájemném rozválcování jednotlivých prstenců po sobě se uplatňuje snaha, že vnější vrstvy se rozválcovávají více než vnitřní, a to na úkor tloušťky. Tak vznikají tahová tangenciální a radiální napětí, která způsobí rozrušení vnitřních vrstev materiálu a vznik dutiny.

Problémem příčin vzniku dutiny se zabývali ještě několik další sovětských vědců. Z nich na př. V. S. Smirnov odvodil na podkladě pokusu rovnici pro výpočet t. zv. „kritického smáčknutí“, t. j. kritické redukce průřezu, při které již dochází ke vzniku dutiny sochoru při kosém válcování (12). Objem dutiny v děrovacím sochoru vyjadřuje empirickou rovnici

$$v_d = 2,8 \cdot v_0 \left( 10 \cdot \frac{d_d}{d_0} - \epsilon \right) \cdot \sqrt[3]{\frac{l_0}{d_0}} \quad (15)$$

V této rovnici značí:

$v_d$  — objem dutiny předvalku po válcování,  
 $v_0$  — objem sochoru před válcováním,  
 $d_d$  — průměr předvalku po děrování,  
 $d_0$  — průměr sochoru před děrováním,  
 $l_0$  — délka sochoru před děrováním,  
 $\epsilon$  — kritické smáčknutí (redukci) v %, při které vzniká dutina.

Kritické smáčknutí (redukce) v procentech pro uhlíkovou ocel s obsahem C = 0,46 % a při  $\frac{l_0}{d_0} \geq 2$  je vyjádřeno v závislosti na teplotě touto empirickou rovnicí.

$$\epsilon = 11,9 - 0,0096 \cdot t \quad (16)$$

kde značí  $t$  teplotu materiálu (v rozmezí od 800 do 1300 °C).

Pro různé teploty a různé poměry  $\frac{l_0}{d_0}$  odvodil V. S. Smirnov grafickou závislost pro kritické smáčknutí, které platí pro uhlíkovou ocel s 0,56 % C<sup>13)</sup>.

#### Zhodnocení teorií kosého válcování.

Při kritickém zhodnocení teorií o příčinách vzniku dutiny v sochoru nebo ingotu při kosém válcování přicházíme k tomuto závěru:

1. Theorie vyslovené K. Gruberem a F. Kocksem, G. B. Lobkowitzem, jakož i v prvními theoretiky kosého válcování (F. Reuleaux a J. Torka) se ukázaly nesprávné. Správněji osvětluje vznik dutiny J. Gassen, když poukazuje na výlučný vliv účinku příčného válcování. Theorii příčin vzniku dutiny však důsledně nerovnádá a neosvětuje.

2. Správné základy pro theoretické osvětlení příčin vzniku dutiny ve válcí namáhaném v různých směrech příčným tlakem podal E. Siebel, jehož vývody byly potvrzeny praktickými pokusy při kování hliníkových válečků. Účinek smykových napětí, jimž jedině příčita příčinu vzniku dutiny, platí pro případ různosměrného namáhání válce příčným tlakem až do oblasti trvalých deformací. S tímto vysvětlením nelze však plně vystačit pro teorii, která by úspěšně vysvětlovala vznik dutiny při kosém válcování v celém souhrnu tohoto složitého a technologického procesu.

3. Nejbližše pravdě je theorie sovětského vědce Fomičeva, která vysvětluje theoreticky v celém rozsahu děrovacího procesu příčiny vzniku dutiny účinkem radiálních tahových napětí a dává praktický návod, jak tento vznik ovládat. Praktické uplatnění teorie Fomičevovy vedlo k pozoruhodnému pokroku ve vedení děrovacího procesu a k zracionálisování válcování bezešvých trub potlačením předčasného vzniku dutiny před špičkou děrovacího trnu.

Fomičev řeší problémy děrovacího procesu kvalitativně, ne však kvantitativně. Všeobecně nutno konstatovat, že i přes značný pokrok v teorii kosého válcování, který přinesli sovětskí vědci, není dosud celý problém tohoto technologického procesu po všech stránkách theoreticky plně osvětlen.

(Pokračování)

*Literatura.*

- 1) S. I. Borisov: „Usilija zachvata metalla pri prošívke v kosoraspoložených valkach.“ *Stal'*, 1950, No. 11, str. 997 až 999.
- 2) K. Gruber: „Über die Herstellung nahtloser Rohre unter Berücksichtung des Mannesmann-Schrägwalz-Verfahrens.“ *Stahl und Eisen*, 39. Jg. (1919), Nr. 36, str. 1029 až 1036; Nr. 37, str. 1067 až 1075.
- 3) F. Kocks: „Das Schrägwalzen.“ *Stahl und Eisen*, 47. Jg. (1927), Nr. 11, str. 433 až 446.
- 4) A. Nöll: *Stahl und Eisen*, 47. Jg. (1927), Nr. 41, str. 1692 až 1693.
- 5) G. B. Lobkowitz: „Das Schrägwalzen.“ *Die Röhrenindustrie*, 20. Jg. (1927), Nr. 5, str. 71 až 74; Nr. 7, str. 103 až 104; Nr. 21, str. 339 až 347; Nr. 22, str. 363 až 365.
- 6) E. Siebel: „Grundsätzliche Betrachtungen z. Schrägwalzen.“ *Stahl und Eisen*, 47. Jg. (1927), Nr. 41, str. 1685 až 1691.
- 7) J. Gassen: „Das Wesen des Schrägwalzens.“ *Archiv für das Eisenhüttenwesen*, 1. Jg. (1927), Nr. 2, str. 127 až 136.
- 8) R. Mooshake: „Die technische und betriebswirtschaftliche Entwicklung des Mannesmannrohr-Walzverfahrens.“ Zvláštní otisk ze *Stahl und Eisen*, 53. Jg. (1933), Nr. 19, str. 465 až 488.
- 9) I. Fomichev: „Process prošívki zagatovok v diskovom prošívnom staně.“ *Stal'*, 1940, zvláštní výtisk z prosince, věnovaný výrobě trub, str. 13 až 20.
- 10) I. V. Dubrovskij - L. I. Matlachov: „Raspoloženie opravki i obrazovanija plen na trubach.“ *Stal'*, 1947, No. 7, str. 626 až 629.
- 11) A. F. Lisočkin: „Poperečnaja prokatka.“ *Stal'*, 1946, No. 6, str. 378 až 385.
- 12) P. T. Jemeljanenko: „Těoriya kosoj i piligrimovoj prokatki.“ *Metallurgizdat*, 1949, Moskva.
- 13) Ju. M. Matvějev - Ja. P. Vatkin: „Kalibrovka valkov i instrumenta trubnych stanov.“ *Metallurgizdat*, 1951, Moskva.

**Uložení válců válcovacích stolic.**

Ing. Fr. Wiesner, Praha.

621.944

(Požadavky na uložení válců. Valivá a kluzná ložiska, jejich vlastnosti a provedení. Vhodnost pro použití jednoho a druhého druhu ložisek.)

Velké válcovací rychlosti a s tím spojené velké, dříve netušené výkony novodobých válcovacích trati byly umožněny vývojem elektrických pohonů a vývojem uložení válců. Ložiska válců ve válcovacích trati pracují za nejnepříznivějších podmínek, jsou vystavena nebezpečí znečištění okujiemi i chladicí vodou, vysokým teplotám a častým nárazům. Výroba přesných ložisek s nejmenším součinitelem tření umožnila používání mnohcálových válcovacích stolic a tím i hospodárné válcování širokých pásů za tepla i za studena.

Jelikož u moderní vícezávodové válcovací stolice jsou pracovní válce uloženy pouze ve vodicích ložiskách, přenáší se všechn radiální tlak na opěrné válce, jejichž průměr bývá několikanásobně větší a dovoluje proto použití mohutných opěrných ložisek.

Na uložení válců válcovací stolice jsou při provozu kladený tyto požadavky:

1. Musí být schopno zachytit spolehlivě vysoké válcovací tlaky, činící až několik set tun.
2. Musí pracovat beze změn, i když toto vysoké zatížení trvá delší dobu.
3. Musí mít co nejmenšího součinitele tření, aby

**Основы рациональной пропивки  
при прокатке бесшовных труб.**

Инж. д-р. В. Почта.

При рациональном способе производства прошитой заготовки (гильзы) необходимо соблюдать следующие главные принципы:

Изготовленная заготовка должна быть длинной и тонкостенной, гладкой и без эксцентричности, а производственный процесс — кратчайшим и с минимальной затратой энергии. Одним из первых условий рационального процесса пропивки является надежный захват заготовки валками и вращение ее при процессе прокатки. Условия захвата заготовки валками можно представить в виде математического соотношения, которое определяет влияние взаимного уклона валков и углов образующей конусности валков.

Подобным образом возможно определить и условия вращения. На основании расчета вытекает, что при принятом угле наклона, образованном осью валка и осью пропивки расстоянием  $6-7^\circ$ , наиболее выгодный угол образующей конусности валка —  $3-4^\circ$ . Большой угол образующей понижает условия хорошего захвата. Что касается теории пропивки мае териала заготовки при косой прокатке, необходимо прежде всего учитывать действиеоперечных давлений. Причиною возникновения полости при пропивке являются радиальные разрывные напряжения, как это было доказано И. Фомичевым, вопреки теориям немецких авторов.

nebylo nutno pohánět opěrné válce, nýbrž aby se tyto válce otáčely působením tření od poháněných pracovních válců.

4. Musí být dobré utěsněny, aby se zábránílo vnikání vody a okuji, neboť na válce působí během provozu vodní sprchy, které mají ze účelu zbavit válcovaný materiál okuji a ochladit válce.

Uvedené požadavky splňují dnes jen dva druhy ložisek a to:

- a) valivá ložiska,
- b) kluzná ložiska s olejovým filmem.

a) *Valivá ložiska.*

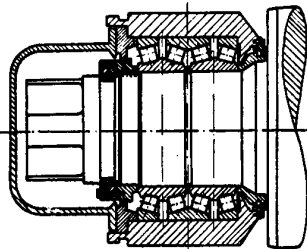
Výhodou valivých ložisek je především jejich malý součinitel tření, který podle A. Palmgrena činí pro dvouradá naklápací ložiska asi 0,0018. Opatření jest rovněž velmi nepatrné, mazání a obsluha jednoduchá. Nevýhodou může být za jistých okolností nepříznivý poměr mezi vnějším a vnitřním průměrem ložiska, který nutí ke zvětšení průměru opěrného válce nad hodnotu nutnou k zamezení průhybu. Každý čep válce bývá uložen bud' ve čtyřradém kuželkovém ložisku soustavy „Timken“, jak to znázorňuje obr. 1, nebo ve dvou dvou-

Roč. VIII., čís. 3.

Wiesner: Uložení válců válcovacích stolic.

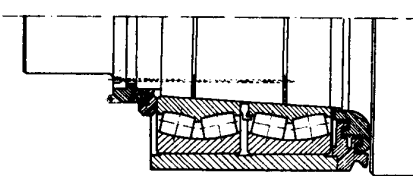
Hutnické listy.

řadých naklápkých válečkových ložiskách, voleňých podle okolnosti obvykle z řad 230, 231 nebo 232 podle „SKF“. Tato ložiska, právě tak jako kuželková, skýtají dostatečnou bezpečnost k zachycení případních menších axiálních sil, vznikajících hlavně následkem nestejnoměrnosti válcovaného materiálu. Válečková ložiska jsou buď pevně nata-



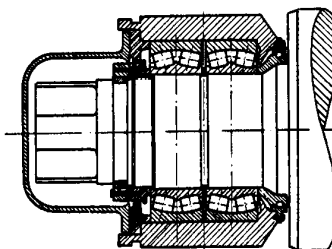
Obr. 1. Čtyřřadé kuželkové ložisko soustavy „Timken“.

žena na konický čep, jak to znázorňuje obr. 2., anebo suvně nasazena na čep válce, což je znázorněno na obr. 3. První z obou způsobů zaručuje lepší pracovní podmínky, neboť spojení čepu s ložiskem je pevné, případné vymontování ložiska jest však obtížné a provádí se vtlacením oleje mezi vnitřní kroužek a čep. Uložení celého ložiskového



Obr. 2. Pevné natažení valivého ložiska na čepu.

tělesa v kulových plochách, aby i při případném prohnutí válce byla obě ložiska stejně zatížena, provádí se zřídka, protože stavitele ložiskové těleso s dvouřadými naklápkými válečkovými ložisky umožňuje stejnoměrné rozdělení zatížení na obě ložiska i tehdy, nejsou-li vûle v obou ložiskách a



Obr. 3. Suvné nasazení válečkového ložiska na čepu. jsou-li průměry obou vnějších kroužků naprostě stejné.

Volba vlastních ložisek se řídí známými směrnicemi udávanými výrobci. Únosnost ložiska pro určité otáčky se opravuje s ohledem na potřebnou nejmenší trvanlivost v hodinách, která bývá pro uvažované nejvyšší zatížení válcovací stolice stanovena nejméně hodnotou 5000 hod., což při jedné osmihodinové denní směně odpovídá době dvou let. Při tom je nutno uvážit, že se stoupajícími otáčkami únosnost ložisek klesá, na což je třeba u válcovacích stolic s proměnným počtem otáček brát zřetel.

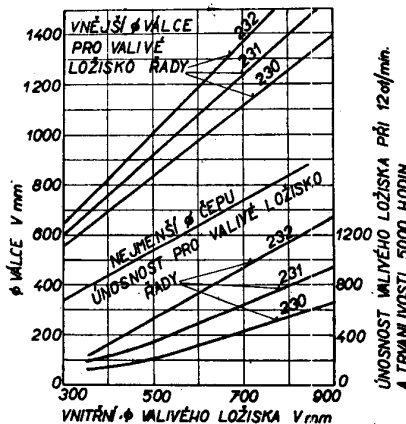
Při tomto způsobu volby ložisek pracujeme s řadou „bezpečnosti“.

1. Nejvyššího válcovacího tlaku, pro který bývá stolice konstruována, se zpravidla nedosáhne.

2. Ložiska jsou namáhána pouze při vlastní válcovací práci, která činí podle druhu válcovaného materiálu 30 až 75 % pracovní doby.

3. Skutečná trvanlivost ložiska bývá několikanásobkem doby udávané výrobcem.

Rozměr čepu opěrného válce je dán dovoleným namáháním materiálu v ohybu. Vypočteme ho z válcovacího tlaku a ze vzdálenosti od středu ložiska



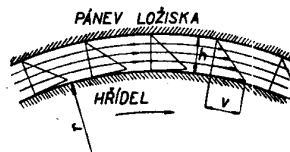
Obr. 4. Vztah mezi vnitřním průměrem ložisek a vnějším průměrem válce při různé únosnosti ložisek.

k veknutí čepu do tělesa válce. Pak, vycházejíce z průměru čepu, zvolíme podle shora uvedeného způsobu vhodné ložisko, při čemž bereme ohled na vnější průměr válce, který jest určován potřebnou odolností proti prohnutí a bývá asi 0,4 až 1,0 délky válce.

Závislost vnitřního průměru ložisek (průměru čepu), jejich únosnosti a vnějšího průměru válce podle H. P. Lemma ukazuje obr. 4. Uvažovaný počet obrátek ložisek jest zde  $n = 12/\text{min}$ . Jsou to ovšem obrátky poměrně nízké, neboť na př. u nejrychlejší válcovací trati činí konečná rychlosť pásu 120 km/hod, čili opěrné válce při průměru 1300 mm konají přibližně 500 obrátek za minutu. Únosnost valivého ložiska při tomto počtu otáček klesne v poměru k únosnosti při 12 otáčkách/min asi na jednu třetinu.

#### b) Kluzná ložiska s olejovým filmem.

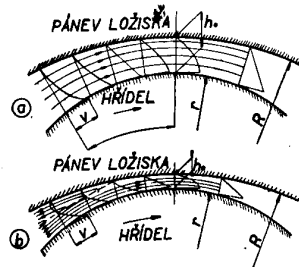
V případě kluzných ložisek jest situace jiná než v případě ložisek valivých. Zatím co ložiska valivá vyrábějí světoznámé firmy ve vhodném provedení pro každý účel a výrobci válcovacích stolic je kupují hotová, vyrábí si kluzná ložiska obvykle sám spotřebitel, kterým jest v tomto případě výrobce



Obr. 5. Poměry v mazací mezeře při souosém uložení.

válcovací stolice. Jejich jakost a účinnost závisí na tom, jak dokonale se podaří výrobci zvládnout problém mazání. Mazání kluzných ložisek se pohybuje v rozmezí od přímého styku povrchu otáčejícího se hřídele s povrchem ložiskové pánve až do čistě hydrodynamického mazání, kdy je mezi pávní a čepem nosný olejový film, který zmenší tření na minimum. Dosažení tohoto stavu jest cílem všech výrobců kluzných ložisek.

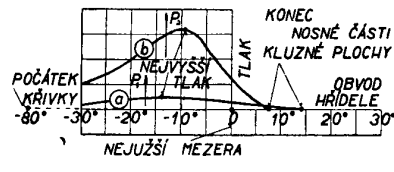
*Hydrodynamické mazání* se pro svoje vynikající vlastnosti právem pokládá za ideální. Silný nosný olejový film slouží nejen ke zmenšení tření, jehož



Obr. 6. Excentrické uložení hřídele v pávní ložiska.

součinitel se zde pohybuje mezi hodnotami 0,01 a 0,005, nýbrž i k přenosu tlaku. Hřídel plave na olejové vrstvě a tím je opotřebení ložiska vyloučeno.

K dosažení hydrodynamického mazání je však nutno splnit určité předpoklady. Jde zde o čisté proudění, při němž se pohyb mazací tekutiny mění v tlak, jenž zvedne hřídele z pávny a uskuteční tak jeho plavání na olejovém filmu. Poměry v rovnooběžné mazací mezeře, t. j. leží-li střed čepu přesně ve středu ložiskového otvoru, znázorňuje obr. 5. Hřídel se otáčí obvodovou rychlostí  $v$  a rychlosti



Obr. 7. Průběhy tlaků.

jednotlivých olejových vrstev v mezeře jsou úměrné jejich vzdálenosti od pávny, neboť nepatrné odstředivé síly lze zanedbat. Množství kapaliny dopravované mezerou může stejně snadno prouditi kterýmkoliv jejím průřezem; proto nevzniká nikde tlak. Paralelní mazací film tedy není nosný a nemůže proto přenášeti hydrodynamický tlak. Vzdáleme-li střed hřídele od středu pávny o vzdálenost  $e$  (výstřednost), vznikne mazací mezeřa excentrického tvaru, jejíž průřezy nejsou všechny stejné. Jelikož však každým průřezem mezery musí protékat stejně množství maziva, vzniká v zúženém místě sblížení proudových vláken, a to je spojeno se vznikem tlaku. Excentrické uložení hřídele v pávní ložiska znázorňuje obr. 6. V případě a) znázorněném na tomto obrázku činí poměrná výstřednost

$$\chi = \frac{e}{R - r} = 1 - \frac{h_0}{R - r} = 0,8$$

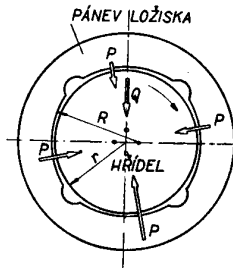
a v případě b) je  $\chi = 0,95$

Na obr. 7. jsou k těmto oběma případům zakresleny příslušné průběhy tlaku. Z obrázku jest zřejmé, že s ohledem na plochý tvar počátku křivek tlaku je pro únosnost ložiska směrodatný pouze malý úsek jeho obvodu v okolí nejmenší šířky mazací mezery, který odpovídá středovému úhlu asi  $30^\circ$ . Ostatní části pávny jsou pro nosnost bez významu.

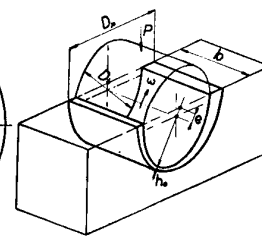
Chceme-li dosáhnouti v mazací mezeře co největšího tlaku a tím i nosnosti, musíme zajistiti toto:

- aby množství maziva, vtláčeného do mazací mezery, bylo co největší,
- aby tomuto mazivu bylo uniknuti z mazací mezery co nejvíce znesnadněno.

Obě uvedené podmínky si vlastně odporuji, neboť plníme-li pravou tím, že zvětšíme mazací mezeřu k dosažení hojnějšího průchodu maziva, odporuji me druhé, neboť mazivo může z mezery opět lehce unikati. Zmenšíme-li mezeřu, abychom splnili druhou podmíinku, odporujieme podmínce první. Použitím Reynoldsových teorií o proudění z r. 1885 a pozdějších výzkumů Sommerfeldových můžeme početně stanoviti nejvhodnější poměry pro mazací mezeřu. Proměnné vlivy, působící na ložisko během provozu, jako ohřátí, vnitřnípnutí i různé nepřenosnosti při výrobě a montáži, však způsobují, že správný tvar klínovité mazací drážky při obvyklé nepatrné vůli v ložisku (0,1 mm na průměru) nebyvá zachován. To má za následek libovolné a neovlivnitelné zhoršení nebo zlepšení mazacích podmínek. Abychom uvedené libovolně působící činitele vyřadili a za každých okolností zachovali pro mazání vhodné podmínky, museli bychom zvětšiti úkos klínu mazací mezery 5 až 10krát. To by znamenalo zvětšiti excentricitu a vůli v ložisku rovněž pět až desetkrát, a tím bychom dospěli k neúnosné hodnotě, neboť vůle by pak činila přibližně 1,5 % průměru ložiska. Je proto nutno oddělit od sebe excentricitu ložiska a úkos klínu mazací mezery, což vyřešili E. H. Waring a později nezávisle na něm W. Frössel způsobem znázorněným na obr. 8. Znázorněným konstruktivním řešením ložiska je brán zřetel i na dříve zmíněnou okolnost, že pro nosnost olejového filmu je směrodatná pouze část obvodu v rozsahu  $30^\circ$  okolo největšího místa mazací mezery. Rozdělíme-li takto kluznou plochu ložiska na čtyři části, vytvoří si každá z nich vlastní nosný film, a mezery mezi jednotlivými plochami lze využít pro bohatě dimenzované přívody maziva. Každá z kluzných ploch působí na rotující hřídel samostatně si-



Obr. 8.



Obr. 10.

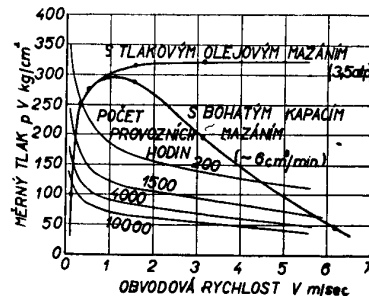
Obr. 8. Excentricita ložiska a úkos klínu mazací mezery.  
Obr. 10. Proměnné veličiny, vyskytující se u kluzného ložiska.

Roč. VIII., čís. 3.

Wiesner: Uložení válců válcovacích stolic.

Hutnické listy.

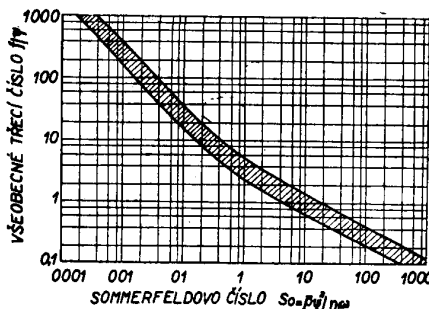
lou, takže by se nezatížený hřídel umístil přesně v ose ložiska. Při jeho zatížení s jedné strany se zmenší mezera klínu zatížené plochy, ta působí zvětšenou silou, zatím co protilehlá strana, kde se mezera zvětšila, působí silou příslušně menší. Sily, které vyvazují ložisko, se automaticky vyrovnávají se silou působící zvenčí a nastane rovnováha. Ložiska se čtyřmi plochami se hodí pro větrání a ložiska se třemi plochami pro menší průměry.



Obr. 9. Srovnání únosnosti valivých ložisek a kluzných ložisek s hydrodynamickým mazáním.

Vlastnosti ložiska této konstrukce jsou:

1. Po obvodu ložiska je vytvořeno několik nosných filmů s odpovídajícími nosnými silami.
2. Vyloučení kovového dotyku mezi hřídelem a pároví ložiska a proto vysoká trvanlivost.
3. Vysoká trvalá nosnost, pohybující se mezi 80 a 200 kg/cm².
4. Možnost zachycení několikanásobně vyššího rázového zatížení, které ovšem podstatně závisí na době trvání rázu a viskositě maziva, neboť k hydrodynamické nosné síle přistupuje ještě odpor mazadla proti vytlačení z mezery a tento odpor může dostoupit značných hodnot.



Obr. 11. Závislost hodnoty  $f/\phi$  na čísle  $So$ .

5. Nepatrné ztráty třením, jehož součinitel se pohybuje mezi hodnotami 0,01 až 0,005.

6. Vhodnost pro nejvyšší i nejnižší otáčky. Nejmenší dosud vyzkoušená obvodová rychlosť činila 0,00005 m/sec. a nejvyšší 31 m/sec., obě při specifickém zatížení  $p = 150 \text{ kg/cm}^2$ .

7. Bezhlučnost a tlumící účinek.

8. Přípustnost nepatrné vůle v ložisku, aniž se tím ohrozí funkce mazání. Byla provedena ložiska s vůlí 0,01 % průměru, kdežto u obvyklých cylindrických ložisek činí tato vůle 0,1 až 0,2 % průměru.

Za mazivo mohou sloužit nejrůznější tekutiny, které mají potřebnou viskositu, nevypařují se za

teploty panující v ložisku a nepoškodí materiál ložiska. Systém mazání může být buď oběžný tlakový nebo jen ponorný, dovolí-li to tepelné poměry.

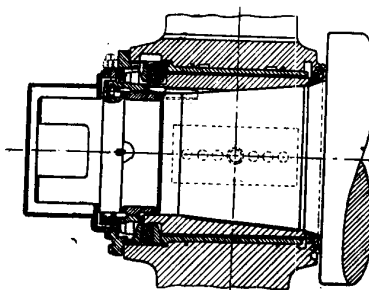
Hydrodynamická nosnost se vypočte ze vzorce:

$$P = \eta \cdot v \cdot C,$$

kde značí:

$P$  — nosnost  
 $\eta$  — viskositu  
 $v$  — obvodovou rychlosť hřídele  
 $C$  — nosnou hodnotu ložiska, závislou na tvaru mezery.

Shora uvedené poznatky ukazují, že kluzné ložisko s hydrodynamickým mazáním je schopno soutěže s valivými ložisky. Co do nosnosti, potvrzuji to i zkoušky provedené asi před osmi lety E. Heidebroekem, který srovnával únosnost dvojradých na-klápěcích valivých ložisek SKF řady 22300 s odpovídajícími kluznými ložisky. Výsledky pokusů, které jsou graficky znázorněny na obr. 9, ukazují, že při



Obr. 12. Kluzné ložisko soustavy „Morgan“.

použití dokonalého mazání tlakovým olejem má kluzná ložiska, zejména při vyšší obvodové rychlosti, značně větší únosnost. V obrázku jsou jako úsečky naneseny obvodové rychlosti v metrech za vteřinu a jako pořadnice specifická únosnost  $p$ , která je pro valivá ložiska vypočtena jako

$$p = \frac{Q}{b \cdot d},$$

kde značí:

$Q$  — zatížení  
 $b$  — šířku ložiska  
 $d$  — průměr vnitřního kroužku.

Hodnoty měrné únosnosti jsou pro kluzná ložiska znázorněna silnými čarami, pro valivá ložiska čarami slabými.

*Volba ložiska.* Proměnné veličiny, vyskytující se u kluzného ložiska, znázorňuje obr. 10. Nosný film, vlastní strojní součást přenášející tlaky hřídele na ložisko je nakreslen silně. Mazivo má viskositu  $\eta$  v  $\text{kg.s/m}^2$ , hřídel se točí úhlovou rychlosťí  $\omega = n/9,55$ . Ze zatížení  $P$  kg a rozměrů  $b$  a  $D$  v metrech vypočteme měrný tlak

$$p = \frac{P}{b \cdot D} \text{ kg/m}^2.$$

Z rozdílu průměrů  $D_p - D_h = S$  v metrech, t. j. z tloušťky mezery, vypočteme relativní tloušťku mezery

$$\psi = \frac{S}{D}.$$

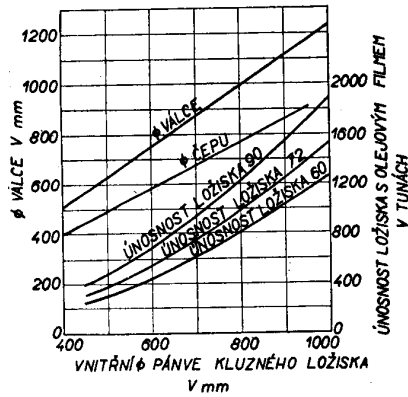
Na obvodě působí tření  $F$  v kg; dělíme-li je tlakem  $P$ , obdržíme součinitel tření  $f = F/P$ . Znázor-

nění výsledků si značně zjednodušíme, uvažujeme-li místo samotného součinitele tření  $f$  poměr tohoto součinitele k relativní tloušťce mezery  $\psi$ , tak zvané „třetí číslo  $f/\psi$ . Toto třetí číslo jest ve velmi jednoduché závislosti na bezdimensionálním čísle  $S_0$ , odvozeném ze shora uvedených veličin a nazvaném po Sommerfeldovi.

$$S_0 = \frac{P}{b \cdot D} \cdot \frac{\psi^2}{\eta \cdot \omega} = \frac{p \cdot \psi^2}{\eta \cdot \omega}.$$

Znázorníme-li závislost hodnoty  $f/\psi$  na čísle  $S_0$  při použití dvojitě logaritmického papíru, obdržíme podle G. Vogelpohla diagram znázorněný na obr. 11. Tento diagram byl nakreslen na základě výpočtu, načež byla jeho správnost ověřena četnými zkouškami a pokusy. Třetí číslo ložiska musí ležet mezi čárkováným pruhem. Diagram slouží kontrole správnosti konstrukce k posouzení tření a posouzení používaného maziva.

Na obr. 12 jest vyobrazeno kluzné ložisko s olejovým filmem soustavy „Morgan“, vybavené axiálním kluzným vedením. Mimo tento typ se též používá ložisek, která mají axiální vedení provedeno s pomocí valivých ložisek. Bývá výhodné, jak je to znázorněno na obrázku, vložiti mezi čep a pánev ložiska ještě pouzdro upevněné na čepu. Zvětší se tím kluzná plocha a pouzdro může být uvnitř kuželovité, což umožňuje zesílení nebezpečného ohýbem namáhaného průřezu čepu. Šířka kluzné plochy činí asi 60 až 90 % průměru ložiska. Měrné zatí-



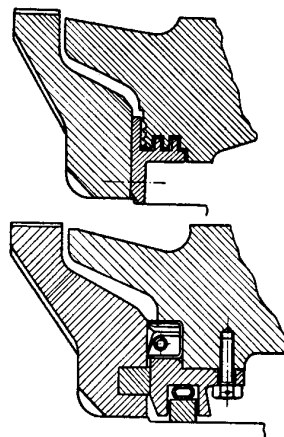
Obr. 13. Závislost průměru kluzných válcových ploch ložisek na jejich únosnosti a vnějších průměrech válců.

žení nezávisí na počtu otáček a může podle H. P. Lemma dosahovat až  $200 \text{ kg/cm}^2$  při otáčkách menších než  $n = 18$ , doporučuje se však voliti zatížení nižší.

Na vnější průměr válce nemívají vliv rozměry kluzného ložiska s olejovým filmem. Toto ložisko dovoluje při stejném vnějším průměru válce větší průměr válcového čepu, než by byl možný při ložisku valivém. Závislost průměru kluzných válcových ploch ložisek na jejich únosnosti a vnějších průměrech válců podle H. P. Lemma znázorňuje obr. 13. Křivky A, B, C znázorňují únosnost ložisek téhož průměru, ale proměnlivého poměru šířky  $b$ , která v případě A činí 60 %, v případě B 72 % a v případě C 90 % průměru  $D$ .

Pro správný chod a trvanlivost ložisek jak va-

livých, tak ložisek s olejovým filmem, je důležité jejich bezvadné utěsnění. Chladicí voda, stékající po válcích, a okuje z válcovaného materiálu nesmí do ložiska vniknouti. Nejčastěji se provádí těsnění s gumovou manžetou, obepjatou a přitlačovanou k čepu vinutou pružinou. Obr. 14 zobrazuje těsnění labyrintové a obr. 15 těsnění na horizontální a vertikální ploše podle R. L. Pearsona.



Obr. 14. Těsnění labyrintové.

Obr. 15. Těsnění na horizontální a vertikální ploše podle R. L. Pearsona.

Od roku 1932, kdy byla po prvé provedena kluzná ložiska s olejovým filmem, stala se tato ložiska v konstrukci válcovacích stolic významným soupeřem valivých ložisek, která až do té doby ovládala pole, nehledíme-li k ložiskům bronzovým a k ložiskům z umělé pryskyřice. Není možno všeobecně určit, který druh jest lepší. Valivá ložiska se vyznačují zásadně nejnižším součinitelem tření a mají výhodu lehkého rozbehlu. Jejich výrobci se snaží odstranit nevýhodu, kterou jest příliš velký vnější průměr vzhledem k průměru vnitřnímu, konstrukcí nových typů, u kterých je tento poměr příznivější. Existují však případy, ve kterých má kluzné ložisko s olejovým filmem zřejmou převahu nad valivým. Je to zejména za vysokých otáček a dlouho trvajícího zatížení. Důležitá jest však volba vhodného mazadla, které musí vždy odpovídat provozním poměrům.

#### Literatura.

1) Kulbačnyj I. G.: Mechaničeskoje oborudovanie prokatkých cechov. Metallurgizdat 1946.

2) Pearson L. R., Journal of the Iron and Steel Institute. 1947.

3) Lemm H. P., Stahl und Eisen 1950.

4) Vogelpohl G., Stahl und Eisen 1950.

5) Frössl W., Stahl und Eisen 1951.

#### Установка валков прокатных станов.

Инж. Фр. Визнер

Автор сравнивает типы подшипников качения с скольжения, служащих для установки валков в прокатных клетях, а именно их конструктивные свойства и целесообразность применения каждого из указанных типов подшипников.

Roč. VIII., čís. 3.

Teindl: Závislost ztrát mořením...

Hutnické listy.

## Závislost ztrát mořením na způsobu válcování jemných ocelových plechů.

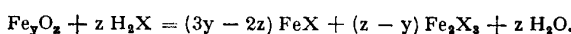
Ing. Josef Teindl, Ostrava.

621.944-415

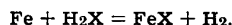
(Podstata moření. Vliv různých činitelů na ztráty mořením. Povrch plechu a ztráty mořením. Provozní pokusy s plechy, válcovanými za horka s použitím různé atmosféry zahřívacích pecí a různého způsobu válcování. Praktické důsledky.)

Moření ocele, pochod, jímž se mají odstranit s povrhu ocele kysličníky (okuje), bylo theoreticky zkoumáno několika badateli, kteří popisovali jednak složení vrstvy okují<sup>1)</sup>, jednak mechanismus mořicího procesu<sup>2,3,4,5,6)</sup>. Jedna z vrstev okuje, vůčit, FeO, se snadno v kyselinách rozpouští,  $\text{Fe}_3\text{O}_4$  naproti tomu těžce,  $\text{Fe}_2\text{O}_3$  je pak ve srovnání s FeO šestkrát pomaleji rozpustný. Heinz Bablik<sup>7)</sup> našel pak u HCl větší schopnost rozpouštět okuje než u  $\text{H}_2\text{SO}_4$ .

Zokujený plech, ponořený do kyseliny, se rozpouští tak, že nejprve kysličníky železa reagují s kyselinou podle rovnice:



Dostane-li se kyselina až ke kovu, rozpouští se železo a vyvíjí se vodík:



Tato vedlejší reakce podporuje moření, neboť vodík, který se vyvíjí, odprýskává zbývající okuje; proti tomu vodík, vyvíjející se v atomárném stavu, vniká do ocele a vyvolává známé bublinky (puchýře)<sup>8)</sup>.

Většina badatelů se domnívá, že moření je čistě chemický proces rozpouštění FeO a mechanické odprýskání okují působením vodíku. Teprve sovětí badatelé V. O. Kroenig a E. M. Sareckij<sup>9)</sup> došli měřením elektrochemických potenciálů článku Fe (anodická místa) — Fe (katodická místa) — okuje (katoda) k závěru, že moření je elektrochemický proces rozpouštění ocele a redukce vyšších kysličníků na FeO vybíjejícím se vodíkem. FeO je v kyselině rozpustný a podporuje odprýskávání okují. Dále zjistili převážně jen  $\text{Fe}_3\text{O}_4$ , který působí jako aktivní depolarizátor.  $\text{Fe}_2\text{O}_3$  se prakticky vůbec ne-redukuje. Vývoj vodíku na anodě vzniká činností lokálních článků ocele.

Na anodických plochách jdou ionty  $\text{Fe}^{++}$  do roztoču, na katodických se vybíjejí vodíkové ionty, na vlastních mikrokatalodách ocele se vyvíjí vodík. Ve vrstvě okují působí vodík na kysličník  $\text{Fe}_3\text{O}_4$  a redukuje ho na FeO, který je v kyselině lehce rozpustný.

Kteří jsou činitelé, ovládající rychlosť reakcí při moření? Theoreticky lze říci, že jak koncentrace, tak teplota kyseliny má velký vliv, a Eisenkolbova<sup>2)</sup> zkoumání to potvrzuji. Na rychlosť rozpouštění okují a kovového železa v kyselině sírové má vliv spíše teplota než koncentrace kyseliny. Používáme proto při pokusech, jež dále uvádí, slabé kyseliny sírové 4 až 5% a teploty asi 60 °C. (U kyseliny solné je již rozpustnost okují a železa za normální teploty značná a stoupá s koncentrací kyseliny.) Je-li v mořicí lázni dosti kyslíku a pohybuje-li se lázní, stoupá rychlosť moření.

Úsporná mořidla, kterých při pokusech použí-

Tab. I. Ztráta mořením podle Eisenkolba.<sup>2)</sup>

Tloušťka plechu v mm	Ztráta mořením v %	Průměr v %
0,2	5,45 : 5,3 : 4,3 : 4,1	4,7
0,25	4,7 : 3,7 : 4,3	4,2
0,3	2,9 : 3,6 : 3,1 : 2,5	3,0
0,4	2,45 : 2,70	2,6
0,45	2,5 : 2,7	2,6
0,5	2,8	2,8
0,6	2,2	2,2
1,0	1,56 : 1,6	1,6

váme, mají dvojí význam: jednak chránit kov před rozpouštěním v kyselině, jednak urychlit rozpouštění kysličníku a snížit dobu moření; současně s tím zmenšit množství vodíku vnikajícího do ocele.

Je třeba ještě podotknout, že se moří okuje buď po válcování nebo po žíhání — t. zv. černé a „bílé“ moření („bílé“ na př. před pocínováním). Oba druhy okují jsou rozdílné svým složením — válcovací okuje se dají obvykle lehce vymořit, kdežto okuje po žíhání se moří při vyšší teplotě (90 °C).

Mluví-li se o mořidle a myslí-li se tím na př. kyselina sírová, neodpovídá to při moření plechů pravdě. Moří se v louhu, který obsahuje kyselinu sírovou a síran železnatý, který působí takto<sup>10)</sup>: snižuje působení na povrch kovu a současně podporuje rozpouštění okují, aniž prodlužuje dobu moření.

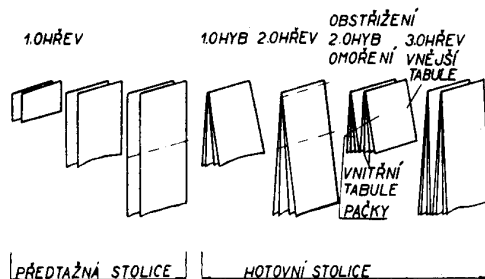
Ztráta mořením je v mořírnách důležitá veličina. Železo rozpouštěné mořidlem je prakticky ztraceno; i když se z něho získá zelená skalice, znamená přece jen ztrátu, nevyrovnanou zelenou skalici. Ztrátu mořením určoval Eisenkolb<sup>2)</sup> laboratorně a sestavil ji v tabulkách v závislosti na teplotě válcování pro jednu tloušťku plechu. Tato tloušťka plechů byla kromě toho zanesena do tabulky s výsledky v laboratoři, v nichž Eisenkolb zjistil ztrátu mořením. Eisenkolb již pozoruje, že ztráta mořením (množství okují) nesouhlasí zcela s vyválcovanou plochou, ale že závisí na tloušťce plechu a na tom, při jaké teplotě jsou ploštiny a pačky válcovány a jak

Tab. II. Ztráta mořením s propalem.

Jakost	Tloušťka v mm	Ztráta mořením v %	
		I.	II.
Mořené plechy	1,0 a více	1,0	0,80
	0,60—0,99	1,50	1,20
	0,40—0,59	2,—	1,70
	0,26—0,39	2,50	1,90
Leštěné plechy	0,18—0,25	3,00	2,50
	1,0 a více	1,00	1,40
	0,60—0,99	1,50	1,80
	0,40—0,59	2,00	2,30
	0,26—0,39	2,50	2,50
	0,18—0,25	3,00	3,10

jsou v pecích vystaveny přímému zokujení. Tab. I ukazuje Eisenkolbovy výsledky a tab. II. výsledky, s nimiž počítal jeden závod ve svých morírenských kalkulacích. Ze srovnání je vidět velký rozdíl dokonce již ve dvou hodnotách, používaných pro kalkulace.

Ztráta mořením nezávisí totiž jen na tloušťce plechu, na způsobu moření v různých kyselinách,



Obr. 1 — schema válcování jemného obalového plechu. na teplotě, ale závisí zvláště na tom, jakým způsobem byl plech vyráběn. Je proto tato ztráta mořením zcela jiná, válcuje-li se plech za vysoké teploty nebo za teploty nízké, zahřívají-li se pačky (svazky ohnutých plechů) v oxydační nebo redukční atmosféře zahřívacích pecí atd. Způsob válcování, o němž se dosud zprávy v literatuře nezmiňovaly, má na ztrátu mořením zásadní vliv.

Pokusy, které dále uvádí, se zabývají jednak zkoumáním vlivu pecní atmosféry na povrch plechů a paček v souvislosti se ztrátou mořením, jednak vlivem způsobu válcování na ztrátu mořením. Podmínky moření byly přitom v provozu poměrně stejně. Mořidlem byl louh, zpracovaný methodou Agdeho, a byla do něho přidávána čerstvá kyselina sírová. Koncentrace volné  $H_2SO_4$  v louhu byla ovšem rozdílná podle kádi, v nichž se postupně plechy mořily, přecházejíce z jedné kádě do druhé (tři kádě asi se 4, 5,5, 3 %  $H_2SO_4$ ), aby pak nakonec byly opláchnuty ve třech kádích, v poslední s tekoucí vodou. Teplota louhu byla asi 60, 48,

40 °C, hustota 1,22, 1,19 a 1,14 °Bé. Doba setrvání v každé kádi 7 minut. Louh obsahoval asi 250 g FeSO<sub>4</sub>, 7 H<sub>2</sub>O v 1 l, a byl vyměňován, když při moření stoupal obsah skalice asi na 500 g/l. Podle výsledků hromadných pokusů, provedených s velkým množstvím plechů, nemají tyto podmínky moření takový vliv, jaký má vlastní jakost povrchu mořeného plechu nebo pačky.

### 1. Pokusy s různou atmosférou zahřívacích pecí na pačky.

Při válcování plechů rozměrů 530 × 760 mm na obalové a konservové plechy se pozorují při válcování a zvláště po moření a sušení a žihání zjevy, jež nesouhlasí s výsledky moření obvykle zjištěnými: plechy jsou mnohdy potaženy povlakem černých sazí, jež nelze ani mytím, ani ostrým proudem vody, ani žiháním odstranit. Plechy se válcovaly na válcích délky 800 nebo 1000 mm (na délku nebo na šířku), do tloušťky 0,28 dvakrát (obr. 1), nad 0,28 mm jedenkrát ohýbané. Použilo-li se k před-válcování ploštin trati trio, ohýbaly se plechy jedenkrát.

Ploština, jejíž délka je šírkou konečného plechu, se rozválcovala dvěma průvaly na předvalek délky asi 500 mm. Předvalek se protáhl na délku asi 1400 mm k prvnímu ohýbání na hotovní stolici. Šel pak do pece a zahřátý se rozválcoval dvěma průvaly na délku asi 1300 mm. Obřákl se hrbet, paček se rozleplil a jednotlivé listy se složily ke druhému ohýbání. Poté se ohnuly buď do jednoho pačku (což bylo lepší pro výkon), nebo do dvou paček (což znamenalo menší výkon a více okují); toto ohýbání do dvou paček se obvykle provádělo u plechů tloušťky 0,20 a 0,22 mm.

Ohnute pačky se naložily do košů a mořily se (namáčely) v kyselině sírové 10% s velkým obsahem zelené skalice (500 g/l a více), aby se při dalším válcování nelepily. Po tomto namáčení do kyseliny sírové se zelenou skalicí se vraceły pačky do pece a zahřáté se pak válcovaly na hotovo asi pěti

Tab. III. Vznik okují a černého povlaku v závislosti na atmosféře zahřívacích pecí pro pačky.

Druh výmětu:	Slně redukční atmosféra		Mírně redukční atmosféra		Normální atmosféra		Normální atmosféra	
	Vnější tabule	Vnitřní tabule	Vnější tabule	Vnitřní tabule	Vnější tabule	Vnitřní tabule	Vnější tabule	Vnitřní tabule
Celkový počet tabulek, kusy	574	2272	555	2306	580	1728	825	2341
Z toho Ia plechů kusy a [%]	138[24,—]	2050[90,0]	400[63,—]	1878[81,5]	463[80,—]	1429[82,5]	720[87,20]	2115[90,30]
Ila plechů kusy a [%]	436[76,—]	222[10,—]	155[37,—]	428[18,5]	117[20,—]	299[17,5]	105[12,80]	226[9,70]
Z Ila plechů v % jednotlivé druhy výmětu:	%	%	%	%	%	%	%	%
Zatržené plechy	1,37	7,40	2,55	10,85	18,83	25,40	8,50	30,—
Krátké plechy	3,90	41,—	19,40	46,50	16,25	17,70	8,50	28,80
Žilky a dírky	1,37	19,40	—	—	10,25	39,40	8,50	20,20
Stažené plechy	—	—	—	2,80	—	2,70	—	1,70
Zaválcovaná skalice a jiné nečistoty	0,46	9,—	0,65	0,90	9,60	4,28	—	—
Okuje	—	—	46,50	—	23,02	0,70	—	—
Výmět materiálu	—	0,90	—	0,70	1,75	0,70	—	8,70
Výmět úpravy	4,60	11,15	9,—	12,60	20,50	7,05	9,50	—
Skvrny z mořtiny	—	—	—	7,05	5,12	6,35	64,—	2,80
Černý povlak	88,30	11,15	21,90	9,—	—	—	—	—

Roč. VIII., čís. 3.

Teindl: Závislost ztrát mořením...

Hutnické listy.

Tab. IV. Srovnání výmětu po válcování s výmětem po moření.

Atmosféra v peci	Trat'	Válcovací metoda počet délek	Vnější tabule				Vnitřní tabule			
			Výmět v %			Výmět v %				
po válcování	okuje	černé skvrny (saze)	skvrny z mořtiny	po válcování	okuje	černé skvrny (saze)	skvrny z mořtiny			
silně redukční	trio	4	5,4	—	67,—	—	7,4	—	1,14	—
mírně redukční	trio	4	6,8	13,—	6,1	—	12,8	—	1,68	1,46
normální	trio	4	10,—	4,65	—	1,04	14,80	0,16	0,16	1,10
normální	duo	3,4	3,4	—	—	8,1	8,2	—	—	0,25

průvaly na trojnásobnou délku žádaného formátu. Při válcování na válcích délky 1000 mm bylo možno válcovat na 4 délky (vlastní šířky 530 mm).

Po obstržení se pačky rozlepily a mořily ve zředěné kyselině sírové, sušily, žíhaly v bednách a nechaly vychladnout v bednách bud' s ochranným plyinem nebo bez ochranného plynu.

Třídění plechů po žíhání dávalo za různých podmínek obraz, patrný z tab. III.

1. Plechy, které byly mořeny v mořidle 4,3 až 6% H<sub>2</sub>SO<sub>4</sub>, hustoty 1,17 až 1,25 °Bé, teploty 49 až 58 °C, ve třech kádích po sedmi minutách, opláchnuty ve 3 kádích a sušeny v sušící peci, měly vět-

dění, že černý povlak na plechu mizí, ale mizí také okuje, neboť atmosféra pece, zvláště na vnitřních tabulích (uvnitř pačku), jím nedovoluje vzniknout.

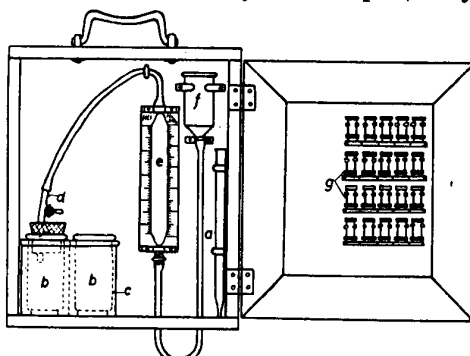
4. Konečně případ čtvrtý ukazuje, jak plechy, mořené ve 3,7 až 5,5% H<sub>2</sub>SO<sub>4</sub>, hustoty 1,14 až 1,23 °Bé, teploty 40 až 60 °C, ve třech kádích po sedm minut, sušené žíhané a vytríďené, ukazují rovněž dobrý povrch (málo okuje, žádný černý povlak).

Ve všech případech šlo o plechy tloušťky 0,20 mm a složení, používaného obvykle ve světě pro měkkou ocel, a to:

0,08 až 0,11 % C, 0,25 až 0,45 % Mn, 0,01 až 0,03 % P, 0,01 až 0,03 % S, 0,15 až 0,25 % Cu.

Koncentrace mořicích lázní byla měřena přístrojem Eisenkolbovým<sup>11)</sup> (obr. 2).

Plechy zahřívané v pačcích v atmosféře silně redukční mají největší množství černého povlaku a málo okuje. U plechů zahřívaných v atmosféře normální se černý povlak nevyskytuje. S klesajícím válcovacím výmětem stoupá množství černého povlaku a naopak. Nejlépe vyhovuje povrchově případ čtvrtý (tab. IV — výmět je počítán na celkové množství plechů použitych pro pokusy).



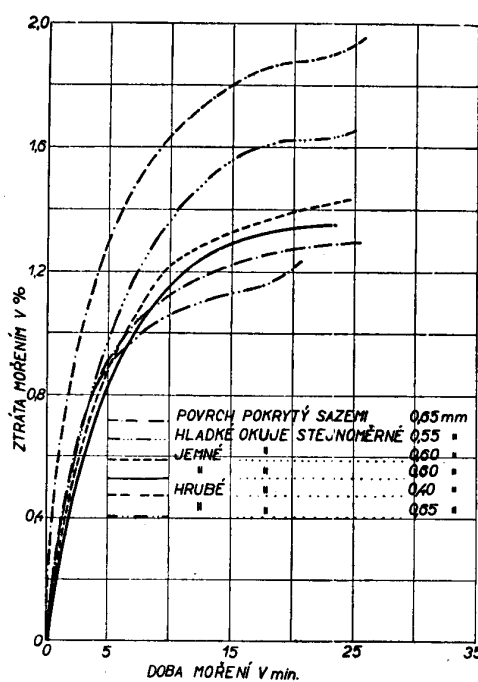
a = odměrná pipeta; b = reakční nádobka; c = vodní lázén; d = trubička, odvádějící plyn; e = měřicí trubička se stupnicí; f = vyrovnávací trubička; g = skleněné trubičky.

Obr. 2 — měřicí přístroj Eisenkolbový na zjištění koncentrace kyseliny sírové a solné v mořicí lázni.

šinou černý povlak, neboť šlo o tabule, které byly úmyslně vytrídyeny jako vnější tabule z pačků. Plechy z vnitřku pačků ukazují zcela jiný obraz, jak je vidět v tab. III.

2. Kdežto v prvním případě šlo o plechy, jejichž pačky byly zahřívány úmyslně v zahřívací peci s atmosférou silně redukční (s přebytkem plynu), šlo v druhém případě o pačky z pece s atmosférou mírně redukční. Plechy byly mořeny v mořidle 4,5% H<sub>2</sub>SO<sub>4</sub>, hustoty 1,22 až 1,28 °Bé, teploty 54 až 58 °C, ve třech kádích po sedm minut a sušeny v sušící peci. Plechy, vytrídyené po žíhání na vnější a vnitřní tabule pačku, ukazují zajímavý obraz, svědčící o tom, že atmosféra pece má vliv na povrchovou jakost plechů.

3. V třetím případě, použijeme-li pro zahřívání pačků pece s normální atmosférou (řízenou tak, aby nevznikaly sice okuje ve velkém množství, ale také ne srazené saze na plechu), vidíme po moření ve 3,5 až 4% H<sub>2</sub>SO<sub>4</sub>, hustoty 1,28 °Bé, teploty 56 °C, ve 3 kádích po sedm minut, po sušení, vyžíhání a vytří-



Obr. 3 — závislost ztráty mořením na době moření a různého povrchu plechů, 1000×2000 mm.

Hutnické listy.

Teindl: Závislost ztrát možením . . .

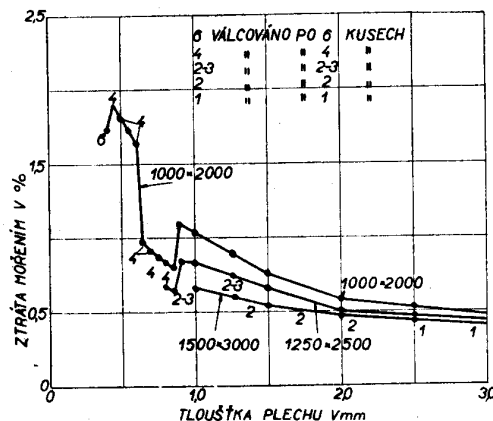
Roč. VIII., čís. 3.

Tab. V.2) Závislost ztráty mořením na válcovací teplotě.

Plech tloušťka v mm	Válcovací teplota ve °C	Ztráta moře- ním na m v g
0,8	700 až 800 650 až 700 500 až 600	224 51 43

Jaké jsou ztráty mořením u jednotlivých případů?

Očekávali bychom, že redukční atmosféra v peci se projeví různými výsledky mořící ztráty. Ve skutečnosti však ukazují hromadná měření, jež dále uvádím v referátě o pokusech s různým způsobem válcování, že na celkové výsledky nemá malý počet vnějších tabulí, bud' zokujený nebo pokrytý sazemí po zokujení, vliv. Je tedy ztráta mořením prakticky nezávislá na atmosféře zahřívacích pecí. U stejně měrné zokujeného materiálu vnějších tabulí působí okuje stejně jako úsporné mořidlo: chrání tabule před nerovnoměrným vy-



Obr. 4 — ztráta mořením u formátu 1000×2000 mm.

mořením. Ale právě tak působí okuje, pokryté stejnoměrně po celém povrchu rozloženými sazemí z redukční atmosféry pece. Z toho plyne pro praxi použení, že jde o to, pečovat v zahřívacích pecích o stejnoměrné lehké zokujení plechů, ať již používáme atmosféry oxydační nebo redukční. Ztráty mořením mohou být menší, je-li vrstva okuje hladká a současně stejnoměrná.

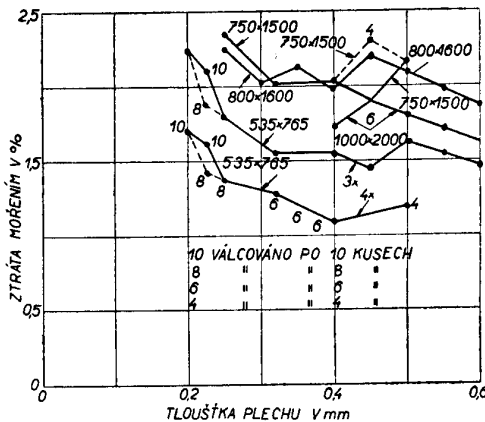
Nížší nebo vyšší teplota zahřívání pačků může působit na vytvoření různého druhu okují. Ztráta mořením je jiná, válcují-li se plechy za horka nebo za nižší teploty. Tab. V. ukazuje ztrátu mořením plechu 0,8 mm, mořeného v 10%  $H_2SO_4$ , teplé 50 až

Tab. VI. Závislost ztráty mořením na způsobu válcování.

Tloušťka plechu v mm	Válco- váno po kusech	Ztráta mořením v % válcováno v délce plechu		
		čtyřnásobné	trojnásobné	dvojnásobné
0,23	10	1,60	2,10	—
0,23	8	1,42	1,88	—
0,25	8	1,36	1,79	—
0,30	8	—	1,62	2,11
0,40	6	1,11	1,55	—
0,50	4	1,20	1,63	—

60 °C, s úsporným mořidlem obvykle přidávaným, 0,1 %, doba moření 15 min.

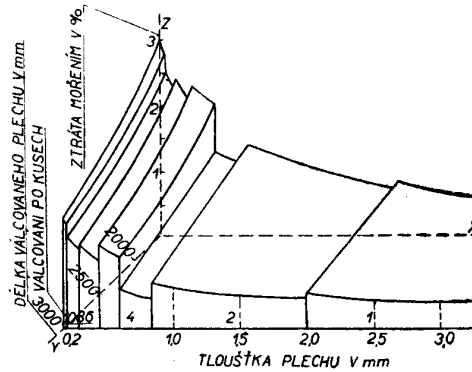
Z tabulky je vidět, že ztráta mořením je menší, válcují-li se plechy při teplotě nižší. Zkušenosti s povrchem těchto plechů, na př. pro pozinkování, potvrzují, že plechy nemají po moření prohlubně a nerovný povrch a nedají se svou vynikající povrchovou jakostí srovnat se zahraničními plechy, válcovanými obvykle při teplotě vysoké.



Obr. 5 — ztráta mořením u různých formátů.

Udržujeme-li pak stálé podmínky moření (koncentrace kyseliny, teplota mořidla, množství  $\text{FeSO}_4$  v mořidle, doba moření, způsob pohybování plechů v mořidle), máme i stálé mořící ztráty, nekolísající se změnou těchto vnějších činitelů. Ponechají-li se ovšem plechy v mořidle různou dobu, pozorujeme u různých tlouštěk plechů vzrůst ztráty mořením, jak je vidět na diagramu obr. 3. Maximum rozpuštěcí rychlosti okuji odpovídá obvykle minimu doby moření. Jsou-li okuje hladké a stejnomořné, je třeba delší doby moření, neboť kyselina nemá možnost proniknout ke kovu a vodík nemůže pomáhat při odprýskávání okuji.

Co platí o plechu rozměru  $530 \times 760$  mm, platí také o nejobvyklejším rozměru plechů,  $1000 \times 2000$  milimetrů. Tyto plechy se válcují normálně na jednu délku a ohýbají-li se, válcují se po 4 tabulích. Obyčejně jedna předtažná stolice pracuje pro dvě stolice hotovní, jimž dodává plechy. Nebo pracuje jedna stolice předtažná se třemi stoliciemi hotovními. V prvním případě předtahuje předtažná sto-



Obr. 6 — ztráta mořením podle Juránka.

Roč. VIII., čís. 3.

Teindl: Závislost ztrát mořením...

Hutnické listy.

Tab. VII. Délka pačku a válcovací délka plechu.

Tloušťka plechu v mm	Délka pačku v mm	Válcovací délka plechu v mm
0,20	1200—1230	2295
0,20	1350	3060
0,25	1510	3060
0,26	1395	2280
0,28	1390	2295
0,28	1160	1500
0,32	1620	3060

lice ploštiny na délku asi 800 mm, v druhém na délku asi 600 mm, vždy dva průvalky po jedné ploštině a jeden průval zdvojené ploštiny.

Pro speciální plechy tloušťky pod 1,50 mm a pro plechy tloušťky 1,50 až 1,75 mm platí zvláštní předpisy pro válcování, právě tak jako pro ocelové plechy s vyšším obsahem uhlíku. Na rozdíl od normálních plechů se tyto speciální plechy válcují na dva ohrevy, t. j. potáhnutý předvalek se zahřívá v hotovní peci a pak se válcuje na hotovo. Diagramy obr. 4 a 5 ukazují ztrátu mořením u těchto plechů „metrových“ a u jiných rozměrů.

## 2. Vliv způsobu válcování na ztrátu mořením.

Ztráta mořením nezávisí jen na vnějších podmínkách moření, ale i na stavu povrchu, který moříme. Záleží tedy při posuzování ztráty mořením spíše na jakosti původního povrchu než na teplotě mořidla, jeho koncentraci a době moření a na způsobu, kterým moříme. I když je na př. důležité, aby se při moření plechy pohybovaly a nemořily se slepené, i když je hospodárnější (je-li k tomu zařízení), mořit plechy jednotlivě než ve svazcích („hranách“), přece jen je způsob válcování nejdůležitější.

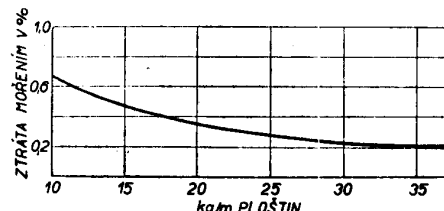
Zjištování ztráty mořením laboratorními zkouškami selhává, jde-li o složité způsoby válcování v pačcích, válcování v mnoha kusech a v mnoha délkách plechu. Je pouze jediný způsob, jak zjistit přesněji ztrátu mořením, to je zvážením velkého množství plechů před mořením a po něm, případně po usušení těchto plechů v sušících pecích. Zachováváme-li poměrně stejné podmínky moření, můžeme z tohoto hromadného vážení v provozu zjistit ztrátu mořením u různých tloušťek plechů a různých formátů. Theoreticky by měla ztráta mořením probíhat rovnoběžně s křivkou, udávající vztah  $m^2/q$ , t. j. poměr plochy plechů k jejich váze. Ve skutečnosti je při stejně tloušťce plechů ztráta mořením různá vlivem způsobu válcování. Tak na př. je ztráta mořením různá, válcujeme-li plech 0,23 mm tloušťky po deseti kusech ve čtyřnásobné délce nebo trojnásobné délce, po 8 kusech a čtyřnásobné nebo trojnásobné délce, jak je patrné z tab. VI u plechu formátu 530 × 760 mm.

Ztrátu mořením, vyjádřenou pro různé tloušťky a formaty, je vidět na diagramu obr. 4 a 5. Jak patrné, při různé délce válcovaných plechů též tloušťky a při též počtu plechů se mořící ztráta zvětší nebo změní.

Hodnoty zjištované před časem v jednom závodě Ing. J. Juránkem byly zachyceny v tabulkách

a znázorněny v trojosém diagramu obr. 6. Na ose X jsou naneseny tloušťky válcovaného plechu v mm, na ose Y délka válcovaného plechu v mm, na ose Z ztráta mořením v %. U jednotlivých tloušťek je kromě toho udáno, po kolika kusech byly plechy válcovány.

Je samozřejmé, že při téže válcovací metodě probíhá ztráta mořením při různé tloušťce plechu podle křivky, jež je rovnoběžná s křivkou poměru  $m^2/q$ . Máme-li proto vážením zjištěnu ztrátu mořením pro určitou válcovací methodu, délku a tloušťku plechu, je možno si podle Juránkových



Obr. 7 — ztráta mořením u ploštin podle Juránka.

měření vypočítat ztrátu mořením pro tutéž tloušťku a jinou válcovací délku při téže válcovací metodě.

Na př. ztráta mořením je u plechu tloušťky 0,20 mm a válcování po 10 kusech a válcovací délce 1500 mm — 2,95 %. Pro tutéž válcovací metodou, ale válcovací délku 2300 mm, vypočítáme ztrátu mořením podle vzorce:

$$2,95 \quad a \cdot b \cdot X = 2,24 \%, \text{ kde značí}$$

a — počet válcovacích délek, pro které chceme ztrátu mořením vypočítat,

b — počet válcovacích délek u plechu, u kterého známe ztrátu mořením,

X — poměr délek pačku v % (délka pačku u válcování na 3 délky proti délce pačku téhož plechu a tloušťky při válcování na 2 délky).

Hodnota 2,24 % vypočtená se nepatrně liší od hodnoty, zjištěné vážením (2,26 %).

Tab. VII. udává délky pačků pro plech rozměrů 530 × 760 mm.

Je-li v pecích pro zahřívání pačků okysličující atmosféra, má hlavní podíl na ztrátě mořením pouze vrchní a spodní plech v pačku, vystavený účinkům této atmosféry, a ovšem i atmosféry při válcování za horka. Střední plechy v pačku jsou velmi málo okysličené, jak je vidět na tab. VIII, kde ztráta mořením je počítána na celkové plechy (proto na vrchní plechy připadá ztráta relativně menší, neboť jejich počet je menší).

Změní-li se způsob válcování a přechází-li se na jiný počet kusů a jiné délky, ohýbá-li se plech

Tab. VIII. Ztráta mořením pro vrchní a vnitřní tabule v pačku.

Tloušťka plechu v mm	Válcováno po kusech	Ztráta mořením, počítaná na celk. plochy		Délka válcovaného plechu
		Vrchní plechy v %	střední plechy v %	
0,20	10	0,52	1,19	3000
0,23	8	0,46	0,42	3000
0,23	8	0,69	1,08	1500
0,25	8	0,44	0,41	3000
0,25	8	0,67	1,01	1500

vícekrát, mění se také ztráta mořením. Mají-li plechy uprostřed pačku menší ztrátu mořením, lze předpokládat, že jejich povrch bude výhodnější pro zušlechťovací procesy (pocínování, lakování) než plechů vnějších. Množství kovu v povlaku bude menší. Zvláště při oxydační atmosfére v zahřívacích pecích na pačky bude válcovací výmět větší u tabulí vnějších než u tabulí uvnitř pačku.

Pro „moření“ (namáčení) pačků v kyselině sírové 10% s velkým množstvím zelené skalice platí podobné vztahy, ale hodnoty mnohdy spolu nesouhlasí, neboť na pačcích je po namáčení a vytažení z mořidla nalepena zelená skalice. Ztráta mořením je různá podle toho, namáčeji-li se pačky do mořidla studeného nebo teplého.

Ploštiny, z nichž se mají vyrábět jakostní plechy, se někdy moří (zvláště, dojdou-li do válcovny zrzavělé) a ztrátu mořením ukazuje diagram obr. 7.

#### Závěr:

Pro zjišťování ztráty mořením není důležitá teplota mořidla, koncentrace, doba moření tak, jak se dosud předpokládalo podle laboratorních pokusů. Důležitější je povrch plechů, vyrobených různou válcovací metodou. Autor pojednává o vlivu různé atmosféry zahřívacích pecí na pačky na povrch plechů a provozními pokusy zjišťuje podmínky k dosažení nejvhodnějšího povrchu, na němž by byly nejmenší ztráty mořením. Ze vztahu válcovací metody k tloušťce plechu a mořící ztrátě za stejných podmínek moření byl vyvozen požadavek: používat takové pecní atmosféry a takové metody válcování, aby ztráty mořením byly co nejmenší.

#### Literatura.

- 1) L. B. Pfeil, Journal Iron Steel Inst. 119 (1928), 501-60.
- 2) Fritz Eisenkolb, Arch. Eisenhüttenw. 1 (1927/28), 693-98.
- 3) K. Taussig, Archiv Eisenhüttenw. 3 (1929/30), 253-66.

4) W. Baukloh u. J. Sittard, Metallwirtschaft 16 (1937), 323-25.

5) J. Sittard, Metallwirtschaft 19 (1940), 971-77 a 1008-12.

6) A. B. Witerbottom and J. P. Reed, Journal Iron Steel Inst. 126 (1932), 154-204.

7) Heinz Bablik, Stahl u. Eisen 46 (1926), 212-18, Kniha: Das Feuerverzinken. J. Springer, Berlin, 1941.

8) J. Teindl, Chemický Obzor XVIII (1943), 123-26.

J. Teindl, Chemický Obzor XX (1945), 148-54.

J. Teindl, Strojnický Obzor 16 (1946), 67-73.

9) V. O. Kroenig a E. M. Sareckij, Kor. Met. 17 (1941), 243-46.

10) P. Dickens, Stahl u. Eisen 59 (1939), 364-77.

11) F. Eisenkolb, Stahl u. Eisen 49 (1929), 1162-64.

#### Зависимость между потерями при травлении и способом прокатки тонкой стальной жести.

Инж. И. Тейндль.

Автор поясняет сущность процесса травления и особенно отмечает положения Кроенига и Сареко том, что травление является электрохимическим процессом растворения стали и восстановления высших окислов из высших путем водородных разрядов. Автор особенно отмечает влияние состояния поверхности на потери при травлении в зависимости от концентрации кислоты, температуры и времени травления, а также приводит результаты опытов травления, которые были произведены в крупном масштабе и применении при нагревании различных печных атмосфер и разных способов прокатки данного материала.

На основании взаимоотношения между методом прокатки, толщины листа и потерь при травлении были установлены такие условия применения метода прокатки и печной атмосферы, при соблюдении которых потери при травлении являлись минимальными.

## Válcování širokých pásů za tepla.

Je pro naše poměry vhodnější plynulá trať nebo vratné válcování s pomocí navíjecích pecí?

Ing. Fr. Wiesner, Praha.

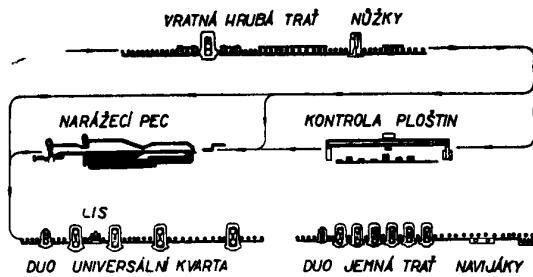
621.944-418

Širokými pásy se nazývají ocelové pásy, jejichž šířka se pohybuje mezi 800 až 2500 mm. Nejběžnější je šířka od 800 až do 1250 mm, pro kterou se staví většina plynulých tratí. Stálá snaha po dosažení nejvyšších výkonů a po rationalisaci vedla k postupnému zvětšování šířek válcovaných pásů, aniž však kilogramová cena vyválcovaných pásů úměrně klesala s rostoucí šířkou. Až do šířky asi 1500 mm klesá kilogramová cena pásů za tepla válcovaných, kdežto nad touto hranicí opět stoupá. Velmi široké pásky ztrácejí v poslední době odbyt a jejich vzrůstající cena i tloušťkové rozdíly po šířce mají za následek, že spotřebitelé nejšířších pásů si raději sami svařují potřebné větší šířky ze dvou užších pásů, při čemž rozdíl v kilogramové ceně pásů jim nahrazuje svařovací náklady.

Tloušťka ocelových za tepla válcovaných pásů se dnes pohybuje hlavně kolem 2 mm, ačkoliv na rychloběžných plynulých tratích lze vyválcovat i pásy o značně menší konečné tloušťce (až 0,6 mm). Snaha po dosažení co nejmenší konečné tloušťky při válcování pásů za tepla ustala, protože snižováním tloušťky klesal výkon tratí a rozměrová (tloušťková) přesnost. Výroba slabších pásů se proto provádí válcováním za studena, jehož výkonnost i hospodárnost byly vystupňovány ohromnými válcovacími rychlostmi (přes 30 metrů za vteřinu) a které může vyrobít pásy značně jakostnější jak co do rozměrové přesnosti, tak i pokud se týká povrchové jakosti a mechanických vlastností.

Plynulé tratě jsou nejvýkonnější válcovací zařízení pro válcování širokých pásů jak za tepla, tak

za studena. Jejich dnešních obrovských výkonů bylo dosaženo vysokými válcovacími rychlostmi. Výstupní rychlosti pásů z novodobých plynulých trati za tepla činí 12 až 20 metrů za vteřinu. Tyto velké válcovací rychlosti byly umožněny jednak zdokonalením uložení válců, jednak zdokonalením elektrických pohonů. Novodobá ložiska s hydrodynamickým mazáním, která dnes ve válcovací technice vytlačují ložiska valivá, pracují v těžkém válcovacím provozu za tepla, kde vysoké teploty, voda a okuje ztěžují pracovní podmínky a jejich součinitel tření (0,002 až 0,005) se podstatně neliší od součinitele tření ložisek valivých (dvouřadá na-klápací ložiska 0,0018 a jehlová ložiska 0,0045), spolehlivě i za nejvyšších rychlostí.



Obr. 1. Schema standardní plynulé trati na válcování širokých ocelových pásů.

Vývoj jednotkových elektrických pohonů válcovacích stolic nejen dopomohl k úspěchu plynulému válcování, ale umožnil i přesné řízení a dodržování tahu ve válcovaných pásech při nejvyšších válcovacích rychlostech.

Elektrické pohony jsou nejdůležitější, ale současně i nejnákladnější složkou těchto válcovacích trati.

Plynulé tratě na válcování širokých pásů, skládající se z většího počtu válcovacích stolic (10 až 12), jsou proto nejen velmi výkonné, ale i neobyčejně nákladné zařízení a mohou pracovat hospodárně jen tehdy, je-li jich plně využito, neboť poměr stálých nákladů k produktivním mzdám činí u nich 5 : 1.

Před rozhodnutím zbudovat plynulou trať na válcování širokých ocelových pásů musí proto být pečlivě zkoumáno, jsou-li podmínky pro plné využití velkého výkonu této trati, nebo zda by v daném případě nebylo hospodárnější zbudovat vratnou trať s ohřívacími navíjecími pecemi, jejíž stavební náklady činí jen zlomek stavebních nákladů plynulé trati. Výkon vratné trati je ovšem podstatně nižší než výkon trati plynulé, avšak rozdíl výkonů obou trati je poměrně menší než rozdíl jejich stavebních nákladů.

Schema standardní plynulé trati na válcování širokých ocelových pásů je patrné z obr. 1.

Vlastní plynulá trať zpracuje ploštini vyválcované vratným způsobem z ingotů na hrubé ploštinové trati (slabbing). Ploštini mohou být plynule válcovány v hotové pásy buď přímo bez dalšího ohřevu, anebo jsou po vystydnutí podrobeny kontrole i úpravě a po novém ohřevu v narážecí peci vstupují do plynulé válcovací trati.

Prvním členem plynulé trati je vertikální nebo horizontální odokujovací duo s průměrem válců 700 až 800 mm, v němž se ploštini před následujícím plynulým válcováním zbavují mírným úběrem (3 až 10 %) okuí. Válcováním se souvislá vrstva okují na ploštinách potrhá a vysokotlakými vodními sprachami, působícími na vrchní i spodní stranu ploštin, se okuje odplaví.

Má-li být vyválcován "pás, jehož šířka je značně větší než šířka výchozích ploštin, následuje v trati jako další válcovací stolice tak zvané rozširovací kvarto, jímž se ploštini válcují příčně, aby se jejich šířka zvětšila. Proto se musí ploštini otočit o 90° vzhledem k původnímu směru; to se děje točnicí. Stejná točnice je umístěna i za touto válcovací stolicí, aby rozšířená ploština byla otočením o 90° opět vrácena do původního válcovacího směru. Rozširování se děje vždy na kvartu, protože délka ploštin vyžaduje značné délky rozširovacích válců, které by musely mít u dua příliš velký průměr. Průměr pracovních válců rozširovacího kvarta bývá 850 až 950 mm a opěrných 1300 až 1400 mm při délce nejméně 2500 mm. Narážení ploštin při příčném rozširovacím válcování se děje hydraulicky tak, aby ploština byla válcí uchopena současně po celé délce, neboť na tom závisí správný pravoúhlý tvar rozšířené ploštiny. Rozšíření se provádí jediným průchodem válcí na šířku o 60 až 80 mm větší, než je žádaná šířka hotových pásů.

Je-li výchozí šířka ploštin větší než konečná šířka pásů, odpadá rozširovací kvarto a první stolicí po odokujení je duo s průměrem válců 800 mm při šířce pásů do 1250 mm nebo kvarto při válcování širších pásů.

Ploština postupuje z této válcovací stolice nebo z rozširovacího kvarta po válečkové dráze do horizontálního lisu, v němž je hydraulicky bočně slisována na přesnou šířku. Při bočním lisování je ploština svrchu pohyblivým nárazníkem přitlačena na podložku, aby se pod vlivem bočního tlaku nemohla vyboulit. Po lisování má ploština po celé délce stejnou šířku a rovné hrany.

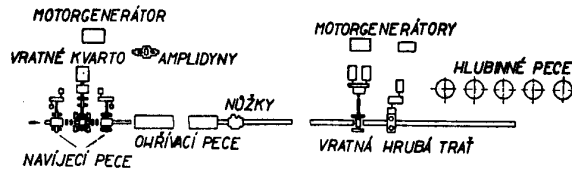
Po výstupu z lisu probíhá ploština dalšími třemi válcovacími stolicemi, a to u většiny trati tak, že se válcuje vždy jen na jediné z nich. To vyžaduje ovšem velkou vzdálenost mezi sousedními stolicemi, úměrně vztahující s rostoucí délkou válcované ploštiny. U nejnovějších plynulých trati se ploština válcuje současně ve dvou i ve třech stolicích střední trati, čímž se zkracuje celková stavební délka trati. Vyžaduje to však citlivou elektrickou regulaci válcovacích rychlostí.

Druhý člen střední trati může být buď duo nebo kvarto, což závisí na maximální šířce válcovaných pásů. Je-li první člen rozširovací kvarto, je zpravidla i druhý člen universální kvarto, válcující současně i boky ploštin s pomocí vertikálních válců. Dnes je obvyklejší disposice universálních kvart ve střední trati na místo dříve používaného střídání válcovacích stolic s horizontálními a vertikálními válcí.

U dvou ze tří válcovacích stolic střední trati je uspořádáno odokujování vysokotlakými vodními

tryskami. Pracovní válce druhé válcovací stolice střední trati mají průměr 700 až 950 mm, kdežto následující dvě kvarta mají pracovní válce o průměru pouze 650 mm. Průměr opěrných válců je 1350 mm.

Za střední trati probíhá vývalem delším úsekem válečkové trati, aby se získal čas k vytvoření nové, dosti silné okujové vrstvy. Praxe při plynulém válcování pásů totiž ukázala, že je nesprávné dokončit válcování pásů v jemné trati, aniž je možno zbavit



Obr. 2. Schema novodobého vratného válcování širokých ocelových pásů s navíjecími pecemi.

je předtím dokonale okují. Proto se shledalo, že je prospěšné určité zdržení po výstupu pásů ze střední trati, aby mohla vzniknout dostatečně silná okujová vrstva, jež teprve před vstupem do jemné trati se vysokotlakými sprchami dokonale odstraňuje. Za dokončujícího válcování na jemné trati se vytváří nová jednotná a slabá vrstva okují, jež dodává pásům charakteristickou čistou modrou barvu.

Na konci valníku, před jemnou trati, jsou umístěny ostřihovací nůžky, sloužící přesnému ostřízení pásů před vstupem do jemné trati a zarovnání končů, jež z různých důvodů, majících původ již při válcování ploštin, nebo později vlivem smekání při nerovnoměrném uchopení ploštiny po celé délce během přičného válcování, nejsou rovné.

Před jemnou trati je duo s horizontálními válci, fungující jako druhý lamač okují. Vykonalý jím úběr je nepatrný, postačující k potrhání souvislé vrstvy okují před následujícím dokonalým odokoujením vysokotlakými vodními sprchami. Jakost odokoujení bezprostředně před jemnou trati je rozhodující pro vzhled a bezvadný povrch hotové vyválcovaného pásu.

Dokončující jemná trať se skládá zpravidla ze šesti kvart, ačkoli jsou i výjimky, kde jemnou trati tvoří jen čtyři nebo pět kvart. Čím menší jsou úběry v jemné trati, tím kvalitnější je povrch vyválcovaných pásů a tím jsou rovnější.

Vzdálenost mezi válcovacími stolicemi jemné trati činí 6 metrů, u nejnovějších trati i méně. Pracuje se bez páskových smyček s citlivou a přesnou regulací tahu v pásu mezi sousedními válcovými páry.

Příkon jednotlivých elektromotorů, pohánějících válcovací stolice jemné trati, se pohybuje od 3000 do 5000 ks podle válcované šířky a válcovací rychlosti.

Celkový příkon plynulé válcovací trati činí 30 000 až 50 000 ks.

Při výstupní rychlosti 10 metrů za vteřinu, šířce válcovaného pásu 1000 mm a výstupní tloušťce pásu 2 mm proběhne za vteřinu 160 kg pásu. Počítáme-li s těsným sledem ploštin a potřebnými časy na rozjezdy a dojezdy, dospějeme k výkonu 320 až 360 tun za hodinu nebo-li k měsíčnímu výkonu asi 170 000

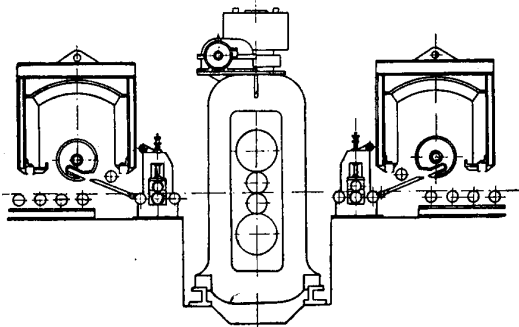
tun, což znamená, že za účelem plného využití takového plynulé trati je třeba vyválcovat ročně asi 2 000 000 tun oceli. Ježto nejvýkonnější vratná hrubá trať (slabbing) vyválcuje nejvýše 170 000 tun ingotů měsíčně, zpracuje plně využitá plynulá trať na válcování širokých pásů celý její výkon.

Schema novodobého vratného válcování širokých ocelových pásů s navíjecími pecemi je patrné z obr. 2.

Oba válcovací postupy, hrubý i jemný, jsou vratné, uspořádané v jedné lince a na sobě závislé. Spojovací a tepelně vyrovnávací článek mezi oběma tvoří průběžná ohřívací pec, v níž jsou ploštiny vyválcované na vratné hrubé trati ohřívány před vratným válcováním na kvartu s navíjecími pecemi.

Ingots o váze 6 tun a rozměrech 450 × 975 × 1800 mm jsou ohřívány v pěti kruhových hlubinných pecích s plynovým topením o vnitřním průměru 5 metrů. Pce nejsou ponorený pod úrovni podlahy válcovny, takže lze jejich topení dobře řídit s podlahy. Ingots se do pecí spouštějí i vytahují elektrickým jeřábem a jejich ohřev na válcovací teplotu 1150 °C trvá 7 hodin. Měřicí a regulační přístroje hlubinných pecí jsou uloženy ve zvláštní klimatisované kabíně.

Ohřáté ingots jsou dopraveny po valníku k hrubé válcovači trati. Tato trať se skládá z dvouválcové stolice s horizontálními válci, již je předřazena sto-



Obr. 3. Vratná válcovací stolice s navíjecími pecemi.

lice s kolmými válci se spodním pohonem, válcující boky ploštin. Pohon horizontálního dua s průměrem válci 900 mm nemá hřebenové skříně a každý z obou válci je poháněn samostatným elektromotorem o příkonu 2000 ks. Pohonného motoru vertikálního dua má příkon 1250 ks. Po obou stranách válců hrubé vratné trati jsou uspořádány účinné vysokotlaké (70 atm) vodní sprchy, zbavující vývalem během válcování okují a zabraňující tak jejich za-válcování.

Ingots o váze 6 tun je během 3 minut patnácti průchody válců vyválcován na ploštinu 16 mm tlustou a asi 48 metrů dlouhou, která postupuje po dlouhých válečkových drahách k ostřihovacím nůžkám, zarovnávajícím ostříhnutím oba konce ploštin. Po ostřízení postupuje ploština do průběžné ohřívací plynové pece, 50 metrů dlouhé, uvnitř 1700 mm široké, v níž se ohřije na válcovací teplotu, jež může být při setrvání ploštiny v peci udržována po libovolnou dobu. Pec je vybavena dokonalou automatickou regulací teploty a ploština je v ní

Roč. VIII., čís. 3.

Wiesner: Válcování širokých pásů za tepla.

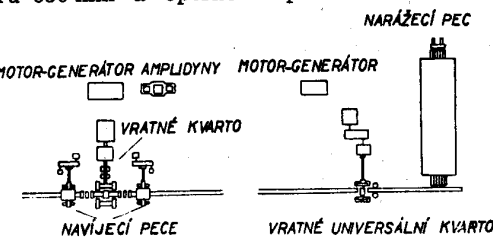
Hutnické listy.

ohřáta na rovnoměrnou teplotu po celé délce, což má velmi příznivý vliv na tloušťkovou rovnomořnost pásu během následujícího vratného válcování.

Ohřívací pec je uvnitř vybavena dopravními válečky ze žáruvzdorné oceli, s čepy chlazenými vodou, sloužícími vjezdu a výjezdu ohřívaných ploštin. Během setrvání ploštiny v peci vykonávají dopravní válečky oscilační pohyb, a to vždy 5 obrátek kůdu a 5 nazpět, aby bylo zabráněno průhybu a nestejnoměrnému ohřevu ploštin.

Za ohřívací pecí je vratné kvarto s navijecími pecemi, na němž se předválcované ploštiny dovážejí v hotové pásy.

Ctyřválcová stolice, jež má pracovní válce o průměru 650 mm a opěrné o průměru 1400 mm při



Obr. 4. Schema vratné válcovací trati.

délce 1300 mm, je poháněna elektromotorem o příkonu 4000 ks přes převodovou a hřebenovou skříň. Pohon je stejnosměrný s řazením Ward—Leonard a s amplidynou pro pohony navíjedel.

Nejvyšší válcovací rychlosť vratného kvarta je 400 metrů za minutu.

Po obou stranách kvarta jsou umístěny ohřívací pece s navíjáky. Obrázek 3 znázorňuje schematicky toto uspořádání. Navíjecí pece jsou vytápeny plynem a atmosféra uvnitř pecí může být podle potřeby udržována buď redukční nebo oxydační. Temperatura se dá řídit v rozmezí od 750 do 1150 °C. Navíjáky jsou ze žáruvzdorné oceli a mají zárezy pro uchopení konce pásu. Jejich hřídele jsou chlazený vodou. Hlavní pohony navíjáků mají motory o příkonu po 150 ks a pomocné pohony o příkonu po 75 ks.

Vratná válcovací stolice může být umístěna blízko za průběžnou ohřívací pecí, neboť konec ploštiny hned po prvním průchodu válci vjede do zářezu navíjáku v levé navíjecí peci, čímž se samočinně uvede navíjecí zařízení do provozu. Regulace navíjecích tahů a tlaků s pomocí amplidynu je velmi citlivá a přesná. Při druhém průchodu válci vjede i druhý konec ploštiny do navíjecí pece po pravé straně válcovací stolice. Po obou stranách pracovních válci vratného kvarta jsou uspořádány účinné vysokotlaké vodní sprchy (70 atm), které zbabují pás za vratného válcování okuji, pečujíce tak o bezvadný povrch válcovaného pásu.

Mezi válcovací stolicí a navíjecími pecemi mohou, avšak nemusí, být disponovány svěrací válce.

Ploština vyválcovaná na vratné hrubé trati na tloušťku 16 mm vyválcuje se na vratném kvartu s navíjecími pecemi pěti průchody válci na 3 mm, nebo sedmi průchody válci na 2 mm konečné tloušťky. Hotový vyválcovaný pás v délce 260 až 400 m se navíjí po ochlazení vodními sprchami, aby byl

připraven buď pro následující válcování za studena nebo pro přímé zpracování.

Popsané vratné válcování pásů 1000 mm širokých má výkon 120 t za hodinu, t. j. při 120 pracovních hodinách v týdnu (při patnácti směnách) asi 60 000 t za měsíc, což odpovídá výrobě 720 000 t za rok.

Vratné válcování širokých pásů za použití navíjecích pecí nemusí být přímo spojeno s hrubým válcováním ingotů, ačkoliv to představuje značnou úsporu tepevnou, neboť se ušetří znovuohřívání vychladlých ploštin.

Dává-li se přednost, nebo je-li nezbytná kontrola i úprava ploštin po hrubém válcování, je postup stejný jako při jiném obvyklém způsobu válcování ploštin (ohřívání ploštin v narážecí peci). Ježto však nejtěžší ploštiny, ohřívané v narážecích pecích, bývají nejvíce 3000 kg těžké, jsou také pásky z nich vyválcované lehčí a kratší než pásky vyválcované přímo z ingotů.

Ploština 3000 kg těžká o rozměrech 75 × 1000 × 5000 mm, ohřátá v narážecí peci, musí být při válcování na vratném kvartu s navíjecími pecemi nejprve vyválcována několika vratnými průchody válci na tloušťku 12 mm, než může vstoupit do navíjecích pecí, a musí být během dalšího válcování navíjena za střídavého ohřevu.

Výkon vratného válcování s navíjecími pecemi by v takovém případě následkem menší váhy ploštin a jejich větší výchozí tloušťky nezbytně poklesl. Výkon lze však podstatně zvýšit zařazením vratné válcovací stolice mezi narážecí pec a vratné kvarto s navíjecími pecemi, na níž se vyválcují ploštiny z tloušťky 75 mm na tloušťku 16 mm a délku 24 m pěti až šesti průchody válci. Tím se válcování rozdělí ve dva stupně a válcovací výkon se zdvojnásobí.

V obr. 4 je schematicky znázorněno také uspořádání, podle něhož lze i při práci z výchozích studených ploštin menší váhy dosáhnout válcovacího výkonu 720 000 t za rok.

Pracovní postup podle obr. 2 je hospodárnější, a to jak co do investičních, tak i co do provozních nákladů, neboť zde odpadá vratné válcovací zařízení na ploštiny, zařazené mezi hrubé a jemné válcování, a znovuohřívání vychladlých ploštin. Náklady na průběžnou ohřívací pec jsou vyváženy náklady na narážecí ohřívací pec na ploštiny při práci ze studených polštin.

Srovnáme-li tedy na základě uvedených příkladů investiční náklady a výkon plynulé trati a vratné válcovací trati s navíjecími pecemi při válcování širokých pásů, docházíme k poznatku, že investiční náklady plynulé trati jsou pětinásobné až šestinásobné, kdežto její výkon je nejvíce trojnásobný. Stavební náklady novodobé plynulé trati pro šířku pásů 1250 mm je asi 850 000 000 Kčs, kdežto vratnou trať s ohřívacími pecemi pro tutéž šířku pásů lze zbudovat za 175 000 000 Kčs.

Podmínkou srovnávání jsou vysoké novodobé válcovací rychlosti obou válcovacích postupů. Nemělo by smyslu srovnávat neobvyklé rychlosti jedné trati s obvyklými rychlostmi trati druhé. Nemůže-li proto být plně využito vysokého výkonu plynulé

válcovací trati, je dát přednost stavbě novodobé vratné trati s navijecími pecemi.

K jakosti pásů válcovaných oběma způsoby zbyvá ještě podotknout toto: Pásy vyválcované vratným postupem s ohřívacími navijecími pecemi mají přesnější tloušťku, neboť teplota po délce je ve válcovaném pásu rovnoměrnější následkem plynulého ohřevu za válcovacího průběhu. Pásy válcované na dlouhých plynulých tratích mají i při vysokých válcovacích rychlostech, zvláště u dlouhých pásů, tepelné rozdíly mezi počátkem a koncem pásů, což vede nezbytně k tloušťkovým, byť i nepatrým, rozdílům hotových pásů.

Proti tomu je nepochybně, že zachování vynikající povrchové jakosti plynule válcovaných pásů vyžaduje menší pozornosti než u pásů vyválcovaných vratným postupem, neboť každým párem válců prochází jeden pás ve válcovacím pochodu jen jednou. To znamená, že se pracovní válce vratné válcovací stolice musí častěji vyměňovat a odokujován během vratného válcovacího postupu musí být velmi pečlivě sledováno. Častější výměna pracovních válců při vratném válcování však ne-představuje vyšší provozní výlohy, neboť v plynulé trati je v budováno 10 až 12 válcovacích stolic,

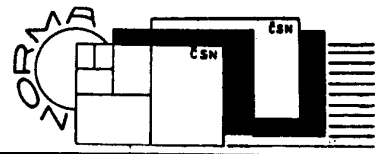
kdežto ve vratné trati jedna, nejvýše dvě válcovací stolice. Úspěšné používání vratných válcovacích trati s navijecími pecemi pro válcování širokých pásů z nekorodujících ocelí potvrzuje, že lze i tímto válcovacím způsobem dosáhnout bezvadného povrchu vyválcovaných pásů.

#### Горячая прокатка широкополосовой стали.

Инж. Фр. Визнер.

*В настоящее время прокатка широкополосовой стали приобретает все большее значение, ибо тонкие, средние и толстые листы теперь часто прокатывают из широкополосовой стали. При проектировании и постройке прокатных станов для прокатки широкополосовых лент необходимо тщательно учсть преимущество как непрерывных станов, так и станов реверсивных с подогревательными печами.*

*Автор статьи подробно сравнивает оба эти современные способы прокатки широкополосовой стали и приводит их описание, что касается производственной мощности, расходов по строительству и качества прокатанных изделий.*



## Normalisační hlídka

### Normalisace jakosti.\*

Ing. L. Jetmar.

#### Všeobecné.

1. Při normalisaci jakosti hutních výrobků je zapotřebí si ujasnit nejprve složky, z nichž se jakost skládá. Bývá obvyklé, že do jakosti, na př. oceli, se počítá chemické složení, mechanické vlastnosti a příp. i technologické vlastnosti. Jiné vlastnosti (znaky) se dosud uvažují jen výjimečně. V praxi se pak stává, že materiál různých výrobků se při zpracování a někdy i v použití v konečném výrobku chová různě. Údaje charakterizující vlastnosti rozhodné pro rovnomořnost zpracování materiálu nebyly a nejsou dosud stanovenovány, což má za následek, že různí spotřebitelé doporučovali, používali a vychvalovali materiál určité značky nebo určitého výrobce. Tvrďili, že materiál jiné značky, jiného výrobce, jim nedává ve výrobě tak dobré a rovnomořné výsledky jako materiál jimi v daném časovém okamžiku užívaný. Vlastnosti, které způsobují rozdíly ve zpracování, se jen v malém (nepatrém) počtu případů dají vyjádřit číselně, čili dají se jen ve velmi malém počtu případů změřit. Z toho vyplývá, že

prvý problém, který při normalisaci jakosti nutno uvážit, jsou dva základní typy vlastností výrobku:

- a) vlastnosti měřitelné,
- b) vlastnosti neměřitelné (aspoň v daném časovém okamžiku).

Druhý problém: mají se jakosti normalisovat podle použití, nebo naopak přiřazovat použití k určitému jakostem?

Třetí problém: stanovení jmenovitých hodnot a jejich odstupňování.

Ctvrtý problém při normalisaci jakosti hutních výrobků je, že jejich jakost je složena nejen z vlastní jakosti

\*) V této kapitole podáváme výhledový směr normalisace jakosti hutních výrobků, protože základní úvahy o normalisaci jakostí jsou uvedeny v knize „Normalisace“, kterou vydala knihovna ministerstva hutního průmyslu a rudných dolů.

materiálu (oceli, hliníku, mědi atd.), nýbrž i z jakosti (přesnosti) rozměrů, ve kterých jsou výrobky dodávány (tyče různých průřezů, plechy, drát a j.).

Jakost rozměrů je nutné rozdělit do těchto základních skupin:

- A — úchylky jmenovitých rozměrů (h8, h11 atp.).
- B — úchylky geometrického tvaru — nekruhovost, válcovitost, rovnost, rovinost, souosost, rovnoběžnost.
- C — povrch — trhlinky, šupinky, drsnost.

#### Zásadní volba jakosti.

2. Můžeme zásadně říci, že pro každý výrobek nestačí jedna jakost. Cílem je jakost, tím je i výroba nákladnější. Proto je nutné uvažovat a vzájemně sladit hledisko výrobcovo s hlediskem spotřebitelovým. Hutní výrobky jsou pro kovoprůmyslu polotovary, které se dále zpracovávají, takže respektování jen hlediska výrobcova může přivodit velké národnospodářské ztráty, mnohonásobně větší, než byly úspory dosažené při výrobě polotovarů. Při normalisaci je proto třeba postupovat velmi obezřetně a neuvažovat jen možnosti technické, nýbrž i ohledy národnospodářské. Tímto způsobem se dosud při normalisaci jakostí nepostupovalo a nepostupuje. Nade vším vládne snaha dosáhnout co největšího vyrobeného množství jak v hutích, tak i v kovoprůmyslu. Tyto snahy v obou odvětvích jsou možné, ale jen při splnění těchto tří předpokladů:

- a) že každá jakost je přesně určena,
- b) že je dosaženo určitého minimálního množství každé jakosti v určitém období,
- c) že plán výroby je dán nejen samotným množstvím, nýbrž i jakostí.

První podmínka tedy je, že jakost je přesně určena. Tento úkol se mnoha pozorovatelům zdá jednoduchý. Z tohoto názoru vyplývá často nemožně krátké termíny

Roč. VIII., čís. 3.

## Normalizační hledáka.

Hutnické listy.

na provedení norem jakosti určitého výrobku. Je proto třeba v tomto pojednání ukázat, jak má norma jakostí vznikat, čeho je třeba dbát a jaké nové cesty je nutno hledat zejména pro stupňování jakosti určitého výrobku.

Při několika jakostech je třeba se při normalisaci roz-hodnout, v jakém rozsahu se jednotlivé jakosti mají pohybovat, protože pro každou jakost a pro každý znak jakosti je nutné dovolit určitou výrobní toleranci, t. j. určitý znak se může pohybovat mezi mezními hodnota-mi. Většinou jde o velmi složitý problém, protože jakost určitého hutního výrobku není dána hodnotou jediného znaku. Jednotlivé znaky závisí vzájemně na sobě různým způsobem, t. j. těsnost vztahu, vyjádřená číslem koefi-cientem korelace, je různá. Všechny znaky vyskytující se na výrobku (přesněji řečeno „ve výrobku“) mají určitou křivku četnosti (viz normu ČSN 2240 Statistická kontrola jakosti a knihu Dr. Janka „Jak vytváří statistika obrazy světa a života“). Zpracování řad hodnot znaků hutních výrobků není práce jednoduchá. Kromě toho musí být hodnoty jednotlivých znaků k disposici, t. j. musí být již po delší časové údobí systematicky zaznamenány. To se dosud neprovádělo, aspoň ne v takové míře, aby mohly být využívány správné normalizační důsledky.

Ježto u hutních výrobků je jakost vesměs dána něko-liku znaky, je fakt, že není možné hovořit o dnešní nor-malizaci jako o normalisaci soustavné. Dnešní normy zachycují dosud jakost tak, jak vývojově neorganisované vznikaly. Okolnosti, které měly význam při tvorbě ja-kosti různých hutních výrobků, je mnoho. Nebudeme je uvádět všechny, nýbrž jen výčet nejhlavnějších:

1. technické (konstrukční, výrobní),
2. cenové,
3. odbytové — obchodní,
4. příslušenství (příslušových prvků a p.),
5. kartely,
6. reklamní.

Prolínání těchto okolností bylo čistě náhodné a nepro-jevovalo se u všech druhů i velikostí výrobků stejnou měrou. Rozhodující je, že ze všech těchto vlivů vzniklo veliké množství jakostí, které se nakonec už nedalo ani výrobně zvládnout. Výrobní množství byla příliš malá. Začalo se tudíž již před lety tak zvaně normalisovat. Tím byl miněn takový výběr ze všech dosud vyráběných ja-kostí, které se:

- a) nejvíce prodávaly,
- b) nejsnáze vyráběly.

Systematizace jakosti hledána nebyla. Na př. u uhlíkových ocelí se zůstalo u určité řady pevnosti 34 — 37 — 42 — 50 — 60 — 70 — 80. Je nutno si položit otázku: je tato řada zdůvodnitelná jak výrobně, tak konstrukčně? Dává konstruktéroví možnosti vhodného od-stupňování jakosti tam, kde musí změnit jakost, protože potřebný průřez je už buď příliš veliký nebo z jiného důvodu nevhodný? Odpověď je možno dát zcela jasně a jednoznačně: řada se nehodí ke stupňování. Už jen z toho důvodu, že se stupňuje pevnost, kdežto o tažnosti nebo mezi průtažnosti se vůbec neuvažuje.

U slitinových ocelí je situace dnes ještě méně pře-hledná. Určuje se sice chemické složení v určitém od-stupňování, ale slitin je tolik, že lze předem říci, že jich tolik není třeba. Zejména v kapitalistické cizině mů-žeme posoudit situaci z toho, že se vyskytuje — jen v Evropě — přes 5000 různých značek konstrukčních ocelí. I když uvádíme, že výrobci je mnoho, takže na kaž-dého případá jen část značek, přece jen je vidět, že počet značek — a tím i jakostí — je takový, že nemůže být oprávněn. Některá ocel se odebírá proto, že má vysokou pevnost, jiná z důvodu meze průtažnosti, jiná z důvodu tažnosti nebo nárazové práce, další se opět dobré káli atd. Jak vidět, je znaků, podle kterých si spotřebitel vy-brá, značné množství. Při tom jsme ještě neuvědli hle-disko cenové. Některý spotřebitel chce šetřit na oceli a vybere si ocel levnější, t. j. tu, za niž zaplatí menší částku za kilogram. Domnívá se, že tím výrobu zlevní. Ježto prakticky vždycky nesleduje, jak se zvolený ma-teriál v provozu osvědčil, nemůže odpovědět říci, zda materiál skutečně vyhověl či ne, zda trvanlivost byla úměrná či nebyla. Činitele trvanlivosti a činitele ceny lze jen ve velmi malém počtu případů sloužit.

Levnější ocel v nákupu vyžaduje často přesnějšího a

tím nákladnějšího zpracování (zejména tepelného), má-li se jí dosáhnout výsledků tak dobrých a tak rovnoměrných jako oceli dražší. Při správně provedené normalisaci se musí tedy uvažovat i další okolnosti, a to:

1. výrobní cena (oceli, příp. materiálu všeobecně),
2. nákladnost zpracování (oceli, příp. materiálu vše-obecně).

Výrobků, pro které je materiálu použito v praxi, je velké množství. Uvažovat vždy výrobky, pro které se určitá jakost hodí, t. j. normalisovat podle detailního použití, nemůže vést k cíli. Je nutné hledat cesty jiné právě tak, jak jsme uvedli u rozměrové normalisace tvarů průřezu. Je třeba najít a uplatnit souborná hle-diska pro volbu a odstupňování jakostí. Pro každý druh materiálu v hutním sektoru vyráběného a zpracovávaného (ocel, měď, hliník atd.) je třeba stanovit součinitele charakterisující jakost a tyto součinitele stupňovat. V některých případech se však napak tento součinitel stup-novat nebude, nýbrž zůstane konstantní a bude se měnit cena materiálu, čili bude stupňována cena. V socialistickém hospodářství je to možné, protože se dá normalisace provést v plánovacích cenách.

3. Máme tedy dva základní případy důsledně prováděné normalisace jakosti:

1. stupňování součinitele jakosti (základní problém),
2. stupňování plánovacích cen.

## Případ 1.

Na základě výzkumných a provozních dat je třeba se stavat koeficient jakosti určitého druhu materiálu. Ve-doucí složkou koeficientu v každém druhu materiálu bude ta, pro niž se materiálu předeším používá. U ocelí uhlíkových to budou předeším mechanické vlastnosti, u sli-tinových chemické složení a mechanické vlastnosti, u sli-tin hliníku odolnost proti různým činidlům i mechanické vlastnosti (různé řady slitin) atp. Pro každý druh mate-riálu bude samozřejmě číselná hodnota koeficientu ja-kosti jiná. Každý z koeficientů se pak vhodným způsobem odstupňuje. I pro tento případ lze použít řad Renardo-vých, t. j. geometrického stupňování. Nepoužije se ovšem pro celý rozsah jakostí pouze řady jediné (s jediným kon-stantním kvocientem), nýbrž řady klouzavé. Musí se splnit tyto podmínky:

- a) směrem k vyšší jakosti se bude kvocient jakosti zmenšovat;
- b) hrubě se stanoví hospodárná křivka průběhu kvoci-entu řady a nahradí se v určitých částech kvocenty řad Renardových (dilší kvocenty řady);\*
- c) dilší kvocenty se musí stanovit tak, aby byly v sou-ladu s kvocenty řad užívanými pro normalisaci roz-měrů.\*\*

Určení dilších kvocentů tak, aby určitý profil mohl být vyráběn ve dvou či více jakostech a tím kryl požadavky soustavné rozměrové normalisace vyšších celků, přinese zjednodušení výrobního programu hutních závodů. Zjed-nodušení bude skutečně významné, protože lze dosti spo-lehlivě odhadnout, že počet kombinací, vyplývající z ná-sobení velikosti průřezu a jakosti materiálu, klesne nej-méně o 40 %.

## Případ 2.

Normalisace jakosti podle plánovacích cen se uplatní zejména pro ty případy, kdy je třeba řešit určitou konstruktii (určitý výrobek) tak, aby i při změnách mate-riálu, způsobených různými okolnostmi, se dala konstrukce provést stejně hospodárně a se stejným využitím mate-riálu pokud se týče výhyb.

Na první pohled se může zdát, že zde jde o kdysi již v podnikových normách uváděné cenové indexy. Tyto indexy se vztahovaly na určitý druh, rozměr a jakost zá-kladního materiálu (na př. nejméně hodnotné oceli Cc) a k jiným ocelím se zapsal index poměrného zvýšení ceny.

\* Pozn. k bodu b). Stanovení křivky průběhu jakosti musí se provést na základě počtu pracovních hodin vplývajících do jednotky vyráběného materiálu (ingotu a p.).

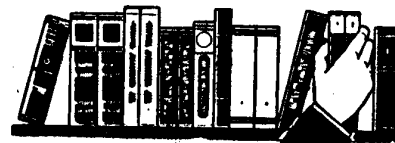
\*\*) Pozn. k bodu c). Samozřejmý předpoklad je, že pro určitý koeficientu jakosti se použije křivka četnosti pro ty zna-ky, které v koeficientu jakosti budou obsaženy. Zjistí se rozptyl koeficientu jakosti a na základě tohoto rozptylu se určí jmenovitá hodnota koeficientu jakosti a přípustné úchyly tak, aby se v žádném případě toleranční pole jmenovitých hodnot neprekryvala.

Na př. 1,2;3,50 atp. Tento index říkal pouze, oč je určitá ocel v nákupu dražší — přesnéře řečeno, o kolik se za ni musí více zaplatit, a neměl žádný vztah k mechanickým či chemickým vlastnostem materiálu; a proto spotřebitel, zejména konstruktér, nic podstatného přinést nemohl. Byl proto z těchto i jiných důvodů opuštěn.

Kvocient stupňování plánovacích cen musí být v souvislosti s kvocientem jakosti stanoveným v případě 1. Pro určitý stupeň plánovacích cen se určí ty materiály, které mají:

- a) číselně stejné nebo různé koeficienty jakosti,
- b) dodávají se ve stejných tvarech průřezu.

Soubor materiálů patřících k témuž stupni plánovacích cen se pak analyzuje po stránce hospodářské (zejména příslušnu surovin) a v normách se uvedou jen ty materiály, které národní hospodářsky vyhovují. Jde zde vlastně o výběr jakosti materiálu, které je možné v určitém časovém rozmezí vyrábět. I dnes se sice výběry jakosti provádějí, avšak tento výběr se provádí nahodile, bez ohledu na hospodářné využití materiálu v konstrukcích. Spojení koeficientu jakosti se stupňováním plánovacích cen dává i dobrý podklad pro řízení příslušnu určitých surovin, protože ukazuje cestu nejhospodářejšího řešení konstrukčních problémů.



## Literární hlídka

### V. P. Severděnko: O tlaku kovu na válce

Ve sborniku čís. XXIX „Proizvodstvo i obrabotka stali“, který vydává Ocelářský institut v Moskvě (vydal Metallurgizdat, Moskva, v r. 1950), je otištěna obsáhlá práce docenta kandidáta technických nauk V. P. Severděnka „O davleniji metalla na valki“, která se s neobvyčejnou šíří a důkladností zabývá problematikou tlaku kovu na válce a jeho průběhem v ohnisku deformace u nejrůznějších případů válcování za tepla i za studena. Práce je současně příkladem, s jakou metodickostí a vyčerpávající důkladností se v Sovětském svazu řeší různé dílničí úkoly s přihlédnutím k jejich praktickému využití.

V úvodu své práce uvádí V. P. Severděnko práce jiných autorů, kteří se problémem tlaku kovu na válce při válcovacím pochodu zabývali. Pro své vlastní výzkumné práce si autor postavil tyto úkoly:

1. Průzkum a theoretické zevšeobecnění vlivu různých činitelů na charakter rozložení specifického tlaku v ohnisku deformace při válcování na hladkých válcích.

2. Průzkum vlivu rozličných činitelů na velikost skutečného specifického tlaku.

3. Vypracování metody výpočtu specifického i celkového tlaku kovu na válce při válcování za studena i za tepla na hladkých válcích, s přihlédnutím k praktické použitelnosti výpočtů při konstrukci válcovacích stolic.

4. Výzkum vlivu nerovnoměrnosti deformace na velikost a způsob rozložení skutečného specifického tlaku při válcování za studena na hladkých válcích.

5. Studium vlivu tvaru kalibru na velikost a způsob rozložení specifického tlaku v ohnisku deformace.

Pro pokusy, které byly podkladem těchto studií, bylo použito velmi zajímavého a důmyslného měřicího zařízení podle N. I. Svěde-Sveče, které dovoluje s pomocí filmu zaznamenávat průběh skutečných tlaků na válce v libovolném místě válcovaného profilu v rozsahu celého ohniska deformace a dále na několika místech válcovaného profilu současně. K přenášení účinku tlaku se používá zvlášť konstruovaných siloměrných krabic a oscilografů.

Vlastní průzkum skutečného specifického tlaku při rovnoramenné deformaci byl zkoumán při válcování za tepla i za studena na válcovací stolici o průměru válce 150 mm. Při tom byl sledován:

1. Vliv teploty na způsob rozdělení velikosti skutečného specifického tlaku v ohnisku deformace. Bylo při tom zjištěno, že teplota válcování má podstatný vliv na velikost skutečného specifického tlaku, ale nemá vliv na jeho rozdělení v ohnisku deformace. Maximum specifického tlaku leží mezi středem oblouku a výběhovou rovinou z válce.

2. Vliv tloušťky ploštiny, vyjádřené poměrem její tloušťky  $h_1$  k průměru válce  $D$ , na způsob rozdělení a velikost skutečného specifického tlaku v ohnisku deformace. Bylo zjištěno, že průběh rozdělení skutečného specifického tlaku v ohnisku deformace určuje poměr  $\frac{h_1}{D}$ , t. j. tloušťka ploštiny a ne teplota válcování. Velikost úběru má vliv na způsob rozložení skutečného specifického tlaku v ohnisku deformace hlavně při válcování poměrně tenkých ploštin,

ale při větších úběrech (67 až 78 %) se tento rozdíl výrazně neprojevuje.

3. Vliv tření na způsob rozdělení a velikost skutečného specifického tlaku v ohnisku deformace. Při těchto pokusech bylo zjištěno, že při válcování za použití mazání ploštin jsou specifické tlaky nižší než při válcování na suchých válcích. Také průběh skutečných specifických tlaků byl různý.

4. Vliv šířky ploštiny na způsob rozdělení a velikost skutečného specifického tlaku v ohnisku deformace. Při těchto pokusech bylo zjištěno, že specifický tlak je uprostřed ploštiny vždy větší než při jejích okrajích.

5. Vliv rychlosti válcování na způsob rozdělení a velikost skutečného specifického tlaku v ohnisku deformace. Pokusy byly provedeny jednak s válcovacími rychlosťemi, jaké válcovací stolice normálně dovoluje (0,432 m/sek), jednak při extrémně malých rychlosťech (0,006 m/sek). Při tom bylo zjištěno, že při extrémně malých válcovacích rychlosťech nemá křivka průběhu specifického tlaku výrazné maximum, jak je tomu při válcování normálně válcovací rychlostí, je protáhlá a maximální specifický tlak je o něco menší než při válcování s normálními válcovacími rychlosťemi.

6. Vliv tahu na způsob rozdělení a velikost skutečného specifického tlaku v ohnisku deformace. Při těchto pokusech byl studován jak vliv předního, tak vliv zadního tahu. Bylo při tom zjištěno, že způsob rozdělení specifického tlaku se vlivem předního nebo zadního tahu nemění. Avšak při dostatečně velkém předním tahu se zmenjuje šíření, při dostatečném zadním tahu vzniká v některých případech záporné šíření (zužování pásku).

Závěr těchto pokusů možno shrnout v následující vývody: Na způsob rozdělení skutečného specifického tlaku v ohnisku deformace mají vliv 1. počáteční tloušťka ploštiny, 2. velikost úběru, 3. koeficient tření, 4. rychlosť válcování. Na velikost skutečného specifického tlaku mají vliv 1. chemické složení kovu, 2. teplota válcování, 3. vnější tření, 4. velikost úběru, 5. počáteční tloušťka ploštiny, 6. šířka ploštiny, 7. rychlosť válcování, 8. tah pásku.

V dalším oddílu své práce se V. P. Severděnko zabývá průzkumem skutečného specifického tlaku při nerovnoměrné deformaci. Pokusy byly prováděny při válcování pásků za studena na hladkých válcích o průměru 150 mm, při válcování čtvercových a obdélníkových ploštin v oválném kalibru a při válcování profilu tvaru I.

Při těchto pokusech bylo zjištěno, že při válcování na hladkých válcích za studena má nerovnoměrnost deformace podstatný vliv na velikost specifického tlaku. Tak na př. při válcování ploštin s vybráním uprostřed a při zvětšení vybrání z 5 na 20 mm se zvětšil v jedné řadě pokusů skutečný specifický tlak o 48,5 %. V druhé řadě pokusů došlo ke zvětšení specifického tlaku o 24,7 %.

Pokud jde o výsledek pokusů s válcováním ploštin čtvercových a obdélníkového průřezu v oválném kalibru, je způsob rozdělení skutečného specifického tlaku tentýž, jako při válcování tlustých ploštin na hladkých válcích: skutečný specifický tlak nejdříve prudce stoupá, pak se

po určitou dobu udržuje na konstantní velikosti, nebo velmi mírně stoupá a nakonec prudce klesá. Maximální specifický tlak v oválném kalibru byl při tom zjištěn uprostřed kalibru. Specifický tlak při okrajích oválu kalibru je nižší než uprostřed. Pokud jde o průběh velikosti specifického tlaku v ohnisku deformace, leží maximum specifického tlaku bliže ke vběhu ploštiny do válců.

Při válcování profilu tvaru I jsou deformační poměry značně složité. Při pokusech bylo sledováno rozložení a velikost specifického tlaku v různých místech tohoto profilu. Velikost specifického tlaku v různých řezech kalibru profilu I se jevila podle pokusu takto:

Uprostřed stojny (svislý tlak)	100 %,
poblíž přechodu stojny do otevřené přírubky (svislý tlak)	114 %;
v otevřené přírubě (svislý tlak)	57 %,
v otevřené přírubě (boční tlak)	21 %,
v uzavřené přírubě (svislý tlak)	43 %,
v uzavřené přírubě (boční tlak)	11 %,
podél vodorovné osy stojny (boční tlak)	43 %.

Výsledkem práce V. P. Severděnka je, že při válcování, ať už za tepla nebo za studena, dostáváme, pokud jde o průběh skutečného specifického tlaku v ohnisku deformace, diagramy, které se skládají ze tří větví: z jedné prudce stoupající, z druhé přibližně vodorovné a z třetí prudce klesající. Pokud se objeví diagramy, kde druhá větev není dostatečně dlouhá a méně se ve výrazný vrchol křivky, je to důkazem, že délka ohniska deformace byla malá a nedovolila obvyklé rovninutí průběhu skutečného specifického tlaku v ohnisku deformace. Výsledky pokusů potvrzují správnost vzorce, který pro průběh skutečného specifického tlaku při válcování tenkých ploštin sestavil A. I. Celikov:

a) Pro pásmo skluzu

$$p_x = \frac{K}{\delta} \left[ (\delta - 1) \cdot \left( \frac{h_1}{h_x} \right)^\delta + 1 \right];$$

b) pro pásmo předstihu

$$p_x = \frac{K}{\delta} \left[ (\delta + 1) \cdot \left( \frac{h_x}{h_2} \right)^\delta - 1 \right].$$

V těchto rovnicích platí  $K = 1,15 \cdot K_f$ .

Význam jednotlivých výrazů:

$K_f$  — mez průtažnosti válcovaného kovu, která se dá v uvažovaném průřezu vyjádřit rovnicí

$$K_f = K_x = K_1 + (K_2 - K_1) \cdot \frac{1-x}{1};$$

$K_1$  — mez průtažnosti výchozího válcovaného materiálu;

$K_2$  — mez průtažnosti válcovaného materiálu po vyválcování;

$\delta$  — průměr záběrového oblouku bez ohledu na pružnou deformaci válců;

$x$  — vzdálenost od uvažovaného průřezu k rovině vstupu plošiny do válců;

$$\delta = \frac{2 \cdot 1 \cdot \mu}{\Delta h}, \text{ kde } \mu \text{ — koeficient tření.}$$

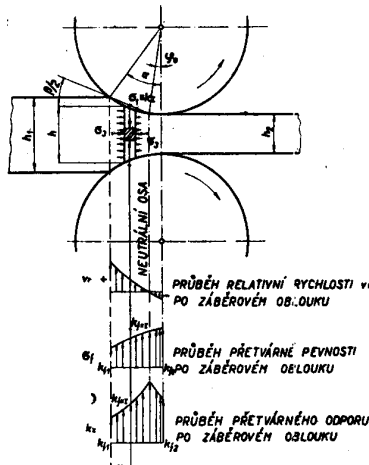
V práci jsou uvedeny příklady výpočtu průběhu skutečného specifického tlaku v ohnisku deformace jednak při válcování tenkých ploštin ( $\frac{h_1}{D} < 0,02$ ), jednak při válcování tlustých ploštin ( $\frac{h_1}{D} > 0,02$ ), a návrhy na sestrojení příslušných theoretických diagramů. Konstatuje se při tom, že theoretické vzorce odvozené A. I. Celikovem plně vyhovují praktickému použití při válcování za studena na hladkých válcích, při obyčejném způsobu válcování, i při válcování s tahem, i s přihlédnutím k pružné deformaci válců.

Alexander Gelej: Výpočet sil a energie při tváření v oblasti tvárného stavu kovů.

Maďarské Akademické nakladatelství v Budapešti vydalo v roce 1952 zajímavou knihu profesora Alexandra Geleji: „Die Berechnung der Kräfte und des Kraftbedarfs

bei der Formgebung im bildsamen Zustande der Metalle“, která je výsledkem četných dřívějších prací prof. Geleji, známého odborníka v oboru theorie válcování a konstrukce válcovacích zařízení, lisů, tažných stolic atd., v oborech, kde nutno počítat s tvárnými vlastnostmi materiálu. Tato kniha navazuje na dřívější knihu téhož autora vydanou v roce 1948.\*)

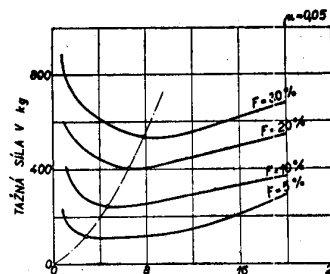
Kniha má sloužit konstruktérům válcovacích zařízení jako praktická pomůcka, která řeší theoreticky problémy



Obr. 1.

výpočtu sil a energie při různých způsobech tváření kovů za tepla i za studena. Odvozené vzorce mají nahradit v praxi používané empirické vzorce, jejichž rozsah použití je omezen tím, že se jich dá povětšině použít jen na takové případy výpočtů, kdy navrhované zařízení je podobné tomu zařízení, na jehož podkladě byly empirické vzorce sestaveny. Prof. Gelej řeší celou problematiku jinak velmi nesnadných a složitých výpočtů theoreticky a odvozuje takto rovnice, které mají obecnou platnost a které lze aplikovat na nejrůznější případy tváření kovů za studena

OCEL (C=0,03%)



Obr. 2.

a za tepla. Jeho vzorce bylo mnohokrát použito konstruktéry a byly prakticky vyzkoušeny, a to nejen v Maďarsku, ale i v zahraničí, což nejlépe potvrzuje jejich správnost a všeobecnou upotřebitelnost.

V prvním oddílu knihy se autor zabývá všeobecnými zákony tváření v oblasti plastických deformací. Rozvádí zde, aby se porozumělo vývodům v dalších oddílech knihy, zákony Mohrovy a Coulombovy, zákony o stálém objemu kovu při tváření a o přetvárné práci. Vysvětluje zásady a zákony zpevnování kovů za studena a vliv rychlosti na velikost přetvárného odporu.

V druhém oddílu jsou obsaženy výpočty přetvárného odporu a spotřeby energie při kování a lisování. Pro pě-

\* A fémek képlékeny alakításánál féllépő erők és erőszükséglet meghatározása számítás útján. Budapest, 1948, naki. Mérnöki Továbbképző Intézet.

chování mezi dvěma rovnoběžnými plochami kovadliny a beranu lze odpor proti pěchování vyjádřit rovnicí:

$$k_m = \frac{k_f}{1 - \mu \cdot \frac{1}{2h}} \quad (1)$$

kde značí:

$k_m$  střední odpor proti pěchování;

$k_f$  rozdíl hlavních napětí  $\sigma_1 - \sigma_3$ ;  $k_f$  možno však položit rovno pevnosti zpevněného materiálu;

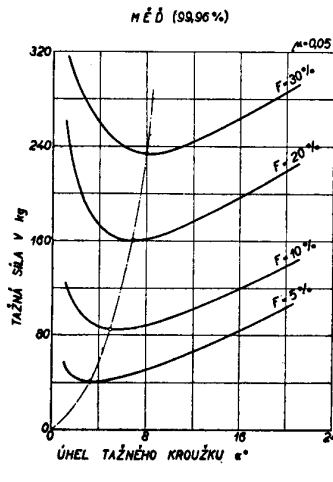
$\mu$  součinitel tření na stykové ploše nástroje a tvářeného materiálu;

$h$  šířku pěchovaného materiálu;

$l$  výšku pěchovaného materiálu.

V dalších vývodech si autor všímá vlivu rychlosti a teploty a vypočítává, jaké sily se přenášejí na stojan lisu nebo bucharu. Odvozuje přitom též vzorce pro spotřebu energie.

V oddílu, který je věnován válcování tyčí a plechů, jsou rozebrány nejdříve velmi podrobně základní prvky válcování.



Obr. 3.

covacího pochodu, rychlosť válcování, relativní rychlosť kovu, velikost úběru, podmínky záběru, průběh specifického tlaku podél oblouku záběru a síly, které působí na válcovaný kov, a tlaky na válcovací trati. Střední hodnota odporu kovu proti válcování je vyjádřena rovnicí:

$$k_m = \frac{P}{l_d \cdot b} \quad (2)$$

kde značí:

$k_m$  střední odpor při válcování;

$P$  tlak válců;

$l_d$  délka záběrového oblouku;

$b$  šířku válcovaného materiálu.

Střední odpor při válcování lze však vyjádřit též v závislosti na pevnosti materiálu (zpevněného)  $k_f$  a obvodové rychlosťi válců  $v_k$ :

$$k_m = k_f \cdot \left( 1 + 5,5 \cdot \mu \cdot \frac{l_d}{h} \cdot \sqrt{v_k} \right),$$

kde je:

$k_m$  střední odpor při válcování;

$k_f$  pevnost materiálu (zpevněného);

$\mu$  součinitel tření mezi válcem a válcovaným kovem;

$l_d$  délka oblouku záběru;

$h$  tloušťka materiálu po válcování (vzdálenost mezi válcem);

$v_k$  obvodová rychlosť válců.

Z rovnice (2) a (3) lze počítat celkový tlak kovu na válcem  $P$ .

Pokud jde o pevnost materiálu  $k_f$  v závislosti na teplotě, počítá se u měkkých uhlíkových ocelí v rozsahu teplot 800 až 1300° podle této rovnice:

$$k_f = 0,015 \cdot (1400 - t).$$

U ocelí s vyšším obsahem uhlíku, mangantu a chromu je  $k_f$  podle Ekelunda

$$k_f = \frac{1,4 + C + Mn + 0,3 \cdot Cr}{100} \cdot (1400 - t).$$

V těchto rovnících značí  $t$  příslušnou teplotu materiálu v °C, C, Mn a Cr obsah uhlíku, mangantu a chromu v procentech.

Pro výpočet energie potřebné pro válcování jsou v knize uvedeny tyto rovnice:

válcovací moment

$$M = \eta \cdot F \cdot k_m \cdot r, \quad (4)$$

energie potřebná pro válcování

$$L = \eta \cdot F \cdot k_m \cdot v_k, \quad (5)$$

výkon motoru, který pohání válcovací moment

$$N = \eta \cdot \frac{F \cdot k_m \cdot v_k}{75}. \quad (6)$$

V rovnicích (5), (6) a (7) značí:

$F$  redukci průřezu, t. j. úběr průřezu;

$r$  poloměr válců.

Pro součinitel  $\eta$ , který je vyjádřen poměrem válcovacího momentu pokusně zjištěného a vypočteného, našel prof. Geleji na podkladě pokusů tuto rovnici:

$$\eta = 1,05 - 0,8 \cdot \frac{\Delta h}{h_1} \quad (7)$$

V této rovnici značí  $\frac{\Delta h}{h_1}$  poměrný úběr tloušťky válcovaného kovu.

Pro sledování průběhu válcování a pro rozdělení odporu při válcování, příp. specifického tlaku po oblouku záběru, je důležité znát úhel, který určuje místo styku kovu s válcem, kde je relativní rychlosť kovu vzhledem k válcům nulová. Tento úhel  $\varphi_0$  lze počítat z rovnice

$$\varphi_0 = \arcsin \frac{C \cdot \mu \cdot \sin \alpha - (1 - \cos \alpha)}{2 \cdot C \cdot \mu}, \quad (8)$$

kde značí:

$\mu$  součinitel tření;

$\alpha$  úhel záběrového oblouku;

$C$  koeficient, který podle pokusů se rovná 5,5.

Rozdělení relativních rychlosťí a potřebného odporu v ohništi deformace je patrné z obr. 1.

Pro určení koeficientu  $\mu$  při válcování oceli nad teplotou 700 °C možno použít rovnici:

$$\mu = 1,05 - 0,0005 \cdot t,$$

ve které  $t$  je příslušná válcovací teplota.

V dalších kapitolách oddílu o válcování jsou probrány theoretické základy výpočtu válcování v kalibrovaných válcích a výpočty tlaků, sil a energie na podkladě empirických vzorců podle Puppeho a výpočty s ohledem na chladnutí materiálu při válcování. Kromě toho autor knihy naznačuje postup výpočtu spotřeby energie celé válcovací trati. Tyto výpočty jsou doplněny četnými číselnými tabulkami a praktickými příklady.

Zvláštní oddíl je věnován válcování trub, a to jak děrovacímu procesu, tak válcování na poutnické stolici. Pokud jde o teorii válcovacího procesu samotného, opírájí se výpočty o teorii děrování a vznik dutiny podle prof. Siebela, která vysvětluje vznik dutiny účinkem smykových napětí. I když je tato teorie překonána správnějšími teoriemi sovětských badatelů, možno výpočty prof. Geleji použít s velkou výhodou pro jejich poměrnou jednoduchost. Celková spotřeba energie pro děrování je vyjádřena rovnicí:

$$N_{PS} = \frac{L_A + L_{SH} + L_{SD}}{75} \quad (9)$$

V této rovnici je:

$L_A$  energie potřebná pro přetvárnou práci při děrovacím procesu;

$L_{SH}$  energie potřebná k překonání odporu tření mezi válcem a děrovaným materiálem;

$L_{SD}$  energie potřebná k překonání odporu tření mezi děrovacím trnem a děrovaným materiálem;



s malým prodloužením) a žíhání hlubokotažných plechů. Rozlišuje různé druhy žíhání, používané při žíhání hlubokotažných plechů, podává obraz o ochranné atmosféře, tvoření vlnitých okrajů při tažení kališků a příčiny tohoto zjevu, a pojednává o vlivu nekovových vnitřků na vlastnosti hlubokotažných plechů.

Vlastnosti hlubokotažných plechů jsou předmětem úvah ve IV. kapitole. Hlubokotažné plechy jsou plechy z měkké oceli s malým množstvím jiných přimíšenin, kde uhlík nemá překročit 0,12 %. Autor se nezmiňuje o plechu s větším množstvím P, úmyslně ponechaným v ocelích SM v množství 0,1 %. Pro vlastnosti hlubokotažných plechů jsou důležité přimíšeniny C, Mn, Si, S, P, N, Cu, Cr, Ni, Al, O<sub>2</sub>, Mo, V, Ti a j.; jejich vliv Dr. Eisenkolb zkoumá, zvláště pro různé účely použití (svařování, smaltování, odolnost vůči korosi a pro hluboký tah). V oddíle o zkoušení hlubokotažných plechů píše autor o odbírání vzorků pro zkoušky ploštin na hluboký tah (vhodnost materiálu pro válcování na hlubokotažné plechy) a o různých metodách zkoušení hlubokotažnosti plechů a o jiných zkouškách. Sám je autorem mnoha návrhů.

V oddíle o trídění plechů se popisují jednotlivé chyby, vzniklé v ocelárně, a chyby ve válcovně, počínající válcováním a končíc transportem. Současně je zkoumán vliv této chyby na hluboký tah. Zkoumá se dále, které plechy se hodí pro hluboký tah a sleduje se průběh lisování. V dalších odstavcích se popisují čáry Lüdersovy (známé jako čáry Černovovy, původně jím prvním popsáné), jejich přičiny a možnosti, jak jim zabránit. Stárnutí plechů schopnost smaltování, možnosti pokovování galvanickými povlaky, roztavenými kovy — zinkem, olovem, címem — difusními povlaky, platováním a střírkáním kovových vrstev jsou další odstavce. Výkladem o svařitelnosti rezavění plechů a o případách pro dosažení vysoké hlubokotažnosti (zvýšením obsahu C na 0,15 % atd.) se kniha končí. Ocele pro hluboký tah a zvláště obsahují Mn, Cr, Ni, ale i Mo, Ti a j. ve větším množství. Závěrečná kapitola se zabývá vyhledávkami pro hlubokotažné plechy, zvláště vzhledem k jejich jakosti.

Dr. Eisenkolb, který je dnes profesorem a ředitelem institutu pro nauku o materiálu na vysoké škole technické v Drážďanech, doplnil svou knihu poměrně skromnou literaturou o válcování ocelového plechu a jeho použití pro hluboký tah. Nejen hutníci, ale zvláště odběratelé plechu budou mít z knihy velký užitek.

kjt.

**Mieczysław Markuszewicz a Jerzy Haas: Wady hutniczych wyrobów stalowych. (Wady hutnickich ocelowych výrobků.)**

Vydaly Państwowe wydawnictwa techniczne. Katowice 1952. Str. 224, 316 obrázků, cena Zl 80.— váz.

Je to atlas chyb a vad, jež se vyskytují na výrobcích, a má být pomůckou pro pracovníky v hutnické výrobě i pro zákazníky polovýrobků a hotových výrobků. Zvláště má sloužit technické kontrole. Názvy chyb se řídí navrženými termíny komise pro kontrolu výrobků PKN v normě PN/H - 01020. Kromě toho jsou uvedeny názvy ruské, německé, anglické a francouzské. Vady se dělí systematicky na několik skupin a u každé se uvádí, jak vada vzniká, jak vypadá a jak je možno ji zabránit. Každou vadu doprovází obrázek. Jde o vady surových odlitků, vady materiálu, tvářeného plasticky, vady materiálu, zpracovaného tepelně, vady materiálu, mechanicky obráběného, vady mořeného a čistištěného materiálu, vady zušlechtěného materiálu pozinkováním, pocínováním. Dále je popisován materiál svařovaný a spájený a chyby materiálu zahříváného. Kromě toho se popisují chyby, způsobené neodpovídajícími vlastnostmi technologickými, fyzikálními a chemickými a chemickými složením. Na konci knihy je obsáhlá literatura z celého světa. Citovány jsou i knihy u nás těžko dosažitelné.

Nedostatkem každého takového atlasu je, že samozřejmě neobsahuje všechny chyby. Tak na př. samotný atlas chyb při válcování a zušlechtování plechu pozinkováním a pocínováním a lakováním, nemluvě o výrobcích z plechu a jejich chybách, by mohl být jedním nebo několika díly naučného slovníku. Ale je ovšem třeba přiznat, že v dobách naší praxe, na př. v závodech na tváření barevných kovů a slitin, by byly podobné atlasy vykonaly

jistě své dílo a pomohly by vyřešit a odstranit mnoho chyb. Proto je i kniha, na krídovém papíře v nejkrásnějším vybavení vydaná, jasně psaná, velmi užitečná a instruktivní, a pomáhá při tom orientovat se v zahraniční literatuře a doplnit si tam na popisech i vyobrazeních to, co je v knize jen stručně zaznamenáno. Kromě toho je kniha ukázkou pěkné spolupráce polských hutí, příp. jejich výzkumných ústavů s Hlavním institutem metalurgie. Jinak by nebylo mohlo vyjít tak pěkné dílo. kjt.

**Inż. Cezary Murski: Uzbrojenie walców i oprowadnice. (Výzbroj válců a převaděče.)**

Vydaly Państwowe wydawnictwa techniczne. Katowice 1950. Stran 96, 122 obrázků. Cena Zl 27.—.

Literatura v celém světě — s výjimkou Celikova, Kulbačného, Zaroščinského — se nezabývá příliš speciální otázkou výzbroje válců a knižka Murského je patrně jediná, která se věnuje výhradně této otázce. Zvětšení rychlosti válcování vyžaduje neustálého zlepšování a zpřesňování výzbroje válců. Proto se také polské válcovny, jejich konstruktéři i valcři museli seznámit s nejnovějšími výnalezy v této oblasti. Kniha je určena zvláště tém konstruktérům válcoven, kteří mají za úkol projektovat nové válcovny, má je připravit hotovými výkresy s hlavními rozměry na řešení konkrétních problémů. Kniha je bohatě ilustrována jasnými výkresy. Opírá se nejen o literaturu zahraniční, ale zejména o vlastní práce autorovy.

Nedostatkem knížky je, že se nezabývá konstrukcí válců na př. pro válcování kolejnic a věnuje se takřka výhradně profilům malým a středním. A přece i při válcování jiných výrobků vzniká odpad, způsobený nedostatečnou konstrukcí a nedostatečným vyzbrojením válcovacího zařízení, válců. Ani valcři plechu tam bohužel nenajdou mnoho použení.

Jinak je to knižka, která nemá téměř obdobu svým speciálním zaměřením. Zvláště naše literatura, jak známo, je chudá na knihy z oboru strojního zařízení válcoven, jsou-li vůbec jaké. kjt.

**Prof. Inż. Władysław Kuczewski: Metalurgia żelaza. Díl II. (Procesy vysokopeckni.)**

Vydaly Państwowe wydawnictwa techniczne. Katowice 1952. Cena Zl 38.00. Díl III. Procesy výroby ocele. Výšlo tamtéž. Cena Zl 33.00. Stran 240 a 216.

Po prvním dílu Metalurgie železa vycházejí nyní další dva díly, jež představují pozoruhodnou práci v oboru teorie hutnických procesů. Autor, který již od roku 1911 uveřejnil řadu původních prací o vysokopeckém procesu, mohl založit obě knihy na svých zkušenostech a doplnit je zvláště sovětskými výzkumy, z nichž na prvním místě jmenuje otce sovětské metalurgie, akademika M. S. Pavlova, spolu s jeho školou mladších spolupracovníků.

Kapitola I. se zabývá pohybem materiálu a plynů ve vysoké peci a referuje o pracích Rědkových, uveřejněných ve Stali 1948, č. 2, 121. Sleduje změnu rozkladu vsázký, procházející pecemi různého průřezu a velikosti, rozklad plynů, a přecháží pak k teorii vysokopeckého procesu, jemuž je věnována kap. II. Shrnutý jsou v ní starší vysokopecké diagramy, rovnováhy mezi kysličníky a plyny, podrobně je probrána teorie Pavlovova a vliv reakce  $2CO = CO_2 + C$  na průběh redukce železa, redukce kysličníků vodíkem, redukce uhličitanů atd., zuhlíčení, popis reakcí paliva s různými druhy rud, zvláště sovětských. Nakonec jsou popsány vysokopecké strusky.

V kap. III. pojednává o teplotě, tlaku a chemickém složení vysokopeckých plynů, o chodu vysoké pece, zjišťovaném podle křivky teploty podél její výšky. Kap. IV. podává hmotnou i tepelnou bilanci pece, kap. V. jedná o složení vysokopeckého plynu, kap. VI. o podmírkách výroby různých druhů surového železa, kap. VII. o rozdílech vysokých pecí, kap. VIII. o vlivu podmínek chodu vysoké pece na její výrobnost a na zužitkování koksu, a kap. IX. o chování koksu ve vysoké peci.

Jak vidět z obsahu, jde spíše o knihu, zabývající se teorií a chodem vysoké pece, než o knihu strojnickou. Platí to také o III. dílu knihy, o procesech ocelářských. Také zde je v úvodní kapitole důkladně probrána teorie výroby oceli a její fyzikálně-chemické základy, teorie thomasování a teorie procesu Martinova. Jsou popsány

Roč. VIII., čís. 3.

## Literární hlídka.

Hutnické listy.

jednotlivé způsoby martinování a nové směry v tomto výrobním způsobu, Martinovy pece a jejich provoz. Kniha končí kapitolou o boji o dobré ocelové odlitky. Také v tomto díle je velká pozornost věnována sovětským výzkumům i praktickým zkušenostem.

Uspořádání obou těchto dílů je velmi přehledné. Knihy jsou skvělým důkazem, jak je možno spojit fyzikálně-chemickou teorii hutnických procesů s praktickými znalostmi provozu.

kjt.

**Mrg. inž. Stanisław Wołoszyn:** Wykaz materiałów stosowanych do wyrobu urządzeń odpornych na korozję.

Państwowe wydawnictwa techniczne. Katowice 1952. Stran 144, Zl. 14,00.

Kniha je seznam materiálu používaného k výrobě zařízení odolávajícího korosi, sestavený podle abecedy. Jde hlavně o průmysl chemický. U každého druhu materiálu je uvedena hranice teploty a složení v procentech, v jakých je možno materiálu použít. Jsou rovněž vyjmenovány kovy i nekovy, jež se pro dané prostředí nehodí. V knize jsou však sestaveny i barevné kovy a jejich slitiny, ocele, litiny, plastické hmoty a jiný nekovový materiál a stručně je zaznamenána i technologie kovu, potřebná pro úplnější obraz charakteristiky materiálu. V knize je jedině ten materiál, který se osvědčil v průmyslové praxi. Někde je výroba zbytěně ze široka rozváděna.

Kromě toho si autor všímá i různých jiných vlastností materiálu než korose (na př. tvrdost, metalografické struktury atd.) a vysvětluje pojmy, jichž se používá v hutnictví. Popisuje také značkování ocelí a u jednotlivých značek uvádí i polské označení podle norem. Některé procesy tepelného nebo chemicko-tepelného zpracování ocelí jsou výstižně zaznamenány. Kdo se zabýval pokovováním ať už jakýmkoliv způsobem prováděným (ponořováním do roztavených kovů, galvanicky atd.), očekává od knížky podrobnější informace, kdy lze toho kterého materiálu použít, ty však tu nenalézá, protože knížka je svým zaměřením pouze informační směrnicí pro použití toho kterého materiálu v praxi. Proti tomu zase na př. kapitola o použití kyseliny sírové a materiálu pro zařízení, jež přichází do styku s kyselinou sírovou od nejvyšších do nejnižších koncentrací, je podrobně rozvedena.

Autor vykonal svou knížkou zaslouženou práci a provedlo se mu dát konstruktérům, mistrům a technikům přehled o materiálu, který má odolávat korosi, a o prostředí, v němž se takového materiálu používá. kjt.

**B. V. Cetlin:**

Technika bezopasnosti v mašinostrojení. (Bezpečnostní technika ve strojírenství.)

Vydal Oborongiz, Moskva, 1952; 607 str., obr. 274, tab. 83.

**A. F. Vlasov:**

Technika bezopasnosti při řešení metalorežuších stan-kach. (Bezpečnostní technika při práci na obráběcích strojích.)

Vydalo Státní vědecko-technické vydavatelství strojí-reneské literatury, Moskva, 1951, str. 192, obr. 121.

Málokterý stát věnuje tolik péče a prostředků na ochranu pracujících a zajištění bezpečnosti práce jako Sovětský svaz, což se obráží i v technické literatuře. Z bohaté sovětské literatury uvádíme zde dvě knížky, věnované otázkám bezpečnostní techniky v průmyslu.

Účelem knihy B. V. Cetlina je dát technickým kádrům základní znalosti bezpečnostní techniky a průmyslové hygieny ve strojírenství a v průmyslu zpracujícím kovy.

**Oprava.**

Ve 12. čísle Hutnických listů, roč. VII., bylo na str. 650 v článku

J. Adam: „Elektrojiskrové zpevňování ostří nástrojů v podnicích a závodech ministerstva hutního průmyslu a rudných dolů“  
v levém sloupci, 3. odstavec shora omylem uvedeno:

V první části knihy se vykládají obecné otázky bezpečnostní techniky a hygieny, v druhé části speciální otázky bezpečnosti jednotlivých technologických pochodů.

Kniha začíná výkladem organizační ochrany práce v SSSR a sovětských zákonů o ochraně práce a probírá požadavky bezpečnostní techniky kladené na rozmístění závodních budov na pozemku závodu, na budovy a jejich osvětlení, ventilaci a topení, na ochranu před hukem a vibrací, na pojišťovací výrobní zařízení, zařízení elektrická, nakládací a vykládací práce a zařízení, transport, provoz parních kotlů, tlakových nádrží, potrubí, kompresorů a odstředivek, pecí, zplynovacích generátorů a sušek.

Ve speciální části se probírá bezpečnostní technika v horkých provozech, a to ve slévárnách, v kovárnách, v dílnách pro tepelné zpracování, při svařování a obrábění kovů, při zpracování sítin hořáku, při zpracování dřeva, při práci, za které se vylučuje tvrdý prach, při pracích spojených s vyloučením nebo použitím jedovatých nebo žírových látek, při pracích s hořlavými látkami a při pracích s roentgenováním, radiografií a elektronovou mikroskopí.

V příloze je uveden podrobně význam hořlavých a jedovatých tekutin a plynů a jejich fyzikálně chemické vlastnosti.

Kniha A. F. Vlasova je věnována výhradně bezpečnostní technice při obrábění kovů na strojích. V knize jsou popsána základní bezpečnostní opatření, která se musí vzít v úvahu při projektování a provozu soustruhů, brousicích strojů, frézovacích strojů, vrtaček, obráběcích strojů pro rychlostní řezání závitů rotujícími noži a strojů pro opracování kovů elektrojiskrovým způsobem. Rovněž se uvádějí způsoby a prostředky pro odstranění kovových hoblik od strojů a z dílny.

Kniha je sestavena po dle materiálu Moskevského a Leningradského vědecko-badatelského ústavu ochrany práce VCSPS, řady kovoobráběcích závodů a jiných organizací a je určena pro bezpečnostní techniky, pro vedoucí provozů a projektanty mechanických dílen.

Také v této knize autor nejdříve vykládá zásadní, pro všechny stroje společná bezpečnostní opatření a pak probírá v jednotlivých kapitolách bezpečnostní opatření pro speciální skupiny strojů.

Z.

**Celostátní konference se čtenáři časopisu Sovětská věda - Chemie.**

25. dubna 1953 proběhne v Praze celostátní konference se čtenáři časopisu Sovětská věda — Chemie.

Konferenci svolává oddělení chemie Československo-sovětského institutu spolu s ministerstvem chemického průmyslu. Úkolem konference bude zhodnotit činnost časopisu s hlediska toho, jak pomáhá při využívání sovětských zkušeností k rozvoji chemické vědy a chemického průmyslu, a současně mají z konference vyplynout podněty, jak vůbec zlepšit u nás využívání sovětských zkušeností z oboru chemie ve všech průmyslových a vědních odvětvích.

Pořadatelstvo konference vyzývá pracovníky z oboru chemie ze všech ústavů, závodů, laboratoří, škol, učilišť, a institucí, aby již nyní zahájili přípravy na konferenci, aby za podpory organizací strany, odborů a odboček SCSP organisovali přípravné diskuse a zajistili vysílání delegátů.

Další zprávy o konferenci budou uvedeny v rozhlasu a v denním tisku.

„Dnes všichni pracující našeho hutního sektoru vědí, jakých obrovských škod bylo napácháno jen ve Spojených ocelárnách na Kladné a v Železárňach V. M. Molotova v Třinci zbouráním vysokých pecí...“

I když každý z hutníků ví, že v Třinci k žádnému zbourání vysokých pecí nedošlo, přesto k informaci širší veřejnosti uvádíme tu zprávu na pravou míru. Redakce.



# Výchova

## Výchova inženýrů-valcích v Sovětském svazu.

Ing. J. Teindl.

Rozdíl dnešní a dřívější výchovy inženýrů-valcích, vzpomínáme-li na pří na přednášky prof. Ing. V. Macky na VŠB v letech dvacátých a třicátých, je tento: Přednášky z válcoven byly zařazeny do hutního strojníctví a měly proto stopy tohoto strojnického zaměření: šlo o konstrukce stolic a celého válcovacího zařízení, o výpočet konstrukcí bez ohledu na hutnický pochod, který při válcování probíhal. Scházely ovšem také předběžné základy z fysiky kovů, která tehdy byla v počátcích. Nerozlišovaly se válcovny pro ocel a pro barevné kovy a slitiny a posluchači dostávali povšechný přehled jen v rámci jednoho strojnického předmětu. Nechceme tím nijak snizovat význam těchto přednášek. Zvláště osoba přednášejícího, kolem níž bylo vždy mnoho sporů, po letech hodnocených jako studentský odpor k naprosté solidnosti prof. Macky, byla tehdy zárukou odbornosti strojnické (známý výrok Mackův: „Kdybych byl na Titaniku a ten ztroskotal a já se dostal na osamělý ostrov, každý by musel poznat, že jsem strojní inženýr...“).

Pohled na nynější VŠB s jejimi pokusy reformovat studium a specialisovat je a zvláště pohled na práci *kateder* na vysokých školách hutnického typu ve SSSR ukazuje obrovský rozdíl názoru na výchovu hutních inženýrů-valcích dříve a nyní. Je jasné, že převratné změny v hospodaření kapitalistickém a socialistickém musí se odražet i v systému výchovy inženýrů. Všeobecná výchova inženýrů ve směrnících dob dřívějších nemohla uspokojit ve SSSR požadavky průmyslu a splnit úkoly, jež na ně klade zvláště rozvoj hutního průmyslu. Specializace tohoto průmyslu si vynucuje i specializaci na škole. Ale nejen to: socialistické metody práce v závodech si vynucují i změnu práce na vysoké škole, zvláště změnu práce nejdůležitějšího činitele na škole, katedry.

Počátky reforem, které nyní prožíváme, mají svůj vzor v sovětských školách, jak nám je vyličil prof. Dr. F. N. Bidulja. Na základě jeho zpráv a rad je dělána v československých poměrech reforma studia na inženýra-valcífce. O téžem thematu psal nedávno Ing. Jerzy Bazan, když referoval<sup>1)</sup> o speciální práci katedry válcování na vysoké škole technické ve SSSR, a v dalším podám přehled o tomto referátě.

Katedra se skládá z vedoucího katedry, který je nejdůležitější silou v této oblasti školení; pak je to vědecký sekretář, který je současně zástupcem vedoucího, obyčejně jeden z nejlepších docentů; dále jsou to přednášející docenti, ve vědeckém stupni nejméně kandidáti nauk, a konečně asistenti-inženýři a aspiranti, pracující na disertaci a současně pomáhající katedře jako asistenti.

Vedoucí katedry přednáší, odpovídá za vykonání rozkazů vědecké rady i ředitelství a vede schůzky katedry, jež se konají nejméně jednou za dva týdny. Schůze katedry je nová forma kolektivní práce. Je to mocný nástroj k využití všech vědeckých sil katedry pro práci vědeckou, ale současně i pro přípravu studenta pro jeho příští práci v závodě. S pomocí kritiky a sebekritiky<sup>2)</sup> na schůzích katedry hodnotí se nejen práce každého přednášejícího, ale schvaluje se zde také práce kandidátů i práce diplomové a po jejich vykonání se zde provádí i jejich počáteční obhajoba.

Obrovský rozmach sovětského průmyslu a ovšem také sovětské technické literatury nutí katedru, aby vychovávala své členy a připravovala tak vyspělé kádry pedagogů pro výchovu příštích inženýrů-valcích. Proto dává vedoucí katedry referovat svými spolupracovníky o všech vědeckých novinkách a protokolovat výsledky rozhovorů. Členové katedry jsou zavázáni, aby se zúčastnili rozhovoru a tak rozmnožili materiál pro přednášky. Přednášející se snaží v přednáškách vykládat studentům většinou jen

věci, jež se v praxi již osvědčily, a nezatěžují je teoriemi, jež by studenti mohli nekriticky přijímat. Všechny monografie a příručky musí být opatřeny komentářem a poznámkami, aby si studenti mohli učinit kladný i záporný obraz o každé věci.

Kromě materiálu čistě theoretického je materiálem výchovy inženýrů-valcích vše, co o novinkách v závodech publikují časopisy tuzemské i zahraniční. Organizace vědecké čítárny umožňuje přednášejícím i aspirantům rychlý a lehký přehled. Knihovník má kromě seznamu literatury také možnost dát vědeckým pracovníkům výtažek z každého díla.

O hodnotě přednášek podávají si navzájem zprávu jednotliví členové katedry. Během školního roku musí každý člen katedry podat zprávu o výsledku hospitací, aby se tak stále kontrolovala jakošt a hodnota výkladů přednášejících. Poněvadž mladí přednášející mají stálé potíže se svými výklady, stará se o ně vedoucí katedry a dává jim konečné rady a návody.

Katedra zve často na přednášky příbuzné katedry (na př. kování, metalografie); jejich členové se pak zúčastní schůzí katedry a přispívají svými poznámkami ke zlepšení přednášek katedry. Ale tato práce nevyčerpává katedru, jež by se snadno mohla odtrhnout od výchovy a její materiální podstaty. Průmysl a výroba je dialektický svazek vědecké teorie s praxí a proto se katedra snaží být ve stálém styku s výrobou. V čem záleží tento styk?

*Tvůrčí schopnosti dělníků* způsobil převrat v nejedné oblasti. Stachanovská metoda práce má své představiteli i ve válcování a pomoc, kterou stachanovci přinášejí průmyslu, nezamyká se do pancéřových pokladen, ale předává se také vědeckým institutům. Proto zvou katedry nejlepší valcífce, dělníky i inženýry, aby společně s nimi na schůzích katedry řešili důležité výrobní otázky. A závod y zase žádají členy katedry, aby jim sdělili nejnovější výsledky své vědecké práce.

Vědeckí pracovníci uzavírají smlouvy se závody, když byli předtím prodiskutovali úkoly, jež jim závod klade. Smlouva se týká i financování práce. Katedra provede úkol ve své laboratoři a získané výsledky sdělí závod.

Mnohdy zase závody mají potíže s řešením nějakého problému a žádají si rychlé pomocí. Pak vysílá katedra skupinu svých pracovníků, aby kolektivně přímo na závodě řešila úkol.

Odchovanci katedry, kteří přijdu na závody, scházejí se s výnějšími členy katedry na závodech a sdělují jim své vědomosti, jichž dosáhl na začátku své práce v závodech. Sebraný materiál z těchto schůzek je rovněž předmětem rozhovorů katedry.

Clenové katedry dávají své monografie a příručky tisknout. Jejich vydávání je přísně kontrolováno. Všichni členové katedry mají vědecké úkoly. Zvláštní pozornost se věnuje aspirantům, kteří mají buď úkoly čistě theoretické nebo praktické. Práce, uznané kolektivem katedry a vedoucím katedry, předávají se radě fakulty. Jsou základem pro získání titulu kandidáta. Katedra má také množství výkresů válcoven, kalibraci, schemat válcoven atd., jež slouží studentům jednak jako materiál pro cvičení, jednak jsou jim pomocí při pracích diplomových.

Samořejmým doplňkem theoretické práce katedry jsou její laboratoře. Zařízení laboratoří umožňuje studium vlastností kovů a slitin po tváření za horka a za studena a studium zjevů, jež probíhají při plastické deformaci. Ti, kteří pracují v těchto laboratořích, se stále snaží, aby jejich výzkumné práce byly blízké potřebám provozu.

Laboratorní válcovací stolice jsou převážně malé stolice — duo, o průměru válců 125 až 150 mm a délce válců

200 mm. Stolice mají všechny přístroje potřebné pro měření tlaku válců a měřicí přístroje, zapisující všechny údaje důležité pro provoz válcovny. Na těchto pokusných válcovacích stolicích se zkoumají také všechny vady, jež se vyskytují při válcování v provozu. V laboratořích bývají válcovací stolice o rychlosti nad 30 m/sec. a na 10 kW. Na těchto stolicích se zkoumají otázky, týkající se tření, počítá se a konstruuje kalibrace. K umožnění důkladného praktického studia kalibrace mají laboratoře veliké válcovací stolice. Někde se nahrazují stolice - duo stolicemi trio a někdy mají válcovací stolice průměr válců 400 mm a pohon o 400 kW. Také se užívají víceválcové stolice (na př. šestiválcové) pro válcování pásků, s navijáky. K válcovacím stolicím náleží ovšem také ohřívací peci se všemi měřicími přístroji a rádná mechanická dílna.

Takto organizovaná katedra vychovává studenty od třetího roku studia, po přípravných dvou letech a dvoutýdenní praxi. Je třeba připomenout, že student tohoto technologického směru poslouchá přednášky o roentgenografii, nauky o kovech (metalografii), t. j. předměty, jež mu dávají možnost novodobé aplikace teorie a experimentování. Mýili bychom se, kdybychom se domnívali, že student teprve pozdě se dostane do styku s provozním předmětem po předcházejících dvou přípravných letech. Při všech katedrách tvorí se kroužky vědecké. Za práci kroužků odpovídají vedoucí katedry a vedoucími skupin jsou členové katedry. Studenti mohou být členy kroužku již od prvního roku svého studia. V první fázi své práce pomáhají starším kolegům. Když nabudu zbhlosti, potřebné pro experimentování, mohou konat také samostatné práce. Thematika těchto prací je různá, počínaje drobnými fragmenty prací aspirantských přes úkoly závodů až po nevelké provozní práce na jejich pracovištích. Práce tohoto druhu provádějí studenti převážně během třetí praxe, trvající deset týdnů.

Vyvrcholením těchto prací jsou třídenní vědecké konference. Na nich studenti, členové kroužků, za účasti svých kolegů a učitelského sboru referují o svých pracích a brání je před námitkami. Vysoká úroveň a náležitá vnitřní příprava těchto konferencí činí z nich důležité činitele ve vědecké práci. Rozhodčí z profesorského sboru ocení každou z prací a zhodnocení prací je pak novou podílkou k zapojení studentů do práce. Ukázalo se, že navykne-li si inženýr experimentovat a analysovat výsledky, pak doveče také hluboce a kriticky se chopit práce v závodech.

Specializace začíná od třetího roku. Student poslouchá v prvním semestru asi 30 dvouhodinových výkladů o plastické deformaci kovů. Materiál pro výklady je kniha I. M. Pavlova „Téoriej prokatki“, shodná s programem schváleným ministerstvem vyššího vzdělání. Výklady tyto poslouchají všichni posluchači oboru technologického, t. j. metalografové, posluchači specialisace tepelného zpracování, kování a válcování.

Druhý semestr třetího roku vyplňují výklady o teorii válcování, asi 15 dvouhodinových přednášek. Zabývají se i kinematikou a dynamikou pochodu válcování a současně se experimentuje v laboratořích o těchto teoriích. Ve cvičeních, vedených asistenty-inženýry, se kromě theoretické podstaty válcování počítá kalibrace a provádí se podle toho, jak si studenti zvykají na válcovací stolice průmyslového typu. Materiál, který se zpracuje, je olovo, hliník a zelezlo. Válcuje se za horka i za studena; válcují ovšem jen nejjednodušší profily. Cvičení začínají 15minutovým až 20minutovým výkladem, aby se studentům připomněly theoretické základy a narýsovaly plán jejich práce. Během práce se kontroluje její postup a po cvičeních je kolokvium.

Theorie válcování kovů dá studentu nejširší základ pro jeho příští práci v závodě. Jako hlavní předměty je třeba uvést: technologie, kalibrování, stavba stolic, válcování za horka a za studena zároveň s válcováním trub. Každý z těchto předmětů přednáší zvláštní docent a přednášky doplňuje cvičeními.

Materiál přednášek se stále doplňuje a kontroluje novinkami z časopisů a ze schůzí katedry. Celkový přehled těchto výkladů je v knihách Zarošinského, Celikova a Vinogradova. Některé z těchto knih jsou již starší a proto docenti doplňují výklady novinkami, a pak je i při

zkouškách požadují na studentech. Poněvadž mezi předměty, jež jsme jmenovali, není přesná hranice, zabývá se katedra jejich obsahem tak, aby se paměť studentů nepřetěžovala zbytečnostmi.

Během přednášky se může student ptát a prosit o objasnění. Studenti mají také právo získat informace z porad („konsultací“), aby se výklady přednášejících během pravidelných přednášek zbytečně neprodlužovaly. Nemůže-li přednášející okamžitě dát studentu objasnění, dá je později, až se odpovědně na věc připraví. Tyto doplňky jsou materiálem pro přednášky a schůze katedry.

Cvičení bývají nejen laboratorní, ale i početní. Ve cvičeních se učí posluchači o válcovacích stolicích ne ze schematic, ale ze skutečných výkresů, založených na zkušenostech v závodech. Právě tak je tomu s kalibrací, kdy ovšem student čerpá také z literatury. Pokud jde o válcovací stroje, je theoretický i výkresový materiál velmi komplikovaný a přednášek nemá možnost je vyčerpat ve svých výkladech. Pak to dělájí ve cvičeních asistenti, informovaní vedoucím přednášejícím. Cvičení z technologie, kalibrování a válcování jsou zapsána v sešitech a pomáhají studentu při projektu kursovém, který je jednak z podmínek přechodu ze čtvrtého roku do pátého. Kursový projekt je práci, při níž student má vykázat, že ovládá materiál, probraný na cvičeních. Objem kursového projektu není veliký (40 stran na stroji a nejvíce 4 výkresy). Student dostane disposice, jak má projekt vypracovat a zvláště co má zpracovat důkladně. Během své práce získává student informace od člena katedry, který se mu věnuje a má pro něj také k disposici potřebný materiál. Po skončení projektu student brání svůj projekt před komisí členů katedry, kterou vede profesor nebo starší docent.

Studenti dělají zkoušky; katedra přijímá k nim přihlášky, které potvrzuje profesor. Studenti si vytahují losy s otázkami a mají půl hodiny času na přípravu svých odpovědí.

Na výchově studentů se podílejí také závody během praxe studentů, kdy se jim věnují inženýři a mistři. Delegát katedry dohlíží na praktikující studenty, je jim poradcem a sbírá zkušenosti. Vedoucími praktikantů jsou vedoucí příslušných oddělení závodů. Mají dát studentům potřebný materiál a ústní objasnění technologických pochodů v praxi, aby mladí odborníci vyučili do technologie. Kontrolují také práci instruktorů, přidělených praktikantů. Instruktoři jsou mistři a vrchní mistři, kteří mají pomocí mladým odborníkům vniknout do specifických problémů zacházení s valcí, stolicemi atd. Poněvadž mistři jsou převážně inženýři a technici, mají studenti přiležitost seznámit se zcela s provozními problémy.

Jsou tři druhy praxe; první, o níž jsme se již znímili, druhá, kdy se student přiděluje do skupiny, aby pracoval s dělníky a seznámil se se všemi podrobnostmi. Třetí praxe je předdiplomová, kdy student musí sebrat materiál pro práci diplomovou a seznámit se co nejvíce s výrobními jednotkami. Student poslouchá referáty význačných dělníků a inženýrů a seznámuje se zvláště s metodami stachanovskými, aby je mohl uplatnit v příští diplomové práci jako jeden z prostředků ke zvýšení výroby. Nezapomíná se také na bezpečnost práce. Výklad na tomto poli dostane student většinou v závodě; dává mu ho instruktor v době praxe, objasňuje mu zvláštnosti každého pracovního místa. Delegát katedry kontroluje stále studenty, ptá se na jejich získáře vědomosti a upozorňuje je na podrobnosti; kontroluje také zápisky studentů a hodnotí je s pomocí instruktora a vedoucích oddělení. Škola, chtějíc vzbudit co největší zájem posluchačů, vyhlašuje na nejlépe absolvovanou praxi konkursy.

Diplomová práce, která zakončuje pětileté studium, dá diplomantovi možnost vykázat se kvalifikací pro samostatnou práci v závodě. Jsou dva typy themat diplomových; jeden — projektování nových objektů, druhý — dobudování stávajících. Plán diplomové práce dostane student před odjezdem na předdiplomovou praxi, která, jak bylo již zmíněno, má mu umožnit sbírání materiálu. Závody samy dávají na výzvu školy návrhy na themata diplomových prací. Rady o ekonomických podmínkách projektů, o konstruovaných pecích, o elektrických zařízeních atd. dávají studentům příslušné katedry. Diplomová práce má mít asi 110 stran psaných na stroji a asi

15 výkresů formátu A 1. Katedra se stará, aby diplomová práce diplomanta neměla charakter akademický, ale aby se blížila reálnému projektu. Po dokončení práce brání student práci před vedoucím katedry a jejími členy. Positivně ohodnocená práce je dána radě školy ke konečnému ohodnocení. Někdy se práce dělají kolektivně tak, že se společně projektuje větší objekt a rozdělují se částečné práce mezi všechny členy. Zabývá-li se diplomová práce projektem přestavby zařízení již existujícího v závodě, jsou oponenty diplomanti i pracovníci ze závodů. Jsou to nejlepší dělníci, inženýři, kteří se mnohdy sami po učí čtením práce i rozhovorem o ní.

Tak se tvoří na katedrách nového typu nový způsob práce, odlišný od způsobu starého.

#### Literatura.

1) Ing. Jerzy Bazan: *Hutník XIX* (1952), č. 10, str. 340 až 345.  
2) V. Stoletov: *Některé otázky práce na vysoké škole. „Vysoká škola“*, únor 1952, čís. 4 a 5, str. 93 až 107.

J. Ždanov: *O kritice a sebekritice ve vědecké práci. „Nová mysl“ VI (1952)*, čís. 2, str. 110 až 124.

#### Konference o práškové metalurgii.

Technická sekce Československé akademie věd v Praze sděluje, že pořádá za spolupráce Výzkumného ústavu práškové metalurgie ve Vestci a za přispění Vojenské technické akademie konferenci o práškové metalurgii v Brně ve dnech 12.—15. dubna 1953. Účelem konference je výměna vědeckých poznatků a praktických zkušeností mezi výzkumnými pracovníky, odborníky z výroby i z řad spotřebitelů. Konference má zároveň ukázat nové cesty a možnosti v oboru práškové metalurgie i v oborech příbuzných.

Konference bude pracovat v plenu a v těchto pěti sekčích: Výrobní a kontrolní metody, Slinuté karbidy, Diamant, korund a nejtvrdší látky, Aplikace práškové metalurgie v elektrotechnice, Různé aplikace práškové metalurgie, zejména ve strojírenství a chemické technologii.

V plenu bude předneseno 11 přednášek. V sekčích bude přenesena původní sdělení, referáty a předem připravené diskusní příspěvky. Celkem je na programu 9 přednášek, 19 původních sdělení, 3 referáty a 10 diskusních příspěvků.

Přednášky a referáty pronesou přední českoslovenští odborníci, jako: Ing. Dr. C. Agte, Ing. J. Bělák, Ing. J. Bičan, Ing. Dr. W. Espe, Ing. J. Flašar, Ing. J. Hölli, doc. Dr. Ing. L. Jeníček, Ing. Dr. J. Jiříšek, Ing. Dr. J. Kaloč, prof. RNDr. J. Kašpar, doc. Ing. Dr. F. Klikorka, doc. RNDr. A. Kochanovská, Ing. J. Koloč, Ing. L. Krátký, Ing. Dr. M. Krejčík, Ing. J. Lauschmann, K. Majkus, K. Malý, Ing. R. Marx, Ing. Z. Ministr, Ing. Dr. J. Mýl, Ing. I. Němec, Ing. Z. Noga, Ing. K. Novák, Ing. K. Oceťek, Ing. M. Petrdík, Ing. Z. Příl, Ing. V. Procházka, P. Růžička, Ing. A. Šmajler, Ing. V. Šmerák, RNDr. H. Šmolka, Ing. K. Trizuljak, Ing. J. Vacek, Ing. Dr. A. Vamberský, J. Varcl, J. Žížala a další.

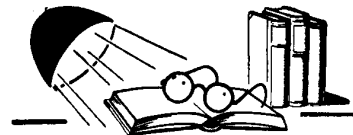
V rámci konference uspořádá Čs. společnost pro šíření politických a vědeckých znalostí, krajská odbočka v Brně, dne 14. dubna 1953 ve 20 hodin přednáškový večer na téma „Elektronová mikroskopie ve vědě a v průmyslu“.

Zájemci, kterým snad nebylo pozvání zasláno, obraťte se na adresu: redakce Hutnických listů, Brno-Žabovřesky, Mučednická 8, která podá bližší informace.

#### Přihlašovatelům vynálezu.

Úřad pro vynálezy a zlepšovací náměty ve snaze urychlit a zpřesnit patentové řízení upozorňuje žadatele, aby při podávání přihlášek vynálezu se řídili platnými předpisy. Rovněž žádá, aby v osobním i korespondenčním styku s UVZN vždy uváděli jednací číslo a číslo přihlášky. Příslušné tiskopisy, jakož i potřebné informace obdrží zájemci v podatelně uvedeného úřadu v Praze II, Václavské náměstí 19.

-TUV-



## Knihy a časopisy došlé redakci

Seznam článků, zajímajících naše čtenáře. Fotokopie těchto článků mohou obdržet odběratelé v redakci Hutnických listů.

#### Průmyslové vydavatelství, Praha II, Spálená 51.

J. S. Aljakrinskij - A. I. Parmenov: Operativní plánování a dispečerské řízení v kalířích. Knižnice Státního úřadu plánovacího, sv. 14, 1952. Cena brož. 24 Kčs.

A. S. Azarov: Velmi výkonné obrábění hřidelů ve strojírenství. Knižnice kovoprůmyslu, sv. 145, 1952. Cena brož. 69 Kčs.

V. A. Batmanov: Elektrické svařování litiny při opravách strojního zařízení. Knižnice kovoprůmyslu, sv. 105, 1952. Cena 48 Kčs.

J. P. Gerčuk: Operativní plánování v kovárnách. Knižnice kovoprůmyslu, sv. 141, 1952. Cena 24 Kčs.

A. M. Ginzberg: Galvanoplastická výroba přesných dutých součástí. Knižnice kovoprůmyslu, sv. 75, 1952. Cena 41 Kčs.

K. S. Gončarenko: Pórovité chromování strojních součástí. Knižnice kovoprůmyslu, sv. 91, 1952. Cena 24 Kčs.

J. Gorodeckij - P. M. Poljanskij: Kontrola rozměrů a jakosti povrchu pneumatickými způsoby. Knižnice kovoprůmyslu, sv. 113, 1952. Cena brož. 44 Kčs.

I. Z. Jasnogorodskij: Ohřev kovů a slitin v elektrolytu. Knižnice kovoprůmyslu, sv. 102, 1952. Cena brož. 34 Kčs.

K. J. Jemelin: Lehké jeřáby a účelné pomůcky pro montáž ocelových konstrukcí. Knižnice kovoprůmyslu, 1953. Cena brož. 22 Kčs.

J. G. Kopaněvič: Konstrukce součástí z plastických látek a lisovacích forem. Knižnice kovoprůmyslu, sv. 110, 1952. Cena brož. 49 Kčs.

**Výzkumný ústav ochrany materiálu:** Korosní sborník. Knižnice chemického průmyslu, sv. 14, 1952. Cena 412 Kčs.

B. I. Kostěckij: Odolnost strojních součástí proti oplotení. Knižnice kovoprůmyslu, sv. 95, 1952. Cena brož. 76 Kčs.

S. T. Nazarov: Kontrola jakosti svarů. Knižnice kovoprůmyslu, sv. 135, 1952. Cena brož. 70 Kčs.

L. M. Olševec: Hlavní otázky plánování kovoobráběcího závodu. Knižnice kovoprůmyslu. Cena brož. 60 Kčs.

S. M. Poljak - B. V. Sorokin: Dnešní způsoby lisování. Knižnice kovoprůmyslu, sv. 125. Cena brož. 66 Kčs.

A. V. Potěchin: Sdružené volné a záplastkové kování na klinkových lisech. Knižnice kovoprůmyslu, sv. 132, 1952. Cena 37 Kčs.

B. J. Rjaběčkij: Plánování výroby v hutích. Knižnice hutního průmyslu, sv. 25, 1952. Cena váz. 184 Kčs.

V. P. Romanovskij: Několikaoperační postupové lisování. Knižnice kovoprůmyslu, sv. 116, 1952. Cena brož. 30 Kčs.

D. P. Strugovščikov: Výroba nízkouhlíkové oceli. Knižnice hutního průmyslu, sv. 22, 1952. Cena brož. 67 Kčs.

Úplná mechanisace svařování. Knižnice kovoprůmyslu, sv. 107, 1952. Cena brož. 35 Kčs.

Úplná mechanisace výroby v kovárnách a lisovnách. Knižnice kovoprůmyslu, sv. 120, 1952. Cena brož. 61 Kčs.

Ing. A. Wójcik: Technologické a jakostní problémy tyčové mosazi. Knižnice hutního průmyslu, sv. 19, 1952. Cena brož. 117 Kčs.

**Vydavatelstvo ROH-Práce, Praha II, Václavské nám. 23.**

B. A. Anniskij: Nakládání a vykládání v hutních provozech. Sbírka Technické příručky Práce, sv. 123, 1952. Cena brož. 11 Kčs.

**V. Amosov:** Čtvrt století u martinské peci. Sbírka Průkopníci socialistické práce, sv. 55, 1952. Cena brož. 21 Kčs.

**K. Augustin:** V boji za splnění plánu. Knižnice Odbořář, sv. 51, 1952. Cena 5 Kčs.

**B. Dobrovolný:** Stachanovské nástroje. Sbírka Knihovna Svazu zaměstnanců v kovoprůmyslu, sv. 19, 1952. Cena brož. 47 Kčs.

**B. Dobrovolný - F. Blabolil:** Liseáská abeceda. Sbírka Technické příručky práce, sv. 139, 1952. Cena brož. 87 Kčs.

**B. G. Fastovskij:** Čištění oceli plamenem. Sbírka Technické příručky Práce, sv. 125, 1952. Cena brož. 45 Kčs.

**E. Hamerník:** Zavádění nových pracovních metod k zpřesňování technicko-hospodářských norem. Knižnice Pracujeme pro mír, sv. 19, 1952. Cena brož. 3 Kčs.

**F. Hamr:** Tvarové broušení. Sbírka Technické příručky Práce, sv. 150, 1952. Cena brož. 123 Kčs.

**M. S. Lebeděv:** Broušení kovů. Sbírka Technické příručky Práce, sv. 124, 1952. Cena brož. 63 Kčs.

**A. G. Nazarov:** Svařování litiny za studena. Sbírka Za vyšší produktivitu práce, sv. 7, 1952. Cena brož. 9 Kčs.

**M. I. Panfilov:** Rychlotavby. Sbírka Průkopníci socialistické práce, sv. 65, 1952. Cena brož. 89 Kčs.

**P. Petrov:** Slevači stachanovci. Sbírka Průkopníci socialistické práce, sv. 63, 1952. Cena brož. 36 Kčs.

**N. I. Pitěrskov - K. G. Rjazancev:** Pokyny pro veřejného inspektora práce v Sovětském svazu. Knižnice ochrany a bezpečnosti práce, sv. 6, 1952. Cena brož. 14 Kčs.

**P. V. Ševčenko:** Zkušenosti svářeče-stachanovce. Sbírka Knihovna Svazu zaměstnanců v kovoprůmyslu, sv. 23, 1952. Cena brož. 14 Kčs.

**A. Václavovič - F. Bílek - F. Ševčík:** Soustružnické automaty. Sbírka Technické příručky Práce, sv. 133, 1952. Cena brož. 178 Kčs.

**M. Záveský - M. Tišnovský:** Lisovací nástroje v praxi. Sbírka Technické příručky Práce, sv. 113, 1952. Cena brož. 170 Kčs.

**Státní nakladatelství technické literatury, Praha II, Spálená 51.**

**M. V. Batanov - N. V. Petrov:** Ocelové pružiny. 1953. Knižnice kovoprůmyslu. Cena brož. 82 Kčs.

**S. I. Eliasberg:** Aglomerace. Provozní výsledky nového aglomeráčního závodu. 1953. Knižnice hutního průmyslu. Cena brož. 16 Kčs.

**S. N. Filipov:** Seřizování válcovacích stolic. 1953. Knižnice hutního průmyslu. Cena brož. 57 Kčs.

**A. M. Jampolskij:** Oxydování a fosfátování kovů. 1953. Knižnice kovoprůmyslu. Cena brož. 22 Kčs.

**I. E. Kontorovič:** Tepeleiné zpracování oceli a litiny. Kniha II. Legované oceli. 1953.. Knižnice hutního průmyslu. Cena váz. 103 Kčs.

**Ing. Zdenka Laušmanová:** Rozvoj techniky v Německé demokratické republice. 1953. Sbírka Technika lidových demokracií, sv. 3. Cena brož. 85 Kčs. .

**Prof. A. P. Sokolovskij:** Technologie strojírenství. 1953. Knižnice kovoprůmyslu. Cena váz. 172 Kčs.

**Jaroslav Štěpina:** Národní podniky v občanskoprávním styku. 1953. Cena brož. 46 Kčs. Normativní příručka. Rozdělení a označování nářadí. Třída 24 - část I. 1953. Knižnice kovoprůmyslu. Cena brož. 7 Kčs.

**Technickovědecké vydavatelství, Praha II, Krakovská 8.**

**E. A. Čudakov:** Pokrovková technika v sovětském strojírenství. Sbírka Malá knižnice sovětské techniky, sv. 26, 1952. Cena brož. 10 Kčs.

**A. I. Kaširin:** Strojírenská technologie, 1952. Cena váz. 380 Kčs.

Ocel a konstruktér. Soubor prací. 1952. Sbírka Soubor přednášek a statí, sv. 3. Cena váz. 180 Kčs.

**Obsah:** J. Růžička: Předmluva. Z. Eminger: Metalurgický pochod, tuhnutí a vady oceli se zřetelem na její jakost.

Z. Holub: Tváření za tepla a jeho vliv na jakost oceli. Vl. Košelev: Krystalografická mřížka jako základ moderního pojedí pochodu, probíhajících v materiálu. J. Beneš: Deformace za studena a její vliv na vlastnosti materiálu. J. Jedlička: Svařitelnost ocelí. R. Pokorný: Tečení materiálů za vyšších teplot, jeho teorie a zkušební metoda. A. Chiškov: Relaxace materiálů za vyšších teplot.

**Z. Eminger:** Vliv výrobních faktorů na mez tečení oceli za vyšších provozních teplot. V. Košelev: Zkrňnutí oceli. A. Chiškov: Význam proměnlivých namáhání v technické praxi. Vl. Marcelli: Měření namáhání ve strojních součástech. L. Prášek: Užití statistických metod při kontrole výroby. Z. Eminger: Nové slévárenské a hutnické pochody.

Strojnický sborník. Technicko-vědecké práce v oboru strojního inženýrství. Obsahuje tyto pro hutníky zajímavé práce: Z. Eminger: Mechanické hodnoty některých austenitických ocelí při nízkých a nejnižších provozních teplotách. P. Kohl: Příspěvek k pevnostnímu výpočtu staticky zatížených tenkostěnných desek a skořepin z ocelí s výraznou mezí kluzu. A. Chiškov: Přetížení strojních součástí za provozu a únavu materiálu. R. Brepta: Opatření lopatek metacího stroje.

**Akademija nauk SSSR. Izvestija sektora fiziko-chimičeskovo analiza.** Moskva—Leningrad - formát B5.

**Tom XVI, vyp. 2. I. D. Fajnerman:** Plastické deformace při tření. (7 str.) M. V. Vrakcik: Změny velikosti zrna některých ocelí za jejich rekrystalisace při zpracování za tepla. (36 str.) A. K. Matyšev: Kinetika a mechanismus růstu zrna austenitu. (8 str.) V. D. Sadovskij: Rozpad zbytkového austenitu při popouštění a jeho vliv na vrubovou houževnatost oceli. (7 str.) A. P. Gulajev: Složení a struktura tuhých roztoků ve speciálních legovaných ocelích. (9 str.) A. T. Grigorjev - D. L. Kudrjavcev: O slitinách železa s manganem. (13 str.) A. T. Grigorjev - D. L. Kudrjavcev: Výzkum slitin železa s manganem a chromem. I. Oblast austenitu. (21 str.) I. I. Kornilov - V. S. Michejev - O. K. Konenko-Gračeva a další: Rovnovážný diagram ternární soustavy Fe-Cr-Al. A. M. Bordzyka: Odolnost tuhých roztoků Cr, Ni a Mg v železe γ vůči teplu. (10 str.) A. S. Zajmovskij: Magnetické vlastnosti ferromagnetických tuhých roztoků. (22 str.) B. G. Livšic: Úkaz koloidního rozpadu tuhých roztoků ve vysokokoercitivních slitinách. (19 str.) S. Gercricken - Z. Golubenko: Vliv deformace na rychlosť difuze zinku v mosazi α. (9 str.) S. Gercricken - A. Geller - V. Trofimenco: Vliv třetího prvku na rychlosť difuze zinku v mosazi α. (6 str.) A. P. Smirjagin: Hranice tuhého roztoku α v soustavě Cu-Al-Ni. (19 str.) S. A. Podogin - N. Ch. Abrikosov - N. M. Elchones: O vlastnostech berylliových bronzů s nízkým obsahem berylia a s případami dalších složek. (15 str.) D. A. Petrov: Tuhé roztoky a stárnutí slitin. (22 str.) V. G. Kuzněcov: Roentgenografický výzkum ternárních tuhých roztoků na základě hliníku. (19 str.) A. A. Badajeva - P. Ja. Salda: O ternárních tuhých roztocích mědi a berylia v hliníku. (26 str.) V. I. Michejeva - V. P. Vasileva - O. N. Krjukova: Fyzikochemický rozbor hořčíkem chudých slitin Mg-Al-Cd. (24 str.) A. M. Korlokov - P. Ja. Salda: Rozpustnost zinku a ceru v hořčíku v tuhém stavu. (14 str.) Ja. E. Afanas'ev - N. N. Bachmetov: Vlastnosti lisovaných hořčíkem bohatých slitin Mg-Al-Zn. (14 str.)

**Akademija Nauk SSSR. Institut obšej i neorganičeskoj chimiči imeni N. S. Kurnakova.** Moskva - Leningrad.

**Izvestija sektora fiziko-chimičeskovo analiza.**

**Tom. XV. 1947. Tom. XVI. vyp. 2, 1948 Tom. XVI. vyp. 3, 1948. Tom. XVI. vyp. 4, 1948. Tom. XIX. 1949**

**Nakladatelstvo Slovenskej Akadémie vied a umení, Bratislava.**

**Svářačský sborník.** 1952. Cena váz. 450 Kčs.

**Průmyslové vydavatelství, Praha II, Panská 2.**

**L. I. Gotlív:** Povrchové kalení plamenem. 1951. Knižnice kovoprůmyslu, sv. 41. Cena kart. 64 Kčs.

**Státní nakladatelství technické literatury, Praha II, Spálená 51.**

**N. E. Černobajev:** Tavba v indukčních pecích. 1953. Knižnice kovoprůmyslu. Cena brož. 23 Kčs.

**Vysokopevní strusky.** 1953. Knižnice hutního průmyslu. Cena brož. 13 Kčs.

**Technickovědecké vydavatelství, Praha II, Krakovská 8.**

**L. Jeníček:** Z hospodární výrobě železa a oceli. Některé problémy a možnosti. 1952. Cena váz. 130 Kčs.

**Ing. Dr. Vl. Majer:** Polarografické rozborový. 1952. Sbírka:

Chemická technologie. Technické rozbory. Cena brož. 120 Kčs.

A. K. Trapezník: Kontrola materiálů a výrobků roentgenovými paprsky. 1953. Malá knižnice sovětské techniky. Cena brož. 18 Kčs.

**Hutník**, Praha II, Václavské nám. 23.

Roč. III, čís. 1, leden 1953. V. Vavřík: S novým „Hutníkem“ do posledního roku Gottwaldovy pětiletky. A. Ivanov: Nový způsob registrace a vykazování pracovních úrazů. J. Vejchar: Plastické látky a šetření kovy. K. Motlík: Jak šetřit legující kovy. J. Kalot: Úspora barevných kovů úpravou povrchu. J. Trapl: Plyn — zákeřný nepřítel oceli. — Zpracování oceli na žlábků. R. Suchopárek: Navařování zápunků a okrajových nástrojů. V. Kotřinek: Některé podmínky a činitelé výkonu válcoven — Volné kování s vahadlem a bez vahadla pod hydraulickými kovářskými lisy výkonu 1 000 až 15 000 t. N. Tóporkov: Práce podle grafiku v Martinově ocelárně závodu „Srp a kladivo“.

**Sovětská věda — Chemie**. Praha I, Národní třída 14.

Roč. II, čís. 6, 1952. V. K. Semenčenko: O základních otázkách kvantové chemie. V. V. Šepel: Přehled práci v oboru chemie, věd chemii příbuzných a chemické technologie, poctěných Stalinskými cenami za rok 1951. Pro hutníky mají význam tato abstrakta: 633, 635, 636, 639, 640, 688, 689, 690, 691, 692, 754, 757, 758, 760.

**Za socialistickou vědu a techniku**. Praha II, Krakovská 8.

Sv. 3, čís. 1, leden 1953. J. Fukátko - J. Semrád: O výchove techniků k hospodářskému myšlení. V. Kubr: Plán technického rozvoje na rok 1953. J. Dostál: Zavádění sovětských standardů do národního hospodářství ČSR. Mao Ce-tun: O subjektivismu a individualismu. — Vědecká pracoviště Československé akademie věd. V. Veselý: Technicko-ekonomické rozbory výzkumných úkolů. D. Granin: Tvorivost je povinností každého inženýra. — Moskevská vysoká škola technologická D. I. Mendělejeva.

**Doklady akademii nauk SSSR**. Moskva, Volchonka 14 - formát B5.

Tom LXXXVII, čís. 4, 1952. A. V. Jogansen: Spektrofotometrická měření. (4 str.) Ju. A. Bagarjackij: Podstata přirozeného stárnutí hliníkových slitin. (5 str.) V. M. Berežani: Zjev zvratu v uměle stárnutých slitinách druhu Al-Cu-Mg a v duraluminu. (4 str.) A. E. Bresler - V. I. Zabavín - A. M. Zubko: Roentgenografický výzkum koksu. (4 str.) Ja. Je. Geguzin - L. O. Markon - B. Ja. Pines: Samodifuse a viskozní tečení (spékání a tečení za tepla) u slisovaných kovových prášků. (4 str.) A. M. Jelistratov: Síření Roentgenových paprsků krystalem stárnoucí sлизiny. (4 str.) G. V. Karpenko: O mezi korosivzdornosti. (5 str.) M. M. Kurtepov - G. V. Akimov - N. N. Bardží: Korosní vlastnosti nerezavějících ocelí v oxydačních roztocích. Korose ocelí v roztocích kyseliny chromové. (2 str.)

Tom LXXXVII, čís. 5, 1952. V. S. Kogan - B. Ja. Pines: Rovnovážné diagramy soustavy In-Pb. (3 str.) E. M. Savickij - V. F. Terechova: Měření vnitřních pnutí vznikajících v polymorfních kovech za ohřevu. (3 str.) M. M. Kurtepov - G. V. Akimov: Korosní vlastnosti legujících prvků nerezavějících ocelí v oxydačních roztocích. Korose chromu. (2 str.) G. V. Karpenko: Vliv frekvence změn napětí na odolnost oceli proti únávě při práci v povrchově aktivních a korosně aktivních prostředích. (4 str.) Ju. P. Nikitin - O. A. Jesin - S. I. Popel: Elektrokapilární jevy při různém složení kovy a strusky. (3 str.) A. Rozen - Ja. Ševelev: Některé vztahy při difusi plynů v tuhému tělese. (4 str.)

Tom LXXXVII, čís. 6, 1952. G. G. Lemmlejn - M. O. Klja: Zvláštnosti zacelování trhlin v krystalu při snižování teploty (4 str.) V. S. Kogan - B. Ja. Pines: K mikrometodice fázové analýzy slitin. (4 str.) I. I. Kornilov - L. I. Prjachina: Vliv teploty na žáruvzdornost slitin Al-Mg. (4 str.) M. M. Kurtepov - G. V. Akimov: Korosní vlastnosti nerezavějících ocelí v oxydačních roztocích. Vliv okysličovadel na elektrodové potenciály a kinetiku elektrodních pochodů na nerezavějících ocelích. (3 str.)

**American Foundryman**. 616, South Michigan Avenue, Chicago 5, Illinois - formát A4.

Vol. 22, No 5, listopad 1952. K. M. Smith: Střásací obklopný formovací stroj pro středné a značně velké odlitky. (3 str.) Pískové vlněnyky v ocelových odlitcích. (3 str.) J. C. Soet: Dobře sestrojená ventilační soustava pomáhá slévárně ložisek při práci. (4 str.) D. C. Williams: Má pevnost za tepla za klesajících teplot vliv na tvorění trhlin za horlkou? (4 str.) W. A. Morley: Základní úvahy při navrhování mechanizace malé slévárny. (6 str.) P. J. Killaby - B. J. Taylor - W. C. Winegard: Odmetování během lití, pozorované radioaktivním antimonomem. (1 str.) R. W. Schroeder: Znalcovy poznámky ke vstupu do r. 1952. Výroční učňovská rozprava A. F. S. (3 str.) J. P. Holt: Zkušenosti zásaditou vyzdívkou? Zde je vodítko pro výběr žáruvzdorných hmot. (6 str.)

**Engineering**. 35/36, Bedford Street, Strand, London, W. C. 2 - formát B4.

Vol. 174, čís. 4532, 5. prosince 1952. Symposium o odlitcích z hliníkových slitin. (3 str.) Hliník ze Zlatého pobřeží. (2 str.)

Sv. 174, čís. 4537, 9. ledna 1953. Vývoj formování do skořápiliny. (2 str.) Tvoření a vynalézavost. (2 str.)

Vol. 175, čís. 4539, 23. ledna 1953. Hliníkový hangar. (3 str.) G. M. Boyd: Síření trhlin v deskách z měkké oceli. (3 str.) pokrač.) Vláda a slévárny litiny. (2 str.) Svařování v lodním strojníctví. (3 str.)

Vol. 175, čís. 4540, 30. ledna 1953. Ochrana oceli postříkem hliníku. (1 str.)

Vol. 175, čís. 4541, 6. února 1953. Mechanické vlastnosti legovaných ocelí pro přesné odlitky. (4 str.) Vysoké školy technického směru a průmyslu. (2 str.) Portálové konstrukce svařované z ocelových trubek. (1 str.)

Vol. 175, čís. 4542, 13. února 1953. 20 t elektrická oblouková pec v závodě East Hecla, Sheffield. (3 str.) A. P. M. Fleming: Pokrok ve výcviku inženýrů. (2 str.) Závod na výrobu černých svorníků s indukčním ohřevem. (3 str.) Mezikrystallické trhliny v námořních skotských kotlích. (2 str.)

Vol. 175, čís. 4543, 20. února 1953. Vlastnosti tečení za tepla oceli pro energetické centrály. (2 str. pokrač.) P. L. Teed: Titan - přehled. (2 str.)

**Engineers Digest**. 120, Wigmore Street, London, W. I. - formát A4.

Sv. XIV. čís. 1, leden 1953. F. Lieneweg: Měřicí postupy a metody pro vylovení měřicích chyb teploměrů. (3 str.) I. A. Smolyanitzky: Odstraňování zbytkových napětí v odlitcích místním indukčním ohřevem. (3 str.)

**Foundry Trade Journal**. 49. Wellington Street, London, W. C. 2 - formát B5.

Sv. 93, čís. 1891, 27. listopadu 1952. Ultrazvuk ve slévárně. (2 str.) Zákazníkovo hledisko. (7 str.) Hospodářnost ve slévárně. (4 str., pokrač.) Evropská konference o produktivitě sléváren. (2 str.)

Sv. 93, čís. 1892, prosinec 1952. Vývoj formování do skořápiliny. (4 str.) Hospodářnost ve slévárně. (3 str., dokonč.) H. Hartley: Výroba plynových zařízení (přístrojů) a smaltovací průmysl. (4 str.)

**Giesserei**. August-Thyssen-Strasse 1, Düsseldorf - formát A4.

Roč. 40, čís. 1, leden 1953. A. Wittmoser: Příspěvek k otázecké krytalizaci tvárné litiny. (9 str., pokrač.) H. M. Hiller: Nové zkušenosti s ocelemi pro formy při tlakovém lití. (9 str.) A. Heuers: Jacob Mayer, vynálezce ocelové litiny. (3 str.) H. Jungblut: Obnovování slévárenských sbírek v Německém museu. (4 str.)

Roč. 40, čís. 2, leden 1953. F. Schulte: Nové konstrukce kuploveni se zvářením zřetelem ke kuplovnám s horkým větem. (8 str.) F. Roll: Další příklady tvoření plynových dutin. (2 str.)

**Hutník**. Katowice, ul. Stawowa 19 - formát A4.

Roč. XX, čís. 1, 1953. J. Górecki: Čáry přičného ohýbu a síť deformace průřezu vývalku. (8 str.) S. Balicki: Olověný bronz jako náhradní materiál za cínové ložiskové slitiny. (7 str.) J. Szalinski: Mechanizace a organizace oprav pecí SM. (4 str.)

Roč. VIII., čís. 3.

Knihy a časopisy došlé redakci.

Hutnické listy.

**Chaleur & Industrie.** 2, Rue de Tanneries, Paris XIIIe - formát A4.

Vol. 34, čís. 330, leden 1953. R. Cadiergues: Fysika a geometrie změn zářením. (17 str. pokrač.) G. Costes: Nová tepelná centrála rafinerie ve Frontignan. (11 str.) G. Bory: Uloha poradního inženýra při vývoji průmyslu ve Francii a cizině. (3 str.)

Vol. 34, čís. 331, únor 1953. R. Cadiergues: Fysika a geometrie změn zářením. (12 str. dokonč.) R. Rousselet: Organizace patentní a dokumentační služby v průmyslu a spolupráce obou služeb. (6 str.)

**Iron and Coal Trades Review.** 49, Wellington Street, Strand, London, W. C. 2 - formát B5.

Vol. CLXVI, čís. 4424, 23. ledna 1953. J. H. Chesters: Vzrůst myšlenky. Výzkum provozu v pecích SM na množstvích. (10 str.) Udržování strojního zařízení v železárnách a ocelárnách. Všeobecné problémy způsobu práce a personálu. (3 str.) Technika ocelových ingotů. IV. H. O. Howson: Povrchové vady ingotů. Tvoření bublin. (4 str., pokrač.)

Vol. CLXVI, čís. 4425, 30. ledna 1953. J. E. Pluck: Oprava a udržování pecí SM. (4 str.) Technika ocelových ingotů. V. H. O. Howson: Vnitřní struktura ingotů. Vliv stupně oxydace. (10 str.) Výroba velkých zalomených hřídelů. (2 str.)

Vol. CLXVI, čís. 4426, 6. února 1953. D. A. Oliver: Hospodaření kovy. Dodávka a konservace deficitních kovů. (6 str.) Technika ocelových ingotů. V. H. C. Howson: Vnitřní struktura ingotů. Vliv na množství odpadu a způsob válcování. (5 str.) S. G. Williams: Oprava a udržování pecí SM. (4 str.)

Vol. CLXVI, čís. 4427, 13. února 1953. Nová 20t oblouková pec v Sheffieldu. (3 str.) A. W. Wallbank: Vliv nedostatku kovů na galvanoplastický průmysl. (5 str.) Technika ocelových ingotů. VI. H. O. Howson: Pomocná zařízení lící jámy. (7 str., pokrač.)

Vol. CLXVI, čís. 4428, 20. února 1953. Hospodářství s kovy. III. R. Wilcock: Zpracování na tepla novějších ocelí zn. En. (5 str.) Technika ocelových ingotů. VI. H. O. Howson: Pomocná zařízení lící jámy. (6 str., pokrač.) Podzemní transportní soustava. (2 str.) R. W. Evans: Oprava a udržování pecí SM v USA. (4 str.)

**Iron & Steel.** Dorset House, Stamford Street, London, S. E. I. - formát A4.

Vol. XXVI, čís. 2, únor 1953. J. Taylor: Výroba surového železa. Přehled pokroků v pochodu v roce 1939 až 1952. (5 str.) C. S. Darling: Úspora paliva. (1 str.) H. L. Cox: Únavu železných kovů. (6 str.) Udržování strojního zařízení. (3 str.) J. O. Ward - J. R. Rait: Ferritické ocele. Vývoj v odolnosti proti tečení za tepla. (4 str.) S. Y. Chung - H. W. Swift: Cylindrické plechy. (4 str.) Formování do sklopevní. Mechanisace procesu. (2 str.)

**Litějnoje proizvodstvo.** Moskva, Něglinnaja 23 - formát B5.

Roč. 1952, čís. 12. Za další rozvoj úplné mechanisace a automatizace slévárenské výroby. (1 str.) K. S. Lipovskaja - B. A. Arbuzov - V. Z. Chejsin: Práškové pojivo pro slévárenské jádry. (5 str.) L. A. Gasparjan: Technicko-hospodářská účinnost používání rychle schnoucích formovacích písků. (1 str.) V. I. Vlasov: Vliv způsobu transportu forem na jakost ocelových odlitků. (1 str.) M. V. Dubinskij: Komora pro čistění odlitků vrháním ocelového písku v maloseriové výrobě. (2 str.) P. P. Berg: Odhad teploty ohřívající se slévárenské pískové formy. (4 str.) A. A. Lebeděv - L. I. Sokolskaja: Vliv některých technologických činitelů na dobu tuhnutí odlitků. (4 str.) N. N. Rubcov: Vznik a vývoj základních způsobů formování. (4 str.) A. A. Popov: Použití pojiva KT při lití písků. (1 str.) P. P. Baryšnikova - K. S. Ždanuk - N. D. Kotolilina: Použití pojiva „P-Orgavtoprom“ pro jádra 1. třídy. (1 str.) A. A. Stržemečný - M. A. Okun: Zkušenosti s používáním rychle schnoucích písků (2 str.) S. A. Skomorochov: Nová metoda pro kontrolu jádrových písků na vaznost a houzevnatost za syrova. (3 str.) M. P. Samojlov: Jádrová směs pro foukací stroje. (1 str.) I. F. Kurtov - N. V. Sadin: Odolnost proti opotřebení isothermicky zakalené

litiny. (4 str.) L. N. Vladimirov: Novinky při výrobě odlitků podle vytavitevních modelů. (1 str.)

**Izvestija Akademii nauk SSSR.** Otdělenije techničeskych nauk. Moskva, Charitoněvskij pereulok 4 - formát B5.

Roč. 1952, čís. 10. O. A. Jesin - A. I. Okuněv: Kinetika vzájemného účinku kovu a strusky s hlediskem ionové teorie. (11 str.) B. M. Robinskij - L. M. Rybakova: Drobni krystallických bloků a vývin mikronapětí v kovu při plastické deformaci. (6 str.) M. M. Karnauchov: Rudný pochod v peci SM bratří Gorjainových. (5 str.) S. K. Sabarin: K historii vzniku platinového průmyslu v Rusku. (8 str.) S. I. Koršunov: Synonyma v technickém názvosloví. (7 str.)

**The Journal of the Institute of Metals.** 4, Grosvenor Gardens, London S. W. I - formát A4.

Vol. 81, Part 6, únor 1953. A. G. Quarrell: Nová technika hutnického výzkumu. (29 str.) L. G. Tottle: Používání diamantového prášku pro metalografické leštění. (5 str.) P. J. E. Forsyth: Používání mikroskopu za tepla. (2 str.) G. K. Williamson: Používání Geigerova počítace při výzkumu difracce Roentgenovými paprsky. (6 str.) W. R. Pitkin - D. J. Jones: Prášková metalurgie v hutnickém výzkumu. (5 str.) W. H. L. Hooper - J. Holden: Některé metody měření povrchových zrn, používaných k zjištění obrazů vzniklých napětím tahem na kovovém povrchu. (5 str.) A. Birns: Přístroj k samočinnému zapisování diagramu zatištění napětí. (3 str.) C. W. Weaver: Zkoušení za tepla slitin Nimonic pro plynové turbíny. (5 str.) G. J. Metcalfe: Atmosférická korose a korose pod napětím slitin Al-Cu-Mg a Al-Mg-Si ve stavu po úplném tepelném zpracování. (12 str.) J. B. Matthews: Měření poměrných tvrdostí jemných práškových částic. (7 str.) Dělení krystalů v hliníku při tečení za tepla. (6 str.) D. McLean: Skluz na hranicích zrn v hliníku při tečení za tepla. (10 str.) C. W. Roberts: Mezikrystallická korose v lithických slitinách Zn-Al. (11 str.) W. B. Pearson - W. Hume Rothery: Složení slitin Cr-Mn pod 1000 °C. (5 str.)

**Journal of the Iron and Steel Institute.** Grosvenor Gardens, London, S. W. I. - formát A4.

Vol. 173, Part 2, únor 1953. G. B. Thomas: Vývoj válcování širokopřírubových nosníků. (10 str.) L. H. W. Savage - R. T. Fowler: Zachování tepla ingotu. (10 str.) J. D. Hobson - J. Hewitt: Vliv vodíku na pevnost oceli v tahu. (10 str.) C. Edeleanu: Korose zrn pod napětím v nekorodujících chromnicklových ocelích. (11 str.) T. B. Rolls - E. C. Slater: Distribuce elektřiny v železárnách a ocelárnách. (14 str.) Korose oceli pod fosfátovým pokrováním a ochrannými povlaky. (Diskuse ke 4 článekům. 7 str.)

**Journal of Metals.** 29 W., 39th Street, New York 18 - formát A4.

Vol. 4, čís. 9, září 1952. J. P. Morris: Vliv Mg na aktivitu siry v tekutém železe a ve slitinách Fe-C. (2 str.) L. B. Ticknor - M. B. Bever: Slučovací teplo kovů skupiny IB v tekutém cínu. (5 str.) E. E. Reynolds - J. W. Freeman - A. E. White: Vliv chemického složení na pevnost v tahu slitin Cr-Ni-Co-Fe-Mo-W-Cb za teploty 1200 °F. (13 str.) O. D. Sherby - J. E. Dorn: Vzájemné vztahy tečení za tepla v směsových krystalech a hliníku. (6 str.) G. Ross - S. A. Peabody: Rafinerie v Monterrey používá plynulého pochodu pro změkčování a odstříblování olova. (4 str.) Vybaení válcovny přístroji zlepšuje výrobu i jakost. (3 str.) B. a W. obrovský lis lisuje téžké pancéře a proráží ingoty pro duté výkovky. (2 str.) Různé zařízení v závodě provádějícím rafinaci zrna v lehkých kovech. (5 str.) W. T. Rogers - L. T. Sanchez: Užití kyslíku v Bessemerově konvertru. (6 str.) I. S. Servi - J. T. Norton - N. J. Grant: Některá pozorování tvoření submikroskopických zrn v hliníku o vysoké čistotě při tečení za tepla. (7 str.) S. F. Reiter: Kinetika rekrytalizace nízkouhlíkové oceli (8 str.) W. Rostoker: Pozorování parametru mřížky ve fázi  $\alpha$  a TiO v soustavě Ti-O. (2 str.) R. Steinitz - I. Binder - D. Moskowitz: Soustava Mo-B a některé vlastnosti boridů molybdenu. (5 str.)

Hutnické listy.

Roč. VIII., čís. 3.

**Vol. 4, čís. 10, říjen 1952.** G. A. Lilliequist - C. G. Mickelson: Vlastnosti ocelové litiny zlepšené přísladami prvků vzácných zemin. (8 str.) R. W. Diamond - B. P. Sutherland: Inženýr neželezných kovů hledí vstříc největším nárokům po století pokroku. (3 str.) Nový výrobní pochod dovoluje pokrovat některé kovy karbidem wolframu. (2 str.) Výzkum na postupu. Symposium - 14 výtahů. (6 str.) P. Rautala - J. T. Norton: Soustava W - Co - C. (6 str.) J. Gurland - J. T. Norton: Uloha spojovací fáze v cementované slitině karbid wolframu-kobalt. (6 str.) D. Caplan - M. Cohen: Oxydace některých slitin Fe-Cr za vysokých teplot. (9 str.) E. S. Bumps: Modely namáhání v tyčinkách pro Charpyho rázovou zkoušku měkké oceli o obsahu 0,20 % C. (4 str.) D. K. Das - S. P. Rideout - P. A. Beck: Intermediární fáze v ternárních soustavách Mo-Fe-Co, Mo-Fe-Ni, Mo-Ni-Co. (5 str.) J. Washburn - E. R. Paker: Zvláštní deformace (kinking) zinkových monokrystalových tahových zkoušek. (3 str.) L. H. Beck - C. S. Smith: Rovnovážný diagram Cu-Zn, zjištěný v sousedství fáze  $\beta$  kvantitativní metalografii. (5 str.) N. K. Chen - R. B. Pond: Dynamické tvoření kluzných pásků v hliníku. (8 str.) R. Lowrie: Mechanické vlastnosti mezikovových sloučenin za zvýšených teplot. (8 str.)

**Vol. 4, čís. 11, listopad 1952.** A. P. Thompson - J. A. Musgrave: Germanium, vyrobeno jako vedlejší výrobek, nabýlo význačného významu. (6 str.) A. D. Schwope - W. Chubb: Malé příslady zvyšují pevnost zirkonu za zvýšených teplot. (3 str.) Mangan. (2 str.) Tvárná litina sloučuje vlastnosti sedě litiny, temperované litiny a oceli. (3 str.) T. H. Harley: Zkušenosti se zebravitou klenbou pece SM. (1 str.) J. B. Giacobbe - A. M. Bounds: Výběr materiálu má význam pro Bourdonový trubky. (2 str.) T. I. Moore - L. A. Painter: Závod na elektrolytickou výrobu zinku v Monsanto, Illinois. (11 str.) C. Goldberg: Pomůcka pro vytvoření stereografického obrazu při práci s krychlovými krystaly. (2 str.) G. F. Huff - G. R. Bailey - J. H. Richards: Braní vzorků tekuté oceli k určení rozpuštěného kyslíku. S diskusi. (6 str.) Diskuse k 30 článkům, prosloveným na sjezdu hutníků v únoru 1952 v New Yorku. (60 str.)

**Metalen.** Den Haag, Scheepmakerstraat 1-3 - formát A4.

Cis. 1, leden 1953. A. B. Krayenhoff: Vzrůstající výroba evropských sléváren. (3 str.) Studium principu zárezů. (3 str.) W. G. R. de Jager: Měď a slitiny mědi. 10. Beryliová měď. (3 str., pokrač.)

Cis. 2, 31. ledna 1953. P. G. Boting: Použití isothermického kalení manganokremické pružinové oceli. (5 str.) J. G. Hofman: Národní výставка kovoprůmyslu v Detroit, Michigan, USA. (5 str. pokrač.) W. G. R. de Jager: Měď a slitiny mědi. 10. Beryliová měď. (3 str. pokrač.)

Cis. 3, 15. února 1953. L. van Ouwerkerk: Četa E. C. A. pro zkoušení hmot bez porušení. (9 str. pokrač.) J. G. Hofman: Národní výставка kovoprůmyslu v Detroit, Michigan, USA. (4 str. pokrač.) W. G. R. de Jager: Měď a slitiny mědi. 10. Beryliová měď. (3 str. pokrač.)

**Montanzeitung.** Universitätsstrasse II, Wien I - formát A4.

Roč. 69, seš. 1, leden 1953. A. Kieslinger: Přirozené žáruvzdorné tvárnice. (4 str.)

**Prace Instititu metalurgii.** Ul. K. Miarki 12-14, Gliwice - formát A4.

Prace I Met. 4, prosinec 1952, seš. 6. L. Kozłowski: Měření magnetické permeability a koercitivní síly na tyčových zkouškách z magneticky měkkých hmot. (8 str.) J. Chodorowski: Vztah mezi popouštěcí křehkostí a mezi povrchovou a mezikrystallickou korosi konstrukčních ocelí - manganové TM 1 a manganokremické TMS 1. (14 str.) M. Orman - E. Zembala: Technologie výroby kovového baria. (9 str.)

**Przeglad mechaniczny.** Mickiewicza 10, Warszawa - formát A4.

Rok XII, seš. 1, 1953. J. Chodorowski: Z výzkumu chromokremické oceli silchrom pro motorové ventily. (6 str.) J. Ogerman: Výroba velmi tenkých drátů metodou elektrického leštění. (3 str.)

**Revue de l'Aluminium.** 77, Bd. Malesherbes, Paris-VIIIe - formát A4.

Vol. 29, čís. 194, prosinec 1952. J. Patrie: Úkaz pasivace hliníku ponoveného do dusíkatého prostředí. (7 str. pokrač.)

**Revue de Métallurgie.** 25, Rue de Clichy, Paris (IXe) - formát A4.

Vol. 50, čís. 1, 1953. M. Hetzler - A. Michalski: Zkoušení polotovarů ultrazvukem. (13 str.) H. De Leiris: Objasnění vztahu mezi vadami materiálu a lomy v provozu. (7 str.) G. Vidal: Prostředky k určení meze pevnosti na únavu za tepla v atmosféře normální a kontrolované. (14 str.) F. H. Willeumier: Tvrnost a vrubová houževnatost některých ocelí jako funkce teploty kalení a popouštění. (14 str.) G. Batta - L. Scheepers - L. Winandy a další: Moření speciálních ocelí. (8 str.) P. Leroy: Zlepšení způsobu předchozí rafinace Thomasova surového železa o vysokém obsahu křemíku čistým kyslikem. S diskusi. (15 str.)

**Sheet Metal Industries.** 49, Wellington Street, Strand, London, W. C. 2 - formát A5.

Vol. 30, čís. 310, únor 1953. A. McLeod: Zařízení pro redukci pásků z křemíkové a z nekorodující oceli válcovaných za studena. (12 str.) J. D. Jevons: Jak může provoznímu inženýru pomoci hutník. (10 str.) N. B. Rutherford: Zkušky se zpětným ziskáváním zinku ze zbytků a „jakost“ získaného kovu. (16 str.) Únava kovů. (11 str.) R. Wilson: Nejnovější pokroky v ultrazvukovém zkoušení tenkých kovových plechů nebo desek. (13 str.)

**Stahl und Eisen.** Düsseldorf, Breite Strasse 27 - formát A4

Roč. 73, seš. 3, 29. ledna 1953. A. Pomp: Základní úvahy o žíhání za studena válcované páskové oceli. (6 str.) W. Feige - A. Neuhaus: Zkušenosti se čtyřkomorovými pecemi pro žíhání v hrncích. (9 str.) J. Keutmann - H. M. Junius: Konstrukce a provoz žíhání u elektricky vytápěných průběžných pecí s válečkovou nástějí pro žíhání svítíků za studena válcovaných pásků. (12 str.) O. Meurer - H. Fechner - H. Pannek: Konstrukce, práce a provoz poklopových žíhacích pecí s převalováním ochranného plynu a s teplo vodicími deskami při výrobě pásků za studena. (8 str.) H. D. Feldmann: Výzkum spotřeby sily a práce při lisování různých druhů oceli za studena. (10 str.)

Roč. 73, seš. 4, 12. února 1953. H. Buchholz - R. Pusch: Příčiny jemných povrchových vad při tepelném zpracování nelegované oceli. (9 str.) K. Löberg: Předpoklady k výrobě tvárné litiny, její vlastnosti a použití. (7 str.) G. Maassen: Použitelnost sírou nasyceného spékávaného železa jako kluzného materiálu. (4 str.) W. Dehne: Nová vysokopevnostní forma. (3 str.) H. Kramer: Výroba, vlastnosti a použití isolačního materiálu Vermiculit. (3 str.)

**Za ekonomiju materialov.** Moskva, Šljuzovaja nab. 10 - formát A4.

Cis. 4, 1952. Rozsáhlý program boje za komunismus. (8 str.) Ja. Smoljanskij: Materiálové bilance a hospodářnost. (7 str.) P. Karpov: O zvýšení jakosti výroby. (7 str.) L. Volodarskij: Za další zlepšení statistiky norem. (6 str.) D. Ryžkov: Stavba strojů a hospodářnost kovy. (6 str.) L. Miller: Zkušenosti s úsporností barevných kovů při obrábění. (5 str.) Dosáhnout snížení váhy strojů při zlepšení jejich jakosti. (8 str.) I. Dobrov - K. Smirnova: Zkušenosti s odstředivým litím ozubených kol. (3 str.) Z. Puškin: Životnost zařízení. (2 str.)

Cis. 5, 1952. Zajistit v r. 1953 značnou hospodářnost materiálovými zásobami. (8 str.) N. Smirnov: Socialistické soutěžení — mohutný činitel pro hospodaření materiálem. (7 str.) V. Gokin: Racionální výběr materiálů pro konstruování strojů. (9 str.) N. Semenenko: O využití druhotních energetických zdrojů průmyslu. (6 str.) I. Syromyatnikov: Cesta ke zvýšení koeficientu výkonnosti. (8 str.) M. Galinov: Hospodářnost pohonného a provozního hmotami při řízení automobilů. (3 str.) V. Derevjačenko: Zásobárna v boji za hospodářnost kovy. (3 str.) V. Glejzer - A. Matcov: Hospodářnost kovy při opravě zařízení. (3 str.) J. Jakimčuk: Několikanásobná oprava opotřebených nástrojů. (3 str.)



# Rozhledy

Velice bychom vitali, kdyby čtenáři „Rozhledů“ zaujímalí k jednotlivým výtahům kritické stanovisko a zasílali nám je v rozsahu 5 až 10 tiskových rádků, abychom je mohli k informaci hutnické veřejnosti uveřejnit.

Bylo by také vhodné upozornit, zda se podobný výzkum u nás nebo jinde již konal, jaké byly výsledky a zda metoda ve výtahu uvedená je zavedena v praxi a jak se osvědčila.

Věříme, že součinnost čtenářů s redakcí v tomto směru bude mít pro naši výrobu praktický význam.

Tyto příspěvky zaslajeťte redakci pod označením: Poznámky k „Rozhledům“ s udáním, o který výtah se jedná.

## Vnitřní stavba hutnického materiálu (metalografie, roentgenografie, fraktografie, fyzikální chemie, atd.).

A. V. Archarov

669.112.227.1 : 669.112.287.342

Některé otázky orientační a rozměrové analogie při martensitické přeměně austenitu v oceli.\*)

Podrobné poznání mechanismu fázových přeměn, zvláště u bezdifusní přeměny austenitu v martensitu v ocelích, a to zejména v oceli uhlíkové, je velmi důležité.

Základní stránku tohoto mechanismu objasnil v roce 1930 K. V. Kurdjumov.

Avšak Kurdjumov nepopsal mechanismus martensitické přeměny dostatečně názorně krystalograficky a stereografickou projekcí (princip minimálnosti atomových přeměn a maxima podobnosti výchozí a tvorící se krystallické mřížky) a vztahy mezi spojujicími se mřížkami austenitu a martensitu.

Princip a průběh atomových přeměn, jakož i vzájemné vztahy mezi mřížkami austenitu a martensitu mají podstatný význam při kalení oceli. Prvě určuje polohu martensitického bodu, jeho posunutí a kinetiku přeměny, druhé pak mikrostrukturu oceli.

1. Geometrický obraz spojení krystalických mřížek austenitu a martensitu při bezdifusní, uspořádané přestavbě.

Především nutno nalézt v austenitické mřížce předobraz budoucí základní mřížky fáze  $\alpha$ .

O tomto předobrzu uvažoval již Bain, ale jeho schéma bylo ve své základní části pochybené. G. V. Kurdjumov objevil 24 možných orientací, mezi nimiž jsou orientace vyplývající ze schématu Bainova.

Při tom jako předobraz fáze  $\alpha$  byl Bainem správně uváděn stereocentrický, tetragonální hranol, získaný z krychlové mřížky austenitické pootočením dvou krychlových os v jejich obecné rovině o  $45^\circ$  při zachování polohy třetí osy.

Podle toho, která osa zůstává nezměněna, jsou možné tři způsoby předobrazu v austenitické mřížce.

Předobrazem krystalografické roviny rhombického dodekaedru — mřížky — jest oktaedrická rovina v mřížce austenitu; předobrazem prostorové úhlopříčny fáze  $\alpha$  je úhlopříčna krychle v austenitu.

Přestavba mřížky jest uskutečňována poměrným přemístěním atomů.

Aby byly splněny Kurdjumovem objevené orientační mřížky, zůstává nepohyblivá oktaedrická plocha, ve které je počáteční atom a přes ni probíhající úhlopříčné směry.

Využitím tří možných způsobů sestrojení tetragonálního hranolu — předobrazu a možnosti volby jednoho z dvou úhlopříčných směrů v oktaedrické ploše se dostane 24 různých poloh základního geometrického prvku sklonění mřížek fází  $\gamma$  a  $\alpha$  v jedné a též austenitické mřížce.

\*) Izvestija AN SSSR, Serija fizičeskaja, Tom XVI., No 1 (1951), str. 9 až 15.

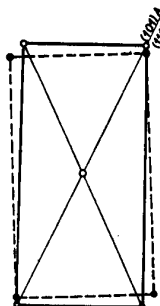
Z každé z těchto 24 poloh základního prvku přeskupení lze sestrojit krychlovou fázi  $\alpha$  a dosáhnout takto 24 různých poloh fází  $\alpha$  vzhledem k výchozí mřížce  $\gamma$ .

Na obr. 2 je patrné sestrojení pro jednu z těchto 24 poloh ve formě axonometrické projekce.

Na axonometrických průmětech jest zvláště názorně vidět charakter a velikost pohybů atomů při přestavbě mřížky.

### 2. Krystalogeometrické vztahy, nutné pro začátek martensitické přeměny.

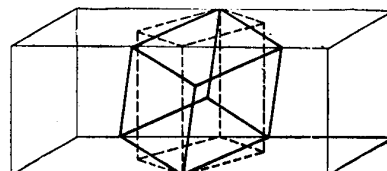
Z obr. 1 je patrné, že atomy pod nepohyblivou úhlopříčnou oktaedrické, austenitické mřížky se pohybují při přestavbě jen velmi málo. Zřejmě, čím menší jest pohyb, tím lehčejí se uskutečňuje přestavba; proto lze jeho ve-



Obr. 1.

likost uvažovat jako kriterium možnosti pro přestavbu. Aby k přestavbě mohlo dojít, nesmí rozdíl úhlopříčen základních krystalických mřížek (111) austenitu a (101) martensitu převyšovat určitou kritickou hodnotu. Velikost těchto úhlopříčen pak závisí na teplotě (následkem rozdílu koeficientů tepelného roztažování austenitu a martensitu).

V literatuře se uvádějí parametry martensitické mřížky za normální teploty. Pravděpodobně koeficient tepelné roztaživosti v martensitické mřížce se blíží koeficientu tepelné roztaživosti železa v uhlíkaté oceli.



Obr. 2.

Koeficient tepelné roztaživosti austenitu je pro všechny obsahy uhlíku  $26,7 \cdot 10^{-6}$ .

Pro fázi  $\alpha$  je koeficient tepelné roztaživosti uveden v tabulce I.

Tabulka I. Koeficienty tepelné roztaživosti fáze  $\alpha$  v závislosti na obsahu uhlíku v oceli.

Obsah uhlíku v oceli %	Koeficient tepelné roztaživosti pro rozmezí teplot 20 °C + tm
0,33	$13,5 \cdot 10^{-6}$
0,57	$12,4 \cdot 10^{-6}$
0,82	$12,3 \cdot 10^{-6}$
1,16	$11,0 \cdot 10^{-6}$
1,52	$10,6 \cdot 10^{-6}$

Tab. II. Závislost rozměrů základní krystalické mřížky martensitu a teploty počátku martensitické přeměny tm na obsahu C v oceli.

Obsah uhlíku v oceli %	Rozměry základní krystalické mřížky martensitu za normální teploty			Teplota počátku martensitické přeměny v °C	Úhlopříčna krystalické mřížky (101) mřížky (111) austenitu za teploty tm Pm v Å	Úhlopříčna krystalické mřížky (111) austenitu za teploty tm Pav Å	$D = Pa - Pm$ v Å	Poměrné prodloužení $E = \frac{D}{P_a} 100$ v %
	hrany elementární krystalické mřížky		úhlopříčna krystalické mřížky (101) P v Å					
	A v Å	C v Å	P v Å					
0,33	2,856	2,899	4,792	340	4,993	5,090	0,097	1,30
0,57	2,853	2,927	4,985	280	5,000	5,093	0,093	1,83
0,82	2,849	2,958	4,998	220	5,010	5,097	0,087	1,70
1,16	2,845	2,958	5,016	170	5,024	5,105	0,081	1,57
1,52	2,843	3,041	5,041	100	5,045	5,110	0,065	1,27

Rozdíl úhlopříčen krystalické mřížky má velikou hodnotu za vysokých teplot a zmenšuje se při ochlazování. Počátek martensitické přeměny (martensitický bod) souvisí s dosažením kritické hodnoty tohoto rozdílu.

Hodnoty pro výpočet tohoto kriteria jsou v tabulce II; kritický rozdíl se pohybuje mezi 1,5 až 2 %; pohyb atomů pak od 0,03 až 0,05 Å.

Z tabulky II je vidět, že kritická hodnota  $\Delta D$  se poněkud zmenšuje zvýšením koncentrace C v oceli; C v austenitu ztěžuje přemístění atomů železa.

Z dané teploty se přeměna uskuteční tam, kde snížená koncentrace C umožňuje, aby přestavba probhla při hodnotě  $\Delta D$ , odpovídající této teplotě; přeměna je opožděna a zdržována ve zbylých, dosud nepřestavěných částech austenitu, a to proto, že v těchto částech austenitu je větší koncentrace C, která pak vyžaduje nižší hodnoty  $\Delta D$  k přeměně na martensit. Ke snížení  $\Delta D$  dochází při dalším snížení teploty, což pak umožňuje přestavbu austenitu v martensit i v částicích s větší koncentrací C.

Toto zjištění úplně souhlasí s názorem G. V. Kurdjumova o průběhu hodnot pružnosti austenitu s nerovnoměrným rozdělením C v závislosti na měniči se teplotě.

### 3. Krystalogeometrické vztahy, podmiňující porušení soudržnosti mezi spojenými mřížkami austenitu, a tvar martensitických útváří.

Přestavba austenitické mřížky se rozšiřuje v určité oblasti; potom nastává oddělení martensitického krystalku od „mateřské“ austenitické mřížky.

Tvar a rozměry primárního martensitického krystalku jsou určeny vzdáleností od místa vzniku přestavby mřížky do místa porušení vzájemné souvislosti v různých směrech. Tyto vzdálenosti jsou pro různé krystalografické směry různé.

Vzdálenost mezi každou dvojicí postupně vznikajících dislokací v daném směru závisí na poměru meziatomových vzdáleností podél tohoto směru ve výchozí a tvorící se mřížce, jinak řečeno, vzdálenost mezi dislokacemi je určována poměrem výchozí meziatomové vzdálenosti k velikosti poměrného pohybu atomů při přestavbě.

Podle obr. 1 budou vznikat dislokace především podél směru diagonální oktaedrické mřížky, zachovávající svoji polohu při přestavbě (podél tohoto směru atomy dosahují nejmenšího přemístění). Na základě číselných údajů v tab. I lze mít za to, že dislokace podél tohoto směru mohou vznikat na vzdálenost 130 až 300 Å. (Menší hodnoty vzdálenosti v uvedených mezích odpovídají menšímu obsahu C v oceli).

Atomy rozložené v téže oktaedrické ploše jako začáteční řada jsou přemístovány na tím větší vzdálenost, čím dále je diagonální řada vzdálena od řady nehybné. Prvá dislokace vzniká na vzdálenost asi 18 až 22 Å od nepohyblivé řady.

V ploše, kolmé k oktaedrické mřížce, vznikají dislokace ve vzdálenostech, které jsou násobky 20 až 25 Å od nepohyblivé úhlopříčné řady.

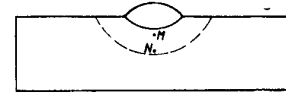
Martensitický krystalek bude mít tvar prodloužený ve směru diagonální oktaedrické mřížky austenitu a přibližně stejně malé rozměry v příčných směrech (8 až 10× menší než v podélném). To znamená, že martensitický krystalek

musí mít jehlicovitý nebo vřetenovitý tvar, zploštělý v jednom z příčných směrů.

V určitých legovaných ocelích se liší orientační poměr austenitových mřížek a fáze  $\alpha$  při martensitické přeměně od určeného orientačního poměru pro jednoduché ocelé. S oktaedrickou (austenitickou) plochou v těchto případech je rovnoběžná plocha rhombického dodekaedru fáze  $\alpha$ , příslušné mřížky austenitu a fáze  $\alpha$  jsou spojeny směrem, podle něhož jsou rozloženy obě úhlopříčny. Pak jsou dislokace, vznikající při přestavbě mřížky, rozloženy stejně řídce podél těchto úhlopříčen. Ve směrech kolmých k oktaedrické ploše je výskyt těchto dislokací mnohem častější. V takových ocelích bude mít potom primární martensitický krystal tvar přibližně rovný pásku, uloženému v rozmezí původní vrstvičky austenitu, a to rovnoběžně s jeho oktaedrickou plochou.

Hk.  
A. Portevin 621.791:669.18  
Studie svařitelnosti ocelí methodou stanovenou podle závislosti spádu teploty a rychlosti ochlazování.\*)

Zjištění sklonu k zakalení a metalografických změn, které nastanou v základním materiálu během svařování, je možno provést obdobnou zkouškou, jako je určení prokalitelnosti podle Jomminyho. Tepelný cyklus probíhající ve svařovaném materiálu se však značně liší od cyklu tepelně zpracovaných ocelových součástí. Tak na příklad hodnoty, které můžeme vyčíst z diagramu S (isothermický rozpad austenitu), nemůžeme kvantitativně aplikovat na tepelný cyklus probíhající ve svařované součásti.



Obr. 1.

Naváříme-li na ocelový plech housenku podle obr. 1, vidíme pod svarem jasnou přechodovou vrstvu. Na obrázku je její pole ohrazeno čárkovaně. Studujeme-li v tomto pásmu dva od sebe vzdálené body M a N, zjistíme, že struktura i tvrdost v obou místech jsou odlišné. Materiál byl v obou místech vystaven různým maximálním teplotám; rychlosť ochlazování byla rovněž rozdílná. Svařováním se tedy vytvoří v základním materiále dva gradienty: gradient maximálních teplot a gradient rychlosti ochlazování. Hodnoty obou činitelů závisí na rozdílu součástí (zvláště tloušťce materiálu), její počáteční teplotě a pohlcení tepelné energie.

Aby bylo možno reprodukovat tepelný cyklus, probíhající na všech místech svařované součásti, je nutno dodržet tři podmínky: 1. rychlý ohřev, 2. maximální tepelný gradient, 3. gradient rychlosti ochlazování musí být nezávislý na gradientu teploty. Z každé maximální dosažené teploty může být ochlazováno různou rychlosťí.

Tento problém byl vyřešen metodou založenou na základě závislosti spádu teploty a rychlosti ochlazování takto: Ze zkoušené oceli se část vyřízena opracuje do tvaru válečku o průměru 25 mm a délce 60 mm. V jeho ose se navrtá otvor o průměru 2 mm. Váleček se ustaví svisle a na spodní ploše se ohřeje kysliko-acetylenovým plamenem. Po skončení ohřevu se otvorem válečku pro-

\* Soudure (1952), 9-10.

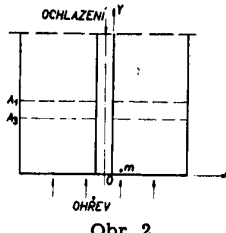
Roč. VIII., čís. 3.

Rozhledy.

Hutnické listy.

hání voda pod tlakem, a to tak dluho, až se váleček ochladi na teplotu okoli. Pak se rozříze ve směru osy, řez se vybrouší a leptá.

Výše uvedeným tepelným zpracováním se vytvoří ve směru osy OY tepelný gradient a ve směru osy OX gradient rychlosti ochlazování (obr. 2). Každému bodu M přechodové vrstvy svařené součásti odpovídá bod m te-



Obr. 2.

pelně zpracovaného vzorku. Protože v obou místech probíhal týž tepelný cyklus, bude tam též shodná struktura i tvrdost.

Poloha bodu m na zkoušeném válečku závisí na svařovacích podmínkách. Tak na příklad bodu M, který leží v blízkosti svaru naneseného elektrodami o průměru 3,2 mm, případně 4 mm a 6,5 mm na ocelovém plechu o obsahu 0,28 % C a tloušťce 10 mm, odpovídají na zkoušeném válečku tyto body: y = 1,5 mm, x = 1,47 mm, 4,25 mm a 7,25 mm. Váleček byl na spodní straně ohříván plamenem kyslíko-acetylénovým po dobu 1 min. 30 vt. Hořák měl výkon 600 litrů za hodinu.

Ochlazujeme-li během navařování housenky uvedenými elektrodami plech vodou, čímž měníme podmínky ochlazování a přiblížujeme se případu navařování housenky na tlusté plechy, pak se koty x bodu m na vzorku mění takto: x = 1,4 mm, 1,84 mm a 3,25 mm. Tímto způsobem najdeme veškeré body na zkoušeném vzorku, jež odpovídají struktuře a tvrdosti bodům přechodové vrstvy svaru, který byl proveden za různých podmínek na též materiálu o různých tloušťkách. Tento vztah platí pro všechny druhy ocelí, které mají stejnou tepelnou vodivost.

Uvedená zkouška nazrahuje řadu zkoušek Jomminyho, neboť pro každou hodnotu y můžeme vynést křivku tvrdosti Hy = f(x), jež odpovídá dosažené teplotě. Můžeme ji použít ke studiu svařitelnosti všech druhů ocelí. Je ovšem nutno přesně stanovit dobu ohřevu, která odpovídá danému způsobu svařování. Dále je možno této metody použít při studiu povrchového kalení, vlivu kyslikového řezání a nánosových svarů na základní materiál. Konečně možno takto studovat veškeré problémy metalografické v případě, že materiál je ovlivněn třemi proměnnými činiteli, to je dobu ohřevu, maximální teplotou a rychlosťí ochlazování.

Zá

### Speciální kovy a slitiny.

R. I. Jaffe - S. M. Weiss

Použití slitin india.\*

669.29

Indium je nejmékčí kov, který je ještě na vzduchu stály. Je velmi plastické a lze je téměř nekonečně tvářit, aniž ztvrdne. Válcováním naopak měkne, poněvadž jeho rekrytalisaci teplota je pod normální teplotou.

Důležité je ve slitinách s olovem, címem, kadmiem a vismutem. Užívá se ho tam, kde se nepožaduje vysoká pevnost a vyšší tavěcí teplota. Nejvýšší tavěcí teplotu mají slitiny In-Pb, které jsou mimo to nejpevnější a nejtvrdší.

V oblasti slitin s vysokým obsahem india je nejlepší tvrdící příslušou vismut, po něm následuje kadmium a olovo. Cín se v indiu rozpouští za normálních teplot jen málo a také jeho vliv na pevnost je nepatrný.

Tuhý roztok india v cínu ho však velmi účinně zpevňuje. Olovo zpevňuje indium sice méně, ale poněvadž je jeho rozpustnost v olovu mnohem větší, je nejvyšší tvrdost dosažitelná ve slitinách Pb-In větší než ve slitinách Sn-In. V kadmiu a ve vismутu je In prakticky nerozpustné.

Hlavní použití india je ve výrobě ložisek pro letecké motory. V motorech Pratt a Whitney se užívá ocelových

pánví, platinových stříbrem, pak vrstvou olova, do kterého se po 500 hod. za teploty 150 °C difunduje indium. Získá se tím povrchová vrstva, obsahující 10 % In, což odpovídá tuhému roztoku In v Pb. Pevnost ložiskového kovu tím stoupne; hlavně však se zlepší jeho odolnost proti korosi organickými kyselinami v mazadlech, aniž se zhorší jeho odolnost proti únávě. Podobně indium, difundované do kadmiové ložiskové slitiny (asi 0,4 % In) nesníží její pevnost, ale zvýší odolnost proti korosi.

V pájkách přisada In nezvyšuje pevnost spojení tak, jak by odpovídalo jeho zpevňovacímu vlivu na Sn a Pb. Příslušky 10, 25 a 50 % In k pájce Sn-Pb 50/50 dokonce snižují pevnost spojů ve stříbře, pravděpodobně proto, že pájky dodávají tuto pevnost tuhý roztok Sn a Pb, ale v ternární soustavě In pravděpodobně snižuje vzájemnou rozpustnost Sn a Pb. Pájky s indiem mají však větší odolnost proti vlivu alkalií.

Přisada 1 až 2 % In do olověné pájky s 3 % Ag podstatně zlepšuje její pevnost.

### Vlastnosti materiálu.

L. Lomas  
Popouštěcí křehkost.\*

669.14.018:621.785.7

Křehkost oceli při popouštění lze označit jako ztrátu tažnosti, když je materiál udržován na teplotě pod bodem pěrem nebo pozvolna ochlazován. Ztrátu tažnosti zjistíme, podrobíme-li ocel vrubové zkoušce za normální teploty. Skutečná příčina ztráty tažnosti nebyla dosud zjištěna. Greaves, Fell a Hadfield uvádějí v tab. I. hodnoty ukazující vliv různých teplot na ocel o složení 0,26 % C, 0,07 % Si, 0,66 % Mn, 0,02 % S, 0,026 % P, 0,84 % Cr a 3,53 % Ni.

Tab. 1. Vliv různých teplot na ocel o složení 0,26 % C, 0,07 % Si, 0,66 % Mn, 0,02 % S, 0,026 % P, 0,84 % Cr a 3,53 % Ni

Způsob tepelného zpracování	Mez pružnosti v t/čtv. palec	Pevnost v tahu na mezi průtaž.	Prodloužení v %	Zlomení	Rázová houževnatost	
					TVRDOST PODLE BRINELLA	STOP · LB
I.	33	48,2	38,4	22,5	56	237
II.	31,3	48,7	38,8	21,0	56	240

I. — značí tepelné zpracování kalením do oleje z 850 °C a zchladnutím v peci s 650 °C.

II. — značí tepelné zpracování kalením do oleje z 850 °C, popouštěním na teplotu 650 °C s prudkým ochlazením do vody.

Na mikrostrukturu oceli není popouštěcí křehkost patrná. Některí autoři jsou názoru, že popouštěcí křehkost je vyvolána příliš vysokým obsahem fosforu, avšak stejný úkaz lze pozorovat i u ocelí s obzvláště nízkým obsahem fosforu, vyráběných v elektrické peci. Bylo též tvrzeno, že křehkost oceli je vyvolána vyloučením karbidů na hranici krystalů, avšak nutno poukázat na to, že ani mikrostruktura neukázala při velkém zvětšení žádné takové vyloučení. Některé oceli, mající výjimečně bohatou dendritickou strukturu, mají minimální vrubovou houževnatost.

Jindy bylo zjištěno, že křehkost při popouštění, která je častá u ocelí vyráběných v pecích SM, se nikdy nevyskytuje u ocelí vyráběných v kelímku.

Je důležité, aby se vlastní popouštěcí křehkost nezaměňovala s křehkosťí za modrého žáru (230 až 350 °C). Jakmile se popouštěcí teplota uvnitř tohoto teplotního pásma zvýší, sníží se tvrdost a současně poklesne houževnatost. To si lze vysvětlit tím, že když ocel zakalíme tak, abychom obdrželi martensitickou strukturu, zůstane malá část austenitu nezměněna ve struktuře. Austenitická složka je měkká a tažná, avšak jakmile je ocel popuštěna na teplotu přesahující 230 °C, austenit se rozkládá a produkty tohoto rozkladu rozptýlené ve zbytku struktury snižují houževnatost oceli. Množství austenitu nestačí k zvětšení tvrdosti oceli, ale snižuje rázovou pevnost. Popustíme-li však ocel na teplotu nad 370 °C, křehkost mizí.

\*) Materials and Methods 36 (1952), čís. 3, str. 113 až 115.

Popouštěcí křehkost, která je zde uvažována, vyskytuje se za značně vyšších teplot a projevuje se tím, že zvýšime-li popouštěcí teplotu, houzevnatost se nezmenší ani nezvětší. Popouštěcí křehkost může však být do určité míry odstraněna rychlým ochlazením z popouštěcí teploty ve vodě, jakmile bylo dosaženo normální očekávané houzevnatosti. Tyto podmínky se vyskytují hlavně u ocelí chromoniklových, obsahujících 0,3 až 0,7 % uhliku; ale i u ocelí stejného složení, podrobených stejnemu způsobu zpracování, objevují se značné nesrovnatnosti. Popouštěcí křehkost může se vyskytovat také u uhlikových ocelí.

Z posledních výzkumných vyplývá, že popouštěcí křehkost je následek stárnutí oceli neb nějakého příbuzného zjevu.

#### Vliv případových prvků.

Vliv případových prvků na popouštěcí křehkost je zájimavý. Jak se zdá, vyvolává obsah 0,5 % Mn náchylnost ke křehnutí oceli; to třeba mít na zřeteli při používání vysokého obsahu Mn k vyrovnání vlivu velkých průřezů. Manganové ocele ztrácejí často až 50 % vrubové houzevnatosti, byly-li postupně ochlazovány z teploty 600 °C neb z teploty vyšší. Pokud se týče těchto ocelí, možno říci, že správným postupem je rychlé ochlazení po popouštění za teploty 600 °C. Zvláště u velkých průřezů zabráni se vzniku popouštěcí křehkosti. Příslada 0,3 až 0,5 % molybdenu má za následek jen velmi malé snížení nebezpečí vzniku popouštěcí křehkosti.

Takové ocele by však měly být bezpodmínečně ochlazovány z popouštěcí teploty v oleji, jelikož tento způsob zvyšuje odolnost materiálu proti vzniku popouštěcí křehkosti. Podobně se dá používat ochlazování v oleji též u ocelí náchylných ke vzniku popouštěcí křehkosti a obsahujících molybden.

Chrom nesnižuje náklonnost ke vzniku popouštěcí křehkosti. Oceli náchylné ke vzniku popouštěcí křehkosti se nezlepší ani případou niklu. Vliv křemiku na popouštěcí křehkost ocelí nebyl přesně zjištěn. Některé zkušenosti ukazují, že křemičito-manganové ocele o 0,4 až 0,5 % uhliku zvětšují náchylnost ke vzniku popouštěcí křehkosti, zvýšili se obsah křemiku. Křehkost u křemičito-manganových ocelí nepůsobí mnoho potíží, pokud obsah křemiku je asi 1,5 % za přítomnosti 1 % Mn. Kromě toho, jakmile obsah mangana nepřesahuje 0,6 %, můžeme bez jakéhokoliv významného nebezpečí vzniku popouštěcí křehkosti připustit obsah až 3 % Si.

Titan v oceli, jak se zdá, má vliv na snížení vrubové pevnosti po normalizaci a vysokých teplot. Vliv wolframu na popouštěcí křehkost nebyl dokud plně zjištěn. Některé badatelé považují jeho vliv za neškodný, zatím co jiní badatelé ho považují za rovnocenný molybdenu. Jisté však je, že wolfram nemá takovou schopnost snižovat náchnylnost k popouštění křehkosti jako molybden.

Dnes je snaha přidávat molybden do oceli obsahujících 4 až 6 % Cr a určených k použití za vysokých teplot, aby se snížila náchylnost k popouštěcí křehkosti.

Slitina obsahující 25 až 30 % chromu se stává křehkou při postupném popouštění v teplotním rozmezí mezi 600 až 370 °C. Proto se tato ocel ohřívá na 760 °C až 820 °C a rychle zakalí ve vodě z teploty nejméně 700 °C. To je obzvláště žádoucí u trubek.

Ocel náchylná k popouštěcí křehkosti ztrácí značně na své houzevnatosti, když se zvolna ochlazuje z popouštěcí teploty kolem 620 °C, i když může být odolná vůči rázu po rychlém ochlazení z téže popouštěcí teploty.

Jak bylo již zmíněno, rychlého ochlazování se používá jako prostředku k zamezení popouštěcí křehkosti. Avšak ocele náchylné k této vadě jsou křehké za popouštění v rozmezí teplot 450 až 600 °C, zvláště je-li popouštěcí doba delší. Jakmile se tímto způsobem vytvoří podmínky pro vznik křehkosti, ani rychlé ochlazení z popouštěcí teploty nezabrání plné ztrátě tažnosti. Není zcela jasné, proč se tak děje, avšak zdá se, že jde o vyloučování některých škodlivých složek, které přecházejí za teploty 600 °C a výše do tuhého roztoru a vyloučují se za nižších teplot, je-li ocel buď postupně ochlazována neb znova ohřáta na teplotu 600 °C a výše.

Je však možno zvolut takový obsah uhliku a případ, aby se docílila co nejmenší náklonnost ke vzniku křehkosti.

#### Lámavost za modrého žáru.

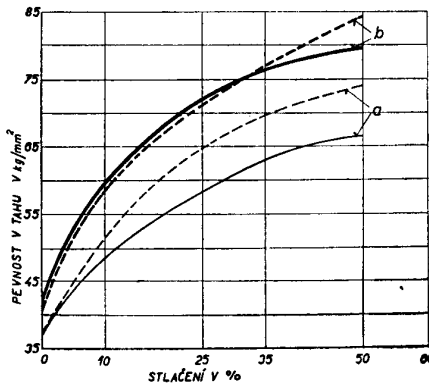
Některé spotřebitelé oceli zaměňují popouštěcí křehkost s jinými jevy a obzvláště s lámavostí za modrého žáru, t. j. za teploty 150 °C až 370 °C. Lámavost za modrého žáru se vyskytuje buď za pracovní teploty, nebo za nižších teplot. Každý druh oceli má jinou teplotu, při níž vzniká lámavost za modrého žáru. Tato teplota by neměla být používána při popouštění. Spodní hranice tohoto nebezpečného rozmezí teploty je normálně kolem 260 °C. Jakmile je zapotřebí popouštět ocel za teploty v rozmezí 260 °C až 480 °C, měl by se zjistit dotazem u výrobce rozsah pouštěcí teploty u toho kterého materiálu. Volba popouštěcí teploty řídí se různými činiteli a závisí na př. na tom, zda se obrábí před kalením nebo po něm, na rovnacích úkonech a případně na velikosti požadované tvrdosti. Tato lámavost je důležitá u hubokotažných ocelí. Vrubové zkoušky na Izodovu přístroji ukázaly, že v případě značné lámavosti za modrého žáru vrubová pevnost klesá z 90 stopliber na 10 stopliber i méně. Mayer.

A. Kohn

#### Vliv obsahu plynu na vlastnosti oceli a způsoby jejich odstraňování\*

669.18

Ze zkušeností je známo, že je velmi nesnadné odplynit tekutou ocel tak, abychom dostali odlitek bez vnitřních vad. Pórovitost odlitku vzniká při tuhnutí a má na něj vliv nejen obsah plynu v tavenině, ale i druh formy, do které se odlévá. Mechanické vlastnosti oceli zhoršují hlavně obsah kyslíku, dusíku a vodíku. Do taveniny se tyto plyny dostanou v některé ze vsazky a stykem se spalnými plyny. Proto je nutno věnovat odplynění oceli při tavení zvýšenou pozornost. Bylo napsáno již mnoho prací, které řeší tento problém. Avšak přesná znalost fyzikálně-chemických procesů, které probíhají při naplynění tekuté oceli, při uvolňování plynů a jejich chování při tuhnutí, kování nebo valcování, dosud chybí. Důvod spočívá v tom, že nebyla vypracována dostatečně citlivá metoda pro kvantitativní zjištění těchto plynů a jejich vliv na vlastnosti oceli. V poslední době však byly v tomto směru učiněny značné pokroky. Nyní jsou již k dispozici přístroje, s pomocí nichž jest možno dosáhnout dostatečně přesných měření a podle toho vyvodit žádané závěry.



Obr. 1.

mického procesu, který probíhá při naplynění tekuté oceli, při uvolňování plynů a jejich chování při tuhnutí, kování nebo valcování, dosud chybí. Důvod spočívá v tom, že nebyla vypracována dostatečně citlivá metoda pro kvantitativní zjištění těchto plynů a jejich vliv na vlastnosti oceli. V poslední době však byly v tomto směru učiněny značné pokroky. Nyní jsou již k dispozici přístroje, s pomocí nichž jest možno dosáhnout dostatečně přesných měření a podle toho vyvodit žádané závěry.

#### Výroba Thomasovy oceli o nízkém obsahu dusíku

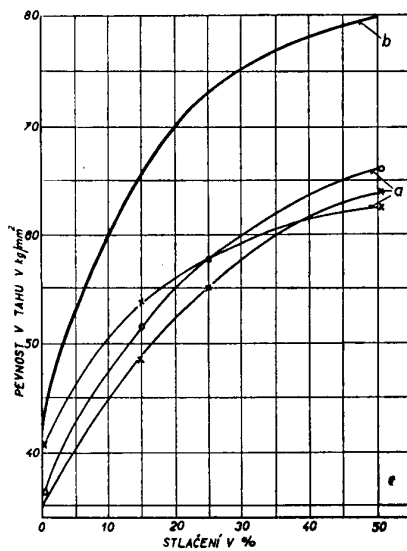
Spatně mechanické vlastnosti Thomasovy oceli jsou přisuzovány velkému obsahu fosforu a kyslíku, které přecházejí do taveniny během výroby. Tyto ocele obsahují též mnohem větší množství dusíku než ocele vyrobené Martinovým způsobem. Rovněž dusík působí zhoubně na vlastnosti oceli. Již po mnoho let byly hledány způsoby, jak snížit jeho obsah. Dělo se tak změnou podmínek dymičního větru do konvertoru. Avšak teprve během posledních dvanácti let byly podniknuty v závodech mnoha zemí systematické zkoušky, jež vedly ke zdánlivým výsledkům.

V roce 1940 byl vypracován v Německu tavící proces HPN (Hamborn-Phosphor-Nitrogen), jímž se v tavenině současně sníží obsah fosforu a obsah dusíku klesne pod

\* La Métallurgie (1951), čís. 11.

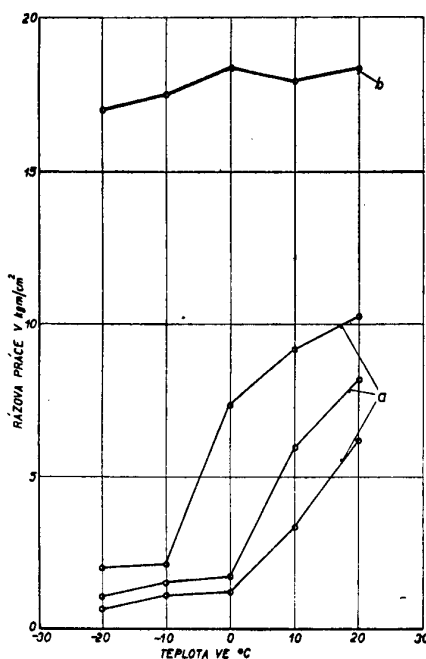
0,012 %. Tento způsob výroby se rozšířil na počátku války. Tak bylo možno vyrobit značné množství Thomasovy oceli vhodné pro tváření za studena.

Rafinace se tu provádí v konvertoru, jehož tloušťka vyzdívky dna jest opotřebena na  $\frac{2}{3}$  neb  $\frac{3}{4}$  původní tloušťky. Na počátku první peridy zkujňování se přidává ruda,



Obr. 2.

a to v množství 3 až 5 % váhy vsazeného tekutého surového železa. Desoxydace se dosáhne z jedné třetiny přidáním ferromangantu v tuhém stavu do konvertoru a ze dvou třetin roztavenou zrcadlovinou, jež se vlévá do pánev. Rovněž v Německu byl vyzkoušen způsob výroby s bočním dmýcháním větru. Tím bylo dosaženo snížení obsahu dusiku z normálních 0,016 % na 0,008 %. Tento způsob výroby oceli jest založen na myšlence, že snížením výšky taveniny, kterou prochází vítr, zmenší se rovněž množství dusíku, který může tavenina zadržet. Zlepšení sice nastane, avšak za cenu velkých potíží: je nutno zdvojnásobit dobu foukání, trvanlivost vyzdívky v cylindrové části konvertoru a jeho dna jest menší a ztráty propalem se zvyšují o další 3 % následkem toho, že se během dmý-



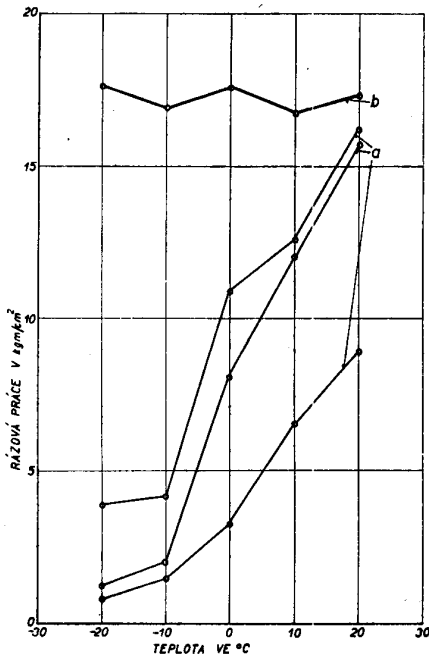
Obr. 3.

chání vytvoří kouř bohatý na železo. Proto bylo boční dmýchání nahrazeno v roce 1943 šikmým foukáním (soufflage incliné), čímž byl obsah dusíku snížen z normálních 0,016 % na 0,01 %.

V Anglii konal podobné pokusy H. A. Dickie a dosáhl značného zlepšení jakosti Thomasovy oceli. Zvětšením vnitřního průměru konvertoru snížil výšku taveniny, již prochází vítr. Vsávka byla stejná jak za normálních podmínek. Částečný tlak dusíku při styku s lázní se redukuje přidáním železné rudy neb okuíjí v válcoven. Za těchto okolností vznikne přímá oxydace, čímž se zmenší potřebné množství dmýchchaného vzduchu a zrychlí sé probíhající reakce. Protože se tím značně sníží množství dmýchchaného větru, bylo dosaženo snížení obsahu dusíku v oceli z normálních 0,012 až 0,015 % na 0,008 až 0,012 %. Zlepšení jakosti oceli, jež bylo dosaženo případami železné rudy neb okuíjí, vedlo hutníky k tomu, aby za týmž účelem použili dmýchchaného větru, obohaceného kyslíkem, a to buď bez uvedených případů nebo s nimi. Výzkumy, které byly provedeny od roku 1947 v různých zemích, bylo dosaženo zájmavých výsledků.

Při obohacení dmýchchaného větru asi na 30 % kyslíku a přisazením okuíjí se vyrobí ocel, obsahující maximálně 0,005 % až 0,006 % dusíku.

Pečlivou kontrolou všech operací při výrobě oceli v Thomasově konvertoru dosáhli Belgačané snížení obsahu du-



Obr. 4.

síku na 0,07 % až 0,012 %. Obohacením dmýchchaného větru na 30 % kyslíku a ochlazením lázně případou železné rudy neb odpadu a 60 kg páleného vápna na tunu surového železa byla vyrobena ocel o obsahu 0,004 % až 0,006 % dusíku.

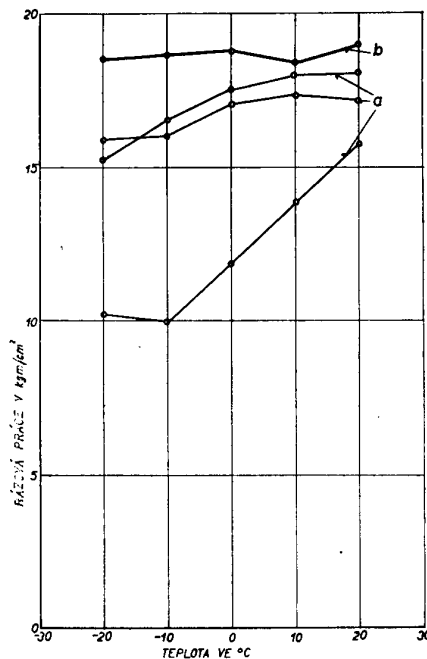
V současné době byl proveden pokus s dmýcháním větru obohaceného kyslíkem na 30 % a před skončením odúhlíčení byla do konvertoru vstříknuta sraše kyslíku a páry. Tímto způsobem byla vyrobena ocel, jejíž obsah dusíku se pohyboval mezi 0,0018 % až 0,0023 %. V praxi se však této nové techniky výroby oceli nepoužívá. Je nutno ověřit si ji ještě dalšími zkouškami.

Rovněž zkoušky provedené v jedné ocelárně na výrobu Thomasovy oceli ve Francii potvrdily, že je možno použít dmýchchaného větru, obohaceného kyslíkem na 30 %, snížit obsah dusíku na 0,003 % a přisazením surového železa neb okuíjí ještě více.

Mechanické zkoušky, provedené na Thomasově oceli, vyrobené výše uvedenými novými způsoby, dávají vyšší hodnoty než u oceli vyrobené v Thomasově konvertoru nor-

málmén způsobem. Na obr. 1 jest vynesena závislost vlivu deformace v tlaku na pevnost v tahu, a to pro Thomasovu ocel vyrobenou normálním způsobem (a), a pro Thomasovu ocel, vyrobenou v konvertorech s dmýcháním větru obohaceného kyslíkem (b). Čárkováné jsou vyznaceny výsledky zjištěné u fy Cockerill a plnou čarou výsledky fy Ougrée. Na obr. 2 jest vynesena závislost pevnosti v tahu na deformaci v tlaku pro oba způsoby výroby Thomasovy oceli. Mechanické zkoušky byly provedeny na plechách o síle 2,5 až 3,5 mm po normalizačním žíhání.

Ocele mající nízký obsah dusíku jsou houževnatější po deformaci a stárnutí. Na obr. 3 až 5 je vynesena závislost



Obr. 5.

rázové práce na teplotě u Thomasovy oceli, vyrobené normálním způsobem (čáry a zjištěné různými autory) a s dmýcháním obohaceného větru kyslíkem (b). Diagram obr. 3 platí pro ocele žíhané a deformované o 5%, obr. 4 pro ocele po žíhání, deformaci o 5% a stárnutí, obr. 5 ukazuje průběh rázové práce za různých teplot pro oba druhy ocelí ve stavu žíhaném.

Dmýcháním větru obohaceného kyslíkem je tedy možno vyrobít ocel mnohem vyšších mechanických vlastností, jež snese větší deformace za studena, než je tomu u normálně vyrobené Thomasovy oceli. Odolnost této oceli proti korosi a svařitelnost jsou rovněž vyšší.

Závěrem možno říci, že výzkum výroby Thomasovy oceli, jež by se svými mechanickými a jinými vlastnostmi rovnala Martinové oceli, je na dobré cestě. Ing. Z.

R. Durrer

Světová výroba železa v r. 1951.\* 669.18(100) „1951“

Světová výroba v r. 1951 se proti roku 1950 zvýšila o 15 mil. t surového železa a slitin železa na 147 mil. t a o 20 mil. t surové oceli a ocelové litiny na 209 mil. t. Z 209 mil. t surové oceli bylo vyrobeno ze surového železa asi 118 mil. t a z hutněním odpadu asi 91 mil. t (44%), t. j. o 11 mil. t (o 1%) více než v r. 1950. Pozoruhodné je, že přes všeobecný, několik let trvající nedostatek odpadu se pro výrobu surové oceli získalo (vezme-li se v úvahu propal) asi o 12 mil. t odpadu více než v r. 1951.

Do vysokých pecí bylo v r. 1951 přisazeno stejně množství odpadu jako v r. 1950, t. j. 10 mil. t. Protože výroba surového železa stoupala, je podíl odpadu na jeho výrobě v r. 1951 menší, než byl v r. 1950.

K výrobě železa bylo v r. 1951 spotřebováno asi 110 mil. t

\*) Stahl und Eisen, 72 (1952) čís. 24, str. 1562.

odpadu. Společně s odpadem používaným ve slévárenství (i se zlomkovou litinou) byla světová spotřeba odpadu v r. 1951 asi 120 mil. t a dosáhla tím rozsahu průměrné světové výroby surové oceli v posledních letech před válkou.

Výroba v jednotlivých oblastech se zvýšila takto:

V severoamerické oblasti (USA a Kanada) se zvýšila výroba surového železa o 5 mil. t na 67 mil. t a výroba surové oceli o 8 mil. t na 99 mil. t. Výroba v Kanadě (2,3 mil. t surového železa a 3,2, po př. 3,1 mil. t surové oceli) se celkem nezměnila, o čísla nahoře uvedená se zvýšila výroba v USA.

V západoevropské oblasti se zvýšila výroba surového železa o 5 mil. t na 44 mil. t a výroba surové oceli o 6 mil. t na 58 mil. t, tedy asi ve stejném poměru jako světová výroba, a to hlavně zvýšením výroby v zemích Schumanova plánu. Výroba surové oceli ve V. Británii klesla skoro o 1 mil. t. Přes to je V. Británie svou výrobou skoro 16 mil. t stále ještě na prvném místě, za ní je západní Německo s výrobou skoro 14 mil. t a Francie s výrobou skoro 10 mil. t. Ve výrobě surového železa postoupilo na prvé místo záp. Německo (skoro 11 mil. t), na druhé místo klesla V. Británie (10 mil. t), na třetím místě je Francie (skoro 9 mil. t). Tyto tři země dohromady, bez Sárska, vyrobily v r. 1951 asi 38 mil. t surové oceli a asi 29 mil. t surového železa, tedy o 2 mil. t surové oceli a o 2 mil. t surového železa více než v r. 1950. Výroba v Belgii a v Lucembursku dohromady se zvýšila o 2 mil. t surového železa a o 2 mil. t surové oceli na 8 mil. t surového železa a 8 mil. t surové oceli.

V SSSR a v zemích lidové demokracie se zvýšila výroba surového železa o 3 mil. t na 27 mil. t a výroba surové oceli skoro o 5 mil. t na 40,5 mil. t. Na celkové výrobě této zemí se podílí SSSR 82 % ve výrobě surového železa (v r. 1950 rovněž 82 %) a 76 % ve výrobě surové oceli (v r. 1950 77 %). Výroba surové oceli v SSSR a v zemích lidové demokracie se rovná výrobě surové oceli ve V. Británii, v západním Německu a ve Francii dohromady.

Ostatní oblasti zvýšily svou výrobu surového železa o 2 mil. t na 9 mil. t a výrobu surové oceli o 2 mil. t na 12 mil. t. Na tomto zvýšení má hlavní podíl Japonsko, které zvýšilo výrobu surového železa o 1 mil. t na 3,4 mil. t a výrobu surové oceli skoro o 2 mil. t na 6,5 mil. t. Japonsko je tedy v řadě zemí vyrábějících surovou ocel na šestém místě (USA, SSSR, V. Británii, záp. Německo, Francie, Japonsko). Také ostatní země vyrobily více než v r. 1950. V tab. I je uvedena výroba surového železa a surové oceli.

Tab. I. Světová výroba surového železa a surové oceli v mil. t

Oblast	Surové železo		Surová ocel	
	1950	1951	1950	1951
Severoamerická	62	67	91	99
Západoevropská	39	44	52	58
SSSR a země lid. demokracie	24	27	36	40
Ostatní oblasti	7	9	10	12
Světová výroba	132	147	189	209

Závěrem uvádí autor, že spotřeba železa bude asi v budoucnu pravděpodobně ještě stoupat, ale že pro nejbližší léta je výrobnost dosavadních závodů skoro příliš vysoká, nenastanou-li nepředvidané události. Co se tím míní a proč právě imperialistické země tolik zvyšují svou výrobu, je zřejmé. Jisté je, že pro mírové budování a pro další výstavbu vělkou zničených měst a závodů bude ještě dlouho potřeba zvyšovat výrobu železa a oceli.

Ber.

### Výroba oceli a ocelářské pece.

K. G. Speith—H. Bücken

Pokusy s výrobou oceli chudé dusíkem  
v malém konvertru.\*

669.184.001.4

Výroba oceli chudé dusíkem klade na provoz Thomasovy ocelárny řadu požadavků, které se dají jen těžko splnit. Použití větru obohaceného kyslíkem ke sfoukaní

\*) Archiv für das Eisenhüttenwesen 23 (1952), č. 9-10, str. 325.

Roč. VIII., čís. 3.

## Rozhledy.

## Hutnické listy.

Tab. I. Hlavní rozměry normálního a malého konvertru.

Druh konvertru	Dmyšní trubice v půdě			Lázeň		Objem konvertru		Vnitřní plocha		Průřez dmyšní trubice	
	počet	průměr v mm	průměr v mm	výška	poměr průměru k výšce	Objem konvertru		Vnitřní plocha		Průřez dmyšní trubice	
						v mm	v m³	v m³/t	v mm²	v m³/t	v cm²
normální	220	16	2480	870	2,85	23	0,77	42,6	1,42	440	14,7
malý	39	11	900	590	1,53	1,7	0,63	5,6	2,08	37	13,7

oceli chudé dusíkem slibovalo v mnoha případech určité zlepšení.

Charakteristické rozdíly mezi prací s normálním a s malým konvertem při foukání atmosférickým vzduchem.

Malý konvertr je svým tvarem podobný normálnímu konvertoru; hutnický pochod má však následkem špatného pohybu lázně a značně nepříznivých poměrů teplotních jiný průběh. V tab. I jsou srovnány hlavní rozměry normálního a malého konvertru.

U malého konvertru je pozoruhodný nepříznivý poměr průměru konvertru k hloubce lázně a větší vnitřní plocha v m²/t. Průřez dmyšních trubic na t surového železa je u obou konvertrů přibližně stejný. Tlak dmýchaného

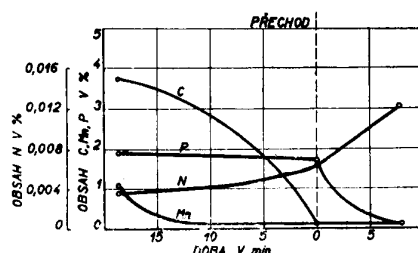
ženou na t surového železa je skoro sedmnáctkrát větší. Zvláště počínajíc obsahem 0,2 % P probíhá zestruskování P velmi pomalu (tab. III).

Tab. III. Absolutní a na vsázkou vztažená doba foukání u normálního a malého konvertru při provozu s neobohaceným větrem.

Druh konvertru	Absolutní doba foukání			Doba foukání na t surového železa		
	před přechodem	po přechodu	celková	před přechodem	po přechodu	celková
normální	17'18"	3'42"	21'	35"	8"	43"
malý	16'18"	6' 9"	22'27"	5'59"	2'15"	8'14"

Obsah N₂ stoupá průměrně od 0,0034 % na 0,0063 % až do přechodu a dále až na 0,012% v periodě dohotovení. Pozoruhodné je, že přes dlouhou dobu foukání nestoupá v malém konvertru obsah N₂ tak, jako v konvertru normálním. Vliv doby foukání, zvláště dofoukávání, na stoupání N₂ v železe je následkem malé rychlosti nadusení zaznamenán.

Obsah Fe v konečné strusce je při konečném obsahu 0,069 % P průměrně 23,42 %, tedy dosi vysoký. U normálního Thomasova provozu je takový obsah Fe jistým

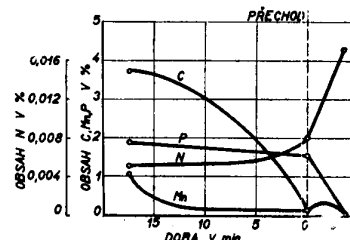


Obr. 1.

větru je u menšího konvertru o něco nižší než u velkého. Na počátku bylo foukáno tlakem 1,5 atp., pak byl tlak s ohledem na výhoz snížen na 1,2 atp. a krátce před dofoukáváním zvýšen opět na 1,8 až 2,0 atp. Vsázkou výpava musela být proti normálnímu konvertru snížena ze 118 kg/t surového železa na 81 kg/t; od chlazení vsázkou odpadem musela být u malého konvertru upuštěno. Licí pánev, používaná u malého konvertru, má nepříznivý poměr povrchu lázně k objemu; u malého konvertru je 7,52 m²/m³ proti 3,65 m²/m³ u normální licí pánev. Často se stává, že i při dostatečné teplotě lázně tvorí se v páni „svině“ a výlevka musí být často už během lití propalována kyslíkem.

Při prvních pokusech bylo pozorováno, že obsah N₂ v surovém železe během 20,8 min. stoupel z průměrné hodnoty 0,0042 % na 0,0107 %. Tím se také potvrdila stará zkušenosť, získaná u malého konvertru, že u taveb v oprotřebovaných konvertech lze očekávat kratší dobu foukání a nižší obsah N₂ (tab. II).

Při další řadě pokusů byl pozorován průběh zkujnění. Až do přechodu se tavenina chová prakticky stejně jako u velkého konvertru (obr. 1). Přechod\*) jest ostře vyhnan. Množství P zůstává nad 1,5 % tak dlouho, dokud lázeň obsahuje více než 0,1 % C. Vápník je při přechodu z větší části nerozpuštěný a železo je následkem stoupnutí tavící teploty spálením C a malého množství uvolněného tepla hustě tekuté. V periodě odfosfoření nenastává redukce Mn ze strusky. Absolutní doba dofoukávání je dvojnásobná proti době u normálního konvertru; vztah



Obr. 2.

ukazatelem vysoké teploty lázně. Tohoto důvodu u malého konvertru není, neboť teploty taveb leží vždy na spodní hranici. Hlavním důvodem malé odfosfořovací rychlosti po přechodu a silného struskování Fe je malé množství sázeného vápna; podle J. Weltera činí propočtený obsah volného vápna u taveb v malém konvertru v průměru 3 %, u normálního konvertru vždy nad 10 %. Vyzdvívka konvertru vydrží průměrně 20 taveb, půda asi 5 až 7 taveb. Následkem spotřebovaného množství dolomitů byla struska bohatá na MgO, které ještě zhoršuje odfosfoření.

Průběh tavyby provedené pro srovnání ve 30t konvertru je zachycen na obr. 2. Vsázkou odpovídá obvyklým poměrům v tamější Thomasově ocelárně. Tlak vzduchu se řídí výhozem; zprvu byl 1,7 až 1,8 atp a v periodě odfosfoření

Tab. II. Průběh foukání u starého a nově vyzděného malého konvertru.

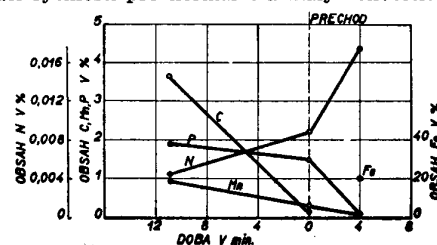
Druh konvertru	Složení surového železa v %						Doba		1. předzkouška %			Poslední předzkouška %		
	C	Si	Mn	P	S	N₂	před-foukání	dofoukání	Mn	P	N₂	Mn	P	N₂
nový	3,75	0,46	0,83	2,02	0,086	0,0035	16' 30"	6' 13"	0,047	0,278	0,0121	0,027	0,081	0,0132
starý	3,74	0,48	0,87	1,98	0,089	0,0044	14' 10"	5' 25"	0,051	0,143	0,0104	0,038	0,076	0,0104

\*) Přechodem se zde nazývá okamžik, kdy skončilo foukání a nastává dofoukávání.

Tab. IV. Odfosfořovací a nadusičovací rychlosti pro normální a malý konvertr.

Druh konvertru	Doba foukání na t surového železa		Odfosfořovací rychlosť v %/min	Rychlosť nadusičení v % N/min		Obsah N₂ v železe v %	
	před přechodem	po přechodu		před přechodem	po přechodu	přechod	konec
normální	35"	8"	0,376	15,10⁻³	260,10⁻³	0,0078	0,017
malý	5' 59"	2' 15"	0,242	18,10⁻³	76,10⁻³	0,0063	0,012

byl zvýšen na 2,3 až 2,5 atp. Při přechodu byl obsah P 1,5 %, pak však rychle klesal. Odfosfořovací rychlosť byla 0,375 % P/min. proti 0,242 % P/min. u malého konvertru. Průběh křivky Mn je vyjádřen průměrnou hodnotou 0,33 % v kovu. Jakmile klesne obsah P pod 0,4 %, nastává nová oxydace Mn za současného spalování Fe, takže jeho obsah ve strusce dosahuje průměrně 10,4 %. Obsah N₂ stoupá až do přechodu rychlosť 0,00015 % N₂/min. na 0,0078 %, pak stoupá rychlosť 0,0026 % N₂/min až do 0,017 %. V tab. IV. jsou obsaženy odfosfořovací a nadusičovací rychlosť pro normální a malý konvertr.



Obr. 3.

Základní znaky, kterými se liší malý konvertr při provozu s neobohaceným větrem od normálního konvertru, jsou tyto:

1. Značně delší doba foukání na t surového železa před přechodem, zvláště pak po přechodu.
2. Podstatně menší odfosfořovací a nadusičovací rychlosť.
3. Nižší obsah N₂ při přechodu a na konci foukání.
4. Křivka Mn je plynulá.

Tavby provedené v malém konvertru s větrem obohaceným kyslíkem.

Provedení pokusných taveb s větrem obohaceným kyslíkem v malém konvertru bylo ulehčeno tím, že teplo, obsažené v malém množství kouřových plynů, stačilo krát ztráty tepla vlastního konvertru a pánev. Skoro vždy se lilo bez poruch a bez tvorjení „svíří“ v páni, ačkoliv obsah vápna byl zvýšen s 81 kg na 120 kg/t surového železa. V mnoha případech byl přisazován ještě odpad nebo ruda k chlazení lázně. Tím bylo dosaženo přibližně týchž podmínek jako u velkého konvertru neobohaceného větrem. Současně s krátkou dobou foukání se projevilo zvýšení vsázký výpna příznivě na trvanlivost vyzdívek konvertru a půdy. Trvanlivost konvertru stoupala z 20 na 30 taveb, trvanlivost půdy z 5 až 7 na 8 až 10 taveb.

První pokusy byly prováděny s obohacením větrem kyslíkem na 30 % O₂ od počátku foukání až skoro do konce. Všeobecně se očekávalo, že poklesem partiálního tlaku dusíku a zkrácením doby foukání obsah N₂ v lázni klesne. Obsah N₂ byl však 0,014 % až 0,021 %, průměrně 0,0177 % N₂ proti obsahu 0,012 % N₂ při dmychání neobohaceného větra. Silné zkrácení doby foukání i dofoukávání je patrné z tab. V. Obsah Fe ve strusce je příznivější než při foukání neobohaceným větrem.

Průběh zkujnění je patrný z obr. 3. Křivky jednotlivých taveb mají menší rozptyl, jako všechny tavby sfoukané kyslíkem. Rozdíly ve složení surového železa, ve vyzdívce, v jakosti dna a ve zvláštních podmínkách foukání se následkem urychlění reakcí neobjevují. U velkého konvertru je také průběh foukání rovnoměrný.

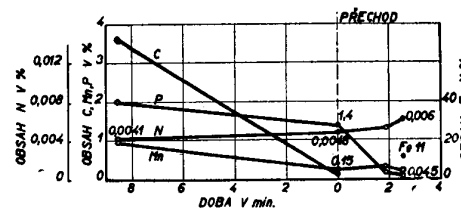
Zvláště pozoruhodný s ohledem na obsah N₂ je průběh foukání první pokusné tavby. I přes dlouhé předehřívání

plynovým hořákem se vyzdívka konvertru ohřála jen na povrchu. První tavba byla během foukání vyzdívkou tak silně chlazena, že nebylo nutné přisazovat chladicí prostředky. Až do přechodu bylo foukáno neobohaceným větrem, takže následkem chladicího účinku vyzdívky obsah N₂ stoupal značně méně než u dosud popsánych pokusů. V době dofoukávání byla rychlosť nadusičení nejprve malá (0,0005 %), neboť chladicí účinek zdola ještě působil; potom tato rychlosť stoupala až na 0,0012 % N₂/min. Protože doba dofoukávání byla následkem obohacení foukaného větra kyslíkem zkrácena na 4 minuty proti 7,5 minutám při provozu s neobohaceným větrem, obsahuje tavby v krátkém čase, v němž jsou přivedeny na dostatečně vysokou teplotu, vesměs jen 0,009 % N₂ a byly při tom dobré odlevatelné. Zvláštností malého konvertru je vysoký obsah Fe ve strusce, který, relativně hodnoceno, leží u této tavby s průměrnou hodnotou 24,2 % ještě výše než při provozu s neobohaceným větrem, což je zřejmě nepřijemný následek silného zahřátí tavby kyslíkem na konci foukání. Je-li u studeného konvertru už několik minut před přechodem přifoukáván kyslík, pak dosáhne lázeň i konvertr dříve vyšší teploty. Tomu odpovídá konečný obsah N₂ v této tavbách: 0,011 až 0,012 %. Také při přechodu jsou průměrné hodnoty N₂ už o něco vyšší než u taveb, kde je vzduch obohacován kyslíkem až po přechodu.

Tab. V. Doby foukání.

Druh foukání	Doba foukání		
	před přechodem	po přechodu	dohromady
neobohacený větr větr obohacený kyslíkem	16'18" 10'48"	6'9" 4'	22'27" 14'48"

Větší počet pokusných taveb dokazuje, že správně voleným množstvím chladicího prostředku a správnou volbou vhodného okamžiku musí být dosaženo toho, že tavba přijde k přechodu s nepříliš vysokou teplotou a tím pokud možno s nízkým obsahem N₂ a že po přechodu teplota může ostře stoupat (pokud možno) teprve v posledních minutách, po případě vteřinách foukání. U mnoha pokusů, které byly prováděny s tohoto hlediska, osvědčilo se nejlépe začít s foukáním kyslíku několik minut před přechodem, přidat krátké po obohacení rudu a v posledních minutách dofoukávání přidat mimo to 50 kg odpadu. Tyto dostatečně teplé tavby obsahovaly jen 0,007 %, po případě 0,008 % N₂. Při vyšším obohacení větra (na 40 až 50 % O₂) byla doba foukání ještě dále zkrácena. Jako chladicího prostředku mohlo být použito 100 až 140 kg rudy a 50 až 200 kg odpadu. Při tom tavby dosahly dostatečné teploty a obsah N₂ byl 0,008 až 0,009 % (obr. 4).



Obr. 4.

Roč. VIII., čís. 3.

Rozhledy.

Hutnické listy.

Přednosti, které se ukázaly u malého konvertru při obohacení větru kyslíkem, mohou být shrnuty takto:

1. Výroba dobré teplých a tedy dobré odličovacích ocelí, kterých lze při provozu s neobořeným větrem jen těžko dosáhnout.

2. Snižení obsahu N<sub>2</sub> asi na 0,008 % proti 0,012 % při provozu s neobořeným větrem.

3. Zkrácení doby foukaní skoro o 1/3.

4. Při zvýšení vsazky věpna na 120 kg/t surového železa proti 70 až 80 kg při provozu s neobořeným větrem činí ještě spotřeba 25 kg odpadu a 25 kg rudy na t surového železa.

5. Značné zvětšení životnosti půdy a vyzdívky konvertru.

6. Lepší ovládání průběhu teploty regulací stupně oboření.

#### Působení příslady rudy na obsah N<sub>2</sub>.

V průběhu pokusů se také při práci s větrem obořeným kyslíkem ukázalo, že příslada rudy má velký hutnický význam; s pomocí této příslady bylo možno dosáhnout pravidelné nízkého obsahu N<sub>2</sub>. Důvod byl hledán nejprve ve větším chladicím účinku, trvajícím delší dobou.

Při chlazení rudou byla v druhé polovině spalování C udržována teplota a tím i rychlosť nadusičení nízká. Tohoto účinku lze v zásadě dosáhnout také s pomocí odpadu. Použití rudy skýtá proti tomu ještě tu výhodu, že jejím příslazením přichází do lázně větší množství O<sub>2</sub>. Uvažujeme-li, že 100 kg rudy obsahuje 90 g Fe<sub>2</sub>O<sub>3</sub>, odpovídá to 24,8 kg, po případě 17,4 Nm<sup>3</sup> O<sub>2</sub>. Při provozu malého konvertru to znamená, že v reakční době 2 minut je foukaný větr obořen na 32 % O<sub>2</sub> a větr, obsahující 32 % O<sub>2</sub>, obořen až na 42 % O<sub>2</sub>. Tím se dosáhlo dalšího urychlení průběhu foukaní za současnou ochlazení. Příslada sloučením železa a kyslíku v rozmezí, kdy první křivka Mn ukazuje na nedostatek O<sub>2</sub>, působí zvýšení teploty věpna a rychlejší vazbu P. Přísladu rudy se tedy podaří značně snížit obsah P až do přechodu, než je to možné při chlazení odpadu. Vlivem chladicího účinku rudy je zabráněno zvýšení teploty před přechodem, spojeném se zestruskováním P. Po přechodu se následkem malého množství P, které se má zestruskovat, doba foukaní zkrátí. Tím lze také vysvětlit, že na průměrnou rychlosť nadusičení má také vliv přeložení spalování P s pomocí rudy ve smyslu nižšího obsahu N<sub>2</sub>.

#### Vliv obořeného větru kyslíkem na zestruskování Fe.

Kdežto struska u taveb z malého konvertru, zkujných neobořeným větrem, při průměrném obsahu P v oceli 0,069 % obsahuje 23,42 % Fe, dosahuje střední obsah Fe ve struse v taveb sfoukaných větrem obořeným kyslíkem při obsahu 0,060 % P v oceli jen 19,23 %. Při obořeném větru kyslíkem až do konce je možné očekávat zvýšení silnější zestruskování Fe, neboť při daném obsahu Fe v lázně jede oxydace přes kysličníky železa a jejich redukce P při trvale vysokém množství O<sub>2</sub>, které je stále k disposici, je neúplnější než obvykle.

Je výhodné pracovat v posledních minutách s neobořeným větrem, aniž je se třeba obávat nebezpečí, že tím stoupne obsah N<sub>2</sub> v lázní. B. Richtof přišel ke stejnemu pozorování a stejně tak W. von der Esche.

#### Oboření dmýchaného větru kyslíkem při tavení v normálním konvertru.

Nějaký čas po skončení pokusů v malém konvertru bylo přiročeno k pokusům v 30t konvertru s foukáním větru obořeného O<sub>2</sub>. Byly vyráběny tavby se stupněm oboření větru na 28 až 30 % a 30 až 32 % O<sub>2</sub> za současné příslady odpadu a rudy a odpadu, rudy i věpence. Nejlépe se osvědčil stupeň oboření 30 až 32 % O<sub>2</sub> a následující chlazení věpencem. Podarilo se vyrábět tavby s obsahem 0,005 až 0,007 % N<sub>2</sub>. Obsah P ležel mezi 0,031 až 0,055 %, průměrně u 9 taveb na 0,045 % P, a obsah Fe mezi 10,4 až 11,9 %, průměrně 11,0 %. Obsah P v surovém železe je 2,1 %. Dobré sfoukateľné surové železo, příznivé formy konvertru a všechny vlivy, které lze pozorovat při foukání dobré Thomasovy oceli neobořeným větrem, mají také při oboření větru kyslíkem svoji účinnost.

Vcelku lze říci, že analogické přenesení pokusů v malém konvertru do provozu ve velkém skýtá uspokojivé

výsledky, takže malý konvertr představuje cennou pomoc, pokud pokusy ve velkém nemohou být prováděny pro nepříznivé poměry.

Bř.

N. Skalla

#### Vliv alkália na mřížoví peci SM.\*

669.183.213.4

V posledních letech získala na významu pec SM, cele vyložená zásaditým materiálem. Stálými vývojovými pracemi, které se zabývaly jak jakostí použitých zásaditých tvárnic, tak konstrukcí, byla zvýšena životnost horní části peci SM tak, že do popředí počala vystupovat otázka životnosti komor, zvláště mřížoví. Použitím speciálních tvárnic na určitých částech pece se dosáhlo skoro stejné životnosti jednotlivých částí pece, takže se počet malých oprav snížil. Při sníženém počtu malých oprav není však možno opravovat mřížoví komor čistění nebo výměnou některých vrstev tak často, jak bylo třeba. Odstavení pece jen pro opravu komor nevede však ke zvýšení životnosti horní části pece, a proto se snažíme udržet pec v provozu bez odstavení co nejdéle a odsunout odstavení pece, i když to má z následkem ještě horší chod. U peci s velkým počtem taveb může však porucha na komorách vésti k předčasnemu odstavení pece, čímž se znemožní plné využití horní části pece.

Nedá-li se zaručit další životnost pece, musí se znova vyzdí horní i dolní část pece dříve, než bylo plánováno, i když se tím zvýší spotřeba zásaditých tvárnic na 1 t oceli.

Proto nechyběly snahy dosáhnout pokud možno dlouho nezměněných tahových poměrů zlepšením vlastnosti nezásaditých tvárnic, používaných pro mřížoví, změnou jejich tvaru i uspořádání v mřížoví a jednoduchým a účinným způsobem čištění.

Tvárnice mají mít takovou jakost, aby i po delší provozní době byla zaručena nezměněná nebo jen málo zhoršená výměna tepla.

Příčiny nedostatečné životnosti mřížoví je nejen vliv vysoké teploty komor, kolísání teplot, ale hlavně létavý prach. V něm jsou obsaženy hlavně kapičky strusky a železa, kysličníky železa, vápenný a rudný prach a látky přenesené palivem de pece.

Otázkou létavého prachu v souvislosti se životností mřížových tvárnic se zabýval Chesters a zjistil v prachu kysličníky železa a vápno, alkalické sírany a kysličníky zinku a olova. Bylo zjištěno, že alkália byly přítomny i v opotřebené vrstvě tvárnic; jejich obsah byl však tak malý, že nemůže být považován za hlavní příčinu tak velkého opotřebení. Opotřebení se připisuje hlavně vlivu kysličníků železa a obsahu vápna a závisí na způsobu vedení tavby a na konstrukci komor. V analýzách létavého prachu peci SM, které měly malou životnost mřížoví, je nápadný vysoký obsah alkália. Tento obsah alkália byl tak značný, že měl určitý vliv na životnost nezásaditého mřížoví. Alkálie byly obsaženy v polétavém prechu těchto pecí jako sírany.

Potíže vyvolané působením alkália na mřížoví jsou běžné u sklářských pecí. Vliv alkália na mřížoví sklářských pecí studovali Petrie a Brown a také popsali 3 případy poškození mřížoví u pecí SM. V komorách sklářských pecí a pecí SM dochází k pronikání alkália do horních vrstev tvárnic, což vede k tvorbě nefelitu (Na<sub>2</sub>O · Al<sub>2</sub>O<sub>3</sub> · 2SiO<sub>2</sub>). Dosáhne-li pronikání určité hranice, počínají se krajní vrstvy nadýmati a odlupovati. Tento zjev se vyskytuje u pecí SM hlavně v plynových komorách, ale probíhá tam poměrně pomalu, takže nemá zvláště velký vliv na životnost mřížoví. Odlupování není tak značné, aby nastala změna průřezu; nadýmáním se však tvorí přece jen izolační vrstva, která zhoršuje výměnu tepla.

Ve vzduchových komorách, kde je vyšší teplota (1300 °C), nastává silnější odtavování hořejších vrstev mřížoví. Nadodíle přílišné zvýšení teploty ve vzduchových komorách vede proto v krátkém čase ke snížení tahu pece. V jednotlivých případech se zjistilo, že horní vrstvy mřížoví vzduchových komor 30t peci SM ztratily po 500 tavbách asi 2/3 původního objemu; byly u 5 až 6 horních vrstev odtaveny do tvaru úzkého klinu a měly tenkou povrchovou vrstvičku černé glasury. Volný průřez pod těmito vrstvami byl silně zúžen ztlhlymi zbytky z taveb a létavým prachem.

\* ) Radex-Rundschau (1951), č. 1, str. 25 až 28.

Problém napadání mřížoví alkáliemi se zabývali i další badatelé. Insley sledoval životnost žáruvzdorných tvárníc použitých pro mřížoví sklářské pece a obsahujících velké množství kysličníků alkalických prvků. Zjistil, že krajní vrstvy se skládají hlavně z nefelitu, carnegieitu a korundu. Při pracovních teplotách pod 1520 °C tvoril carnegieit ochrannou vrstvu; nad touto teplotou nastávalo silné opotřebení.

V jedné evropské ocelárně byly prováděny pokusy se šamotovými tvárnicemi s obsahem 43 %  $\text{Al}_2\text{O}_3$ , ale nepřinesly význačné zlepšení životnosti mřížoví. Při tom bylo zjištěno, že v peci SM přistupuje k tomu ve srovnání se sklářskou pecí ještě vliv kysličníku železa.

Pozoruhodné, nikoliv však překvapující je stoupání obsahu alkálí v dolních vrstvách. Je nápadné, že v případech poškození mřížoví alkáliemi v amerických pecích SM, které sledoval Petrie, činilo stoupnutí obsahu kysličníku železa v krajní vrstvě jen několik procent, kdežto u jedné evropské ocelárny obsahovala tato vrstva až 39,3 %  $\text{Fe}_2\text{O}_3$  (tab. I).

Tab. I. Obsah kysličníků ve vzduchové komoře pece SM v %.

Vrstva	$\text{Fe}_2\text{O}_3$	$\text{CaO}$	$\text{K}_2\text{O}$	$\text{Na}_2\text{O}$
1—2.	39,3	3,3	5,0	2,0
3.	34,8	1,5	8,0	2,5
4.	26,3	1,9	10,0	2,3
5.	10,4	1,7	11,0	2,6

To ukazuje, že páry bohaté na  $\text{Fe}_2\text{O}_3$ , přitomné, když lázeň intenzivně vaří (u rudného pochodu) nebo když odlučování par ve struskových pytlích je znesnadněno vysokým obsahem strusky, mají značný vliv na snížení životnosti mřížoví.

O původu alkalií v odpadních plynech a v létavém prachu se zmíňuje Petrie jen krátce; říká, že mohou pocházet z oleje nebo z koksu.

Z literatury a z patentů je známo, že při výrobě nepálených zásaditých tvárnic se jako vazné látky používá látek organických,  $\text{MgCl}_2$ ,  $\text{MgS}_2$  anorganických kyselin, ale též alkalických bisulfátů. Analýzy různých druhů chemicky vázaných chrommagnesitových tvárnic evropského i amerického původu udávají, že nejlepší výrobky jsou bez alkálí a jen některé druhy obsahují asi 0,4 % kysličníků alkalických prvků.

Tab. II. Obsah alkálí v létavém prachu peci SM v %.

Pec	Počet taveb	Kysličníky alkalických prvků	$\text{K}_2\text{O}$	$\text{Na}_2\text{O}$
A	14	—	16,0	1,8
A	56	—	17,7	3,3
A	60	—	15,9	2,1
A	165	—	18,8	3,3
A	185	—	14,7	1,8
A	439	13,9	—	—
B	—	10,8	—	—
C	—	8,6	—	—

Z tab. II. vysvítá, že podíl alkálí v létavém prachu řadově nezávisí na počtu taveb pece. Kdyby alkálie pocházely z vyzdívek, musel by se jejich obsah s počtem taveb zmenšovat. Není tedy možné uvádět v souvislosti vysoký obsah alkálí v létavém prachu s nepálenými zásaditými tvárnicemi, které jsou významně alkalickými bisulfáty.

Ani vodní sklo, používané k přípravě malty, není přinášejí vysokého obsahu alkálí v létavém prachu, i když přináší dosti velké množství alkálí. Tak na př. bylo při přestavbě celozásadité 30t peci SM vytvořeno sodným vodním sklem asi 200 kg  $\text{Na}_2\text{O}$ . Přesto však obsahovaly alkálí létavého prachu převážně  $\text{K}_2\text{O}$ , který nemohl pocházet z použitého sodného vodního skla. Ani případové hmoty, jako ruda, vápno, bauxit a v poslední řadě i odpad, nemohou přicházet v úvahu jako běžné zdroje alkálí.

Rozhodující význam mají však paliva. Rozbor různých druhů uhlí, používaných k výrobě generátorového plynu, dal výsledky uvedené v tab. III.

Tab. III. Rozbor různých druhů uhlí.

Druh uhlí	Uhlí obsahuje v %			Popel obsahuje v %	
	$\text{K}_2\text{O}$	$\text{Na}_2\text{O}$	Popela	$\text{K}_2\text{O}$	$\text{Na}_2\text{O}$
D	0,28	0,068	9,97	2,83	0,68
E	0,054	0,080	4,65	1,16	1,71
F	0,137	0,116	9,10	1,51	1,29

Obsah prachu v generátorovém plynu jest asi 0,5 g/m<sup>3</sup>. Počítáme-li pro 60t pec spotřebu plynu 6 000 m<sup>3</sup>/hod., pak vychází z toho zatížení mřížoví 70 kg létavého prachu denně jen z paliva. Při velké těkovosti alkálí, zvláště draselných solí, je stoupání jejich obsahu vysvětlitelné, neboť v generátoru se vypařují a pak kondensují z plynnej fáze na jemný prach a dostanou se tak s topným plyinem do pece.

Také topné oleje obsahují 1,0 % kysličníků alkalických prvků, takže i u peci vytápěných olejem může docházet k překvapujícímu poškozování mřížoví.

V jedné západoněmecké ocelárně, kde se karburace prováděla hnědouhelným prachem, se vyskytlo značné opotřebení mřížoví, které nemohlo být odstraněno ani použitím tvárnic s vysokým obsahem  $\text{Al}_2\text{O}_3$ .

Ani v jiných ocelárnách se použitím těchto speciálních tvárnic nedosáhlo plně uspokojivých výsledků; životnost peci se tím sice zvýšila, ale nedosáhlo se ideálního stavu, aby zásaditá horní část pece mohla zůstat v plném provozu a mohla být plně využita bez ohledu na dolní část pece.

Svým způsobem má snad zásaditá horní část pece vliv na silné opotřebení nezásaditého mřížoví, kdežto u kyselejších pecí mohou vyskytující se alkálie nebo kysličníky železa reagovat na chladnější část pece (svislé tahy plynové a vzduchové) a jako alkalické nebo železité křemičitaný odkapat do struskových pytlů. To není možné u celozásadité pece buď vůbec nebo jen v malém rozsahu a reakce pak probíhají na tvárnících mřížoví.

Potíže způsobené alkáliemi se nedají vždy odstranit změnou druhu uhlí nebo topného oleje, protože ocelárně používají uhlí nebo oleje z blízkých zdrojů s ohledem na přepravní výlohy.

Zlepšení se dá dosáhnout tím, že se na mřížoví použije zásadité tvárnice, které se osvědčily jako velmi vzdorné proti alkálí. Jako příklad lze uvést, že v tunelových pecích, které jsou již několik let v provozu, kondensují alkaličtí páry na takových místech klenby, které nejsou vydány velkému tepelnému namáhání a proto se podobají vzduchovým a plynovým komorám peci SM, a způsobují tam velké škody. Na dinasové klenbě se utvořila krápníkovitá usazenina obsahující 24,0 % kysličníků alkalických prvků. Zásadité tvárnice vydržely na tomto místě několik roků beze změny a bez opotřebení.

Arbey a Grigsby popsali použití zásaditých tvárnic pro mřížoví sklářských pecí a dokázali, že životnost těchto tvárnic mnohem předčí životnost tvárnic ze šamotu, dinasu i speciálních tvárnic. Prachové usazeniny na tvárnících byly drobivé, jen na horní vrstvě byly připečeny.

Pozoruhodné jest, že plný úspěch zásaditého mřížoví se dostavil teprve potom, když byla konstrukčními úpravami zlepšena chemická odolnost zásaditých tvárnic. Proto nepřinesly pokusy se zásaditým mřížovím ve vzduchových komorách peci SM, provedené bez konstrukčních úprav, očekávané úspěchy.

K. Mayer - H. Knüppel - H. J. Därmann

Zkujnění Thomasova surového železa směsi plynu  $\text{CO}_2$ - $\text{O}_2$ .\*

669.184.2:669.173.23

Dosud k výrobě ocelí PN používané způsoby (HPN, MA, foukáním větru obohaceného kyslíkem) dávají oceli s obsahem  $\text{N}_2$  od 0,004 do 0,012 %. Pokusy prováděné s přidáváním přehřáté vodní páry do dmýchaného větru (Poruří, Belgia) a foukáním větru obohaceného kyslíkem, při předběžném předzkujnění surového železa kyslíkem, dávají oceli s obsahem  $\text{N}_2$  od 0,003 do 0,006 %. Čím nižší je obsah  $\text{N}_2$ , P a  $\text{O}_2$  takto vyráběných ocelí při obvyklém obsahu C, tím odolnější jsou tyto oceli proti stárnutí. Vliv  $\text{N}_2$  na stárnutí převyšuje trojnásobně vliv fosforu.

\* Stahl und Eisen 73 (1952), seč. 23, str. 1409.

E. Varnant foukal do konvertru směsi plynu  $\text{CO}_2$  a  $\text{O}_2$  a dosáhl v oceli obsahu  $\text{N}_2$  značně pod 0,003 % a ocel měla proto malou náchylnost ke stárnutí. Kyslík a kysličník uhlíčitý odbíral z normálních láhví, a aby zabránil tvoření tekutého kysličního uhlíčitého při zplyňování, smíšil před foukáním  $\text{O}_2$  s  $\text{CO}_2$  v nádrži, a teprve takto utvořenou směs foukal do konvertru. Pokusy prováděl ve dvou konvertrech na obsah 25 a 30 t. Množství směsi

v plynné směsi musí být s ohledem na trvanlivost dna pokud možno nízký. Jak Varnant zjistil, způsobuje 50 a více procent  $\text{O}_2$  ve směsi plynu předčasně upotrebení dmyšních trubic.

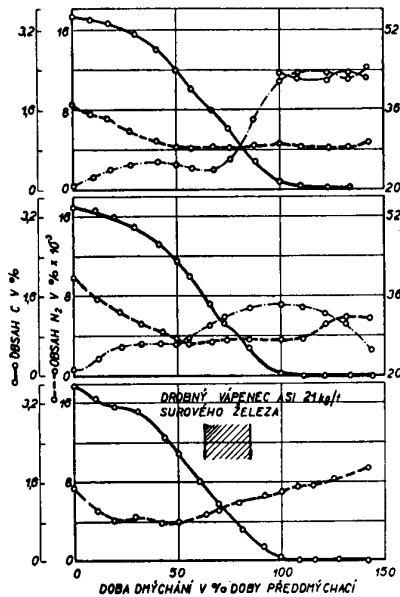
Při pokusech bylo sfoukáváno železo o průměrném složení 3,60 % C, 0,28 % Si, 0,93 % Mn, 1,78 % P, 0,055 % S a 0,008 % N<sub>2</sub>. Průměrné teploty surového železa, měřené optickým pyrometrem „Pyropto“, byly 1205 °C. Doba foukání tavby byla průměrně asi 18 minut, specifická doba foukání byla 0,67 min/t. Proti normálnímu Thomasovu pochodu nenastalo žádné zkrácení doby tavení. Pro tavby foukané jen směsi  $\text{CO}_2$  –  $\text{O}_2$  je specifická doba foukání 0,39 min/t, tedy asi stejná jako při práci s větrem obohaceným kyslíkem.

#### Vyhodnocení výsledků pokusů.

K vyhodnocení bylo použito výsledků 30 taveb, reprezentujících asi 800 t oceli. Na obr. 1 je patrný průběh tavby, zkujněných různým způsobem.

Průběh křivek obsahu  $\text{N}_2$  v lázni při foukání směsi  $\text{CO}_2$  –  $\text{O}_2$  se liší od stejných křivek při obvyklém Thomasově způsobu a při foukání větrem obohaceným kyslíkem především tím, že po dosažení nejmenšího obsahu  $\text{N}_2$  v železné lázni zůstává tento obsah již nezměněn. Obr. 2 ukazuje průběh zkujnění, analýsu odpadních plynů, jakž i spotřebované množství směsi  $\text{CO}_2$  –  $\text{O}_2$  z tavby, která byla zpracována nejprve normálním způsobem, t. j. foukáním větrem nepatrné obohaceným  $\text{O}_2$ ; ke konci oduhličení byl vítr odštěpen a tavba byla dohotovena směsi  $\text{CO}_2$  –  $\text{O}_2$ . Obsah  $\text{N}_2$  je z počátku stejný jako při normálních tavbách a zůstává stejný i po přeřazení na směs. Při foukání směsi  $\text{CO}_2$  –  $\text{O}_2$  obsahují odpadní plynky skoro 100 % ( $\text{CO}$  a  $\text{CO}_2$ ). Plynná fáze se liší od plynné fáze Thomasova způsobu v periodě fosforu. Průměrný obsah  $\text{CO}_2$  ve směsi je 56 %, v poměru k celkové spotřebě kyslíku však jen 52 %. Líci teplota byla normální.

Obr. 3 ukazuje průběh zkujnění tavby, která byla foukána jen směsi  $\text{CO}_2$  –  $\text{O}_2$ . Obsah  $\text{N}_2$  klesá také během oduhličení stejně jako při foukání normálním větrem a zůstává po dosažení nejnižší hodnoty v periodě fosforu nezměněn. Foukaný  $\text{CO}_2$  nemá zřejmě žádný vliv na pokles  $\text{N}_2$  během oduhličení. Odpadní plyny jsou složeny během celé doby tavby skoro na 100 % ( $\text{CO}$  a  $\text{CO}_2$ ). Zatím co u normální Thomasovy tavby je poměr  $\text{CO}$  k  $\text{CO}_2$  v odpadních plynech na počátku oduhličení roven průměrně 3 a během oduhličení vystoupí na průměrnou hodnotu 5 až 7, je při této tavbě tento průměr nejvice 3,7. Teplota je poměrně nízká. Tavba byla krátce před přeřazením skoro ztuhlá, takže množství  $\text{O}_2$  ve směsi muselo být zvýšeno na 50 %.



Obr. 1.

$\text{CO}_2$  –  $\text{O}_2$ , přiváděné za minutu, musí být nejméně tak velké, aby tlak zkujňovacího plynu zabránil vnikání lázní do dmyšních trubic, umístěných v půdě konvertru. Mělo být množství vyvinutého tepla na 1 t surového železa tak velké jako při foukání normálního větra, pak je podle E. Karvata množství směsi  $\text{CO}_2$  –  $\text{O}_2$  jen 0,28násobek množství větra.

Celkový průřez dmyšních trubic u konvertrů používaných k pokusům byl  $320 \text{ cm}^2$  a  $430 \text{ cm}^2$ . Aby byl v dmyšních trubicích udržen nejmenší absolutní tlak  $2,6 \text{ kg/cm}^2$ , byla celková průřezová plocha pro foukání změněna asi na  $180 \text{ cm}^2$ .

Kysličník uhlíčitý, dodaný v tekutém stavu se uskladňuje ve vysokotlaké nádrži o obsahu 13,1 m<sup>3</sup>. Protože by směsná nádrž pro množství směsi  $\text{CO}_2$  –  $\text{O}_2$ , potřebné za minutu, měla příliš veliká, zplyňuje se kysličník uhlíčitý přímo z vysokotlaké nádrže a vede se do větrovodu. Odpařovač se skládá z dvojitého spirálovitého potrubí. Zatížení výhrevné plochy odpařovače je 80 000 kcal/m<sup>2</sup>/hod. Koefficient přechodu tepla (ocelová roura – tekutý kysličník) byl odhadnut na 6000 kcal/m<sup>2</sup>/hod. Odpařovač se vytápěl nasycenou parou o tlaku 3 až  $4 \text{ kg/cm}^2$ .

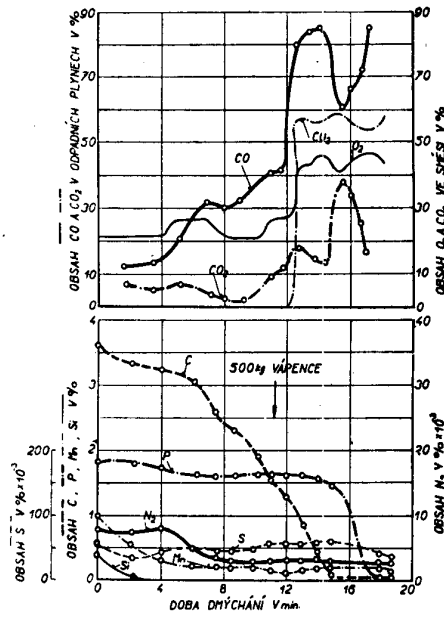
Použití těchto zkujňovacích plynů (vzduchu,  $\text{CO}_2$  a  $\text{O}_2$ ) umožňuje dalekosáhlé obměny foukání, na př.

A. foukání plynovou směsí  $\text{CO}_2$  –  $\text{O}_2$  během doby tavby;

B. foukání normálním větrem po určitou část tavby, po které následuje foukání plynovou směsí  $\text{CO}_2$  –  $\text{O}_2$ ;

C. foukání větrem obohaceným kyslíkem po určitou dobu tavby, po které následuje foukání plynovou směsí  $\text{CO}_2$  –  $\text{O}_2$ .

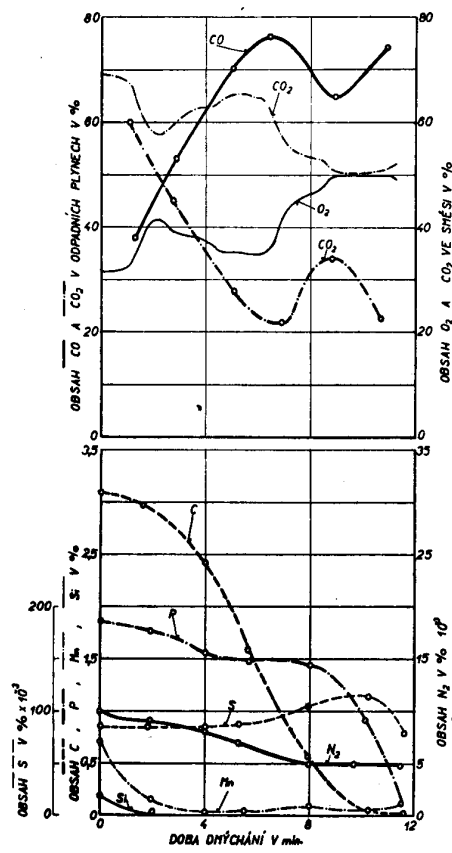
Při všech těchto způsobech lze pracovat s odpadem, s vápencem nebo s rudou. Vedení tavby je těžší než při běžném Thomasově způsobu. Spalné plyny z konvertru se skládají při foukání směsi  $\text{CO}_2$  –  $\text{O}_2$  jen z  $\text{CO}$  a  $\text{CO}_2$ ; plamen z konvertru září při tom stále silně a není možno pozorovat ukončení foukání podle plamene. Vývin kouře, zvláště ke konci foukání, je velmi silný. Doba trvání tavby a průběh teploty se dá těžko rozpoznat obvyklým subjektivním pozorováním. Bezvadného vedení tavby se dá u tohoto způsobu dosáhnout až po vytvoření objektivních možností pozorování průběhu tavby. Podíl kyslíku



Obr. 2.

Na obr. 4. je vidět nejobvyklejší průběh křivek obsahu  $N_2$  pro běžnou Thomasovu ocel foukanou normálním větrem, větrem obohaceným kyslíkem a směsi  $CO_2 - O_2$ , ve srovnání s ocelí SM.

Rozmezí obsahu  $N_2$  sahá u pokusních taveb  $CO_2 - O_2$  od 0,002 do 0,006 %; při jedné tavbě dosáhl dokonce

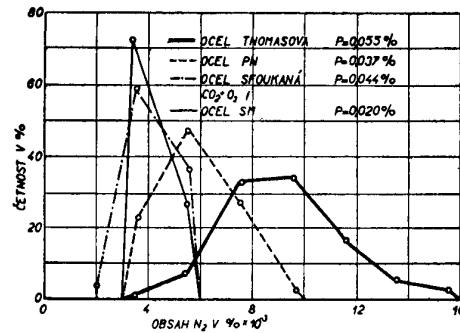


Obr. 3.

obsah 0,01 %. Varnant zjistil při svých pokusech značně nižší obsahy  $N_2$  v oceli. Foukaní směsi  $CO_2 - O_2$  do konvertru dovoluje s velkou provozní jistotou udržet  $N_2$  v oceli na maximální hranici 0,004 %. Pravděpodobně bude možno obsah  $N_2$  ještě snížit.

Ocele vyrobené foukáním  $CO_2 - O_2$  se hodí pro výrobu hlubokotažného materiálu. Foukat směs  $CO_2 - O_2$  po celou dobu tavy nedává, s ohledem na další snížení obsahu  $N_2$ , žádné další výhody a vede k neúnosné vysoké spotřebě  $CO_2 - O_2$  na t. Obměny B a C jsou s ohledem na dosažený obsah  $N_2$  v oceli rovnocenné.

Směs  $CO_2 - O_2$  má obsahovat pokud možno pod 50 %  $O_2$ ; podíl  $O_2$  má však být nejméně takový, aby konečná teplota tavy dovolovala bezvadné odlévání. Chladime-li



Obr. 4.

lázeň rudou, odpadem nebo vápencem silněji než při provozu vzduchem, musí být obsah  $O_2$  v periodě odhlížení vyšší, i když v periodě  $CO_2 - O_2$  má být obsah  $O_2$  s ohledem na trvanlivost půdy pod 50 %. Obohacení foukaného větru kyslíkem před periodou  $CO_2 - O_2$  může být použito ke zvýšení teploty lázně před přefazením na  $CO_2 - O_2$ , aby se pro ochranu půdy během foukání směsi  $CO_2 - O_2$  obsah  $O_2$  ve směsi mohl udržovat pokud možno nízký. Takový pracovní postup není však po stránce hutnické úplně správný, neboť nastává předčasné zestruskování železa. Celková spotřeba  $CO_2 - O_2$  je u pokusních taveb pro případ B a C průměrně 30 m<sup>3</sup>/t surového železa. Při foukaní  $CO_2 - O_2$  po celou dobu tavy se na 1 t surového železa spotřebuje průměrně 60 m<sup>3</sup>  $CO_2$  a 48 m<sup>3</sup>  $O_2$ . Tato spotřeba  $CO_2 - O_2$  je asi o 27 % vyšší než theoretická spotřeba  $CO_2 - O_2$ , uváděná Karvatem. Teplota odpadních plynů je podle údajů mezi 1300 až 1350 °C. Pro směs 48 %  $O_2$  a 52 %  $CO_2$  jsou udávány poměry (s ohledem na tepelnou účinnost), které jsou rovnocenné poměrům při foukání vzduchu. Tyto hodnoty nesouhlasí docela s výpočty provedenými Karvatem, odpovídají však dobře praktickým výsledkům pokusu.

#### Hospodářská stránka provozu.

S ohledem na spotřebu chladicího prostředku není způsob  $CO_2 - O_2$  tak výhodný jako foukaní větrem obohaceným kyslíkem. Cena  $CO_2$  je skoro tak vysoká jako cena čistého kyslíku; za tohoto předpokladu je náklad na 1 t surové oceli při způsobu  $CO_2 - O_2$  o 1,40 až 1,80 DM vyšší než při normálním Thomasovu způsobu, kdežto při foukaní větrem obohaceným kyslíkem o 0,30 až 0,70 DM nižší. Hospodárnost způsobu  $CO_2 - O_2$  je tedy zaručena jen tehdy, je-li možno s jistotou počítat s vyšší cenou takto vyráběné oceli.

Beř.

E. C. Wright 669.74 : 669.184.054.82  
Získávání mangantu z rud, z Bessemerových  
a z Martinových strusek v USA.\*

Autor popisuje způsob výroby „umělé manganové rudy“ ze strusky. Tento způsob se týká výroby mangantu ze strusek, odpadajících při Bessemerovém procesu. Roční spotřeba mangantu americkým ocelářským průmyslem je v současné době odhadnuta na 700.000 t. Velká většina tohoto mangantu je získávána z bohatých mangano-vých rud, které jsou z 90 % přiváženy z Brazílie, Indie, Jižní Afriky a Zlatého pobřeží. Zbývajících 10 % je americká mangano-vá ruda z Montany.

Zkoušky ukázaly, že využití nízkoprocentních amerických mangano-vých rud k výrobě mangantu je prozatím nehospodárné. Je však již dříve známo, že ocelářský průmysl vyváží na odval tolik mangano-vých strusky, kolik kovového mangantu potřebuje. Některé strusky tohoto druhu jsou v tab. I.

Tab. I. Analysa strusek z misice, strusek Bessemerových a Martinových.

	Strusky z misice	Bessemerové strusky	Strusky z pecí SM
MnO	34,10	23,90	24,10
FeO	10,70	20,24	20,50
SiO <sub>2</sub>	54,50	53,44	50,30
CaO	0,40	0,50	2,45
MgO	—	—	11,71
P <sub>2</sub> O <sub>5</sub>	—	—	14,20
Al <sub>2</sub> O <sub>3</sub>	0,20	—	46,85
		3,11	5,70
		1,32	3,30
		2,20	1,51
		3,00	—

Obsah Mn se pohybuje kolem 20 %. Četné pokusy získávat Mn louhováním, tavením nebo obohacováním přinesly jen nepatrné úspěchy. Ve struskách chudých SiO<sub>2</sub> může být mangan vylouhován H<sub>2</sub>SO<sub>4</sub> a získáván elektrolytou; veliká spotřeba H<sub>2</sub>SO<sub>4</sub>, jakož i vysoká cena proudu pro elektrolyzu činí tento způsob hospodářsky neúnosný (asi 12 až 14 kWh/kg elektrolyticky získaného Mn). Při tavení nepřipravených strusek redukčními prostředky redukuje se Fe a P, takže při tomto způsobu výroby je možné získat slitiny o nízkém obsahu Mn a o vysokém obsahu P, kteréžto slitiny jsou pro železářství neupotře-

\*) Metal Progress 59 (1951), čís. 3, str. 347.

Roč. VIII., čís. 3.

Rozhledy.

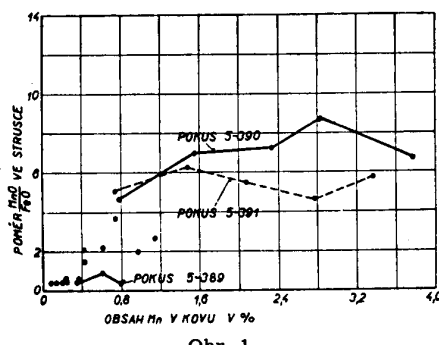
Hutnické listy.

Tab. II. Analysy surového železa, předfoukaného železa a strusky.

Surové železo obsahuje v %			Předpracované železo obsahuje v %			Struska obsa- huje v %			Poměr MnO ve strusce	
C	Si	Mn	C	Si	Mn	MnO	FeO	SiO	FeO	
4,40	1,00	4,00	1424	4,00	0,87	3,79	51,95	7,47	40,24	6,95
4,00	0,87	3,79	1462	3,96	0,61	2,84	52,89	6,18	41,00	8,56
3,96	0,61	2,84	1474	3,91	0,42	2,34	52,65	7,33	40,64	7,18
3,91	0,42	2,34	1507	3,83	0,28	1,55	52,20	7,62	39,92	6,85
3,83	0,28	1,55	1525	3,77	0,09	0,77	49,76	10,63	39,12	4,68

bitelné. Strusky s vysokým obsahem Si, jako jsou strusky odpadající u Bessemerova procesu, jsou nerozpustné v kyselině sírové a mají nepříznivý poměr Mn : Fe, jsou-li redukovány na kov přímo ve vysoké peci.

E. C. Wright předkládá způsob, jímž je možné hospodárně získávat Mn z Bessemerovy strusky. Je známo, že Mn a Si oxydují před C. Na neštěstí Bessemerovo surové železo obsahuje ve většině amerických závodů 0,6 % Mn, takže strusky obsahují všeobecně méně než 20 % MnO. Podle údajů literatury a podle úvah pisatele bylo by



Obr. 1.

výhodnější foukat Bessemerovo železo s obsahem 1 až 8 % Mn. Takové surové železo může být získáno přidáváním strusky SM, Bessemerovy nebo nízkoprocentní manganové rudy do vsázky vysoké pece. Výroba surového železa takového složení bude mít za následek nepatrné zvýšení nákladů, neboť dopravní výlohy jsou malé. Při foukání železa tohoto druhu v Bessemerově konvertru je možno získat strusky, které odpovídají složením afrického manganového rudám a obsahují asi 38 až 40 % Mn, 12 až 16 % Fe, 3 až 20 % SiO<sub>2</sub>.

První pokusy s Bessemerovým surovým železem obohaceným manganem byly prováděny v laboratoři a daly strusky o chemickém složení, uvedeném v tab. II.

Vztah mezi obsahem Mn v kovu a chování se Mn k Fe ve strusce je patrný z obr. 1.

Strusky, které obsahují čtyřnásobné množství MnO než FeO, vznikají, jež i obsah Mn po foukání v konvertru nad 0,8 % Mn. Je-li počáteční obsah Mn 7 % a vyšší, mohou být získány strusky s obsahem asi 57 % MnO, 36 % SiO<sub>2</sub> a o obsahu jen 6,5 % FeO. Poměr Mn/Fe je v tomto případě 8,7.

Práce v laboratoři potvrdily, že Mn a Si oxydují v Bessemerově konvertru nejdříve, a to dříve, než je obsah C podstatně snížen a obsah N<sub>2</sub> podstatně zvýšen. Předfoukaný kov v konvertru má za vysokých teplot ještě vysoký obsah C, což je pro další zpracování mezíkovu na ocel zvláště žádoucí. Tímto způsobem mohou být získány strusky, které mají poměr Fe příznivější než 5; tím jsou částečně hodnotnější než africké rudy. Jsou-li strusky předfoukány v kyselém konvertru, mají nízký obsah P a S. Oxydace železa se značně zpomalí, obsahuje-li lázen víc než 0,8 % Mn.

Poměr Mn/Fe je tím příznivější, čím je počáteční obsah Mn v Bessemerově železe vyšší. Sfoukáme-li Bessemerovo

Tab. III. Složení vsázky.

Vsázka	kg	Fe	P	Mn	SiO <sub>2</sub>	Al <sub>2</sub> O <sub>3</sub>	CaO	MgO
ruda Mesabi	1120	56,5	0,07	50,75	9,62	1,00	—	—
ruda Guyuna	454	47,8	0,25	4,62	12,26	3,00	0,50	1,5
struska SM	272	13,0	0,80	8,00	16,00	2,00	47,00	8,0
vápenec	369	0,50	0,03	—	3,00	1,00	53,00	1,0
koks	908	0,7	0,02	—	5,75	3,00	—	—

spotřeba koksu: asi 900 kg/t surového železa,  
množství strusky: asi 600 až 700 kg/t surového železa.

železo s obsahem 4 % Mn na 0,8 % Mn, pak obsahuje struska asi 30 kg Mn na 1 t Fe. Oddělí-li se 80 % této strusky od lázně, upraví a roztaví, lze získat asi 24 kg kovového Mn. Protože americké ocelárny sázejí přibližně 50 % surového železa a 50 % ocelového odpadu, může hutní závod, používajícího tohoto výrobního způsobu, získat zpět z Bessemerova surového železa se 4 % Mn asi 12 kg Mn na 1 t oceli. Spotřeba Mn je tedy 6 až 7 kg Mn na 1 t oceli. Může-li hutní závod vyrábět jako polovinu své výroby surového železa Bessemerovo surové železo s obsahem 4 % Mn, může krýt, podle mínění pisatele, svoji spotřebu Mn.

Je-li ocelářský průmysl s to zpracovávat v pecích SM surové železo o obsahu 0,5 až 1,0 % P, může dávat k dispozici velká množství strusky SM k výrobě Bessemerova surového železa, bohatého Mn. Protože ocelářský průmysl na jihu Spojených států pracuje již delší dobu úspěšně s 0,8 % P v surovém železe, je tento způsob, podle názoru autora článku, snadno proveditelný.

V tab. III je příklad složení vsázky pro výrobu Bessemerova surového železa s obsahem 4 % Mn a 0,5 % P.

Tímto způsobem může pracovat huť s 3 vysokými pecemi a 10 pecemi SM na 300 t a získá zpět velkou část Mn, když 2 vysoké peci a 7 pecí SM pracuje s normálním surovým železem. Tyto peci vyrábějí 75 až 100 kg strusky SM na 1 peci, s obsahem 8 % Mn a 0,8 % P. Třetí pec vyrábí Bessemerovo surové železo s obsahem 4 % Mn a 0,5 % P, při čemž může být sfoukán v konvertru získáno zpět 24 kg Mn na 1 t surového železa, zatímco předfoukaný kov se zpracovává v dalších 3 pecích SM.

Zpracováním umělé manganové rudy s obsahem 50 % MnO, 40 % SiO<sub>2</sub>, 10 % FeO, získané v konvertru, můžeme vyrábět silikomangan se 60 % Mn, 15 % Si a 20 % Fe. O hospodárnosti popsaného výrobního způsobu bude se moci mluvit teprve tenkrát, až bude provedeno více zkoušek v provozu. Projeví se tam také zvýšení výrobních nákladů u vysoké pece při výrobě Bessemerova surového železa o vyšším množství Mn, neboť množství strusky a spotřeba koksu stoupne. Sfoukání v konvertru bude mít za následek nové náklady.

Odhad výrobní ceny umělé rudy při obsahu 50 % MnO je asi 6 centů na kg Mn.

Nízkoprocentní manganové jihoafrické rudy, které mají podobný obsah Mn, stojí v současné době 55 centů za jednotku Mn, t. j. asi 5,5 centů/kg. Z toho vyplývá, že náklady na výrobu strusky jsou větší. Na druhé straně je srovnání děláno za předpokladu výroby strusky, obsahující jen 50 % MnO; při vyšším obsahu Mn výrobní náklady pravděpodobně poklesnou.

### Zpracování tvářením (kování, lisování, válcování, tažení).

Erich Schauf

Časové problémy oceli na plech a pásky\*

669.14.018

Požadavky průmyslu na jakost plechu silně stoupaly, válcovny se však musí přizpůsobit nejen témtěto požadavkům, nýbrž i vlastnostem oceli, z níž se plechy vyrábějí, což se neobejde přirozeně bez obtíží. Hlavní požadavky zpracovatelů plechů jsou přesnost v tloušťce, bezvadný povrch, dobrá tvárnost, hlubokotažnost a povrch vhodný pro pocínování, zinkování, lakování a smaltování.

Aby se dosáhlo stejnomořnosti v tloušťce plechu, smí metrová váha plóštin kolísat jen v rozmezí ± 4%; toto

\* Stahl und Eisen (1952), sešit 15, str. 892.

rozmezí však časem stouplo až na 10 %, ba dokonce i více. Pro válcování za studena má mítí pás vyválcovaný za tepla stejnoměrnou šířku po celé své délce a stejnomořnou tloušťku jak po délce, tak i po šířce. Výkyvy v tloušťce pásů se zmírnily. Tloušťkové rozdíly 0,50 mm na šířku se zřídka vyskytují; obvykle leží mezi 0,15 a 0,30 mm. Příčinou jest rozdílná tvrdost pásu vyválcovaného za tepla, způsobená nestejnoměrným ohřevem bram nebo ochlazením pásů; tato rozdílná tvrdost má ještě další nemilé následky v podobě potrhaných okrajových pruhů, přetřízených pásů válcovaných za studena, poškozených nebo zlomených pracovních i opěrných válců. Povrch plôštin a pásů válcovaných za tepla má být prost zaválených okuíjí a jiných povrchových vad, které se přenáší na plech.

Jak veliký vliv mají všechny tyto vady na výtěžek, je patrnó z několikaměsíčního průzkumu, který byl prováděn v závodě Wissen a při němž bylo shledáno, že 58,2 % výmětu bylo zaviněno nedokonalým polotovarem. Podle příčin připadalo z toho na:

zaválcovanou struskou	33,2 %
drsný povrch	17,8 %
zbytky žáruvzdorného materiálu na povrchu	3,3 %
puchýře	1,3 %
ostatní vady	2,6 %

Tvrnost ocelí závisí na vhodném chemickém složení, obsahu vmeštáků, na vycenzeňích, dutinách, na stejnoměrném jemnozrném slohu, kterého se dosahuje hlavně teplým zpracováním. Mívá na ni vliv také složení, stejnorodost a čistota oceli.

V seznamu ocelí (Stahl-Eisen-Liste SEL) jest uvedeno 14 druhů oceli. Toto vysoké číslo vyplývá z rozdělení podle způsobu výroby: Thomasova, Martinova a podle stupně desoxydace: uklidněná, neuklidněná. Následuje pak přehled značek.

V zájmu odběratele by se doporučovalo počet druhů zmenšit.

Jako příklad vlivu složení na tvárnost uvádí autor vika pro plechovky:

Plech	Tvrnost HV	C	Mn	P	N
tvárný	100–120	asi 0,11	0,22–0,30	asi 0,02	0,007
pružný					
po tváření	140–175	asi 0,11	0,45–0,50	asi 0,06	0,02

Na základě statistického šetření v závodě Wissen bylo zjištěno, že uhlík ve většině případů leží v předepsaných mezích, jeho obsah bývá však podkročován, což znamená, že omezení obsahu uhlíku nahoru nečiní ocelnám potříze. Obsah Si v uklidněných ocelích bývá překračován, čemuž se dá snadno odpomoci. Ještě více bývá překračován obsah mangani. P a S jsou velmi nízké, hluboko pod předepsanou hranicí, takže snížení jejich mezních hodnot by bylo možné. Vcelku byly výkyvy ve složení větší, než je přípustno; proti roku 1949 nastalo však zlepšení.

Na pásech válcovaných za studena z neuklidněné hlubokotažné oceli se vyskytlo mnoho vmeštáků ze žáruvzdorného materiálu v pruzích, které zaujmaly skoro celou šířku pásu. Ve stejnou dobu byly pramenem obtíží odmíšeniny, staženiny a puchýře v oceli. Odmíšeniny fosforu a síry způsobují trhliny a lomy, odmíšeniny síry mají nepříznivý vliv na počátek rekristalizace. Zádouci je proto vrchní hranice obsahu síry 0,035 %, nebo odstranění části ingotu s vyšším obsahem síry. Puchýře se vyskytují občas jaké epidemi, která postihuje nejen neuklidněnou ocel, ale i ocel uklidněnou. Tyto vady se projevují nepříznivě při zpracování plechu (lisování, pocínování).

Na celém světě se tenké plechy vyrábějí z uklidněné oceli, ježto při válcování méně lepí. V Německu se bere uklidněná ocel i na hlubokotažné plechy o tloušťce nad 0,63 mm. Materiál z uklidněné oceli je hutný a prostý dutin a připisuje se mu ještě stejnoměrné chemické složení a menší stupeň odmíšení, což je podle zkušenosí pochybné. Nevýhodou je značný obsah kysličníku prvků použitých na uklidnění. Z nich zvláště  $\text{Al}_2\text{O}_3$  způsobuje povrchové vady. Naproti tomu plech z uklidněné oceli má velmi čisté okrajové pásmo, nečistoty jsou nahromaděny ve střední části a proto méně nebezpečné. Plech je dale prost Al a Si, které snížují tvárnost. Nevýhodou jsou okrajové dutiny, silnější odmíšení a sklon k stárnutí. Zdá se, že se v cizině podařilo tyto vady zmírnit.

Výroba plechu končí obyčejně průchodem válcí za studena asi při 1% úběru mimo u plechu z oceli Thomasovy. Ježto u spotřebitele jsou plechy na skladě déle než 3 měsíce a při lakování se zahřívají na teplotu 200 až 220°, záleží velmi na sklonu k stárnutí. Snížení tohoto sklonu je důležitým hutnickým úkolem, neboť zestárlý plech jest tak křehký, že nesnese ohyb o 180°.

Výtěžky jednotlivých druhů plechu jsou:

STVIIIc z oceli Mbk6 válcované za tepla	40,3 %
STVIIIf z SM oceli válcované za studena	50,5 %
STVI z SM oceli válcované za studena	71,7 %

Výtěžek plechů z uklidněné oceli Mbk se snižuje ještě ztrátami při žíhání, moření, stříhání a výmětem na pouhých 300 kg z jedné tuny oceli. Plechu STVI se vytěží v bezvadné jakosti 66 %. V roce 1951 se výtěžek zvýšil. V článku jsou obrázky vad a diagramy četnosti znázorňující složení oceli.

#### Poznámky k článku.

Názor autorův, že pro 5 druhů plechu jest 14 druhů oceli mnoho, je správný. Složení tavbového vzorku nehraje při oceli na plechy takovou roli jako složení ploštin a toto se často od tavbového vzorku odchyluje zvláště u neuklidněné oceli.

Složení ploštin pocházejících z jedné tavby je různorodé a je proto výhodné, rozdělím-li ploštiny podle jejich chemického složení a použijeme-li jich vhodně pro určitý druh plechu. Pak vystačíme s ocelí SM téměř s jedním předpisem chemického složení tím spíše, že obsah P a S je ve většině případů velmi nízký, jak se autor též sám zmiňuje.

Bohužel, neurčujeme dosud běžně v oceli kyslík pro nedostávající vybavení laboratoří. Pravidelné sledování obsahu kyslíku v hlubokotažné oceli je nutné a osvětí nám mnoho záhadu. Rovněž i určování vodiku je pro hlubokotažnou ocel velmi důležité.

Proti cizině používá se u nás na velmi tenké plechy neuklidněné oceli, ovšem za neustálého boje s lepivostí, která zůstává stálým problémem, stejně jako epidemie puchýřů, která se u nich často objevuje. Ing. Otta.

## Výroba a zpracování neželezných kovů a slitin.

G. M. Nikitin

### Výroba antimonového bronzu Br Sn N7–2.\*)

Podle Normalu S 1–667–48 má bronz Sn N7–2 složení: Sb 7–8 %, Ni 1,5–2,5 %, nečistot < 0,75 %, zbytek Cu.

Struktura slitiny pozůstává z měkké fáze  $\alpha$ , sestávající z tuhého roztoku Sb a Ni v Cu, a tvrdé fáze  $\beta$ , která obsahuje 30 až 40 % Sb. Struktura i rozdíl v tvrdosti obou hlavních fází dávají předpoklad pro užití slitiny jako ložiskového materiálu. Podle normálí je slitina určena pro součásti namáhané třením a tlakem do 280 kg/cm<sup>2</sup> při kluzných rychlostech do 5 m/v, pro ozubená kola, pouzdra obrábcích strojů, elektromotorů a podobně, a nahrazuje cínový bronz Br OF 10–1.

Mechanické hodnoty bronzů Sn N 7–2 a OF 10–1 odlišity do sušených forem jsou obsaženy v tab. I.

Antimonové bronzy lze tavit v každé běžné peci, je však třeba pamatovat na to, že antimon je v cínových bronzech nežádoucí a že nutno keřímek rádně vyčistit.

Slitina se buď natavuje z čistých kovů nebo z předslitin Cu Ni 80/30 a Cu Sb 50/50. Komponenty antimonových bronzu jsou náchyně k tvorění hydridů, ze kterých hydridy mědi a niklu jsou tuhé, antimonu plynné. Slitina nemá být před tavením vlhká, aby se zabránilo póravitém

Tab. I. Mechanické hodnoty Sn N 7–2 a OF 10–1.

Vlastnost	Br Sn N 7–1	Br OF 10–1
pevnost v kg/mm <sup>2</sup>	18	20
tažnost v %	4	3
tvrdost H <sub>B</sub>	90	90
měrná váha g/cm <sup>2</sup>	8,6	8,6
tavící teplota v °C	1050 až 1080	945 až 970
zabíhavost v cm	22 (1150 °C)	45 (1150 °C)

\*) Litějnoje proizvodstvo (1951), čís. 11, str. 29.

odlítkům. K ochraně slitiny slouží vrstva dřevěného uhlí, které se před nahozením na povrch lázně vypaluje. Odlítky se vždy liší do dobře vysušených forem.

Do rezehráté pece a kelímku se nasadí měď a nikl nebo mědiník a taví v neutrálním nebo lépe v slabě oxydačním prostředí. Po přehřátí na 1250 °C se tavba desoxyduje fosforovou mědi (0,25 % Cu P 90/10), promíchá a nasadí Sb nebo předslitina Cu Sb.

Lázeň se znova co nejrychleji přehřeje na 1250 až 1270 °C, znova desoxyduje 0,25 % Cu P a kontroluje na naplynění.

Roste-li vzorek, ochladí se kov na 1030 °C, rychle ohřeje na 1250 až 1270 °C a výjme z pece.

Nasazují-li se větší množství vrátného materiálu, nebo taví-li se slitina v silně oxydačním prostředí, může vzniknout velmi stálá a velmi těžko struskovatelná sloučenina Cu<sub>3</sub>Ni<sub>2</sub>SbO<sub>6</sub>, jejíž přítomnost silně zhoršuje mechanické vlastnosti slitiny. Proto se v tom případě lázeň kryje některým basickým materiálem, sodoú, vápencem nebo dolomitem, kterým vzniku této sloučeniny zabránil.

Pro formy se užívá písku o zrnění 70/140 s prodyšností 60 až 70 a pevností ve smyku 0,25 až 0,3 kg/cm<sup>2</sup> při vlhkosti 6 až 8 % a mísi se asi 80 % starého, 15 % čerstvého písku a 5 % ohnivzdorné hliny. Jádra se hotoví z písku o zrnění 50/100 s prodyšností 120 až 125 a pevností ve smyku 0,3 až 0,5 kg/cm<sup>2</sup> v syrovém a 4 až 8 kg/cm<sup>2</sup> v sušeném stavu. Jádra se hotoví z písku se 2 až 3 % vlhkostí.

Metody lití antimonových bronzů jsou tytéž jako u cínových bronzů; formy se suší 12 až 18 hodin při 300 až 350 °C, jádra 10 až 15 hodin při 150 až 180 °C. Licí teplota je 1150 až 1200 °C při tenkostenných a 1100 až 1150 °C při tlustostenných odlitcích.

Ma

### Speciální kovy a slitiny.

J. L. Everhart

Vlastnosti a použití hafnia\*)

669.29:546.832

V posledních letech byla vyrobena řada nových kujných kovů. Některých, jako titanu a zirkonu, se již používá v průmyslové výrobě, jiné se teprve počínají průmyslově vyrábět.

Jeden z těchto nových kovů je hafnium. Tento kov byl laboratorně vyroben asi před třiceti lety a teprve asi dva roky se vyrábí jedosačním procesem ve tvaru tyče o váze asi 5,5 kg.

Hafnium i zirkon se nacházejí společně v rudách. Obsah hafnia v rudách kolísá mezi 0,2 až 15 % obsahu zirkonu.

Vlastnosti hafnia i zirkonu jsou v mnohem směru značně podobny a proto je rozdružení obou kovů obtížné a je možno je provést jen chemickou cestou.

Po rozdružení obou kovů se získává hafnium v kovo-vém tvaru podobně jako zirkon.

Hafnium se služuje dýchavě se všemi plyny mimo plyny vzácné. Pro velkou slučivost s kyslíkem nedá se hafnium desoxydovat. Při větším množství rozpuštěného kyslíku hafnium trvale křehne a proto je nutno věnovat velkou pozornost tavení, aby kov zůstal kovatelný. Tavení se provádí v obloukové peci s argonovou atmosférou, čímž se získá čistý kov pro další zpracování. Hafnium se dále zpracovává kováním, aniž hrozí nebezpečí přílišné oxydace. Kombinaci tváření za tepla a studena se z něho vyrábějí dráty a tyče.

Vlastnosti hafnia jsou podobny vlastnostem zirkonu a titanu a jsou patrný z tab. I.

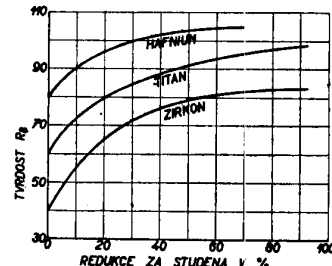
Tab. I. Porovnání vlastností hafnia, zirkonu, titanu.

	Hafnium	Zirkon	Titan
Specifická váha, g/cm <sup>3</sup>	13	6,5	4,5
Tavěcí teplota, °C	1976	1846	1726
Tepelná vodivost, kcal/hod. · m · °C	—	14,3	12,06
Koefficient roztaživosti od 0 °C do 20 °C	$3,4 \times 10^{-6}$	$3,1 \times 10^{-6}$	$5,0 \times 10^{-6}$
Elektrický odpor mikro-ohm-cm	30	40	60
Elektrická vodivost v %	5,7	4,3	3,1
Modul pružnosti kg/cm <sup>2</sup>	1,460.000	984.000	1,055.000

\*) Materials and Methods, Vol. 36, čís. 5, listopad 1952.

Odolnost proti oxydaci za tepla je značná. Zkoušky, které byly prováděny v klidném vzduchu za teploty 740 °C, prokázaly, že hafnium a zirkon se okysličují téměř stejně, avšak za teploty 900 °C bylo okysličení hafnia poloviční okysličení zirkonu.

Odolnost hafnia proti korosi se stále zkoumá. Obecně se dá říci, že odolnost hafnia proti anorganickým kyselinám se podobá odolnosti titanu. Zirkon, hafnium a titan vzdorují přibližně stejně 10% roztoku kyseliny sírové, hafnium má poněkud vyšší korosivní odolnost než ostatní oba kovy ve směsi kyseliny solné a sírové v poměru 1:1.



Obr. 1.

Všechny uvedené kovy výborně odolávají účinkům 20% roztoru NaCl, hafnium má však v tomto případě poněkud horší odolnost než ostatní kovy. V 50% roztoru NaOH má hafnium vyšší korosivní odolnost než titan, ale menší odolnost než zirkon.

Toto prozatímní výsledky ukazují, že hafnia lze použít v korosivním prostředí pro zvláštní účely.

Hafnium možno tvářet za tepla na vzduchu až po teplotu 900 °C. Ková se stejně jako zirkon lehkými rázy, aby nedošlo k jeho praskání.

Na obr. 1 je patrný vliv kování za studena na hafnium, titan a zirkon. Hafnium je nejtvrdší z těchto tří kovů. Bez ohřevu je možno provést redukci až o 30 %. Přirozená tvrdost hafnia R<sub>B</sub> 78 se zvýší po zpracování za studena, na příklad po redukcí o 60 %, na R<sub>B</sub> 102.

S tvářením za studena není dosť zkušeností, je však pravděpodobné, že hafnium může být ohýbáno, taženo i lisováno stejně jako zirkon, ovšem s menšími redukčními protože má vyšší přirozenou tvrdost než zirkon.

Krystalická struktura hafnia je podobná struktuře hořčíku; kovy s touto strukturou se zpracovávají hůře než kovy, mající strukturu podobnou železu nebo mědi.

Možnost sváření se dá u hafnia zlepšit podobně jako u zirkonu ohřevem na 200 °C.

Při teplotě 1315 °C se mění krystalická struktura hafnia ze šesterečné soustavy (což je jeho struktura za obyčejné teploty) v soustavu krychlovou, středově centrickou.

Tato transformace je stejného druhu jako u zirkonu za teploty 860 °C, nebo u titanu za teploty 886 °C.

Za studena tvářené hafnium dokonale rekrystallisuje za teploty 780 °C.

Hafnium lze spájet podobným způsobem jako zirkon, svářuje se obloukově nebo odpovídá v inertní atmosféře. Oblast svaru musí být dokonale kryta, má-li být zachována kovatelnost svaru.

Při zavádění nového kovu setkáváme se vždy s tím, že jeho praktické použití je možné tehdy, až jsou vyhodnoceny všechny jeho specifické vlastnosti. Kromě zvláštního použití v oboru atomové energie, které není blíže známo, nepoužívá se ho se ještě ve větším měřítku v průmyslové výrobě. Prozatím se ho používá v elektrotechnice pro elektronky a v práškové metalurgii ve směsi s mědí, stříbrem a niklem. -C-k-

### O tvrzeném cínu.\*)

669.6

Obyčejný „cín“ litý nebo kovaný se po válcování velmi snadno bortí a předměty, jež se z něj vyrábějí, ztrácejí svůj tvar. Lité součásti se často spojují s válcovanými nebo soustruženými částmi spájením, což ještě více přispívá ke ztrátě tvaru. Někdy se tím stávají předměty nepotřebné.

\*) Tin and its Uses (1951), čís. 25, prosinec.

Byl učiněn pokus legovat cín s antimonem nebo mědí, ale získaná slitina je velmi křehká pro zpracování kováním a soustružením, i když vyhovuje požadavkům slévání. V poslední době byla nalezena slitina obsahující 1½ % vizmutu s malými příslušníky antimonu a mědi. Tato slitina je mnohem tvrdší než obyčejný cín, odlévá se do bloků, jež se během válcování stávají měkkými, a pak se zase soustruží a ková a konečně tepelným zpracováním se ztvrdí. Typické složení slitiny a její vlastnosti ve srovnání s obyčejným „cínem“ (do něhož jsou, jak známo, obvykle přidány antimon a měď) jsou tyto:

	Složení (zbytek : cín)			Tvrzost podle Vickerse		
	S	Cu	Bi	litá	válcovaná a soustružená	teplně zpracovaná 3 hod na teplotě 150 °C
Obyčejný cín	6	1,5	—	23	13	18
Nová doporučovaná slitina	6	2	1,5	29	13	28

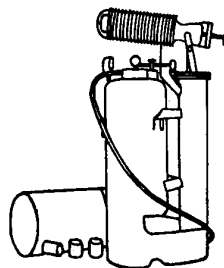
Při tepelném zpracování slitina se někdy povléká černým povlakem. Povlak se dá odstranit leštěním, nebo se do slitiny za tavení přidá 0,1 % P, jako fosforový cín s 5 % fosforu.  
kjt.

### Všeobecné hutnické problémy.

Nový využívání kyslíku.\*)

661.93

Ve Francii byl zhotoven stroj (obr. 1), v němž možno vyrobít kyslík na kterémkoliv místě, tedy nezávisle na kyslíkárně nebo dodávkách kyslíkových lahví. Kyslík se v tomto stroji využije rozpadem chemicky připravené hmoty tvarů válečků. Rozpad se děje v zásobníku, z něhož plyn klesá trubkou do čističe a shromažďuje se v nádrži. Redukčním manometrem, jenž je umístěn na výstupní



Obr. 1.

trubce, je možno vyregulovat potřebný pracovní tlak. Rozpad vsázký trvá čtvrt hodiny a v nádrži je 1 m<sup>3</sup> kyslíku. Zpětný ventil zamezí vnikání vytvořeného plynu z nádrže do zásobníku. Tak je možno plnit zásobník i před odčerpáním kyslíku z nádrže. Činnost zařízení je tedy nepřetržitá. Kyslík je nahromaděn v nádrži pod tlakem 15 až 18 atm a je ho možno odbírat maximálně 2 m<sup>3</sup> za hodinu. Obsluha tohoto stroje je stejná jako u acetylénového využívání. Používá se ho v případech nedostatku nebo při obtížích při zásobování kyslíkem v lahvích. Stroj váží 120 kg a má tyto rozměry: 156 × 54 × 78 cm. Kyslíkové náboje se dodávají v kovových uzavřených sudech. Obsah jednoho sudu vystačí na 10 vsázk. Zá.

\*) Soudure (1952), 9-10.

### Různé.

Heinemann

Konec chemické laboratoře??)

542.1.001.6

Z radarové techniky se využívá spektrografie ultra krátkých vln (3 cm). Tato hledá frekvenci, při níž v určité látce nastává rezonance. Z toho se pak dá odvodit ato-

\*) Giesserei (1952), č. 8, str. 199.

mová a molekulární stavba. Krátkovlná spektrografie přinesla celou řadu nových poznatků o stavbě molekul, o drahách a rotaci elektronů, jakož i o vlastnostech protonů a neutronů. Ježto molekula každé látky má svoje specifické spektrum, dají se ultrakrátké vlny použít pro některý druh chemických zkoušek.

Pomocí vysilače ultrakrátkých vln, jehož frekvence harmonuje s uhlíkovým atomem, dá se určit obsah uhlíku v kuse železa, oceli nebo i v tekuté lánici na základě intenzity, s níž jest pohlcována vlnová energie zkoumaným předmětem.

Bude tedy možné sledovati obsah uhlíku v lánici během zkujování a případně jej registrovat. Nebude také obtíži podobným způsobem zachytiti i obsah ostatních prvků, včetně plynů (Mn, Si, P, S — O, H, N).

Ježto rotace čili resonance molekuly jest výrazem teplosty, dá se určiti i tepelný průběh tavby. Ale i strukturu při temperování, žihání a kalení bude asi možné sledovati, případně i ovlivniti krátkými vlnami. O.

D. C. Herbert—E. A. Jenkinson 669.71:669.14.018

### Vliv hliníku na pevnost oceli při tečení.\*)

Ve své nedávnné přednášce podali autoři výsledky několikaletého výzkumu vlivu obsahu hliníku a různého typu zpracování na tečení trubek k předehříváčům ze zasaditě martinské uhlíkové oceli. Zkoumaly se tři ocele stejněho složení s příslušnou 0,45, 0,90 a 1,35 kg hliníku na tunu oceli. Činitelé, kteří měli při zkouškách vliv na pevnost za tečení za tepla, byli: obsah hliníku a obsah kyslíku. Ocele s nehoršími vlastnostmi měly vysoký obsah hliníku (0,014 až 0,22, 0,056 až 0,065%) a nízký obsah kyslíku (kolem 0,004%). Ocel s dobrou pevností za tečení za tepla měla nízký obsah hliníku (0,005 až 0,007%) a dosti vysoký obsah kyslíku (0,010 až 0,014%). U všech tří zkoušených ocelí se zjistil týž všeobecný vzájemný vztah mezi pevností za tečení za tepla a obsahem kyslíku. Autoři uvádějí, že ocel s příslušnou 0,45 kg hliníku na tunu měla uspokojivou pevnost při tečení ve všech stavech výroby a tepelného zpracování. Ocel s příslušnou 0,90 kg hliníku měla rovněž dobré vlastnosti po tažení za studena i za tepla. Třetí ocel s příslušnou 1,35 kg dávala nízké hodnoty před tažením i po něm. Ferritickoperlitická struktura ocelí nedala žádný náznak jejich vlastností za tečení za tepla. McQuaid-Ehnova struktura byla normální v případě jedné oceli, avšak abnormální u dvou ostatních ocelí. OVÚ.

\*) Iron and Coal Trades Review 165 (1952), čís. 4412, str. 957.

M. H. Kraemer 669.1.004.17(47)  
Podmínky zvyšování výroby železa a oceli v SSSR.\*)

Na XIX. sjezdu KSSS pronesli zajímavé diskusní příspěvky ředitelé a hlavní inženýři hutních závodů Petrovského a Dzeržinského. Rečníci zdůraznili, že požadavkům na lepší využití kapacity železáren lze vyhovět za těchto předpokladů:

1. Racionálisace úpravy rud a tavidel,
2. úplné vyloučení prachových rud ze vsázký,
3. nové a lepší spékací metody,
4. redukce prachových rud mimo vysokou pec,
5. použití vysokých tlaků větru ve vysoké peci,
6. dmýchání páry výfúčnami vysoké pece,
7. automatické řízení tlaku a teploty ve vysoké peci,
8. přezkoumání a nové výpracování profilu vysoké pece,
9. použití kyslíku při výrobě oceli v peci SM a při bessemerování, případně thomasování.
10. vývoj nových žáruvzdorných hmot,
11. nová technologie práce v konvertru,
12. předeheřívání válcovaného materiálu na vyšší teplotu,
13. lepší kalibraci válců,
14. použití válců, zvlášť válců odolných proti opotřebení.

Rečníci považovali za nutné, aby se k dosažení tohoto cíle plánovitě prováděly výzkumné a vývojové práce a ihned se přenášely do praxe. Presto, že je k dispozici dostatek poznatků právě o používání směsi páry a vzduchu, o provozu vysoké pece pod tlakem a přepracování profilu vysoké pece, udělalo se v praxi v těchto oborech velmi málo. OVÚ.

\*) Metallurgie und Giessereitechnik 2 (1952), čís. 11, str. 377 až 378.

**PŘEHLED HUTNICKÉ LITERATURY**

ŘÍDÍ ING. A. HEJNA  
Březen 1953

**METALOGRAFIE.**

Bastien P., Denien J.: **Sur la position du point Ar<sup>99</sup> dans les aciers inoxydables au chrome-nickel et son déplacement par écoulement.** 6 diagr., 1 tab., lit. 6. *Mét. Corros. Industries* 26 (1951), čís. 315, str. 423—426.

Unckel H. A.: **The influence of structure on hardness with special reference to steels.** 10 mikrofoto, 2 tab. *Metallurgia*, March. 45 (1952), čís. 269, str. 115.

**Grain refinement of aluminium alloy castings.** Lit. 3. *Metal Industr.* 80 (1952), čís. 1, str. 11.

Gruhl W.: **Untersuchung hochtitanhaltiger Aluminium-Titan-Legierungen.** 6 mikrofoto, 1 diagr., 1 tab., lit. 2. *Metall* 6 (1952), čís. 5/6, str. 134—135.

**New techniques of metallurgical research.** 2 mikrofoto. *Metal Treatm.* 19 (1952), čís. 79, str. 166—170.

Pigott E. C.: **Metallurgical micro-analysis.** 3 foto, 1 tab., lit. 14. *Metal Treatm.* 19 (1952), čís. 79, str. 147—154.

Kronies M., Krainer H.: **Umwandlungsschaubilder von Bau- und Werkzeugstählen.** 2 mikrofoto, 1 sch., 1 diagr., 11 nomogr. *Betrieb u. Fertigung* 6 (1952) čís. 2, str. 21—27. Pokrač.

**VYSOKÁ PEČ.**

Halbrećq L.: **Les installations de hauts fourneaux de la Société John Cockerill à Seraing.** 13 foto, 3 náč. Rev. univ. Min. Métall. Trav. publ. 8 (1952), čís. 2, str. 44—54.

**Blast furnace built in less than a year.** 8 foto, 1 náč. *Blast Furn. Steel Plant* 39 (1951), čís. 12, str. 1496—1499.

Belani: **Neueste Erkenntnisse in der Reinigung von Hochofengasen.** *Montan-Zeitung* 68 (1952), čís. 3, str. 51.

**VÝROBA SUROVÉHO ŽELEZA.**

Shanahan CEA: **The effect of stirring on the rate of desulphurising carbon-saturated molten iron with CaO—SiO<sub>2</sub>—Al<sub>2</sub>O<sub>3</sub> slags.** 1 diagr. *Metallurgia*, March. 45 (1952), čís. 268, str. 59—61.

Johannsen F.: **Inventor describes the Krupp-Renn process.** 2 sch. S. afr. *Min. Engng. J.* 62/2, čís. 3080, str. 1103.

**Krupp-Renn process and Union's iron ores.** 2 foto, 1 náč. S. afr. *Min. Engng. J.* 63 (1952), čís. 3081, str. 7—11.

Cavanagh P. E.: **Steel shapes of controlled density made directly from iron ore.** 2 foto. *Roads Engng. Constr.* 89 (1951), čís. 12, str. 83—84, 124.

Austin W. W.: **Progress in steelmaking. Desulphurization.** 1 foto, 3 diagr. *Steel 130* (1952), čís. 4, str. 76, 78, 80.

**OCEL — LITINA.**

**Steel selection under the rationing schema.** Mech. Wld. Engng. Rec. 131 (1952), čís. 3391, str. 61—63.

Zwei neue Getriebewerkstoffe. 3 foto, 1 mikrofoto, 4 diagr., 6 tab. *Techn. Rdsch.* 44 (1952), čís. 10, str. 4—6.

Braun H.: **Nichtrostende und säurebeständige Stähle im chemischen Apparatebau.** 5 foto, 5 mikrofoto, 5 diagr., lit. 2. *Werkstoffe u. Korros.* 3 (1952), čís. 3, str. 93—98.

De Korte A.: **Nodular ijzer.** 7 foto, 6 mikrofoto, 1 náč., 2 diagr., 3 tab. *Metalbewerking* 17 (1952), čís. 20, str. 247—251.

Primerenje litoj grafitiziranoj stali dija zameny bronz. Referát z: „Stal“ (1951), čís. 10, str. 930. *Morskij Flot*, 12 (1952), čís. 3, str. 13.

Kraler H., Daum W.: **Zinn und Arsen in legierten Vergütungsstählen.** 2 foto, 2 diagr., 3 tab., lit. 14. *Berg-Hüttenmänn. Mh.* 97 (1952), čís. 4, str. 67—72.

**VÝROBA OCELI — OCELÁŘSKÉ PECE.**

Nickevič E. A.: **O rekuperativnoj staleplavilnoj peći.** Lit. 1. *Za Ekon. Topl.* 9 (1952), čís. 2, str. 28—29.

Cavanagh P. E.: **Direct reduction yields variable density steels.** 1 foto, 2 mikrofoto, 3 diagr., 5 tab., lit. 8. *Iron Age* 169 (1952), čís. 4, str. 63—68.

Austin W. W.: **The behavior of zirconium and titanium in steels with particular emphasis on the conservation of manganese.** 2 foto, lit. 20. *Blast Furn. Steel Plant* 40 (1952), čís. 3, str. 330—334.

Watson T. T.: **Bottom casting of ingots for the manufacture of plates.** 2 foto, 4 náč., 2 tab. *Blast Furn. Steel Plant* 39 (1951), čís. 12, str. 1471—1475.

Reimer F.: **Betriebserfahrungen mit einer grossen Sauerstoffrezeugungsanlage für metallurgische Zwecke.** 5 foto, 1 sch., 1 diagr., *Techn. Mitt. Essen* 45 (1952), čís. 4, str. 105—108.

Gerdsman S. L.: **Substitution for strategic metals in steel production.** 1 tab. *Canad. Metals* 15 (1952), čís. 4, str. 24—25.

**KOVOHUTNICTVÍ.**

Degassing with Lithium. 1 foto, 1 náč., 1 tab., lit. 1. *Metal Industry* 80 (1952), čís. 10, str. 191—192.

Wadman R. W.: **Kaiser aluminum.** 13 foto, 1 náč., 2 sch. *Diesel Progr.* 18 (1952), čís. 2, str. 44—54.

**TITANIUM: How it is made.** 2 náč. *Mod. Metals* 3 (1952), čís. 1, str. 29—31.

Bouchard M. J.: **Perspectives nouvelles pour le développement des anodes Soderberg dans la fabrication de l'aluminium.** 3 náč., 1 diagr. *Bull. Soc. franc. Electr.* 2 (1952), čís. 14, str. 101—111.

Dyke R. H.: **Modification of aluminium-silicon alloys.** 7 mikrofoto, 5 tab., lit. 24. *Trans. amer. Foundrym. Soc.* 59 (1951), str. 28—34.

Buskett E. W.: **Smelting aluminium ores.** *Mine Quarry Engng.* 18 (1952), čís. 5, str. 157—160.

Morgan D. W., Downes K. W.: **The utilization of low-grade domestic chromite.** *Canad. Min. metallurg. Bull.* 45 (1952), čís. 479, str. 167.

**PRÁŠKOVÁ METALURGIE.**

Greenwood H. W.: **Trends in powder metallurgy.** 2 foto, lit. 26. *Metallurgia*, March. 44 (1951), čís. 266, str. 291—294.

Grobe A., Hoffmann R.: **Stainless steel powder for mechanical parts.** 8 diagr., 2 tab. *Prod. Engng.* 22 (1951), čís. 12, str. 168—172.

Kieffer R., Benesovsky F.: **Neuere Forschungsergebnisse auf dem Gebiete der hochschmelzenden, metallischen Hartstoffe.** 3 foto, 3 mikrofoto, 2 náč., 6 tab., lit. 108. *Metal* 6 (1952), čís. 9/10, str. 243—250.

**ZKOUŠENÍ MATERIÁLŮ.**

Wiard E.: **Le contrôle métallurgique dans l'étude et la fabrication et outils.** 1 foto, 2 tab., *Mach. mod.* 46 (1952), čís. 510, str. 39—42.

Domagala R. F., Johnson W. R.: **Simple tester for hardness of hot materials.** 1 foto, 1 mikrofoto, 1 náč. *Metal Progr.* 60 (1951), čís. 6, str. 72—73.

Gusev V. V.: **Mechanizacija litejnogo proizvodstva na zavodach s.-ch. mašinostroyeniya.** 5 náč., 2 tab. *Selchozmašina* (1952), čís. 1, str. 28—31.

Iturrioz D.: **Modernización mecanización las fundiciones. Preparación mecánica de las arenas.** 4 foto, 7 náč. *Metal y Electr.* 16 (1952), čís. 174, str. 36—43.

Kastenloses Formen in Giessereien/7 foto, *Techn. Rdsch.* 44 (1952), čís. 9, str. 9.

Kalpers H.: **Handformmaschinen und Sonderformmaschinen.** 13 foto. *Giesserei-Prax.* 70 (1952), čís. 6, str. 89—93.

Beech A. S.: **Foundry mechanization.** 3 foto. *Canad. Metals* 15 (1952), čís. 3, str. 34, 36, 39.

**TAVENÍ A TAVICÍ PECE.**

Sanderson L.: **Some notes on cast iron.** 1 foto, 4 mikrofoto, 1 diagr. *Engng. Boiler House Rev.* 67 (1952), čís. 1, str. 16—20. Pokrač.

Rehder J. E.: **Improved nodular irons.** 5 mikrofoto, 3 diagr., 3 tab. *Iron Age* 169 (1952), čís. 3, str. 89—93.

Heine R. W.: **Oxidation-reduction principles controlling the composition of molten cast irons.** 2 mikrofoto, 9 diagr., lit. 7. *Trans. amer. Foundrym. Soc.* 59. (1951), str. 121—138.

**LITÍ LITINY A OCELI.**

Atmosphärenhochdrucksteiger. 8 náč. *Giesserei-Prax.* 70 (1952), čís. 3, str. 43—45.

STAT

**Z nové li****V. Amosov: Čtvrt století u martinské pece**

Vynikající tavič oceli vypráví o svém živ

i martinských pecí. Brož. 15 Kčs.

**Moskevští stachanovci v hutnictví**

Obraz růstu sovětských hutníků, směrujících k nádhernému životu, plnému tvůrčí práce. Brož 10 Kčs.

**B. A. Anniskij: Nakládání a vykládání v hutních provozech**

Kniha popisuje všechny práce při nakládání a vykládání materiálu v hutích, nakládací a vykládací stroje a je doplněna kapitolou o úrazové zábraně. Kart. 111 Kčs.

**B. Dobrovolný: Mechanická technologie**

VI. vyd. Nauka o technických materiálech, obráběcích strojích, nástrojích a o výrobě ve strojníctví. Kart. 72 Kčs.

**B. G. Fastovskij: Čištění oceli plamenem**

Publikace ukazuje, jak využít plamene a elektrického oblouku k čištění povrchu oceli v hutnictví a těžkém strojírenství. Kart. 45 Kčs.

**Dr. O. Hájíček: Obsluha vysoké pece**

Základní pomůcka pro školení tavičů a hutníků u vysoké pece se zřetelem k novým pracovním metodám. Kart. 138 Kčs.

**P. Knobloch: Železo — ocel — pětiletka**

II. vyd. Populární a poupaté uvedení do hutnictví, přehled výroby, zpracování a použití technického železa. Kart. 30 Kčs.

**M. Privalov: Více jakostní oceli**

Nejznámější sovětský tavič, laureát Stalinovy ceny, popisuje novátorští pracovní metody při výrobě oceli v martinských pecích. Kart. 33 Kčs.

**Valcišská abeceda**

Příručka pojednává o výrobě surového železa a oceli. Podstatnou část tvoří základy teorie válení a kalibrování, jakož i vlastní technologie válení. Kart. 133 Kčs.

**Nákladem Práce - vydavatelstva ROH**

Knihy obdržíte u literárních důvěrníků ROH v závodech a v krajských prodejnách ROH-PRÁCE



**SOVĚTSKÁ KNIHA**  
**národní podnik**  
**oznamuje nové knihy SSSR z oboru hutnictví:**

**Technologija metallov**

Spoluprací kolektivu předních sovětských odborníků vzniklo dílo, podávající ucelený přehled o technologií kovů, t. j. o způsobech získávání kovů a kovových slitin, o metodách jejich racionalního zpracování a o základech strojírenské výroby. Názvy jednotlivých kapitol: Kov a jejich vlastnosti; Metalurgie černých a barevných kovů; Slévárenská výroba; Zpracování kovů tlakem; Sváření a řezání kovů; Nekovové materiály; Zpracování kovů řezáním a obráběcí stroje. 700 stran, cena váz. v celoplatně 150 Kčs.

**N. J. Krasavcev: Metallurgija čuguna**

Problémy teorie hutní výroby, příprava rudy k tavení, konstrukce vysokých pecí a pomocných zařízení. Přehled způsobů řízení a kontroly tavby a technicko-ekonomické faktory práce vysokých pecí. Pro studující a technický personál v hutích. Cena váz. 100 Kčs.

**G. A. Kuznecov: Plavka i litíje splavov cvetnych metallov**

Pojednání o technologii plavení barevných kovů a jejich slitin. Příprava k lití a zpracování ingotů. Přehled zařízení a pecí, organizace výroby, stachanovské metody práce a otázky pracovní bezpečnosti. Pro dělníky a mistry v hutích. Cena váz. 50 Kčs.

**K. A. Razumov: Projektirovaniye obogatitel'nyx fabrik**

Základní údaje o rozpracování plánu projekce, rozmístění jednotlivých dílen a částí hutí, charakteristika zařízení sovětského hutního průmyslu, základy normování práce a technika pracovní bezpečnosti. Určeno jako učebnice pro studující hutního oboru a projektanty v hutním průmyslu. Cena váz. v celoplatně 90 Kčs.

Tyto knihy dostanete ve všech krajských prodejnách národního podniku SOVĚTSKÁ KNIHA v celé ČSR.